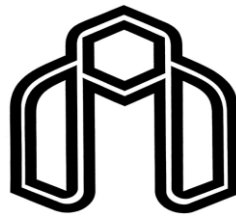


بِسْمِ اللّٰهِ الرَّحْمٰنِ الرَّحِيْمِ



دانشگاه صنعتی شهرود

دانشکده مهندسی معدن، نفت و پژوهی‌های  
زمینی

پایان نامه کارشناسی ارشد

## بررسی پتانسیل مچاله شوندگی زمین و ارزیابی تأثیر آن در پایداری تونل البرز

محمد میرزا لی عبدالیونسی

استاد راهنمای:

دکتر شکرالدین زارع، دکتر محمد سیخواه

استاد مشاور:

مهندس سعید الیگانی طالقانی

اردیبهشت ۹۵

ت

تعدیم پردازه سوزم

و همسر مهر باشم ...

بر سرمه ادب و قدرشناسی، بر خود لازم می دانم از استاد ارجمند آقایان دکتر مجید نیخواه و دکتر شکرا.. زارع که صبورانه پشتیبان و

راهنمایی من بودند و در طول انجام این پژوهش براهنمایی های مفید و مساعدت هایشان راه را هموار نموده اند و از پیچ کونه گمگ علی و علمی

دین نکرده اند کمال مشکر و قدردانی را داشته باشم.

از جهندس ارجمند و مشاور پیان نامه ام جناب آقا علی سعید الیگانی که به کاری های فراوان و کاملی دکتر تکمیل پیان نامه داشته اند صمیمانه مشکر

می کنم.

بچنین از راهنمایی ها و به کاری های گران به نام آقایان جهندس فرهاد عابدی، امین دهقانی، ابوالفضل تاری فر روح ا.. بلقعن آبادی،

این صاحبی، مجتبی محب، فرزاد ابراهیم زاده، عدالت آزاد و جناب آقا مرتضی کرمی، از صمیم قلب مشکر می نایم.

## تعهد نامه

اینجانب مجید میرزا<sup>ای</sup>ی عبدالیوسفی دانشجوی دوره کارشناسی ارشد رشته مهندسی معدن گرایش مکانیک سنگ از دانشکده مهندسی معدن، نفت و ژئوفیزیک دانشگاه صنعتی شاهرود نویسنده پایان نامه کارشناسی ارشد تحت عنوان بررسی پتانسیل مچاله شوندگی زمین و ارزیابی تاثیر آن در پایداری تونل البرز تحت راهنمایی آقایان دکتر شکرا.. زارع و دکتر مجید نیکخواه

متعهد می شوم:

- تحقیقات در این پایان نامه توسط اینجانب انجام شده است و از صحت و اصالت بروخوردار است.
- در استفاده از نتایج پژوهش‌های محققان دیگر به مرجع مورد استفاده استناد شده است.
- مطالب مندرج در پایان نامه تا کنون توسط خود یا فرد دیگری برای دریافت هیچ نوع مدرک یا امتیازی در هیچ جا ارائه نشده است.
- کلیه حقوق معنوی این اثر متعلق به دانشگاه صنعتی شاهرود می باشد و مقالات مستخرج با نام «دانشگاه صنعتی شاهرود» و یا «Shahrood University of Technology» به چاپ خواهد رسید.
- حقوق معنوی تمام افرادی که در به دست آمدن نتایج اصلی پایان نامه تاثیرگذار بوده‌اند، در مقالات مستخرج از این پایان نامه رعایت می‌گردد.
- در کلیه مراحل انجام این پایان نامه، در مواردی که از موجود زنده (یا بافت‌های آنها) استفاده شده است، ضوابط و اصول اخلاقی رعایت شده است.
- در کلیه مراحل انجام این پایان نامه، در مواردی که به حوزه اطلاعات شخصی افراد دسترسی یافته یا استفاده شده است، اصل رازداری، ضوابط و اصول اخلاقی انسانی رعایت شده است.

تاریخ

امضای دانشجو

## مالکیت نتایج و حق نشر

- کلیه حقوق این اثر و محصولات آن (مقالات مستخرج، کتاب، برنامه‌های رایانه‌ای، نرم افزارها و تجهیزات ساخته شده) مربوط به دانشگاه صنعتی شاهرود می‌باشد. این مطلب باید به نحو مقتضی در تولیدات علمی مربوطه ذکر شود.
- استفاده از اطلاعات و نتایج موجود در پایان نامه بدون ذکر مرجع مجاز نمی‌باشد.

$\dot{x}$

## چکیده

در مسیر آزادراه تهران-شمال به علت گذر این آزادراه از رشته کوه البرز، نیاز به حفاری تونل های متعددی بوده است. در برخی از تونل های حفاری شده در مسیر این آزادراه، مقدار روباره تونل زیاد بوده و همچنین توده سنگ های دربرگیرنده تونل کیفیت پایینی دارند. دو عامل کیفیت پایین توده سنگ های دربرگیرنده تونل و روباره زیاد، شرایط را برای بروز پدیده مچاله شوندگی در تونل مهیا می سازند. در مطالعه حاضر با استفاده از روش های تجربی، نیمه تجربی و تحلیلی، پتانسیل مچاله شوندگی برای سنگ های مسیر تونل بررسی شده است. نتایج مچاله شوندگی به صورت مچاله شوندگ، کم، متوسط، زیاد و خیلی زیاد مچاله شوندگ دسته بندی شده است. محدوده ای از تونل که توسط اغلب روش های متداول دارای پتانسیل مچاله شوندگی ارزیابی شده اند، برای مدل سازی عددی انتخاب شده است. از آنجا که مچاله شوندگی توده سنگ ها رفتاری وابسته به زمان دارد، بنابراین با توجه به قابلیت نرم افزار FLAC، برای مدل سازی عددی و تحلیل این پدیده، این نرم افزار مورد استفاده قرار گرفته است. مدل ویسکوپلاستیک برگر-خزشی قابلیت مدل سازی مچاله شوندگی توده سنگ ها را دارا است. از محدوده انتخاب شده یک نمونه سنگ (استاندارد) تهیه و تحت آزمایش خزش تک محوره، متغیرهای خزشی سنگ استخراج شده است. با مدل سازی عددی نمونه سنگ، درصد خطای نسبی آزمایش حداقل ۱۰ درصد محاسبه و با استفاده از متغیرهای حاصل از آزمایش، مقطع تونل در محدوده مذکور مدل سازی شده است. از آنجاکه مچاله شوندگی سنگ یک رفتار وابسته به زمان است، تأثیر بلندمدت مچاله شوندگی بر روی پایداری نگهداری نهایی تونل مورد ارزیابی قرار گرفته است. با توجه به نتیجه این ارزیابی، در بدترین حالت، تنش های حاصل از نیروی برشی-گشتاور خمی، باعث ناپایداری در قسمت پاطاق تونل در بین سال های ۶۰ تا ۷۰ سال از عمر پوشش بتنی شده است که به سبب ضعف در مقاومت فشاری پوشش بتنی، این ناپایداری به وجود آمده است.

**كلمات کلیدی:** تونل البرز، مچاله‌شوندگی، همگرایی، خزش، مدل‌سازی عددی

## لیست مقالات مستخرج از پایان نامه:

- ۱- میرزایی عبدالیوسفی، م. زارع، ش. نیکخواه، م. ۱۳۹۴، ارزیابی پتانسیل مچاله‌شوندگی تونل البرز (آزادراه تهران - شمال) با استفاده از روش‌های تجربی و نیمه تجربی، سومین کنگره بین‌المللی عمران معماري و توسعه شهری، دانشگاه شهید بهشتی، تهران.

## فصل اول

۱	- مقدمه
۲	- مشخصات عمومی طرح
۳	- ضرورت و هدف تحقیق
۴	- مرور مطالعات انجام شده
۵	- روش انجام تحقیق
۶	- ساختار پایان نامه

## فصل دوم

۱۰	- مقدمه
۱۰	- مقدمه‌ای بر پدیده مچاله‌شوندگی
۱۲	- مچاله‌شوندگی از دیدگاه محققین مختلف
۱۷	- موارد مطالعاتی پدیده مچاله‌شوندگی در تونل در سال‌های اخیر
۲۰	- مشکلات ناپایداری تونل ناشی از مچاله‌شوندگی
۲۰	- مشکلات ناشی از تنفس کششی
۲۲	- مشکلات ناشی از تنفس فشاری بالا
۲۳	- مقایسه بین مچاله‌شوندگی و آماس در توده سنگ
۲۴	- روش‌های پیش‌بینی پتانسیل مچاله‌شوندگی
۲۴	- روش‌های تجربی
۲۵	- روش نسبت تنفس- مقاومت
۲۶	- روش تخمین کرنش
۲۷	- روش طبقه‌بندی توده سنگ
۳۱	- روش‌های نیمه‌تجربی
۳۱	- روش جتو و همکاران (۱۹۸۴)
۳۲	- روش آیدان و همکاران (۱۹۹۳)
۳۴	- روش هوک و مارینوس (۲۰۰۰)
۳۶	- مقایسه روش‌های نیمه‌تجربی
۳۷	- روش‌های تحلیلی- تئوریکی
۳۸	- انواع مچاله‌شوندگی و ارتباط آن با خوش

۳۹	۱-۱۰-۲	مچاله‌شوندگی آنی
۴۱	۲-۱۰-۲	مچاله‌شوندگی به وسیله خزش
۴۳	۱۱-۲	معنای زمان در سنگ
۴۳	۱۲-۲	واژه‌هایی که زمان را در مکانیک سنگ توصیف می‌کنند
۴۴	۱-۱۲-۲	مدل‌های رئولوژیکی
۴۶	۱۳-۲	وابستگی زمانی در مکانیک سنگ
۴۷	۱۴-۲	مدل‌های پیوسته وابسته به زمان در سنگ‌های مچاله‌شونده برای مدل‌سازی عددی این پدیده
۴۷	CVISC-۱-۱۴-۲	مدل

### فصل سوم

۵۰	۱-۳	مقدمه
۵۰	۲-۳	معرفی پروژه توپل البرز
۵۲	۱-۲-۳	وضعیت زمین‌شناسی منطقه
۵۵	۲-۲-۳	حفاری و سیستم نگهداری
۵۶	۳-۳	ارزیابی پتانسیل مچاله‌شوندگی در توده‌سنگ‌های مسیر توپل البرز
۵۸	۴-۳	تعیین نواحی مچاله‌شونده در مسیر توپل البرز
۵۹	۵-۳	محاسبات روش‌های مختلف ارزیابی پتانسیل مچاله‌شوندگی
۶۰	۱-۵-۳	روش‌های تجربی
۶۰	۱-۱-۵-۳	روش سینگ و همکاران
۶۲	۲-۱-۵-۳	روش گوئل و همکاران
۶۴	۲-۵-۳	روش‌های نیمه تجربی
۶۴	۱-۲-۵-۳	روش جتوا و همکاران (۱۹۸۴)
۶۵	۳-۵-۳	روش آیدان و همکاران
۶۷	۴-۵-۳	روش هوک و مارینوس
۶۹	۳-۵-۵-	روش تئوری-تحلیلی
۷۱	۶-۳	مقایسه روش‌ها و نتیجه‌گیری

### فصل چهارم

۷۸	۱-۴- مقدمه
۷۹	۲-۴- تعریف خزش
۷۹	۳-۴- آزمایش خزش
۸۰	۱-۳-۴- شرایط محیطی آزمایش
۸۱	۲-۳-۴- رفتار سنگ در آزمایش خزش
۸۲	۴-۴- روش‌های مدل کردن رفتار خزشی سنگ
۸۳	۱-۴-۴- روش‌های تجربی
۸۳	۲-۴-۴- روش‌های رئولوژیکی
۸۴	۵-۴- انواع آزمایش خزش
۸۴	۱-۵-۴- آزمایش خزش فشاری تکمحوره
۸۵	۲-۵-۴- آزمایش خزش فشاری سه‌محوره
۸۶	۶-۴- تعیین ثابت‌های ویسکوالاستیکی با استفاده از آزمون‌های آزمایشگاهی
۸۸	۷-۴- آزمایش خزش نمونه سنگ انیدریت
۹۱	۸-۴- محاسبات و تعیین ثابت‌های مدل برگر (مربوط به نمونه شماره ۱)
۹۱	۱-۸-۴- تعیین خط مماس بر منحنی خزش ثانویه برای نمونه ۱
۹۲	۲-۸-۴- محاسبه فاصله (مثبت) بین منحنی خزش و خط مماس بر نمودار
۹۳	۹-۴- صحت سنجی رفتاری مدل‌سازی عددی
۹۵	۱-۹-۴- اجرای مدل‌سازی
۹۵	۱-۱-۹-۴- مقایسه کرنش‌های حاصل از مدل‌سازی و نتایج آزمایشگاهی
۹۶	۲-۱-۹-۴- محاسبه میزان کرنش نمونه در راستای ۲، و مقدار خطای نسبی مدل‌سازی عددی نمونه
۱۰۰	۱۰-۴- نتیجه‌گیری

#### فصل پنجم

۱۰۲	۱-۵- مقدمه
۱۰۳	۲-۵- مروری بر روش‌های تحلیل عددی
۱۰۳	۱-۲-۵- روش مبتنی بر محیط‌های پیوسته
۱۰۴	۲-۲-۵- روش مبتنی بر محیط‌های ناپیوسته
۱۰۴	۳-۵- تحلیل عددی ناحیه مچاله‌شوندگی تونل البرز

۱۰۷	۱-۳-۵- تخمین نسبت تنش افقی به تنش قائم.....
۱۱۰	۲-۳-۵- حل مدل و به تعادل رساندن آن قبل از حفاری.....
۱۱۰	۳-۳-۵- تعادل اولیه مدل مقطع تونل .....
۱۱۲	۴-۳-۵- مراحل حفر و نصب سیستم نگهداری تونل .....
۱۱۳	۵-۳-۵- مقدار پارامترهای ناحیه تحکیم‌چتری شده .....
۱۱۶	۶-۳-۵- حفر تونل و اعمال ترخیص تنش مناسب .....
۱۲۲	۴-۵- تحلیل پایداری نگهداری اولیه و پوشش‌بتنی نهایی تحت اثر مچاله‌شوندگی ثانویه (مچاله‌شوندگی در اثر خزش).....
۱۲۲	۱-۴-۵- تاثیر مچاله‌شوندگی در اثر خزش روی پایداری تونل در حالت بدون نگهدارندی اولیه و با نگهداری اولیه .....
۱۲۵	۲-۴-۵- تحلیل پایداری نگهداری اولیه برای مدت زمان ۲ سال خزش توده‌سنگ دربرگیرنده تونل.....
۱۲۸	۳-۴-۵- تحلیل پایداری پوشش‌بتنی نهایی برای مدت زمان ۱۰۰ سال خزش توده‌سنگ دربرگیرنده تونل.....
۱۲۸	۱-۳-۴-۵- نمودارهای ظرفیت باربری .....
۱۲۹	۲-۳-۴-۵- ظرفیت تحمل و اندرکنش ممان خمشی- نیروی محوری .....
۱۳۵	۳-۳-۴-۵- ظرفیت تحمل و اندرکنش ممان خمشی- نیروی برشی .....
۱۴۰	۴-۳-۴-۵- اعمال مدل الاستیک و مورکولمب .....
۱۴۱	۵-۵- نتیجه‌گیری .....

### فصل ششم

۱۴۴	۱-۶- مقدمه .....
۱۴۵	۲-۶- نتیجه‌گیری .....
۱۴۶	۳-۶- پیشنهادها .....
۱۴۷	منابع .....
۱۵۰	پیوست .....

## فهرست جدول‌ها

جدول ۱-۲: مقایسه بین پدیده‌های مچاله‌شوندگی و آماس	۲۳
جدول ۲-۲: ارزیابی شرایط مچاله‌شوندگی درروش گوئل	۳۰
جدول ۳-۲: طبقه‌بندی مچاله‌شوندگی بر مبنای نظریه جتوا و همکاران	۳۱
جدول ۴-۲: طبقه‌بندی رفتار مچاله‌شوندگی سنگ‌ها طبق نظریه آیدان و همکاران	۳۳
جدول ۵-۲: رابطه میزان همگرایی قطر تونل با درجه مچاله‌شوندگی تونل	۳۷
جدول ۶-۲: طبقه‌بندی شرایط زمین در روش تحلیلی (ISRM و بارلا)	۳۸
جدول ۷-۲: مدل‌های رئولوژیکی دو-المانی	۴۵
جدول ۸-۲: مدل‌های رئولوژیکی المان-ترکیبی	۴۶
جدول ۹-۱: پارامترهای موردنیاز جهت ارزیابی پتانسیل مچاله‌شوندگی در روش‌های تجربی، نیمه‌تحلیلی و تحلیلی	۵۷
جدول ۹-۳: دسته‌بندی سنگ‌های مسیر با توجه به ارتباط لیتولوژی، مقاومت فشاری تکمحوره تودهسنگ و متراز آن‌ها	۵۹
جدول ۱۰-۳: ارزیابی پتانسیل مچاله‌شوندگی با استفاده از روش سینگ	۶۰
جدول ۱۱-۳: راهنمای جدول ۷ روش سینگ	۶۱
جدول ۱۲-۳: ارزیابی پتانسیل مچاله‌شوندگی با استفاده از روش گوئل و همکاران	۶۲
جدول ۱۳-۳: راهنمای جدول ۵-۳ روش گوئل و همکاران	۶۳
جدول ۱۴-۳: ارزیابی پتانسیل مچاله‌شوندگی با استفاده از روش جتوا و همکاران	۶۴
جدول ۱۵-۳: راهنمای جدول ۷-۳ روش جتوا و همکاران	۶۵
جدول ۱۶-۳: ارزیابی پتانسیل مچاله‌شوندگی تونل البرز با استفاده از روش آیدان و همکاران	۶۶
جدول ۱۷-۳: راهنمای جدول ۹-۳ روش آیدان و همکاران	۶۷
جدول ۱۸-۳: ارزیابی پتانسیل مچاله‌شوندگی با استفاده از روش هوک و مارینوس	۶۷
جدول ۱۹-۳: راهنمای جدول ۱۱-۳ روش هوک و مارینوس	۶۹
جدول ۲۰-۳: ارزیابی پتانسیل مچاله‌شوندگی با استفاده از روش‌های بارلا و ISRM	۶۹
جدول ۲۱-۳: راهنمای جدول ۱۳-۳ روش ISRM و بارلا	۷۰
جدول ۲۲-۳: مقایسه کلی و ارزیابی پتانسیل مچاله‌شوندگی توسط روش‌های مختلف	۷۱
جدول ۲۳-۴: مشخصات نمونه انیدریت مورد آزمایش	۸۸

جدول ۳-۴: پارامترهای ویسکوالاستیک خزش برای دو نمونه مورد آزمایش سنگ اnidriit ..... ۹۳
جدول ۴-۴: پارامترهای مورد نیاز در مدل CVISC ..... ۹۴
جدول ۴-۵: پارامترهای مکمل (حاصل از انجام آزمایش‌های مربوطه) پارامترهای ویسکوالاستیکی، برای ورود به مدل CVISC در FLAC ..... ۹۴
جدول ۶-۴: مقادیر پارامترهای ورودی به مدل FALC در CVISC برای هر دو نمونه ۱ و ۲ سنگ انیدریت ..... ۹۵
جدول ۷-۴: مقایسه کرنش‌های حاصله از مدل سازی و نتایج آزمایشگاهی ..... ۹۹
جدول ۱-۵: خواص فیزیکی و مکانیکی توده‌سنگ اnidriit در متراژ ۳۵۰۰-۳۴۳۴ ..... ۱۰۵
جدول ۲-۵: روابط پرکاربرد برای تخمین ضریب $K$ ..... ۱۰۹
جدول ۳-۵: ترتیب نصب سیستم نگهداری در تونل ..... ۱۱۲
جدول ۴-۵: نمونه محاسبات زون معادل فورپولینگ، برای مقاومت زون ..... ۱۱۴
جدول ۵-۵: پارامترهای زون معادل ناحیه تحکیم‌چتری شده ..... ۱۱۶
جدول ۶-۵: مقادیر پارامترهای مربوط به "قطع معادل" لتیس‌گیردر و شاتکریت ..... ۱۲۰
جدول ۷-۵: مقادیر پارامترهای مربوط به "قطع معادل" پوشش‌بتنی نهایی ..... ۱۲۲
جدول ۸-۵: مشخصات مصالح پوشش بتنی نهایی ..... ۱۲۹

## فهرست شکل‌ها

شکل ۱-۲: پدیده مچاله‌شوندگی در تونل لیون-تورین کشور فرانسه ..... ۱۶
شکل ۲-۲: مچاله‌شوندگی شدید در تونل انتقال آب در پروژه نیروگاه برق‌آبی ناتپاجاکری در هند ..... ۱۷
شکل ۳-۲: مدارهای تنش در توده‌سنگ اطراف تونل دایروی (چپ)، و توزیع تنش شعاعی و مماسی در شرایط الاستیک و غیر الاستیک (راست) ..... ۲۱
شکل ۴-۲: درصد کرنش (انسداد تونل/قطر تونل) برای مقاومت‌های مختلف توده‌سنگ ..... ۲۶
شکل ۵-۲: روش سینگ و همکاران (۱۹۹۲) برای پیش‌بینی شرایط مچاله‌شوندگی ..... ۲۸
شکل ۶-۲: پیش‌بینی وضعیت مچاله‌شوندگی توسط گوئل و همکاران (۲۰۰۰-۱۹۹۴) ..... ۲۹
شکل ۷-۲: پیش‌بینی شرایط مچاله‌شوندگی به روش آیدان و همکارن ..... ۳۲

شکل ۲-۲: منحنی ایده آل تنش - کرنش در ارتباط با رفتار مچاله‌شوندگی سنگ توسط آیدان و همکاران ..... ۳۴
شکل ۹-۲ : طبقه‌بندی رفتار مچاله‌شوندگی ..... ۳۵
شکل ۱۰-۲ : توزیع تنش عمودی (الف) قبل از حفاری (ب) پس از حفاری و (ج) A محل وقوع مچاله‌شوندگی و B محل شکست کششی است..... ۴۰
شکل ۱۱-۲ : نمایش مچاله‌شوندگی در تونل دایروی ..... ۴۰
شکل ۱۲-۲ : خزش در رابطه منحنی تنش-کرنش کامل ..... ۴۱
شکل ۱۳-۲ : نواحی رفتاری در خزش ..... ۴۲
شکل ۱۴-۲ : طرح کلی از مدل CVISC (الف) رفتار حجمی، و (ب) رفتار انحرافی ..... ۴۸
شکل ۱-۳: موقعیت جغرافیایی تونل البرز ..... ۵۲
شکل ۲-۳: پروفیل طولی از تونل اکتشافی تونل البرز در امتداد محور تونل ..... ۵۴
شکل ۳-۳: مقطع عرضی تونل ..... ۵۵
شکل ۴-۳: نمودار ارزیابی مچاله‌شوندگی سنگ‌های مسیر تونل البرز با روش سینگ ..... ۶۱
شکل ۵-۳: نمودار ارزیابی مچاله‌شوندگی با استفاده از روش گوئل و همکاران ..... ۶۳
شکل ۱-۴: مسیرهای تنش-کرنش در طی آزمایش برای ویژگی‌های وابسته به زمان سنگ‌ها ... ۷۹
شکل ۲-۴: منحنی نمادین خزش نمونه سنگی ..... ۸۱
شکل ۳-۴: نمونه‌ای از دستگاه خزش تکمحوره ..... ۸۵
شکل ۴-۴: خزش در تنش فشاری نامحصور سنگ که به عنوان جسم برگر تحت تنش انحرافی و به عنوان جسم الاستیک تحت تنش هیدروستاتیک فشاری رفتار می‌کند. (الف) نمودار خزش برای مدل خزشی برگر (ب) مدل فنر-پیستون (برگر)، برای ارزیابی رفتار خزش تحت بارگذاری فشاری تکمحوره ..... ۸۷
شکل ۵-۴: نمونه سنگ انیدریت در ابعاد ۱۲۴ mm * ۶۰ mm ..... ۸۹
شکل ۶-۴: نمودار کرنش-زمان نمونه شماره ۱ ..... ۹۰
شکل ۷-۴: نمودار کرنش-زمان نمونه شماره ۲ ..... ۹۰
شکل ۸-۴: نمودار خط مماس بر قسمت خطی نمودار خزش نمونه ۱ ..... ۹۱
شکل ۹-۴: نمودار نیمه لگاریتمی نمونه ۱ ..... ۹۲
شکل ۱۰-۴: نمودار جابجایی نقطه‌ای در نمونه شماره ۱ تحت بارگذاری در راستای y (به منظور محاسبه کرنش) در مدت زمان ۵/۴ ساعت تحت بارگذاری ۲۰,۵ Mpa ..... ۹۶

- شکل ۱۱-۴: نمودار نیروهای نامتعادل کننده برای نمونه شماره ۱ در مدت زمان ۵/۴ ساعت تحت بار ۲۰/۵ MPa ..... ۹۷
- شکل ۱۲-۴: نمودار جابجایی نقطه‌ای در نمونه شماره ۱ تحت بارگذاری در راستای y (به منظور محاسبه کرنش) برای مدت زمان ۱۴۸ ساعت تحت بارگذاری ۲۰/۵ MPa ..... ۹۷
- شکل ۱۳-۴: نمودار جابجایی نقطه‌ای در نمونه شماره ۱ تحت بارگذاری در راستای y (به منظور محاسبه کرنش) برای مدت زمان ۳۱۴ ساعت تحت بارگذاری ۲۰/۵ MPa ..... ۹۸
- شکل ۱۴-۴: نمودار نقطه‌ای در نمونه شماره ۲ تحت بارگذاری در راستای y (به منظور محاسبه کرنش) برای مدت زمان ۷/۲ ساعت تحت بارگذاری ۲۰/۵ MPa ..... ۹۸
- شکل ۱۵-۴: نمودار نیروهای نامتعادل کننده برای نمونه شماره ۲ در مدت زمان ۷/۲ ساعت تحت بار ۲۰/۵ MPa ..... ۹۸
- شکل ۱۶-۴: نمودار نقطه‌ای در نمونه شماره ۲ تحت بارگذاری در راستای y (به منظور محاسبه کرنش) برای مدت زمان ۱۲۰ ساعت تحت بارگذاری ۲۰/۵ MPa ..... ۹۹
- شکل ۱۷-۴: نمودار نقطه‌ای در نمونه شماره ۲ تحت بارگذاری در راستای y (به منظور محاسبه کرنش) برای مدت زمان ۲۸۸ ساعت تحت بارگذاری ۲۰/۵ MPa ..... ۹۹
- شکل ۱-۵: نمای مشبندی و هندسه کلی مدل دوبعدی و تونل حفاری شده ..... ۱۰۶
- شکل ۲-۵: نمودار همگرایی در سه نقطه دیواره‌های سمت چپ و راست و سقف تونل در متراژ ۱۰۸ ..... ۴۸۶۶
- شکل ۳-۵: نمودار همگرایی در سه نقطه دیواره‌های سمت چپ و راست و سقف تونل در متراژ ۱۰۸ ..... ۴۸۹۶
- شکل ۴-۵: نمودار همگرایی در سه نقطه دیواره‌های سمت چپ و راست و سقف تونل در متراژ ۱۰۹ ..... ۴۹۱۲
- شکل ۵-۵: کنتورهای تنش قائم قبل از حفاری تونل ..... ۱۱۱
- شکل ۵-۶: نمودار نیروهای نامتعادل کننده ..... ۱۱۱
- شکل ۷-۵: نمودار تاریخچه سرعت گره‌ها ..... ۱۱۱
- شکل ۸-۵: نمودار تاریخچه جابجایی ..... ۱۱۲
- شکل ۹-۵: مقطع معادل برای زون فورپولینگ (با عرض ۱/۶ m و طول ۲/۲۵ m) ..... ۱۱۴
- شکل ۱۰-۵: شماتیک از تونل‌سازی با تحکیم در سقف تونل با استفاده از تحکیم چتری ..... ۱۱۵

شکل ۱۱-۵: نمایی از مقطع معادل ناحیه تحکیم‌چتری در بالای سقف تونل در مدل‌سازی دو بعدی	۱۱۵
شکل ۱۲-۵: حداکثر کرنش برشی ایجاد شده در دیواره، پس از حفر تونل.....	۱۱۸
شکل ۱۳-۵: مقطع عرضی لتیس گیردر.....	۱۱۸
شکل ۱۴-۵: مقطع معادل برای لتیس گیردر و شاتکریت.....	۱۱۹
شکل ۱۵-۵: (الف) نمایش شماتیک یک مقطع از لایه نگهدارنده شامل مواد مختلف ۱۰، (ب) مقطع معادل برای لایه مرکب (کامپوزیت) .....	۱۱۹
شکل ۱۶-۵: نمای شماتیکی از استقرار راک‌بولتها در جداره تونل .....	۱۲۱
شکل ۱۷-۵: مقطع برشی عرضی از پوشش‌بتنی نهایی.....	۱۲۱
شکل ۱۸-۵: تغییرات مقادیر همگرایی فاصله بین سقف و کف تونل به یکدیگر در مدت زمان ۱۰ سال خزش توده‌سنگ دربرگیرنده تونل (پیش از نگهداری اولیه) .....	۱۲۳
شکل ۱۹-۵: تغییرات مقادیر همگرایی فاصله مابین سقف و کف تونل به یکدیگر در مدت زمان ۲۰ سال خزش توده‌سنگ دربرگیرنده تونل (پیش از نگهداری اولیه) .....	۱۲۳
شکل ۲۰-۵: همگرایی نقاط کف و سقف تونل برای مدت زمان ۱۰ سال خزش توده‌سنگ دربرگیرنده تونل با نگهداری اولیه .....	۱۲۴
شکل ۲۱-۵: کرنش برشی ایجاد شده در تونل، برای مدت زمان ۱۰ سال خزش توده‌سنگ دربرگیرنده تونل برای نگهداری اولیه.....	۱۲۴
شکل ۲۲-۵: نمودار توزیع نیروی محوری روی نگهداری اولیه تحت اثر ۲ سال خزش توده‌سنگ دربرگیرنده تونل .....	۱۲۶
شکل ۲۳-۵: نمودار توزیع ممان خمثی روی نگهداری اولیه تحت اثر ۲ سال خزش توده‌سنگ دربرگیرنده تونل .....	۱۲۶
شکل ۲۴-۵: کنترل نیروی محوری و ممان خمثی وارد بر نگهداری اولیه برای مدت زمان ۲ سال خزش توده‌سنگ دربرگیرنده تونل .....	۱۲۷
شکل ۲۵-۵: نمودار توزیع نیروی برشی روی نگهداری اولیه تحت اثر ۲ سال خزش توده‌سنگ دربرگیرنده تونل .....	۱۲۷
شکل ۲۶-۵: نمونه مقطعی از پوشش‌بتنی (نمایش نیروی محوری و گشتاور خمثی).....	۱۳۰
شکل ۲۷-۵: نمودار اندرکنش نیروی محوری-ممان خمثی برای نیروهای وارد بر پوشش‌بتنی نهایی در مدت زمان ۱۰۰ سال (پاطاق تونل). ....	۱۳۲

- شکل ۲۸-۵: نمودار اندرکنش نیروی محوری-ممان خمثی برای نیروهای وارد بر پوشش بتنی  
نهایی در مدت زمان ۱۰۰ سال (کف تونل)..... ۱۳۲
- شکل ۲۹-۵: نمودار توزیع نیروهای ممان خمثی و محوری بر روی پوشش بتنی نهایی تونل ناشی از  
نیروهای ایجاد شده در اثر ۱۰ سال خزش توده سنگ دربرگیرنده تونل (الف- نیروی محوری، ب-  
گشتاور خمثی)..... ۱۳۴
- شکل ۳۰-۵: نمودار توزیع نیروهای ممان خمثی و محوری بر روی پوشش بتنی نهایی تونل ناشی از  
نیروهای ایجاد شده در اثر ۷۰ سال خزش توده سنگ دربرگیرنده تونل..... ۱۳۴
- شکل ۳۱-۵: نمونه مقطعی از پوشش بتنی (نمایش نیروی برشی و گشتاور خمثی)..... ۱۳۵
- شکل ۳۲-۵: نمودار اندرکنش نیروی برشی- ممان خمثی برای نیروهای وارد بر پوشش بتنی نهایی  
در مدت زمان ۱۰۰ سال (قسمت پاطاق تونل)..... ۱۳۸
- شکل ۳۳-۵: نمودار اندرکنش نیروی برشی- ممان خمثی برای نیروهای وارد بر پوشش بتنی نهایی  
در مدت زمان ۱۰۰ سال (قسمت کف تونل)..... ۱۳۸
- شکل ۳۴-۵: نمودار توزیع نیروی برشی و نیروی محوری بر روی پوشش بتنی نهایی تونل ناشی از  
نیروهای ایجاد شده در اثر ۱۰ سال خزش توده سنگ دربرگیرنده تونل (در قسمت پاطاق تونل) .. ۱۳۹
- شکل ۳۵-۵: نمودار توزیع نیروهای نیروی برشی و نیروی محوری بر روی پوشش بتنی نهایی تونل  
ناشی از نیروهای ایجاد شده در اثر ۹۰ سال خزش توده سنگ دربرگیرنده تونل (قسمت کف تونل).  
۱۴۰ ..
- شکل ۳۶-۵: نمودار اندرکنش نیروی محوری- ممان خمثی برای نیروهای وارد بر پوشش بتنی  
نهایی برای مدل های الاستیک و مورکولمب ..... ۱۴۰
- شکل ۳۷-۵: نمودار اندرکنش نیروی برشی- ممان خمثی برای نیروهای وارد بر پوشش بتنی نهایی  
برای مدل های الاستیک و مورکولمب ..... ۱۴۱

# فصل اول

کہیات

## ۱-۱- مقدمه

انسان به منظور پیشرفت و تسهیل در همه ابعاد زندگی خود، دست به اقدامات بسیاری زده است.

یکی از این تسهیلات، توسعه بخش حمل و نقل به خصوص حمل و نقل جاده‌ای است. توسعه و ساخت راه‌ها ملزم به تغییرات و ساخت و ساز در محیط بوده که یکی از این تغییرات ساخت تونل است. امروزه ساخت و احداث تونل‌ها همانند دیگر علوم یک علم و رشته دانشگاهی تخصصی شده است. مهندسین و طراحان در طی مراحل ساخت، از جمله طراحی و حفر و نگهداری و ... در تونل‌ها با چالش‌های فراوانی روبرو می‌شوند.

در تونل‌های با روباره زیاد و سنگ‌های دربرگیرنده ضعیف و خردشده باید با مشکلات پایداری تونل دست و پنجه نرم کرد. یکی از مشکلات موجود در شرایط مذکور پدیده‌ای به نام پدیده مچاله‌شوندگی<sup>۱</sup> است. مچاله‌شوندگی در تونل‌ها چالشی است که مهندسین در سرتاسر جهان با آن مواجه بوده‌اند و لذا برای طراحی ایمن و اقتصادی باید تحلیل تونل‌ها و نگهداری آن‌ها از نظر مچاله‌شوندگی انجام شود.

ترزاوی اولین تعریف علمی را از سنگ مچاله‌شونده این‌گونه بیان داشت که: "سنگ مچاله‌شونده سنگی است که تمامی ساختار آن دارای مقدار قابل توجهی رس است. رس می‌تواند به صورت اولیه در

---

<sup>۱</sup> Squeezing

سنگ تشکیل شده باشد، مثل برخی از شیل‌ها، یا این که ممکن است دارای هوازدگی باشد. امکان دارد سنگ به طور مکانیکی دست‌نخورده و بکر، دارای درز و شکاف، یا خردشده باشد، این پرشدگی‌ها ممکن است باعث تغییر خواص شده و به اعضا ثانویه مثل مونتموریونیت‌ها تبدیل شوند. بنابراین خصوصیات مچاله‌شوندگی سنگ‌ها به اندازه تنوع رس‌ها متغیر می‌باشند".

ترزاقی رفتار مچاله‌شوندگی سنگ را به شرح زیر ارائه نموده است: "سنگ مچاله‌شونده بدون افزایش حجم محسوس به آهستگی به داخل تونل پیشروی می‌کند. لازمه مچاله‌شوندگی در صد بالای ذرات میکروسکوپی کانی‌های میکا یا رس بدون قابلیت تورم است" (Terzaghi K, ۱۹۴۶).

به منظور انتخاب نوع سیستم حفاری، نوع سیستم نگهداری و بهینه‌سازی صرفه اقتصادی عملیات تونل‌سازی بایستی در مرحله طراحی و برنامه‌ریزی ساخت تونل، مخاطرات و چالش‌های موجود بر سر راه پروژه تونل‌سازی پیش‌بینی شود. به همین دلیل پیش‌بینی پدیده مچاله‌شوندگی در پروژه‌هایی که در آن‌ها این پدیده محتمل هستند در دستور کار قرار می‌گیرد. برای پیش‌بینی این پدیده از راه‌کارهای مختلفی استفاده می‌شود. پرداختن به این راه‌کارها و مقایسه این راه‌کارها و روش‌ها و توصیه‌های اجرایی برای مقاوم کردن نگهداری نهایی، از اهداف اصلی در این پایان‌نامه است.

## ۱-۲- مشخصات عمومی طرح

تونل‌های البرز شامل دو تونل و یک تونل سرویس (بین دو تونل) است. در حال حاضر حفاری و تحکیم تونل سرویس به روش مکانیزه توسط TBM به اتمام رسیده است. تونل البرز به طول ۶۳۸۷ متر به عنوان طولانی‌ترین تونل راه کشور در حال احداث است. قطر دهانه تونل ۱۳/۶ متر و ارتفاع آن ۹/۵ متر است که با احداث این تونل‌ها مسیر ۱۲ کیلومتری فعلى جاده چالوس با پیچ‌های خط‌رنگ تبدیل به ۶ کیلومتر جاده امن می‌شود. حداکثر ضخامت روباره مسیر تونل حدود ۸۵۰ متر است.

### ۱-۳- ضرورت و هدف تحقیق

برای حفاری تونل در زمین‌های مچاله‌شونده لازم است ابتدا شدت مچاله‌شوندگی سنگ‌های دربرگیرنده تونل بررسی شده و سپس، با توجه به اطلاعات به دست آمده اقدام به طراحی روش حفاری و سیستم نگهداری موردنیاز نمود (Basnet C B, ۲۰۱۳).

با توجه به گزارش‌های زمین‌شناسی، سنگ‌های دربرگیرنده تونل عموماً درون ناحیه خردشده بوده و فشار سنگ به مقدار زیادی تحت تأثیر زون شکسته شده محیط اطراف تونل است (جنرال مکانیک، ۱۳۹۳). برخی از آثار مچاله‌شوندگی؛ ناپایداری در سینه‌کار، شکست پوشش تونل تحت بارهای زیاد، تغییر شکل مقطع تونل در اثر کرنش‌های زیاد، تورم و درنهایت خزش وابسته به زمان هست (Barla G, ۱۹۹۵). همچنین مقدار روباره‌ی زیاد تونل البرز، آن را برای مواجهه شدن با پدیده مچاله‌شوندگی مستعد ساخته است.

با توجه به آثار مذکور، برای استفاده از یک نگهداری بهینه و روش حفاری کاربردی و مناسب با این شرایط، لازم است تا در مرحله‌ی طراحی و برنامه‌ریزی تونل، پدیده مچاله‌شوندگی مدنظر قرار گرفته و با استفاده از روش‌های موجود، این پدیده پیش‌بینی شود.

### ۱-۴- مرور مطالعات انجام شده

تاکنون تعاریف مختلفی برای پدیده مچاله‌شوندگی از سوی محققین ارایه شده که در فصل دوم پایان نامه شرح آن‌ها داده شده است. همچنین این محققین روابطی را برای پیش‌بینی این پدیده در تونل‌ها معرفی کرده‌اند. این روابط به سه دسته کلی تجربی، نیمه تجربی و تحلیلی-تئوریکی تقسیم‌بندی می‌شوند و در برخی موارد نرم‌افزارهای عددی می‌تواند مفید واقع شود (Basnet C. B, ۲۰۱۳).

این پدیده قبلًاً توسط ترزاوی<sup>۱</sup>، سینگ<sup>۲</sup>، دوبه<sup>۳</sup>، آیدان<sup>۴</sup>، شوبرت<sup>۵</sup>، بارتون<sup>۶</sup> و گوبل<sup>۷</sup> و دیگر محققین بررسی شده است.

تونل‌سازان با تونل‌سازی در کوههای هیمالیا بارها با پدیده مچاله‌شوندگی مواجه شده‌اند. در تونل‌هایی مانند کالی گنداکی<sup>۸</sup> و تونل‌های آب مارسیانگدی میانه<sup>۹</sup> در نپال، مچاله‌شوندگی مشاهده شده و پیش‌بینی مچاله‌شوندگی در آن‌ها انجام گرفته است (Panahi K. K, ۲۰۱۳). تونل دوقلوی سن مارتین<sup>۱۰</sup> بین فرانسه و ایتالیا حفر شده و در برخی سازندها مچاله‌شوندگی رخداده که پیش‌بینی و ارزیابی مقدار آن به وسیله محققین مختلف انجام شده است (Bonini M, Barla G, ۲۰۱۲) در ایران تونل‌های انتقال آب دشت ذهاب، نوسود، بابلک مورد ارزیابی پتانسیل مچاله‌شوندگی، با استفاده از مدل‌سازی عددی، قرار گرفته‌اند (صالحی، ۱۳۸۹)، (ملایی، ۱۳۸۵) و (حسین نژاد، ۱۳۸۹).

## ۱-۵- روش انجام تحقیق

با توجه به وجود عدم قطعیت در روابط موجود پیش‌بینی پدیده مچاله‌شوندگی، از مدل‌سازی عددی به عنوان ابزاری کمک‌کننده استفاده می‌شود. در این تحقیق با استفاده از روابط تجربی، نیمه‌تجربی و تحلیلی-تئوریکی پدیده مچاله‌شوندگی در تونل البرز پیش‌بینی شده و سپس به مدل‌سازی این پدیده با استفاده از نرم‌افزار FLAC مبتنی بر روش عددی تفاضل محدود، در مقطع یا مقاطع بحرانی (از لحاظ مچاله‌شوندگی) تونل پرداخته می‌شود. سپس احتمال مچاله‌شوندگی با مقایسه با روش‌های مذکور در

<sup>۱</sup> Terzaghi

<sup>۲</sup> Singh

<sup>۳</sup> Dube

<sup>۴</sup> Aydan

<sup>۵</sup> Schubert

<sup>۶</sup> Barton

<sup>۷</sup> Goel

<sup>۸</sup> Kali Gandaki

<sup>۹</sup> Middle Marsyandgi

<sup>۱۰</sup> Sant Martin La Porte Tunnel

مسیر تونل، بررسی می‌شود. لازم به ذکر است که به دلیل عدم کفاایت و ناقص بودن اطلاعات ابزار دقیق نصب شده در تونل، از داده‌های نتایج آزمایشگاهی برای به دست آوردن پارامترهای ورودی به مدل در روش عددی، استفاده شده است.

## ۱-۶- ساختار پایان‌نامه

پایان‌نامه حاضر مشتمل بر ۶ فصل است که به شرح زیر توضیح داده می‌شود:

فصل حاضر که شامل کلیات طرح اعم از مشخصات عمومی طرح و منطقه مورد حفاری، ضرورت و هدف تحقیق و روش تحقیق است.

فصل دوم تحت عنوان مرواری بر مطالعات انجام شده است. در این فصل ابتدا تعاریف ارایه شده برای پدیده مچاله‌شوندگی توسط محققین از گذشته تابه‌حال ارایه می‌شود تا یک تعریف جامع و موردنسبت عنوان شود. سپس پدیده مچاله‌شوندگی به‌طور کامل موشکافی شده و تفاوت آن با پدیده مشابه آن به نام آماس بررسی خواهد شد. در ادامه روش‌های تجربی، نیمه تجربی و تحلیلی-تیوریکی پیشنهادشده توسط محققین مختلف و مدل‌های مورد استفاده برای تحلیل عددی این پدیده را بررسی کرده و به شرح جزئیات و روابط مدل مورداستفاده در FLAC پرداخته شده است.

در فصل سوم با توجه به اصول و پارامترهای مورد استفاده در روابط ارائه شده در فصل دوم، امتداد مسیر تونل البرز به نواحی مختلف به صورت پیوسته، دسته‌بندی می‌شود. با توجه به پارامترهای مورد نیاز در هر روش، پتانسیل مچاله‌شوندگی سنگ‌های این نواحی نشان داده شده است. درنهایت با مقایسه وضعیت نواحی مختلف، از لحاظ پتانسیل مچاله‌شوندگی، حاصل از روش‌های مختلف، یک مقطع بحرانی را تعیین کرده تا از این مقطع نمونه سنگ تهیه شده و در آزمایشگاه به انجام آزمون‌های لازم پرداخته شود.

در فصل چهارم توضیحاتی مختصر در مورد پدیده خزش در سنگ‌ها داده می‌شود. به علاوه روش‌های آزمایشگاهی آزمون خزش معرفی شده و توضیحاتی مختصر راجع به استاندارهای انجام آزمایش خزش داده شده است. سپس با توجه به آزمایش انجام‌گرفته، نمونه مدل رفتاری مورد استفاده در FLAC صحت‌سنجدگی شده است.

فصل پنجم تحت عنوان مدل‌سازی عددی و تحلیل عددی پدیده مچاله‌شوندگی در توپل البرز است. در این فصل ابتدا توضیحاتی در باب روش‌های عددی آورده می‌شود و پس از آن به مدل‌سازی عددی مقطع موردنظر با استفاده از مدل رفتاری ارائه شده در فصل دوم پرداخته می‌شود. در نهایت نتایج حاصل از مدل‌سازی برای بررسی پایداری نگهداری در نظر گرفته شده در مقطع مورد نظر، برای بازه‌های چندساله، به کمک نمودارهای ظرفیت باربری مورد ارزیابی قرار می‌گیرد. فصل ششم مربوط به جمع‌بندی، نتیجه‌گیری و پیشنهادها خواهد بود.



## فصل دوم

مرور مطالعات انجام شده

## ۱-۲- مقدمه

در این فصل با مطالعه‌ی منابع موجود، سیر تحقیقی و پژوهشی در خصوص پدیده مچاله‌شوندگی از گذشته تا سال‌های اخیر بررسی می‌شود. در این فصل به خواستگاه پدیده مچاله‌شوندگی و به پژوهش‌های انجام‌شده در زمینه پیش‌بینی و محاسبه‌ی مقدار مچاله‌شوندگی نیز اشاره می‌شود. در تکامل روش‌های تجربی و نیمه تجربی، امروزه با پیشرفت روش‌های عددی محققین برای تحلیل این پدیده، به روش‌های عددی روی آورده‌اند. بر مبنای تعاریف مختلفی که محققین از مچاله‌شوندگی ارائه داده‌اند، روش تحقیق تعریف شده است. با توجه به تحقیقات انجام‌شده روش‌های پیش‌بینی مچاله‌شوندگی به روش‌های تجربی، نیمه تجربی، تحلیلی-تیوریکی دسته‌بندی شده است.

## ۲-۲- مقدمه‌ای بر پدیده مچاله‌شوندگی

یکی از پدیده‌های مهمی که ممکن است باعث بروز مشکلات در عملیات تونل‌سازی، نگهداری و بهره‌برداری از تونل بخصوص در سنگ‌های ضعیف شود، مچاله‌شوندگی سنگ‌های مسیر آن است. اصطلاح سنگ مچاله‌شونده از نخستین روزهای احداث تونل در کوههای آلپ متداول شد و تاکنون برای آن تعاریف مختلفی ارائه شده است. به طور کلی مچاله‌شوندگی به همگرایی وابسته به زمان<sup>۱</sup> تونل‌ها در خلال حفاری گفته می‌شود. این پدیده هنگامی روی می‌دهد که تنש‌های القایی به وجود آمده در اثر حفاری زیرزمینی بیشتر از مقاومت برشی توده سنگ‌های دربرگیرنده حفره باشد.

---

<sup>۱</sup> Time Dependence

به این ترتیب خزش سنگ به داخل حفره ایجاد شده آغاز می‌شود. این تغییر شکل‌ها ممکن است در خلال احداث تونل خاتمه یافته و یا برای مدت زمان طولانی ادامه یابد. این پدیده بیشتر در ارتباط با توده‌سنگ‌ها با دگر‌شکلی و خصوصیات مقاومتی ضعیف روی می‌دهد (Barla G, ۲۰۰۲).

مقدار همگرایی تونل، سرعت تغییر شکل و گسترش زون پلاستیک در اطراف تونل بستگی به شرایط متفاوتی دارد که هر یک به تنهایی تأثیرات بسیار زیادی بر روی نتایج می‌گذارد. فشار بیش از حد سنگ ممکن است موجب گسیختگی نگهداری تونل در اثر تغییر شکل‌های بزرگ وابسته به رفتار مچاله‌شوندگی سنگ شود. زمین‌های مچاله‌شوندگی در مواجهه با تنفس بیش از حد موجب شکست پوشش بتنی می‌شوند. در حفاری‌های با مقاطع بزرگ‌تر، تمرکز تنفس بیشتری در جبهه کار تونل رخ می‌دهد و تونل در معرض تغییر شکل‌ها و ناپایداری‌های بزرگ‌تری قرار می‌گیرد. گسترش تمرکز تنفس و تغییر شکل‌های سنگ، وابسته به زمان هستند و نمایانگر این می‌باشد که خزش نقش مهمی دارد (Barla G, ۱۹۹۵).

تونل‌سازی در سنگ‌های با پتانسیل مچاله‌شوندگی، اغلب سبب ایجاد تاخیرات طولانی در احداث پروژه و تحمیل هزینه‌های زیاد می‌گردد. از این رو انتخاب روش حفاری مناسب و نصب سیستم نگهداری متناسب و به موقع نقش عمده‌ای در کنترل این پدیده و کاهش آثار نامطلوب آن خواهد داشت. مچاله‌شوندگی به دقت فن‌های حفاری، نگهداری و مراحل اتخاذ شده در تونل وابسته است. اگر نصب و نگهداری با تأخیر انجام شود، توده‌سنگ به داخل تونل حرکت خواهد کرد و توزیع مجدد تنفس اطراف آن رخ خواهد داد و بالعکس اگر به ایجاد تغییر شکل‌های سنگ با نصب سریع اجازه داده نشود، مچاله‌شوندگی منجر به بارگذاری طولانی مدت، خستگی و درنهایت شکست نگهداری‌ها می‌شود. یافته‌های حاصل از تجربیات مهندسان تونل‌سازی و نتایج حاصل از آنالیزهای تحلیلی و عددی توسط نرم‌افزارهای مختلف همگی بیان می‌دارند که یک حفاری مناسب و نگهداری بی‌عیب و کامل منجر به

پایداری پوشش نگهدارنده با ظرفیت برابری کافی برای هر دو مرحله کوتاه و بلندمدت می‌شود (Barla

.(G, Borgna S, ۱۹۹۹

### ۲-۳-مچاله‌شوندگی از دیدگاه محققین مختلف

از دیدگاه ترزاقی<sup>۱</sup> (۱۹۴۶) : مچاله‌شوندگی فقط در سنگ‌هایی که مقدار فراوانی رس دارند، اتفاق می‌افتد (این رس ممکن است در شیل به صورت خالص یا ترکیبی وجود داشته باشد). سنگ‌ها ممکن است شامل کائولینیت یا دارای خواص ویسکوز از قبیل مونتموریلونیت باشند. سنگ‌های متورم همیشه دارای میزان تراکم متوسط بوده و شامل مقدار زیادی رس پیش‌بارگذاری شده می‌باشند.

ترزاقی خاطر نشان می‌کند که سنگ مچاله‌شونده بدون ازدیاد حجم محسوس به طور آهسته به داخل تونل پیشروی می‌کند که لازمه مچاله‌شوندگی وجود درصد زیادی از ذرات میکاشیست یا رس با خواص تراکم اندک است (Barla G, ۲۰۰۲).

طبق تعریف گیودا<sup>۲</sup> (۱۹۸۲)، در مقاله‌ای تحت عنوان تحلیل تأثیرات مچاله‌شوندگی غیرخطی در اطراف تونل‌های دایروی که تهیه شده، واژه مچاله‌شوندگی جهت بیان تغییرات وابسته به زمان سنگ که توسط تمرکز تنش‌های برشی در اطراف تونل اتفاق می‌افتد به کاررفته است. اما تورم به افزایش حجم توده‌سنگ به صورت وابسته به زمان در اثر جذب آب در اطراف حفره تونل اطلاق می‌شود (Barla

.(G, ۲۰۰۲

طبق نظر اوروک<sup>۳</sup> (۱۹۸۴)، زمین مچاله‌شونده به زمینی که تحت تغییر مکان‌های قابل توجه وابسته به زمان، ناشی از افزایش بارگذاری بیش از مقاومت سنگ در مجاورت تونل رخ می‌دهد اطلاق می‌شود. این بارگذاری توسط باز توزیع تنش در اطراف فضای حفرشده اتفاق می‌افتد، درنتیجه در یک زمین

<sup>۱</sup> Terzaghi

<sup>۲</sup> Gioda

<sup>۳</sup> Rourke

مچاله‌شونده سیستم نگهداری تونل بارهای افزاینده‌ای (چند برابر بارهای اولیه) را برای هفته‌ها یا حتی ماه‌ها تجربه خواهد کرد. در برخی حالات بهتر است به زمین اجازه آزادسازی تنش و تغییر مکان داده شود، سپس سیستم نگهداری را نصب کرد. در این حالت تنش‌ها توزیع مجدد شده و نیروی کمتری به سیستم نگهداری اعمال خواهد گردید. طراحی تونل در زمین‌های مچاله‌شونده نیازمند مطالعات دقیق فاکتورهایی از قبیل تنش‌های برجا، درجه هوازدگی حفاری زمین، زمان و مقاومت وابسته به تنش، شکل پذیری زمین، نوع حفاری و روش نصب سیستم نگهداری است. حرکت‌های سطح زمین در بالای تونل ممکن است افزایش یابد. طراحی تونل در زمین مچاله‌شونده نیازمند مطالعه دقیق بر روی متغیرهایی مانند آزمون‌های برجا، درجه هوازدگی و کانی‌شناسی زمین، زمان و خواص مقاومتی و تغییر شکل مربوط به تنش زمین و فن‌ها و روش‌های حفاری و نگهداری است (Barla G, ۲۰۰۲).

طبق تعریف جتوآ<sup>۱</sup> (۱۹۸۶)، حفاری تونل در سنگ باعث اغتشاش در تنش‌های ابتدایی شده و تغییر مکان‌هایی در اثر این تنش‌های القایی موجب می‌گردد و در اثر حفاری، تمام نقاط اطراف تونل به صورت شعاعی به داخل تونل وارد می‌شوند. در توده‌های سنگی این تغییر مکان‌ها در ابتدا الاستیک و در حدود ۱٪ شعاع تونل است. این تغییر مکان‌ها مستقل از زمان بوده و به سرعت پس از حفاری به تعادل می‌رسند. به عنوان مثال پوشش نهایی بتنی در بعضی تونل‌های انتقال آب فقط جهت مقاصد هیدرولیکی طراحی می‌شوند و رفتار وابسته به زمان توده‌سنگ را مدنظر قرار نمی‌دهند. بر عکس یک توده سنگ ضعیف تحت تنش‌های القایی زیاد ناشی از حفاری گسیخته شده و منجر به تشکیل یک ناحیه خردشده در اطراف مقطع حفرشده گردیده که ممکن است ماه‌ها به تغییر شکل خود ادامه دهد (این وضعیت مچاله‌شوندگی در سنگ نامیده می‌شود). در این راستا جداره‌های تونل تحت یک تغییر مکان وابسته به زمان قرار گرفته و بارهای اعمالی بر پوشش بتنی تا زمانی که تغییر مکان دیواره به صفر

<sup>۱</sup> Jetwa ۱۹۸۶

برسد، افزایش خواهد داشت. فشار شعاعی وارد بر پوشش بتنی در این حالت، فشار نهایی سنگ نامیده خواهد شد.

اختلاف فشار بین فشار نهایی سنگ و فشار اعمالی در کوتاهمدت، فشار خزشی نام دارد که این فشار خزشی به مراتب بزرگ‌تر از فشارهای کوتاهمدت وارد بر سیستم نگهداری می‌باشد. بنابراین باید دقیق کرد پوشش نهایی بتنی برای تحمل فشار حداکثر طراحی گردد (Barla G, ۲۰۰۲).

بر اساس تعریف کواری<sup>۱</sup> (۱۹۸۸)، رفتار مچاله‌شوندگی سنگ در اثر حفاری (Barla G, ۲۰۰۲) :

- تغییر شکل‌های بزرگ که باعث تقلیل سطح مقطع حتی در کف تونل خواهد شد.
- تغییر شکل‌ها در یک دوره طولانی ادامه‌دارند.
- اگر با نصب سیستم نگهداری بخواهند جلوی این تغییر مکان‌ها را بگیرند، سیستم نگهداری سنگین خواهد شد.

سنگ با مقاومت پایین در مقابل تنש‌های اعمالی بالا مچاله خواهد شد. سنگ تا ظرفیت برابری خود تحت اعمال تنش قرار خواهد گرفت سپس جاری می‌گردد. همچنین باید توجه کرد که همیشه تغییر مکان‌های بزرگ، نتیجه مچاله‌شوندگی نیست. سنگی که شامل مصالح رسی از قبیل ایلیت و مونتموریلینیت باشد حساس به تورم خواهد بود. تورم به معنای افزایش در حجم توده‌سنگ به علت جذب آب است. توجه شود که (Barla G, ۲۰۰۲) :

- ۱- تغییر مکان‌های بزرگ سنگ که در محدوده دیوارهای و تاج تونل اتفاق می‌افتد ممکن است به علت ضعف سیستم نگهداری نصب شده در سنگ‌های درزه‌دار باشند لذا این تغییر مکان‌ها به علت شل شدگی سنگ و نه تسلیم در حوزه فراتنشی است.

---

<sup>۱</sup> Kovari

۲- ترکیدن سنگ نیز ربطی به پدیده مچاله‌شوندگی نخواهد داشت.

تعريف ارائه شده در هندوستان بهوسیله سینگ<sup>۱</sup> (۱۹۸۸): به پدیدهای که در اثر آن توده‌سنگ خردشده سیلان می‌نماید و رویداد فراتنش رخ می‌دهد و درنتیجه سنگ دچار افزایش حجم شده و به داخل فضای حفرشده حرکت می‌کند، مچاله‌شوندگی اطلاق می‌شود.

تعريف پذیرفته شده در ژاپن توسط آیدان و همکاران<sup>۲</sup>: در ژاپن وقتی تونل تغییر مکان‌های بزرگی را در طی حفاری از خود نشان می‌دهد، سنگ به عنوان یک ماده مچاله‌شونده شونده نام‌گذاری می‌شود. به طور کلی انسداد تونل در اثر پدیده مچاله‌شوندگی ممکن است شامل ۳ نوع تخریب گردد:

۱- تخریب برشی ۲- تخریب کمانشی ۳- تخریب برشی و لغزشی

همچنین پدیده مچاله‌شوندگی در صورت سیلان سنگ در اثر باز توزیع تنش‌ها در رفتار الاستو- ویسکوپلاستیک اتفاق می‌افتد که یک روند فیزیکی است، ولی تورم (با آماس) یک پدیده شیمیایی در اثر ردوبدل یون‌های بین برخی مصالح و آب حادث می‌شود (Barla G, ۲۰۰۲).

تعاریف ارائه شده از مچاله‌شوندگی توسط انجمن بین‌المللی مکانیک سنگ (ISRM<sup>۳</sup>) در سال ۱۹۹۵ عبارت‌اند از (Barla G, ۲۰۰۲):

- مچاله‌شوندگی تغییر مکان‌های بزرگ وابسته به زمان در اطراف تونل بوده که در صورت تجاوز از تنش حدی برشی مواد، وارد رفتار خزشی می‌شود. این تغییر مکان‌ها یا در حین عملیات تونل خاتمه یافته یا ممکن است مدت‌ها ادامه داشته باشد.

- مچاله‌شوندگی پدیدهای است که در سنگ یا خاک همزمان با رفتارهای القایی تنش و متناسب با خواص مواد که باعث مچاله شدن تونل و افزایش تنش در سنگ از مقاومت برشی نهایی آن

<sup>۱</sup> Singh

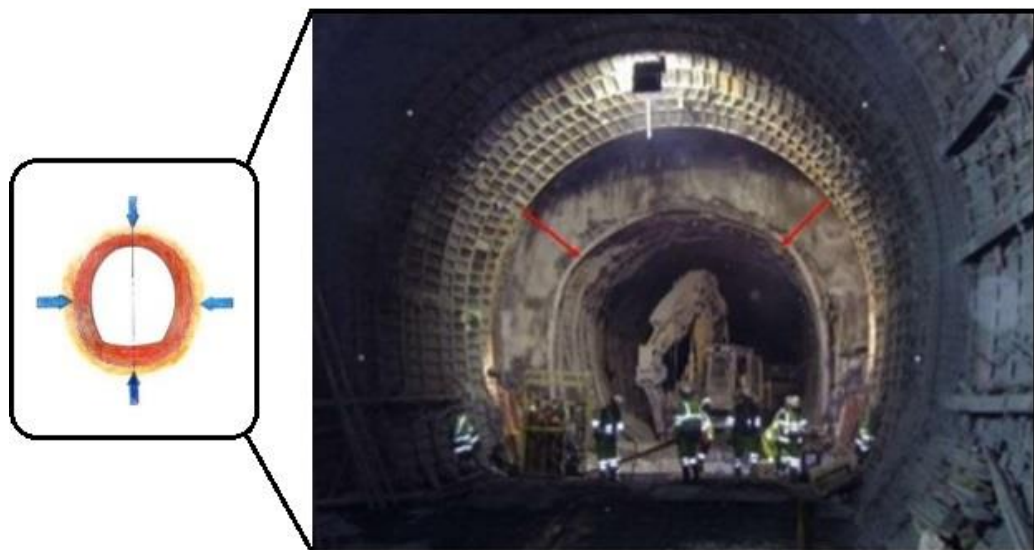
<sup>۲</sup> Aydan et al

<sup>۳</sup> International Society for Rock Mechanics

می‌شود، رخ می‌دهد.

- پدیده مچاله‌شوندگی در واقع همان فراتنشی در صورت وجود تنش‌های زیاد هست، لذا تغییر مکان‌هایی ناشی از شل شدگی ناحیه خردشده که باعث ایجاد تغییر مکان‌هایی در سقف و دیواره می‌گردد و نیز ترکیدگی سنگ، ارتباطی به مچاله‌شوندگی ندارد.

درنهایت تعریف پذیرفته شده و ارائه شده از سوی ISRM که سازوکار مچاله‌شوندگی را تعریف می‌کند به این صورت است که: همگرایی وابسته به زمان بلندمدت در طی حفر تونل هنگامی رخ می‌دهد که ترکیب ویژه‌ای از خواص مواد و تنش‌های تسليم‌کننده برخی مناطق اطراف تونل ایجاد شود و این شرایط باعث افزایش تنش‌های القایی از تنش برشی مجاز توده‌سنگ شود که در تنש القایی ایجاد شده خزش شروع می‌شود (Barla G, et al. ۲۰۰۸).



شکل ۱-۲: پدیده مچاله‌شوندگی در تونل لیون-تورین کشور فرانسه (Bonini M, Barla G, ۲۰۱۲)



شکل ۲-۲: مچاله‌شوندگی شدید در تونل انتقال آب در پروژه نیروگاه برق‌آبی ناتپاچکری<sup>۱</sup> در هند (Hoek & Marinos, ۲۰۰۰).

#### ۴-۲-موارد مطالعاتی پدیده مچاله‌شوندگی در تونل در سال‌های اخیر

با توجه به اهمیت مطالعه و تحقیق در رابطه با پدیده مچاله‌شوندگی کارهای زیادی در ابعاد مختلف، برای شناسایی و تحلیل رفتار مچاله‌شوندگی در شرایط مختلف تونل‌سازی انجام گرفته است. برای نمونه چند مورد از این مطالعات موردنظر در پیش‌رو آورده شده است.

در تونل انحراف آب در پروژه برق‌آبی کاملیا<sup>۲</sup> در غرب کشور نپال، در محدوده‌ای به طول ۸۰۰ متر مشکلات زیادی از پدیده مچاله‌شوندگی سد راه بوده است. این محدوده به ۷۲ بخش تقسیم‌بندی شده که با استفاده از روش‌های مختلف تجربی، نیمه تجربی و تحلیلی، این پدیده تحلیل و ارزیابی شده است. پارامترهای اصلی که پدیده مچاله‌شوندگی را کنترل می‌کنند پارامترهای توده‌سنگ و تنش‌های آن هستند بنابراین کیفیت تحلیل این پدیده تا حد زیادی به تخمین صحیح این پارامترهای ورودی دارد. تغییر شکل‌های دیواره تونل با استفاده از روش هوک-مارینوس<sup>۳</sup> و روش همگرایی-همجواری<sup>۴</sup>

<sup>۱</sup> Nathpa Jhakri

<sup>۲</sup> Chameliya Hydroelectric Project

<sup>۳</sup> Hoek & Marinos (۲۰۰۰)

<sup>۴</sup> Convergence Confinement Method

محاسبه شده و نتایج با نرم افزار عددی phase 2 مقایسه شده اند. همه این روش‌ها بیان می‌دارند که تغییر شکل قابل توجهی وجود دارد که باعث ایجاد مشکل مچاله‌شوندگی می‌شوند (Basnet C. (B, ۲۰۱۳).

در تونل لیون-تورین در کشور فرانسه مطالعات دقیق و گستردۀ ای پیرامون پدیده مچاله‌شوندگی انجام گرفته است. این تونل به عنوان یک مورد مناسب برای داشتن یک بینش جدید نسبت به شناسایی رفتار مچاله‌شوندگی در تونل‌ها در شرایط سخت، معروفی شده است. در این تونل با استفاده از ابزار دقیق به مدت ۵ سال رفتارنگاری انجام و محدوده‌ای با همگرایی زیاد و وابسته به زمان شناسایی شده است. از این مشاهدات برای بهینه سازی پوشش نگهداری و روش حفاری تونل بهره گرفته شده است. در این تونل از سه مدل رفتاری پیوسته وابسته به زمان برای سنگ با توجه به پیچیدگی آن‌ها در پاسخ به رفتار وابسته به زمان استفاده شده و با هم مقایسه شده اند. از این سه مدل رفتاری، مدل CVISC در نرم افزار عددی FLAC به عنوان بهترین مدل توصیف کننده پدیده مچاله‌شوندگی آمده است (Bonini M, Barla G, ۲۰۱۲).

در رشتۀ کوه‌های آلپ در کشور نپال دو مطالعه موردنی پروژه برق آبی خیمتی<sup>۱</sup> و آبرسانی ملامچی<sup>۲</sup> در مورد پدیده مچاله‌شوندگی انجام گرفته است. هر دو پروژه در طول توده‌سنگ‌های ضعیف و با روباره زیاد اجرایی شده‌اند. در تونل پروژه ملامچی آزمایش‌های آزمون خرزش از سنگ گنایس گرفته شده است. نتایج حاصل از این آزمایش‌ها برای صحت‌ستجی با پارامترهای رئولوژیکی<sup>۳</sup> در نمودارهایی ترسیم شده‌اند. با توجه به نتایج آزمایش‌های خرزش در سطوح مختلف تنش، رابطه‌ای میان نرخ کرنش و سطوح تنش برقرار می‌شود. با استفاده از روش‌های تجربی، نیمه تجربی، تحلیلی و FLAC، تحلیل برگشتی انجام می‌شود؛ و نتایج با اندازه‌گیری همگرایی‌های تونل همخوانی داشته است.

<sup>۱</sup> Khimti hydropower project

<sup>۲</sup> Melamchi

<sup>۳</sup> Rheological parameters

و در نتیجه این روش‌های تجربی، نیمه تجربی، تحلیلی و عددی برای طراحی تونل ملامچی مورد استفاده قرار گرفته‌اند (Sherestha G. L, ۲۰۰۵).

در تونل انتقال آب نوسود با طول بالغ بر ۴۸ کیلومتر در شمال غرب کرمانشاه، چالش همگرایی ناشی از مچاله شوندگی وجود داشته که این تونل با ماشین<sup>۱</sup> TBM حفاری شده است. مسیر این تونل با سنگ‌های مارنی و شیلی با RMR کمتر از ۳۰ و روباره ۹۹۵ متر است. بنابراین همگرایی و گیر کردن ماشین حفاری از چالش‌های پیش‌رو بوده است. برای بررسی موضوع وضعیت مچاله شوندگی در مقاطع مختلف مسیر تونل از روش‌های تجربی، نیمه تجربی و تحلیلی-تئوری استفاده شده است. سپس با استفاده از روش عددی میزان جابجایی شعاعی برای مقاطع موجود برآورد شده است. نتایج بررسی‌های مچاله شوندگی در مسیر سنگ‌های این تونل نشان داده‌اند که سازند حاوی سنگ‌های مارنی، شیلی و سنگ آهک، بیشترین استعداد مچاله شوندگی را از خود بروز می‌دهند. با استفاده از جابجایی‌های شعاعی به دست آمده از روش‌های تحلیلی و عددی، وضعیت مچاله شوندگی در مقاطع مختلف بررسی شده و بحرانی‌ترین مقاطع را شناسایی کرده‌اند. در نهایت با شناسایی این مقاطع از خطر گیر کردن TBM هشدار داده شده است (ملایی م، ۱۳۸۵).

تونل انتقال آب بابلک به طول ۲۶۰۰ متر در ۴۳ کیلومتری شهر بابل قرار گرفته است. با در نظر گرفتن شرایط تنفس حاکم در منطقه و مقاومت پایین توده‌سنگ، نرخ زیاد همگرایی دیوارهای تونل به پدیده مچاله شوندگی ربط داده شده است. برای مدل‌سازی عددی پدیده مچاله شوندگی از مدل رفتاری وابسته به زمان ویسکوپلاستیک برگر خرزشی استفاده شده است که برای به دست آوردن پارامترهای ورودی این مدل رفتاری، با استفاده از داده‌های ابزار دقیق آنالیز برگشتی انجام شده است. پس از بهینه‌سازی مقادیر پارامترهای ویسکوپلاستیک برگر، مقطع بحرانی (با بیشترین روباره) تونل انتقال آب بابلک برای دو حالت بدون مچاله شوندگی و با حضور پدیده مچاله شوندگی (تحلیل وابسته به زمان)

---

<sup>۱</sup> Tunnel Boring Machine

مدل‌سازی شده است. نتایج مدل‌سازی‌ها نرخ زیاد همگرایی دیواره ( $mm/day / ۰/۳$ ) را برای مقطع بحرانی مذکور پیش‌بینی می‌کند که پیشنهاد شده است برای جلوگیری از همگرایی زیاد دیواره تونل، کف‌بند به همراه سیستم نگهداری موقت نصب شود (حسین نژاد، ۱۳۸۹).

تونل انتقال آب دشت ذهاب با طول ۲۵ کیلومتر در غرب ایران در کرمانشاه حفاری شده است. بخش اعظمی از مسیر این تونل از سنگ‌های آهکی به همراه شیل و مارن تشکیل شده است و چندین زون گسلی در این مسیر به چشم می‌خورد و روباره مسیر تونل به ۹۹۸ متر می‌رسد. این موضوع شرایط را برای وقوع پدیده مچاله‌شوندگی مهیا نموده است. در این پروژه پدیده مچاله‌شوندگی با استفاده از روش‌های تجربی، نیمه تجربی و تحلیلی-تیوریکی پیش‌بینی شده‌اند تا بخش‌های با مچاله‌شوندگی زیاد شناسایی شوند. مقطعی از تونل که بیشتر این روش‌ها آن را مچاله‌شوندۀ تشخیص داده‌اند برای مدل‌سازی عددی انتخاب می‌شود. سپس با استفاده از مدل رفتاری برگرخزشی در نرم‌افزار FLAC این مقطع بحرانی مچاله‌شوندۀ، مدل‌سازی عددی می‌شود. پارامترهای ورودی این مدل رفتاری با استفاده از نتایج ابزار دقیق از روش تحلیل برگشته به دست آمده‌اند. با توجه به تحلیل‌های انجام شده مقطع بحرانی مذکور، نیاز به طراحی مجدد سیستم نگهداری دارد تا بتواند از بروز پدیده مچاله‌شوندگی جلوگیری کند (صالحی، ۱۳۸۹).

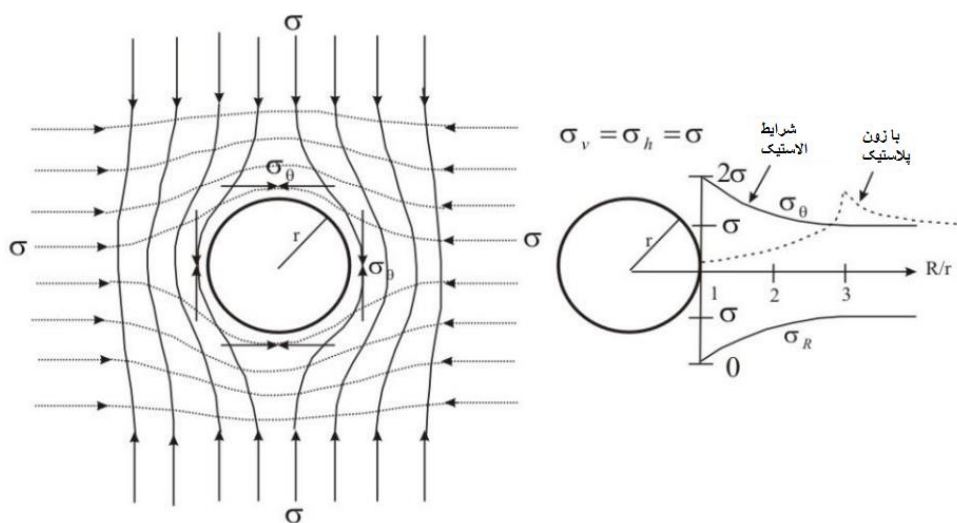
## ۲-۵-مشکلات ناپایداری تونل ناشی از مچاله‌شوندگی

هنگامی که تنש اطراف تونل از مقاومت سنگ تجاوز می‌کند، این تنש‌ها مشکلات پایداری را برای تونل به وجود می‌آورند. عمدتاً دو دلیل عمدۀ برای ناپایداری تونل ناشی از تنش ایجاد شده وجود دارد.

### ۲-۵-۱-مشکلات ناشی از تنش کششی

پس حفر تونل درون زمین، تنش‌های موجود در اطراف تونل بهم می‌خورند تا یک توزیع مجدد تنش صورت گیرد. در شکل ۲-۳ این توزیع مجدد و نمایش داده شده است و مقادیر تنش‌های القایی

ایجاد شده در تونل با روابط ۱-۲ و ۲-۲ ارایه شده‌اند. در روابط ۳-۲ و ۴-۲ مقادیر تنش‌های مماسی حداقل و حداقل در اطراف تونل ارایه شده‌اند. اگر مقدار تنش مماسی حداقل که در رابطه ۴-۲ داده شده است منفی باشد، به عنوان مثال ناحیه در تنش کششی است، درزه‌های شعاعی توده‌سنگ در آن ناحیه به وجود می‌آید. در بیشتر موارد درزه کششی تأثیر خیلی زیادی روی پایداری سنگ ندارد. برای تونل‌های تحت‌فشار این موضوع اهمیت دارد که درزه‌های ثانویه و بازشده‌گی درزه‌های موجود ممکن است سطح آب خارج از تونل را افزایش بدهد (Basnet C. B, ۲۰۱۳).



شکل ۳-۲: مدارهای تنش در توده‌سنگ اطراف تونل دایروی (چپ)، و توزیع تنش شعاعی و مماسی در شرایط الاستیک و غیر الاستیک (راست) (Basnet C. B, ۲۰۱۳).

مطابق شکل ۳-۲ (راست)، تنش‌های مماسی ( $\sigma_\theta$ ) و تنش شعاعی ( $\sigma_R$ ) در محیط تونل در شرایط تنش ایزوفستاتیک و برای ماده سنگ الاستیک به ترتیب دو بار و صفر مرتبه تنش ایزوفستاتیک است. تنش‌ها به عنوان نسبت بین فاصله شعاعی ( $R$ ) و شعاع تونل ( $r$ ) افزایش می‌یابد. مقادیر  $\sigma_\theta$  و  $\sigma_R$  برابر است با:

$$\sigma_\theta = \sigma \times \left( 1 + \frac{r^2}{R^2} \right) \quad 1-2$$

$$\sigma_R = \sigma \times \left( 1 - \frac{r^2}{R^2} \right) \quad 2-2$$

هرچند، شرایط تنش به ندرت ایزوفستاتیک است و مقادیر متفاوتی از تنش اصلی حداکثر ( $\sigma_1$ ) و تنش اصلی حداقل ( $\sigma_3$ ) در مقدار تنش‌های مماسی تفاوت ایجاد می‌کند. طبق حل رابطه کرج<sup>۱</sup> تنش مماسی هنگامی به حداکثر مقدار ( $\sigma_{\theta max}$ ) خود می‌رسد که جهت  $\sigma_1$  مماس بر خطوط کنتور (مطابق شکل ۳-۲) باشد، و حداقل مقدارش ( $\sigma_{\theta min}$ ) زمانی است که جهت  $\sigma_3$  نیز مماس گردد. مقادیر حقیقی به صورت زیر می‌باشند:

$$\sigma_{\theta max} = 3\sigma_1 - \sigma_3 \quad 3-2$$

$$\sigma_{\theta min} = 3\sigma_3 - \sigma_1 \quad 4-2$$

در برخی توده‌سنگ‌ها، با توجه به شکل ۳-۲ (راست) خط‌چین، تنش‌های مماسی حداکثر تا رسیدن به ناحیه الاستیک حرکت می‌کنند. بنابراین، یک حل برای تنش‌ها و جابجایی‌های به‌دست‌آمده از تئوری پلاستیسیته می‌تواند بنایی مفید برای تحلیل در شرایط برخی توده‌سنگ‌ها فراهم آورد .Sherestha G. L, ۲۰۰۵) و (Barla G, ۲۰۰۲)

## مشکلات ناشی از تنش فشاری بالا -۲-۵-۲

اگر تنش مماسی فشاری، رابطه ۳-۲، از مقاومت سنگ بیشتر باشد، عمدتاً دو نوع از مشکلات ناپایداری وابسته به مشخصات توده‌سنگ به وجود می‌آید (Basnet C. B, ۲۰۱۳):

۱- انفجار سنگ/سقوط سنگ: اگر تنش مماسی فشاری از مقاومت سنگ متجاوز شود، شکستگی

موازی با خطوط تراز تونل در سنگ سخت اتفاق می‌افتد. فرآیند شکستگی اغلب همراه با

---

<sup>۱</sup> Kirsch

صداهای بلند از سنگ است، پدیده‌های که عموماً به عنوان انفجار سنگ<sup>۱</sup> از آن یاد می‌شود. در سطوح تنفس متوسط شکستگی منجر به شل شدن پوسته‌های نازک سنگ می‌گردد، و اغلب به عنوان پوسته‌شدن سنگ از آن یاد می‌شود. اگر تنفس مماسی بسیار زیاد باشد، فعالیت انفجار سنگ بسیار چشمگیر خواهد بود. در موارد بسیار شدید ممکن است پوسته‌های سنگ با سرعت و نیروی قابل توجهی ظاهر شوند. فعالیت انفجار سنگ در جبهه کار شدیدترین حساسیت را بلا فاصله پس از حفاری دارد. اما تحلیل و ارزیابی ریسک انفجار سنگ و پوسته‌شدن سنگ موضوع این تحقیق نیست. بیشترین تمرکز تحقیق حاضر روی مشکل ناپایداری حاصل از مچاله‌شوندگی در تونل است.

-۲- مچاله‌شوندگی تونل یا تغییر شکل‌های پلاستیکی: در سنگ‌های نرم مشکلات تنفس با پوسته‌شدن یا انفجار سنگ توصیف نمی‌شود. زیرا طبیعت پلاستیکی برخی از سنگ‌ها مشکل بالقوه در اینجا مچاله‌شوندگی خواهد بود. در بیشتر موارد کاهش قطر تونل به اندازه دهها سانتی‌متر در تونل‌های مچاله‌شونده در بیشتر نواحی هیمالیا اتفاق افتاده است.

## ۶-۶- مقایسه بین مچاله‌شوندگی و آماس در توده‌سنگ

این مقایسه توسط جتوا و هور<sup>۲</sup> انجام شده و نتایج تحقیقات آن‌ها به شرح جدول ۱-۲ است:

جدول ۱-۲: مقایسه بین پدیده‌های مچاله‌شوندگی و آماس (Barla G, Borgna S, ۱۹۹۹).

آماس‌پذیری	پدیده یا فرآیند	پارامتر
	مچاله‌شوندگی	
انبساط حجمی در رابطه با ورود آب و رطوبت در زمین‌هایی که حاوی کانی‌های آماسی (رسی) هستند.	انبساط حجمی کم زمین‌های ضعیف و نرم مطابق با تنفسی که در اثر گسیختگی برخی حاصل شده است. زون متراکم که می‌تواند بین زون‌های شکسته شده ایجاد شود.	علت

<sup>۱</sup> Rock Burst

<sup>۲</sup> Jethwa & Hor ۱۹۹۶

سرعت اولیه زیاد برای دو هفته اول تا این که رطوبت به طور عمقی در زمین نفوذ کند.	سرعت اولیه زیاد، چندین سانتی‌متر در روز برای هفته اول و دوم پس از حفاری	سرعت همگرایی	همگرایی فضای
کاهش با گذر زمان همان‌طور که رطوبت در زمین به طور عمقی نفوذ می‌کند.	کاهش با گذر زمان		
ممکن است برای سال‌ها ادامه داشته باشد اگر زمین مربوط به سمت خارج گودبرداری شود تا زمین جدید رخنمون پیدا کند.	ممکن است برای سال‌ها در حالت‌های خاص ادامه داشته باشد.	مدت‌زمان همگرایی	حفاری
چندین برابر ضخیم‌تر است. درجه اشباع پس از ساخت ممکن است ناحیه آماس شونده را به طور خاصی افزایش دهد.	می‌تواند تا چندین برابر ضخامت قطر تونل باشد.	گسترش زون تحت تأثیر	

## ۷-۲-روش‌های پیش‌بینی پتانسیل مچاله‌شوندگی

این روش‌ها به سه دسته کلی روش‌های تجربی، نیمه تجربی و تحلیلی-تئوریکی دسته‌بندی می‌شوند. در ادامه به تشریح و کاربرد این روش‌ها پرداخته می‌شود.

### ۱-۷-۲- روشهای تجربی

در روش‌های تجربی، تحلیل‌ها کاملاً بر مبنای تجربه و مقایسه است. انواع مختلفی از روش‌های تجربی توسط محققین مختلف برای ارزیابی پدیده مچاله‌شوندگی ارائه شده است. بسته به شاخص‌های مورداستفاده، روش‌های تجربی را می‌توان در سه گروه زیر دسته‌بندی نمود (Sherestha G. L, ۲۰۰۵)

- روش نسبت تنش- مقاومت
- روش تخمین کرنش
- روش طبقه‌بندی تودهسنگ

## ۱-۱-۷-۲ روش نسبت تنش- مقاومت

وود<sup>۱</sup> فاکتور کفایت<sup>۲</sup>  $F_c$  را برای ارزیابی تنش عامل ناپایداری تونل، پیشنهاد داده است.  $F_c$  به عنوان نسبت مقاومت فشاری تکمحوره تودهسنگ ( $\sigma_{cm}$ ) به تنش روباره تعریف می‌شود. هنگامی که ( $F_c$ ) کمتر از ۲ باشد، زمین در معرض تنش بیش از حد در محیط اطراف حفاری تونل قرار می‌گیرد و بایستی سیستم نگهداری مناسب برای تونل در نظر گرفته شود. این پارامتر توسط بسیاری از محققین برای شناسایی پتانسیل مچاله‌شوندگی تونل‌ها استفاده شده است (Hoek E, ۲۰۰۰).

برای شرایط مچاله‌شوندگی:

$$F_c = \sigma_{cm} / \gamma_H$$

۵-۲

که γ واحد وزن تودهسنگ و H ارتفاع روباره تونل و  $\sigma_{cm}$  مقاومت فشاری تکمحوره تودهسنگ است.

این یکی از راههای آسان و در دسترس برای ارزیابی پتانسیل مچاله‌شوندگی قبل از شروع حفاری است. هرچند، نیاز است  $\sigma_{cm}$  (مقاومت فشاری تکمحوره تودهسنگ) از مقاومت فشاری تکمحوره سنگ بکر و از بعضی روابط تجربی محاسبه شود.

این روش بعدها توسط جتو<sup>۳</sup> و همکارانش در سال ۱۹۸۴ کامل‌تر شد. ایشان بازه کوچک‌تری از فاکتور کفایت  $F_c$  را در شرایط مچاله‌شوندگی در نظر گرفتند. بدین ترتیب که آنرا به ۴ بازه کوچک‌تر دسته‌بندی کرده و به صورت تحلیلی شرایط مچاله‌شوندگی زیاد، متوسط، کم و بدون مچاله‌شوندگی را تعریف کردند. از آنجاکه در اغلب دسته‌بندی‌ها روش جتو<sup>۴</sup> روش‌های نیمه‌تجربی آمده است،

<sup>۱</sup> Wood ۱۹۷۲

<sup>۲</sup> Competence Factor

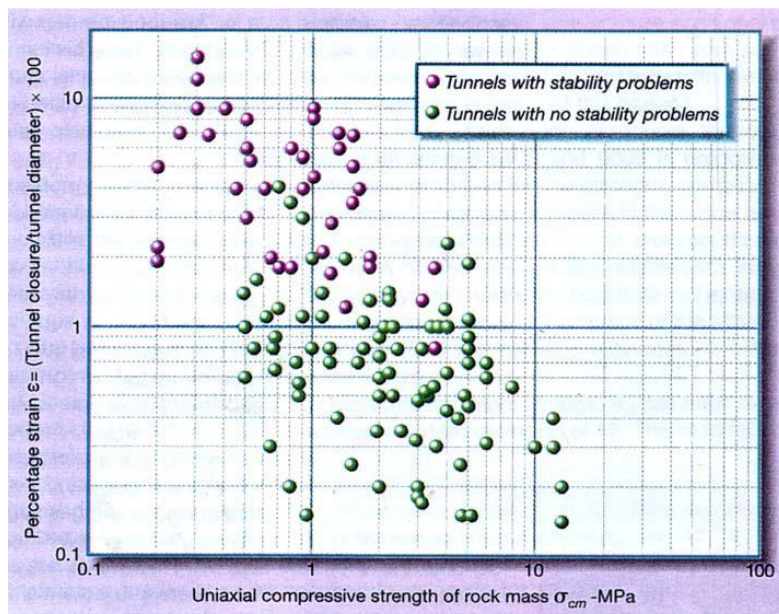
<sup>۳</sup> Jethwa

بنابراین این روش در بخش روش‌های نیمه‌تجربی به صورت کامل‌تر توضیح و ارائه خواهد شد (Barla ۲۰۰۲ و Basnet C. B. ۲۰۱۳).

## -۲-۷-۲ روشن تخمین کرنش

ساری<sup>۱</sup> در سال ۱۹۸۲، کرنش مماسی تونل‌ها را به عنوان پارامتری برای ارزیابی درجه مچاله‌شوندگی سنگ پیشنهاد داد، او همچنین یک مقدار آستانه ۱٪ را برای تشخیص مچاله‌شوندگی پیشنهاد کرد. کرن<sup>۲</sup> نشان داد که، برای تونل‌های ساخته شده در تایوان، هنگامی که کرنش از حدود ۱٪ تجاوز می‌کند مشکلات ناپایداری تونل اتفاق می‌افتد. این نتیجه در شکل زیر نشان داده شده است

(Sherestha G. L, ۲۰۰۵))



شکل ۴-۲: درصد کرنش (انسداد تونل/قطر تونل) برای مقاومت‌های مختلف تونل‌سنگ (Sherestha G. L, ۲۰۰۵)

<sup>۱</sup> Saari

<sup>۲</sup> Chern

محاسبه کرنش یک امر بسیار مهم پیش از شروع حفاری است. برای محاسبه کرنش ممکن است نیاز به استفاده از روش‌های نیمه‌تجربی یا روابط تجربی باشد.

### ۱-۲-۷-۲ - روش طبقه‌بندی توده‌سنگ

این روش بر مبنای امتیاز حاصل از طبقه‌بندی مهندسی توده‌سنگ است. محققین مختلفی شاخص‌های متفاوتی با استفاده از یکی از سیستم‌های طبقه‌بندی مهندسی توده‌سنگ پیشنهاد داده‌اند. بعضی از این روش‌ها در زیر آمده‌اند:

#### الف) روش سینگ و همکاران (۱۹۹۲)

سینگ و همکارانش<sup>۱</sup> بر پایه ۳۹ مطالعه موردنی و بر اساس روباره سینگ و با توجه به مطالعات جمع‌آوری شده از  $Q$ -شاخص کیفی توده‌سنگ<sup>۲</sup> - و سرباره  $H$ , سینگ و همکاران معادله یک خط راست را در نموداری بر مبنای  $H$  و  $Q$  ارائه دادند. نقاط بالای خط بیانگر شرایط مچاله‌شوندگی بوده در حالی که نقاط زیرخط مبین نقاطی هستند که مچاله‌شوندگی محتمل نیست (Singh B, et al. ۱۹۹۲). معادله این خط به صورت رابطه ۶-۲ است و مقاومت فشاری تکمحوره توده‌سنگ از رابطه ۲-۶ تخمین زده می‌شود:

$$H = 35 \cdot Q^{1/3} \text{ (m)} \quad 6-2$$

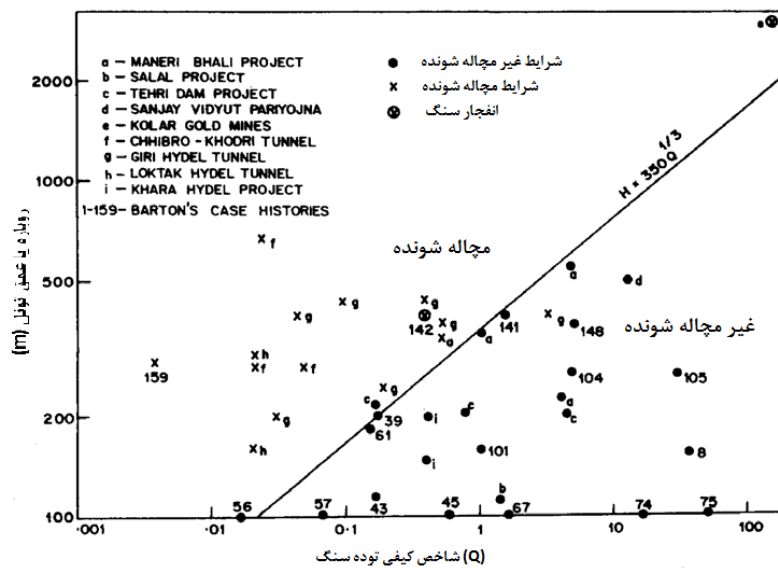
$$\sigma_{cm} = 0.7 \gamma Q^{\frac{1}{4}} \text{ (MPa)} \quad 7-2$$

که در آن  $\gamma$  وزن مخصوص توده‌سنگ است.

---

<sup>۱</sup> Singh et al.

<sup>۲</sup> Rock Mass Quality Index



شکل ۲-۵: روش سینگ و همکاران برای پیش‌بینی شرایط مچاله‌شوندگی (Singh B, et al ۱۹۹۲).

مطابق با شکل ۲-۵ در شرایط مچاله‌شوندگی رابطه زیر صادق است:

$$H \gg 350 Q^{1/3} (\text{m}) \quad 8-2$$

و برای شرایط غیر مچاله‌شوندگی:

$$H \ll 350 Q^{1/3} (\text{m}) \quad 9-2$$

ب) روش گوئل و همکاران (1994)<sup>۱</sup>

گوئل و همکاران یک روش تجربی را بر مبنای عدد توده‌سنگ N ارائه دادند، بطوریکه مقدار N برابر با  $Q = 1 / SRF$  تعریف می‌شود. ارتفاع روباره تونل H، دهانه یا قطر تونل B، عدد توده‌سنگ N از ۹۹ بخش از تونل در نظر گرفته شده است و گوئل و همکارانش اطلاعات در دسترس را روی نمودار لاغ-لاغ  $N^{1/10}$  و  $HB^{1/10}$  ترسیم نموند (شکل ۶-۲). ۳۹ مورد از این اطلاعات از مطالعات موردنی بارتون<sup>۲</sup>

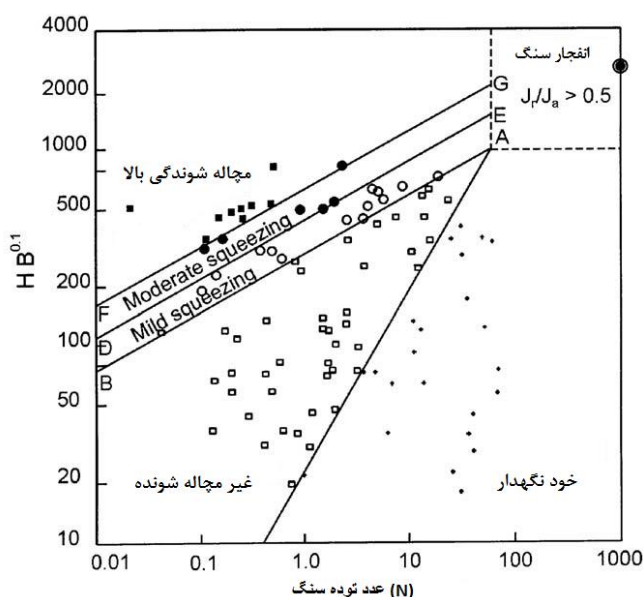
<sup>۱</sup> Goel et al.

<sup>۲</sup> Barton

و ۶۰ تای آن‌ها از پروژه‌های انجام شده در هند گرفته شده است. با توجه به شکل ۶-۲ خط AB موارد مچاله‌شونده و غیرمچاله‌شونده را متمایز می‌کند. رابطه این خط به صورت زیر است:

$$H = (275N^{0.73})B^{-1} \quad 10-2$$

نقاط بالای خط در این نمودار شرایط مچاله‌شوندگی و نقاط پایین خط شرایط غیر مچاله‌شوندگی را نشان می‌دهند.



شکل ۶-۲: پیش‌بینی وضعیت مچاله‌شوندگی توسط گوئل و همکاران (Goel R K, ۲۰۰۰)

که در آن معادله خط مرزی بین شرایط مچاله‌شوندگی و غیر مچاله‌شوندگی به صورت رابطه زیر تعیین می‌شود:

$$H = (275N^{0.73})B^{-1} (m) \quad 11-2$$

به عبارت دیگر برای حالت مچاله‌شوندگی:

$$H \gg (275N^{0.73})B^{-1} (m) \quad 12-2$$

و برای حالت غیر مچاله‌شوندگی:

$$H \ll (275N^{0.73})B^{-1} (m) \quad 13-2$$

❖ ناحیه خود پایدار<sup>۱</sup>:

ناحیه خود پایدار که مچاله‌شوندگی در آن اتفاق نمی‌افتد و نیاز به نگهدارنده نیز ندارد.

❖ ناحیه غیر مچاله‌شوندگه<sup>۲</sup>:

زمین‌های غیر مچاله‌شوندگه که در برخی نواحی به سیستم حفاظتی نیاز دارند.

❖ ناحیه با مچاله‌شوندگی کم<sup>۳</sup>:

زمین‌های با مچاله‌شوندگی کم که به سیستم حفاظتی نیاز دارند.

❖ ناحیه با مچاله‌شوندگی متوسط<sup>۴</sup>:

زمین‌های با پتانسیل مچاله‌شوندگی متوسط که به سیستم حفاظتی مقاوم نیاز دارند.

❖ ناحیه با مچاله‌شوندگی زیاد<sup>۵</sup>:

زمین‌های با مچاله‌شوندگی بالا که به سیستم حفاظتی بسیار مقاوم نیاز دارند.

خلاصه این تقسیم‌بندی به همراه معادله خطوط جداکننده نواحی مختلف در جدول ۲-۲ ارائه شده

است (Goel R K, ۲۰۰۰)

جدول ۲-۲: ارزیابی شرایط مچاله‌شوندگی در روش گوئل (Goel R K, ۲۰۰۰)

روابط	شرایط زمین
$H < ۲۳.۴N^{۰.۸۸}B^{-۰.۱}$	خود نگهدار
$۲۳.۴N^{۰.۸۸}B^{-۰.۱} < H < ۲۷۵N^{۰.۳۳}B^{-۰.۱}$	غیر مچاله‌شوندگه
$۲۷۵N^{۰.۳۳}B^{-۰.۱} < H < ۴۵N^{۰.۳۳}B^{-۰.۱}$	مچاله‌شوندگی کم
$۴۵N^{۰.۳۳}B^{-۰.۱} < H < ۶۳N^{۰.۳۳}B^{-۰.۱}$	مچاله‌شوندگی متوسط
$۶۳N^{۰.۳۳}B^{-۰.۱} < H$	مچاله‌شوندگی بالا

<sup>۱</sup> Self supporting

<sup>۲</sup> Non Squeezing

<sup>۳</sup> Mild Squeezing

<sup>۴</sup> Moderate Squeezing

<sup>۵</sup> High Squeezing

پ) روش‌های طبقه‌بندی مهندسی توده‌سنگ  $RMR$ , سیستم  $Q$

این روش‌ها به دو دسته  $RMR$  و  $Q$  طبقه‌بندی می‌شوند. از آن جا که کاربرد کمتری دارند، تنها در حد ذکر روش در اینجا آورده شده است و برای بررسی پتانسیل مچاله‌شوندگی تونل از آن استفاده نشده است.

## ۸-۲-روش‌های نیمه‌تجربی

تعداد کمی روش نیمه‌تجربی برای تخمین تغییر شکل حاصل از مچاله‌شوندگی و تخمین فشار نگهداری در تونل مچاله‌شونده، پیشنهاد شده است. روش‌های متداول نیمه‌تجربی در ادامه توضیح داده شده‌اند.

### ۱-۸-۲-روش جتوا و همکاران (۱۹۸۴)

درجه مچاله‌شوندگی توسط جتوا و همکاران به صورت زیر ارائه شده است:

$$N_c = \frac{\sigma_{cm}}{P_o} = \frac{\sigma_{cm}}{\gamma H} \quad ۱۴-۲$$

که در آن  $\sigma_{cm}$  مقاومت تک محوری توده‌سنگ،  $H$  عمق تونل،  $P_o$  تنش در جا،  $\gamma$  وزن مخصوص توده سنگ می‌باشد (Jethwa J L, et al. ۱۹۸۴).

جدول ۳-۲: طبقه‌بندی مچاله‌شوندگی بر مبنای نظریه جتوا و همکاران (Jethwa J L, et al. ۱۹۸۴)

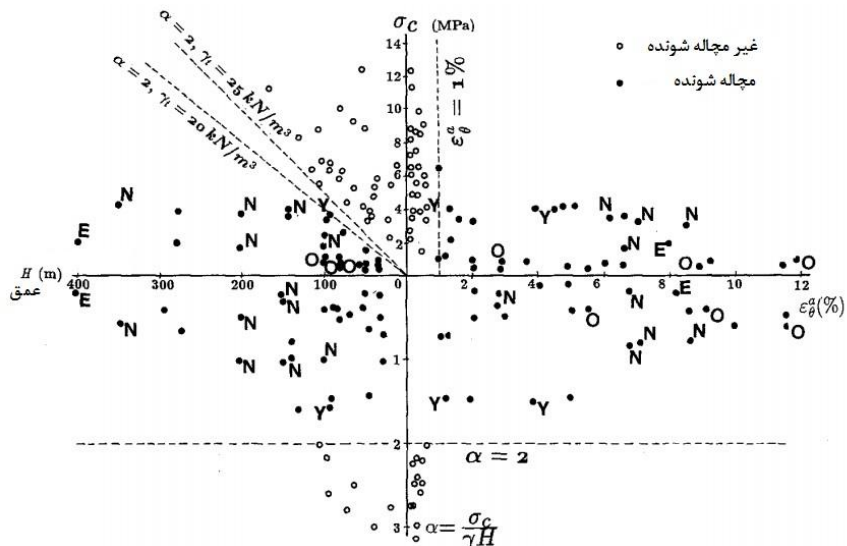
$N_c = \frac{\sigma_{cm}}{P_o}$	نوع رفتار
$< 0/4$	مچاله‌شوندگی زیاد
$0/4-0/8$	مچاله‌شوندگی متوسط
$0/8-2$	مچاله‌شوندگی ملایم
$> 2$	غیر مچاله‌شونده

<sup>۱</sup> Jethwa et al.

آیدان و همکاران، بر مبنای تجربیات تونل‌سازی در زلپن، رابطه‌ای بین مقاومت سنگ بکر  $\sigma_{ci}$  بر حسب  $MPa$  و فشار روباره  $\gamma H$  ارائه کردند. همان‌طور که در شکل ۷-۲ دیده می‌شود، اگر نسبت  $\frac{\sigma_c}{\gamma H}$  کمتر از ۲ باشد، شرایط مچاله‌شوندگی حاکم خواهد بود. مفهوم پایه‌ای این روش بر مبنای قیاس بین تنش مشخصه تنش کرنش سنگ در آزمون آزمایشگاهی با مشخصه تنش-کرنش مماسی در اطراف تونل هست. به کمک شکل ۷-۲ در تنش همه‌جانبه کم  $\sigma_c$  (یعنی  $15\% \leq \sigma_c / 100$ ) روابطی برای تعیین سطوح کرنش نرمال شده<sup>۲</sup> ارائه می‌شوند:

$$\eta_s = \frac{\varepsilon_s}{\varepsilon_e} = 3 \sigma_{ci}^{-0.25}, \quad \eta_f = \frac{\varepsilon_f}{\varepsilon_e} = 5 \sigma_{ci}^{-0.32}, \quad \eta_p = \frac{\varepsilon_p}{\varepsilon_e} = 2 \sigma_{ci}^{-0.17} \quad ۱۵-۲$$

که  $\varepsilon_p$  (کرنش حدی پلاستیک) و  $\varepsilon_f$  (کرنش حدی گسیختگی) مقادیر کرنش نشان داده شده در شکل ۷-۲ بوده و همچنین  $\varepsilon_e$  کرنش حدی الاستیک<sup>۳</sup> است (Aydan et al. ۱۹۹۳).



شکل ۷-۲: پیش‌بینی شرایط مچاله‌شوندگی به روش آیدان و همکاران (۱۹۹۳).

<sup>۱</sup> Aydan et al. ۱۹۹۳

<sup>۲</sup> Normalized strain limit

<sup>۳</sup> Elastic strain limit

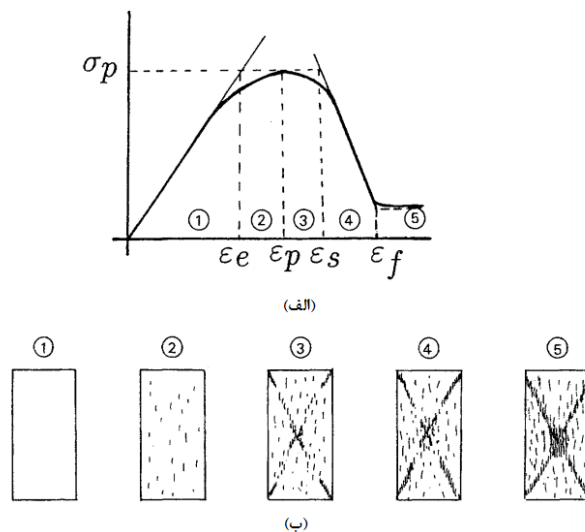
برای برآورد وضعیت مچاله‌شوندگی با روش نیمه‌تجربی ارائه شده توسط آیدان و همکاران، جابجایی‌های شعاعی به دست آمده از روش کانزا تورس - فرهاسن<sup>۱</sup> مورد استفاده قرار گرفته‌اند. درنهایت بر پایه راه حل تحلیلی فرم بسته که بر اساس محاسبه سطح کرنش  $\theta^a$  در محیط تونل دایره‌ای تحت میدان تنش هیدروستاتیک قرار گرفته، ۵ درجه مختلف برای حالت‌های مچاله‌شوندگی متصور خواهد بود، که در جدول ۴-۲ نشان داده شده است. همچنین برخی اظهارنظرها در رابطه با رفتار تونل در این شرایط بیان گردیده است.

جدول ۴-۲: طبقه‌بندی رفتار مچاله‌شوندگی سنگ‌ها طبق نظریه آیدان و همکاران (Aydan et al. ۱۹۹۳).

کلاس	درجه فشارندگی	نشانه	رابطه	Riftar Tونل
۱	غیر مچاله‌شوندگی	NS	$\frac{\varepsilon_\theta^a}{\varepsilon_\theta^e} \leq 1$	سنگ رفتاری الاستیک داشته و تونل تا زمانی که تأثیر جبهه‌کار متوقف شود پایدار است.
۲	مچاله‌شوندگی ضعیف	LS	$1 < \frac{\varepsilon_\theta^a}{\varepsilon_\theta^e} \leq \eta_p$	سنگ رفتار کرنش همراه با سخت‌شوندگی بروز خواهد داد و درنتیجه تونل پایدار بوده و تا مدامی که تأثیرات جبهه‌کار بازبایستد، جابجایی‌ها موجب همگرایی تونل نخواهد شد.
۳	مچاله‌شوندگی متوسط	FS	$\eta_p < \frac{\varepsilon_\theta^a}{\varepsilon_\theta^e} \leq \eta_s$	سنگ رفتار کرنش همراه با نرم شوندگی نشان داده و جابجایی‌ها شدیدتر خواهد بود و تا زمانی که تأثیر جبهه‌کار متوقف شود تونل کمی همگرا خواهد شد.
۴	مچاله‌شوندگی زیاد	HS	$\eta_s < \frac{\varepsilon_\theta^a}{\varepsilon_\theta^e} \leq \eta_f$	سنگ رفتار کرنش همراه با نرم شوندگی را با نرخ شدیدتری نشان می‌دهد. درنتیجه جابجایی‌ها بزرگ‌تر شده و تونل همگرا خواهد شد.
۵	مچاله‌شوندگی بسیار شدید	VHS	$\eta_f < \frac{\varepsilon_\theta^a}{\varepsilon_\theta^e}$	جریان سنگ، که جابجایی‌ها بسیار زیاد موجب تخریب فضای حفرشده و حفاری مجدد حفره ضرورت می‌یابد و نیاز به پوشش بسیار مقاوم دارد.

<sup>۱</sup> Carranza – Torres , Fairhurst

که  $\frac{\sigma_{cm}}{E_m}$  یا کرنش الاستیک تودهسنگ،  $\varepsilon_\theta^e = \frac{\sigma_\theta}{E_m}$  کرنش مماسی اطراف تونل دایره‌ای در میدان تنش هیدرولاستاتیک و  $\sigma_\theta = 2P_0$  تنش مماسی حداقل در جداره تونل هست.



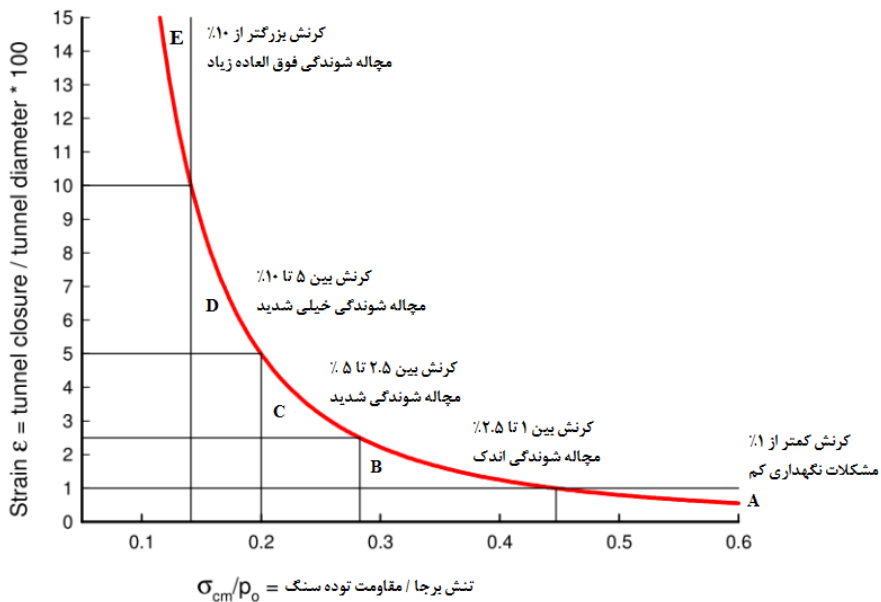
شکل ۸-۲: منحنی ایده آل تنش - کرنش در ارتباط با رفتار مچاله‌شوندگی سنگ توسط آیدان و همکاران (Aydan et al. ۱۹۹۳)

در شکل ۸-۲ نمونه‌های سنگی تحت سطوح مختلف قرار گرفته‌اند و در این سطوح از تنش، رفتار کرنشی نمونه‌ها سنجیده شده و نشان داده شده است.

### ۳-۸-۲- روش هوک و مارینوس<sup>۱</sup>

هوک و مارینوس نشان دادند که نموداری از کرنش تونل ( $\varepsilon$ ) بر حسب نسبت  $\sigma_{cm}/P_0$  برای ارزیابی مسائل مربوط به شرایط مچاله‌شوندگی، قابل کاربرد است (شکل ۹-۲). در معیار هوک و بروان برای تخمین مقاومت و مشخصات تغییر شکل تودهسنگ فرض می‌شود که تودهسنگ رفتاری همسان‌گرد دارد. هرچند، اگر تودهسنگ به شدت شکسته شده باشد، پیوستگی سنگ‌بستر قطع خواهد شد و سنگ ممکن است رفتاری به عنوان توده همسان‌گرد داشته باشد. بنابراین این معیار می‌تواند برای تودهسنگ‌های ضعیف ناهمگن هم کاربرد داشته باشد.

<sup>۱</sup> Hoek & Marinos.



شکل ۹-۲ : طبقه‌بندی رفتار مچاله‌شوندگی (Hoek E, Marninos P, ۲۰۰۰)

نمودار شکل ۹-۲ از رابطه‌ی زیر به دست می‌آید:

$$\varepsilon = \frac{\delta_i}{d_o} = \left[ 0.002 - 0.0025 \frac{P_i}{P_o} \right] \left( \frac{\sigma_{cm}}{P_o} \right)^{(2/4 \frac{P_i}{P_o} - 2)} \quad 16-2$$

در این رابطه، مقدار فشار نگهداری ( $P_i$ ) برای شرایط بدون نگهدارنده صفر خواهد بود. مقدار  $P_i$  بایستی تا سطحی قابل قبول افزایش یابد. مقدار مقاومت فشاری توده‌سنگ با استفاده از رابطه زیر به دست

می‌آید :

$$\sigma_{cm} = (0.0034 m_i^{1/4}) \sigma_{ci} \{ 1/0.29 + 0.25 e^{(-0.1 - 0.1 m_i)} \}^{GSI} \quad 17-2$$

اندازه ناحیه پلاستیکی را می‌توان با استفاده از رابطه زیر حساب کرد :

$$\frac{d_p}{d_o} = \left[ 1/25 - 0.625 \frac{P_i}{P_o} \right] \left( \frac{\sigma_{cm}}{P_o} \right)^{\left( \frac{P_i}{P_o} - 0.57 \right)} \quad 18-2$$

در این روابط پارامترها به شرح ذیل هستند:

$\sigma_{ci}$  = مقاومت فشاری نا محصور المان‌های سنگ بکر

$m_i$  = ثابت  $m_i$  که به وسیله مشخصات اصطکاکی مواد سازنده در این المان‌های سنگ تعریف شده است

$$\begin{aligned}
 GSI &= \text{ثابتی که ویژگی‌های المان سنگ بکر را به تمام توده‌سنگ دربرگیرنده این سنگ بکر،} \\
 &\quad \text{مرتبط می‌سازد} \\
 \sigma_{cm} &= \text{ مقاومت فشاری نا محصور توده‌سنگ} \\
 P_i &= \text{ فشار نگهداری داخلی} \\
 P_0 &= \text{ تنش در جا، عمق} \times \text{ واحد وزن} \\
 \delta_i &= \text{ تغییر شکل دیواره توول} \\
 d_o &= \text{ قطر توول حفاری شده به متر} \\
 d_p &= \text{ قطر ناحیه پلاستیک}
 \end{aligned}$$

طبق نظر محققین، این تحلیل بر مبنای راه حل فرم-بسته ساده‌ای برای توول دایروی با تنش برجای هیدروستاتیکی است و نگهداری به طور یکنواخت روی محیط داخلی توول عمل کند. این شرایط با توجه به شرایط تنش برجا، شکل توول و روش حفاری به ندرت در محل حفاری مواجه می‌شوند. بنابراین، درجایی که پتانسیل مچاله‌شوندگی قابل توجهی شناسایی شده باشد، توول بایستی تحت تحلیل عددی قرار بگیرد (Hoek E, Marninos P, ۲۰۰۰).

#### -۴-۸-۲ مقایسه روش‌های نیمه تجربی

هر سه روش نیمه تجربی مذکور فضاهای زیرزمینی دایروی را در ماده سنگ همگن باحال تنش هیدروستاتیک برای محاسبه تغییر شکل مچاله‌شوندگی، بررسی می‌کنند. هیچ‌یک از روش‌ها مؤلفه تغییر شکل وابسته به زمان را بررسی نمی‌کنند. این‌ها تنها تغییر شکل مچاله‌شوندگی آنی را ارزیابی می‌کنند.

روش هوک و مارینوس تنها شامل سه پارامتر نامعلوم ( $m_i$ ,  $\sigma_{ci}$  و  $GSI$ ) می‌شوند، که مقادیر  $GSI$  و  $m_i$  به وسیله بررسی و مشاهدات توده‌سنگ، مشخص می‌شوند. روش آیدان و همکاران برای پیدا کردن نسبت پواسون برای شرایط پلاستیکی باقیمانده و پلاستیکی کامل،  $\sigma_{ci}$  و زاویه اصطکاک برای سنگ بکر و توده‌سنگ گسیخته، نیاز به آزمون‌های آزمایشگاهی دارد. پیدا کردن پارامترها برای شرایط باقیمانده و گسیخته نیازمند انجام آزمایش‌های پیشرفته است و پارامترهای زیادی بایستی استفاده

شود. بنابراین، این روش ممکن است برای استفاده مناسب نباشد. اگر جزییات آزمون‌های آزمایشگاهی خوب انجام شوند، روش تحلیلی نیز می‌تواند ترجیح داده شود (Shrestha G. L, ۲۰۱۳).

## ۹-روش‌های تحلیلی-تئوریکی

این روش‌ها شامل دو گروه اصلی، روش‌های مبتنی بر راه حل‌های بسته<sup>۱</sup> و روش‌های عددی<sup>۲</sup> هستند. پارامترهای لازم برای حل معادلات در راه حل‌های بسته شامل چسبندگی و زاویه اصطکاک داخلی حداکثر و پسمند توده‌سنگ، مدول یانگ، نسبت پوآسون، زاویه اتساع، تنش بحرانی (شروع تغییر شکل‌های پلاستیک) بوده که در مرحله محاسباتی ابتدا شعاع ناحیه پلاستیک به وجود آمده پیرامون حفره زیرزمینی و تغییر مکان‌های شعاعی آن تعیین شده و سپس فشار وارد بر سیستم نگهداری برآورد می‌شود. در این روش شناخت رفتار تنش - کرنش توده‌سنگ و رفتار وابسته به زمان آن می‌بایستی مشخص شده و راه حل‌های متناسب با آن انتخاب شود. در این روش‌ها فرض می‌شود زون پلاستیک هنگامی گسترش می‌یابد که  $\frac{P_o}{\sigma_{cm}} < \sigma$  باشد (Barla G, ۲۰۰۲). با توجه به روش‌های تجربی و مطالعات موردي در خصوص پدیده مچاله‌شوندگی در تونل‌ها، رابطه همگرایی (کاهش قطر تونل) را بسته به میزان مچاله‌شوندگی به صورت جدول ۵-۲ ارائه شده است:

جدول ۵-۲: رابطه میزان همگرایی قطر تونل با درجه مچاله‌شوندگی تونل (Barla G, ۲۰۰۲).

همگرایی بر حسب قطر تونل	شرایط مچاله‌شوندگی
۱ - ۳ %	مچاله‌شوندگی ملایم
۳ - ۵ %	مچاله‌شوندگی متوسط
> ۵ %	مچاله‌شوندگی زیاد

با توجه به جدول ۵-۲ با استفاده از مدل‌سازی عددی مقطع مچاله‌شونده در تونل، میزان همگرایی قطر تونل اندازه‌گیری شده و درجه مچاله‌شوندگی آن مشخص خواهد شد. روش‌های عددی در فصل پنجم مورد بحث و بررسی قرار می‌گیرند.

<sup>۱</sup> Closed form solution

<sup>۲</sup> Numerical Modelling

دو روش عمده در گروه روش‌های تحلیلی-تئوریکی، شامل روش بارلا<sup>۱</sup> و روش ISRM<sup>۲</sup> است.

رده‌بندی رفتار مچاله‌شوندگی در این دو روش در جدول ۶-۲ ارائه شده است (Barla G, Borgna S, ۱۹۹۵).

جدول ۶-۲: طبقه‌بندی شرایط زمین در روش تحلیلی (ISRM و بارلا) (Barla G, Borgna S, ۱۹۹۵)

بارلا	ISRM	درجه مچاله‌شوندگی
$\frac{\sigma_{cm}}{P}$	$\frac{\sigma_\theta}{\sigma_{cm}}$	
> ۱	< ۱	بدون مچاله‌شوندگی
۰/۴ - ۱	۱ - ۲	مچاله‌شوندگی کم
۰/۲ - ۰/۴	۲ - ۴	مچاله‌شوندگی متوسط
< ۰/۲	> ۴	مچاله‌شوندگی زیاد

پس از معرفی روش‌های پیش‌بینی کننده پتانسیل مچاله‌شوندگی سنگ‌های تونل، به ارتباط بین پدیده مچاله‌شوندگی با خزش و وابستگی این پدیده به مبحث زمان پرداخته می‌شود.

## ۱۰-۲- انواع مچاله‌شوندگی و ارتباط آن با خزش

پدیده مچاله‌شوندگی در تونل‌ها و مغارها در محیط‌های مختلف زمین‌شناسی در سراسر دنیا مشاهده شده است. طبق اظهارنظر کواری<sup>۳</sup>، هیم<sup>۴</sup> زمین‌شناس آلپ در مقاله ۱۸۷۸ خود هشدار داده بود که "برای هر سنگ نیاز است تا ستونی را آن‌چنان بلند تصور نمود که وزن آن از مقاومت سنگ بیشتر باشد و بنابراین ته این ستون خرد خواهد شد" (Shrestha G. L, ۲۰۱۳).

طبق گفته پنت<sup>۵</sup>، همگرایی تونل با توجه به همگرایی سریع بر علت پیشروی جبهه کار و همگرایی وابسته به زمان به علت رفتار رئولوژیکی توده‌سنگ تجزیه و تحلیل شده است. پس از پیشروی جبهه کار،

<sup>۱</sup> Barla ۱۹۹۵

<sup>۲</sup> International Society for Rock Mechanics

<sup>۳</sup> Kovari ۲۰۰۰

<sup>۴</sup> Heim

<sup>۵</sup> Panet ۱۹۹۶

اگر تنش ایجاد شده در اطراف تونل از مقاومت توده‌سنگ تجاوز نماید، توده‌سنگ شروع به مچاله‌شوندگی آنی می‌کند. که "مچاله‌شوندگی آنی یا فوری" نامیده می‌شود. اگر تنش انباسته شده از مقاومت توده‌سنگ متتجاوز نشود اما برای ایجاد خزش کافی باشد، باعث همگرایی به سمت داخل تونل خواهد شد که به آن "مچاله‌شوندگی ثانویه" گفته می‌شود. بنابراین مچاله‌شوندگی ممکن است در یکی از دو مرحله اتفاق بیفتد و به سطح تنش مماسی، ویژگی‌های توده‌سنگ و شکل تونل وابسته است (Shrestha G. L, ۲۰۱۳).

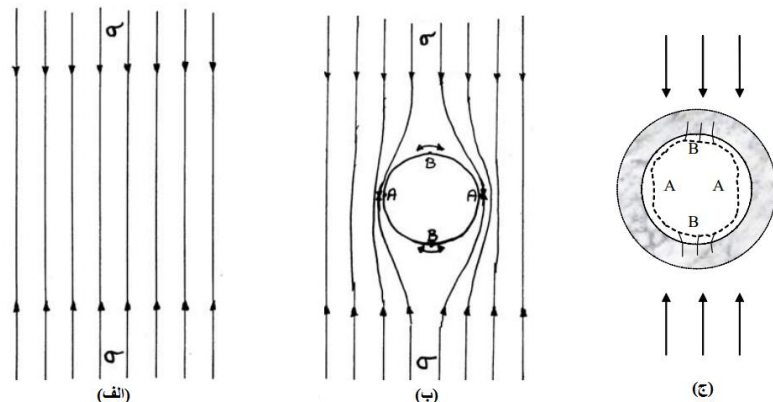
## -۱۰-۲ مچاله‌شوندگی آنی

با ارجاع به اظهارات بری<sup>۱</sup>، پانتی<sup>۲</sup> هنگامی که سازه زیرزمینی حفر می‌شود، رژیم تنش موجود بهم می‌ریزد. در شکل ۱۰-۲(الف) توزیع تنش‌ها در زمین پیش از حفاری نمایش داده شده است. از آنجاکه تنش نمی‌تواند از سازه حفرشده گذر کند، بنابراین خودش را در اطراف سازه دوباره توزیع می‌کند. این باعث تمرکز تنش در طول کنتور سازه زیرزمینی می‌شود که در شکل ۱۰-۲(ب) نشان داده شده است. سنگ‌های ضعیف از جمله شیل، اسلیت‌ها، فیلیت، و زون‌های شکسته / ضعیف، رفتار بسیار متفاوتی نسبت به سنگ‌های قوی‌تر و ایزوتروپیک، زمانی که در معرض تنش‌های مماسی قرار می‌گیرند، دارند. در توده‌سنگ ضعیف از جمله شیل، اسلیت‌ها، فیلیت، و زون‌های شکسته / ضعیف، هنگامی که مقاومت از تنش‌های مماسی ایجاد شده در طول محیط تونل کم‌تر باشد، تغییر شکل تدریجی و ریز-ترک‌های توده‌سنگ در طول صفحه تورق و شیستوزیته اتفاق خواهد افتاد. به عنوان نتیجه، زون ویسکوپلاستیکی توده‌سنگ ریزترک‌دار به صورت عمقی در دیوارهای تشکیل شده است، شکل ۱۱-۲، و تنش‌های مماسی حداکثری ایجاد شده فراتر از زون پلاستیکی حرکت کرده‌اند. در نتیجه، یک جابجایی به سمت جلو وابسته به زمان برای ماده سنگ (مسیر نقطه‌چین در شکل ۱۰-۲(ج)) اتفاق خواهد افتاد و نگهداری

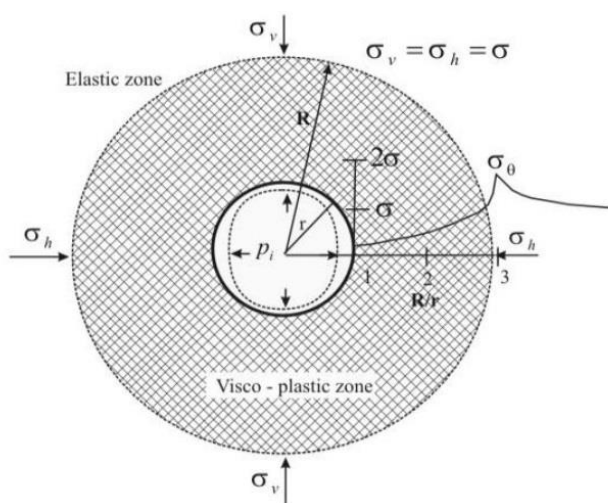
<sup>۱</sup> Bray ۱۹۶۷

<sup>۲</sup> Panthi ۲۰۰۶

درون فضای حفرشده افزایش تدریجی فشار را تجربه خواهد کرد. در این شکل،  $r$  شعاع تونل،  $R$  شعاع زون ویسکوپلاستیک و  $P_i$  فشار نگهداری است.



شکل ۱۰-۲: توزیع تنש عمودی (الف) قبل از حفاری (ب) پس از حفاری و (ج) محل وقوع مچاله‌شوندگی و محل شکست کششی است (Shrestha G. L, ۲۰۱۳).

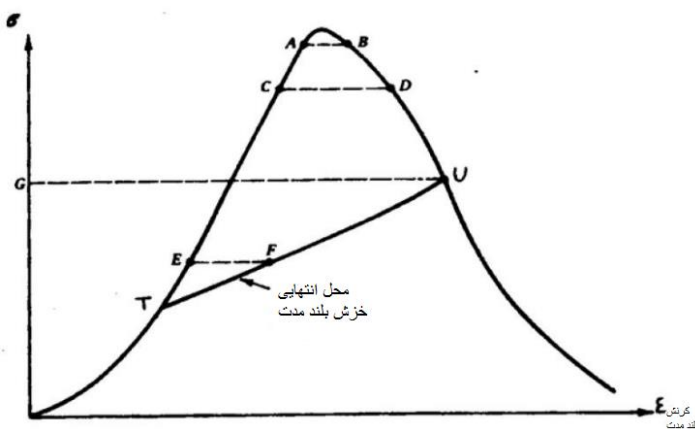


شکل ۱۱-۲: نمایش مچاله‌شوندگی در تونل دایروی (Basnet C. H, ۲۰۱۳).

درنتیجه، این نوع از شرایط گسیختگی تنش به وسیله تنش زیاد در "مچاله‌شوندگی آنی" ایجاد شده است. مشکلات معمولاً در نواحی با تنش مماسی حداقل اتفاق می‌افتد. با این حال، اگر تنش مماسی حداقل خیلی کم باشد، ممکن است مشکلی را سبب شود (Basnet C. H, ۲۰۱۳).

## ۲-۱۰-۲ مچاله‌شوندگی به وسیله خزش

نمودار تنش-کرنش می‌تواند برای پیش‌بینی گسیختگی سنگ در اثر خزش، مورد استفاده قرار بگیرد. همان‌طوری که نمودار شکل ۱۲-۲ نشان می‌دهد مکان هندسی آزمون خزش در نمودار تنش-کرنش خطی افقی است. چنانچه تنش اولیه در سنگ به نقطه اوج بار نزدیک باشد، آنگاه خزشی که کرنش انباسته شده آن، قسمت نزولی منحنی تنش-کرنش را قطع کند، به گسیختگی منتهی خواهد شد. آزمون خزش شروع شده در نقطه A در یک زمان نسبتاً کوتاه به گسیختگی منتهی می‌شود.



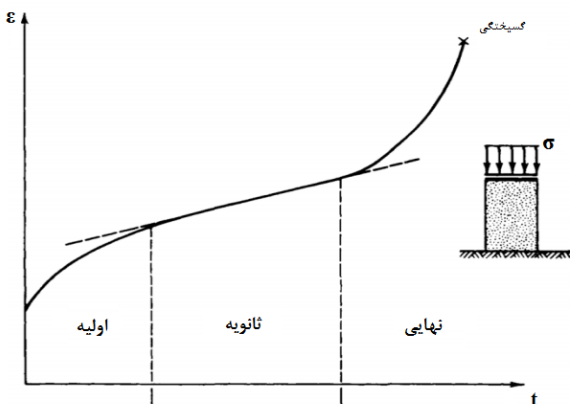
شکل ۱۲-۲: خزش در رابطه منحنی تنش-کرنش کامل (Basnet C. H, ۲۰۱۳)

آزمایش خزش شروع شده در نقطه C، در نقطه D در یک زمان بسیار طولانی‌تری به گسیختگی منتهی می‌شود و آزمایش خزش شروع شده در نقطه E پایین‌تر از سطح تنش بحرانی G به نقطه F نزدیک می‌شود و بعد از یک زمان طولانی در یک کرنش محدود بدون این که کرنش محدود بدون این که گسیختگی رخ دهد، متوقف می‌شود.

در پایین نقطه T (آستانه خزش) خزشی وجود ندارد. چنانچه تعدادی آزمایش‌های خزش با مقادیر مختلف تنش اعمالی بین نقاط T و U انجام شود، با رسم نتایج حاصل از آزمایش‌ها، انتهای مکان

هندسی آزمایش‌های خزش بلندمدت (خط TU) به دست می‌آید. خط TU مکان هندسی انتهایی آزمایش‌های خزشی بلندمدت هست. بالای سطح U (یا G) سرعت خزش مینیمم (ثانویه) با افزایش سطح تنش، افزایش می‌یابد و زمانی که کرنش انباشته شده به مقدار نهایی خود می‌رسد با خزش مرحله سوم خاتمه می‌یابد و گسیختگی رخ می‌دهد که با قسمت نزولی منحنی معین می‌شود. این نشان می‌دهد که اگر توده‌سنگ بلا فاصله بعد از حفاری شکسته نشود ممکن است در اثر خزش دچار گسیختگی شود. گسیختگی در تقاطع خط خزش با قسمت نزولی منحنی تنش-کرنش رخ می‌دهد که به نام مچاله‌شوندگی ثانویه مرسوم است. وابستگی زمانی در آزمایش‌های با تنش تکمحوری ( $\sigma_1$ ) کمتر از  $40^{\circ}$  درصد مقاومت فشاری تکمحوری ( $\sigma_c$ )، وجود ندارد و خزش ثانویه نیز زمانی که تنش تکمحوری ( $\sigma_1$ ) کمتر از  $60^{\circ}$  درصد مقاومت فشاری تکمحوری ( $\sigma_c$ ) باشد، اهمیتی ندارد (Cristescu ۱۹۷۱).

(N. D. Hunsche U, ۱۹۹۹)



شکل ۱۳-۲: نواحی رفتاری در خزش (Goodman R. E, ۱۹۸۹)

نمودار زمان-کرنش برای آزمایش خزش شکل بسیار خاصی دارد. ابتدا، همچنان که بارگذاری انجام می‌شود، کرنش الاستیکی تقریباً آنی اتفاق می‌افتد. همچنان که زمان تحت تنش ثابت می‌گذرد، نرخ کرنش کاهش می‌یابد و دوره کاهشی نرخ کرنش را خزش مقدماتی یا اولیه می‌نامند. مرحله خزش اولیه به وسیله گسترش یک دوره تغییر شکل آهسته (تقریباً حالت پایدار) نمایش داده می‌شود که خزش ثانویه نامیده می‌شود. در پایان این مرحله، نرخ کرنش شتاب می‌گیرد و ماده به سرعت گسیخته

می‌شود. خزش در توده‌سنگ‌ها همراه با انتشار ترک هست. در طی مرحله خزش ثانویه سنگ با تنש سازگار می‌شود و انتشار ترک به آهستگی پایدار می‌شود، تقریباً نرخ کرنش ثابت است. در طی مرحله پایدار خزش ثانویه، ماده بیشتر آسیب می‌بیند، در مرحله سوم، انتشار کنترل نشده ترک منجر به شکست می‌شود. خزش در فشارهای پایین تنها در چند نوع سنگ اهمیت دارد: شیل، گچ‌های نرم و سنگ‌های تبخیری (نظیر سنگ نمک‌ها، ژیپس و انیدریت‌ها) (Basnet C. H, ۲۰۱۳). در ادامه ارتباط میان پدیده وابسته به زمان خزش و پدیده مچاله‌شوندگی توضیح داده شده است.

## ۱۱-۲- معنای زمان در سنگ

روشن است که در تئوری الاستیسیته بخش زمان جایی ندارد؛ فرض شده است که تنش‌ها و کرنش‌ها در بارگذاری یا باربرداری به صورت آنی تغییر می‌یابند. معمولاً در طرح‌های مکانیک سنگی، مشاهده می‌شود که پس از تغییر تنش، همگرایی در تونل‌ها و چاهها اتفاق می‌افتد. بنابراین برای بررسی رفتار وابسته به زمان در توده‌های سنگی لازم است که به تئوری الاستیسیته تاثیرات زمان اعمال شود.

## ۱۲-۲- واژه‌هایی که زمان را در مکانیک سنگ توصیف می‌کنند

الاستیک<sup>۱</sup> : تنش‌ها با کرنش‌ها در روش مستقل از زمان مربوط هستند. تمامی انرژی کرنشی قابل بازیافت است. فرض می‌شود که مواد الاستیک باقی می‌مانند و بنابراین مقاومت نامحدودی دارند.

پلاستیک<sup>۲</sup> : تنش‌ها با کرنش‌ها در روش مستقل از زمان مربوط هستند، اما مواد وقتی که تحت تنش قرار می‌گیرند به صورت پلاستیک جریان می‌یابند. تغییر شکل به صورت نامحدود ادامه می‌یابد بدون این‌که افزایش تنشی انجام شود. انرژی کرنشی از طریق کرنش پلاستیکی مداوم از دست می‌رود.

<sup>۱</sup> Elastic

<sup>۲</sup> Plastic

ویسکوز<sup>۱</sup> : تنش‌ها به نرخ کرنش مرتبط هستند (برای مثال  $\dot{\epsilon} = \sigma / \eta$  که  $\eta$  یک ماتریس ویسکوزیته  $6 \times 6$  است). عموماً، رفتار ویسکوز یکتابع از کرنش‌های تفاضلی و تنش‌های تفاضلی است.

الاستوپلاستیسیته<sup>۲</sup> : تئوری مستقل از زمان ترکیبی از الاستیسیته و پلاستیسیته؛ مواد تا تنش‌های خاصی الاستیکی رفتار می‌کنند و پس از آن رفتار پلاستیکی دارند.

ویسکوالاستیسیته<sup>۳</sup> : اصطلاحی برای تئوری وابسته به زمان که کرنش‌ها را به تنش‌ها و زمان مرتبط می‌کند. متعاقباً، مواد ویسکوالاستیکی به صورت بسزایی مقاومت نامحدود دارند.

ویسکوپلاستیسیته<sup>۴</sup> : رفتار وابسته به زمان در تنش‌های تفاضلی (یا کرنش‌های تفاضلی) تا رفتار ویسکوز.

الاستوویسکوپلاستیسیته<sup>۵</sup> : این شبیه ویسکوپلاستیسیته است، به جز این که پاسخ سریع ماده کاملاً الاستیک است.

رئولوژی<sup>۶</sup> : مطالعه جریان است. خواص رئولوژی بیان‌کننده رابطه تنش‌ها و تغییر شکل‌های خمیری برگشت‌ناپذیر است [۲۴].

## ۱-۱۲-۲ مدل‌های رئولوژیکی

مدل‌های رئولوژیکی مقایسه بین رفتار مواد مختلف هستند، که از سرهم کردن بخش‌های مکانیکی، معمولاً فرها، پیستون‌ها و لغزندها تشکیل شده‌اند. این مدل‌ها ما را برای درک بهتر رفتار مواد و تشکیل روابط بنیادی مختلف یاری می‌کنند.

<sup>۱</sup> Viscous

<sup>۲</sup> Elastoplasticity

<sup>۳</sup> Viscoelasticity

<sup>۴</sup> Viscoplasticity

<sup>۵</sup> Elastoviscoplasticity

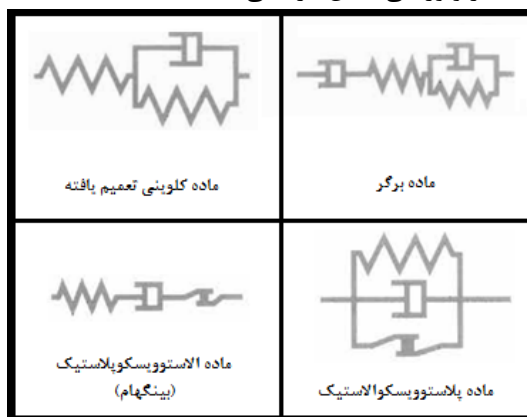
<sup>۶</sup> Rheology

تنها با استفاده از سه المان رئولوژیکی-فنر (یا ماده هوکی)، پیستون (یا ماده نیوتونی) و لغزنده (یا ماده سنت ونانتی)- با توجه به این که المان‌ها به صورت سری، موازی یا ترکیبی به هم متصل شده باشند، تولید یک ارائه پیچیده از مدل‌های رئولوژیکی امکان‌پذیر است. در جدول ۷-۲، تمام مدل‌های دو-المانی همراه با نامگذاری‌شان نمایش داده شده‌اند و در جدول ۸-۲، برخی از مدل‌های ترکیبی ارائه شده‌اند. در جدول ۸-۲، بالا سمت چپ ماده ویسکوالاستیکی نشان داده می‌شود (المان ۲،۱ در جدول ۸-۲) با فنر اضافی در سری، ماده کلوینی را تشکیل می‌دهد. در مدل بالا سمت راست در جدول ۸-۲ بالا سمت راست، یک پیستون دیگر در سری اضافه شده است که ماده کلوینی را به ماده برگر تبدیل کرده است. توجه شود که این یک ماده الاستوویسکوز در سری با یک ماده ویسکوالاستیک هست، برای مثال ترکیب یک مدل ماکسول در حالت سری با یک مدل کلوین (با توجه به جدول ۷-۲ یک ماده ویسکوالاستیک را نشان می‌دهد). دو مدل پایینی در جدول ۸-۲ مدل‌های رفتاری هستند که با توجه به جدول ۷-۲، سه المان فنر، پیستون و لغزنده ابتدا در حالت سری و سپس در حالت موازی به هم متصل می‌شوند تا ماده الاستوویسکوپلاستیک و پلاستوویسکوالاستیک را تشکیل دهند.

جدول ۷-۲: مدل‌های رئولوژیکی دو-المانی (Hudson J. A, Harrison J. P , ۱۹۹۷)

الاستیک ماده هوکی	الاستوویسکوز	الاستوپلاستیک
فنر	مدل ماکسول	
ویسکوالاستیک	ویسکوز ماده نیوتونی	ویسکوپلاستیک
مدل کلوین	پیستون	
پلاستوپلاستیک	پلاستوویسکوز	پلاستیک ماده سنت ونانتی
		لغزنده

جدول ۸-۲: مدل‌های رئولوژیکی المان-ترکیبی (Hudson J. A, Harrison J. P , ۱۹۹۷)



در جدول ۸-۲ بسطی از مدل ماسکول، ترکیب مدل‌های ماسکول و کلوین، و دو تا از ساده‌ترین راه‌ها برای ترکیب سه تا از المان‌های رئولوژیکی پایه نشان داده شده است. به صورت تئوری، و با مقایسه با رئوستاهای الکتریکی، فیوزها و خازن‌ها، امکان‌پذیر است تا هر مدل  $n$ -جزیی را ایجاد کرده و رفتار پیوسته معادل آن نشان داده شود. مدل ماسکول شامل المان‌های الاستیکی و ویسکوز به صورت سری است (در ادامه این بخش روابط ریاضی مدل ماسکول و کلوین آمده است) (Hudson J. A, ۱۹۹۷).

### ۱۳-۲-وابستگی زمانی در مکانیک سنگ

مهندسان دریافت‌هایند که لازم است تا پدیده‌ای را همراه با نرخ‌های کرنش بسیار بالا یا نرخ‌های کرنش بسیار پایین در نظر بگیرند. چراکه فرآیند حفاری (به عنوان مثال انفجاری) سریعاً اتفاق می‌افتد، در حالی که تغییر شکل (به عنوان مثال جابجایی که در طول عمر حفاری اتفاق می‌افتد) به آهستگی اتفاق می‌افتد. در ارتباط با نرخ کرنش بالا نیز جابجایی‌های بلندمدت و نشست و خزش را داریم که همگی از اهمیت وابستگی زمانی در مکانیک سنگ حاکی هستند (Hudson J. A, Harrison J. P , ۱۹۹۷).

## ۱۴-۲- مدل‌های پیوسته وابسته به زمان در سنگ‌های مچاله‌شونده برای مدل‌سازی عددی

### این پدیده

بر مبنای توصیف واکنش تونل دارای شرایط مچاله‌شوندگی شدید، مدل‌های پیوسته وابسته به زمان بایستی به کار برد شود. برخی از انواع مدل‌های وابسته به زمان که تاکنون برای توضیح رفتار سنگ‌ها در شرایط مچاله‌شونده به کار برد شده‌اند عبارت‌اند از:

- مدل الاستوویسکوپلاستیک<sup>۱</sup> [Itasca, ۲۰۰۶] CVISC<sup>۲</sup>
- مدل الاستیک - ویسکوپلاستیک VIPLA [Lemaître & Chaboche, ۱۹۹۶]
- مدل الاستیک - پلاستیک - ویسکوپلاستیک SHELVIP [Debernardi, ۲۰۰۸]

در ادامه مدل الاستوویسکوپلاستیک (CVISC)، توصیف می‌شود. این مدل برای زمین‌های مچاله‌شونده به کار برد می‌شود (Itasca, ۲۰۱۱) و (Bonini M, Barla G, ۲۰۱۲)، (Barla G, ۲۰۰۲) و (Debernardi, ۲۰۰۸).

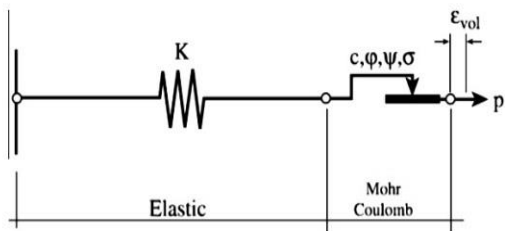
مدل رفتاری مورد استفاده در تحلیل عددی، مدل CVISC هست که یکی از مدل‌های خزشی موجود در نرم‌افزار FLAC است.

### -۱۴-۲ مدل CVISC

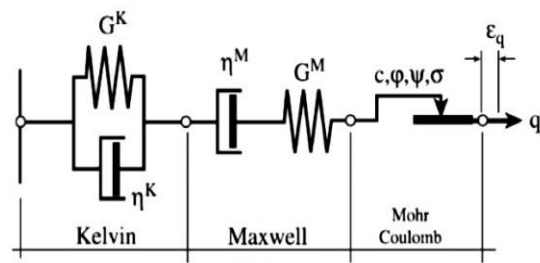
مدل CVISC (آیتسکا<sup>۲</sup>، ۲۰۰۶) یک مدل قیاسی است که به صورت سری مدل ویسکوالاستیک برگر (به عنوان مثال مدل‌های ماکسول و کلوین به صورت سری) با قانون جریان پلاستیکی، بر مبنای معیار تسلیم مور-کولمب به هم متصل شده‌اند. شکل زیر مدل رئولوژی مذکور را نشان می‌دهد:

<sup>۱</sup> Continuous Viscoelastic-plastic

<sup>۲</sup> Itasca



(الف) رفتار حجمی (volumetric)



(ب) رفتار انحرافی (deviatoric)

شکل ۱۴-۲: طرح کلی از مدل CVISC (الف) رفتار حجمی، و (ب) رفتار انحرافی (Barla G, et al., ۲۰۰۸)

الف) رفتار حجمی تنها الاستیک-پلاستیک است و تحت پوشش قانون الاستیک خطی و قانون جریان پلاستیکی هست، ب) در حالی که رفتار انحرافی<sup>۱</sup> ویسکوالاستیک-پلاستیک است و تحت پوشش مدل برگ و قانون جریان پلاستیکی مشابه است . این بدین معناست که کرنش‌های ویسکوالاستیک انحرافی هستند و تنها به حالت تنش انحرافی وابسته‌اند؛ در عوض کرنش‌های پلاستیکی هم انحرافی و هم حجمی‌اند و به تنش کلی مطابق با قانون جریان انتخابی وابسته هستند.(Barla G, et al., ۲۰۰۸)

<sup>۱</sup> Deviatoric Behavior

## فصل سوم

شناسایی و تعیین مقدار حماله شوندگی مسیر تونل البرز

### ۱-۳- مقدمه

در این فصل به معرفی پروژه تونل البرز پرداخته می‌شود. انواع روش‌های پیش‌بینی پدیده مچاله‌شوندگی و پارامترهای موردنیاز برای استفاده از این روش‌ها به صورت خلاصه در جدولی گردآمده‌اند. با تفکیک ناحیه تونل البرز بر مبنای لیتوژئی، زمین‌شناسی مهندسی (گسل، چین‌خوردگی و ...) و مقدار روباره، پتانسیل مچاله‌شوندگی برای هر یک از این نواحی تفکیک شده ارزیابی می‌شود. با توجه به روش مورد استفاده، درجه مچاله‌شوندگی سنگ‌های مسیر تونل به عدم مچاله‌شوندگی، کم، متوسط، زیاد و بسیار زیاد مچاله‌شونده تقسیم‌بندی می‌شود. با قرار دادن نتایج این روش‌ها در یک جدول کنار یکدیگر به مقایسه آن‌ها پرداخته می‌شود. درنهایت یکی از نواحی که روش‌ها در یک جدول کنار یکدیگر به مقایسه آن‌ها پرداخته می‌شود. درنهایت یکی از نواحی که بیش‌تر روش‌ها مچاله‌شونده ارزیابی کرده‌اند، برای مدل‌سازی عددی با نرم‌افزار FLAC انتخاب خواهد شد. ضمن این‌که به دلیل ناکافی بودن ابزار گذاری در طول تونل، نیاز است از مقطع موردنظر برای انجام آزمایش نمونه تهیه شود، تا داده‌های ورودی مدل‌سازی عددی از نتایج داده‌های آزمایش، به دست آیند.

### ۲-۳- معرفی پروژه تونل البرز

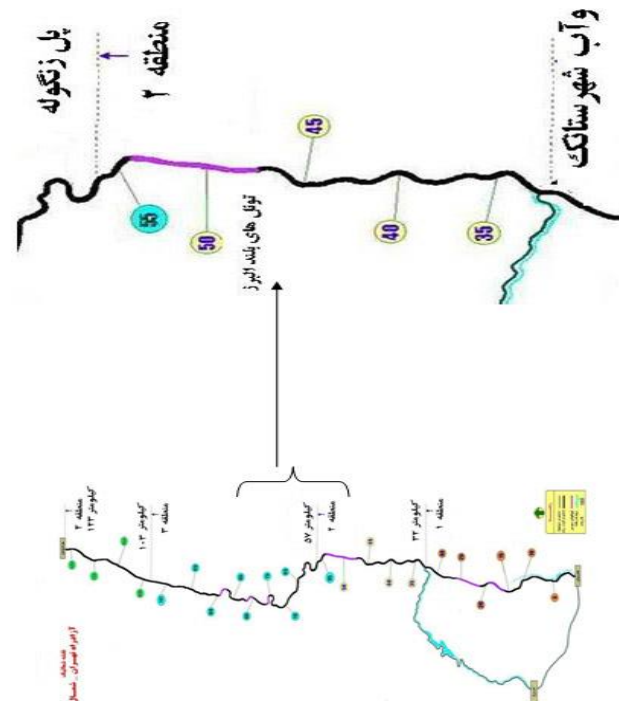
طرح احداث بزرگراه ۱۲۱ کیلومتری تهران - شمال از سال ۱۳۵۳ برنامه‌ریزی شده که از سال ۱۳۷۷ عملیات احداث آن آغاز شده است و به چهار قطعه تقسیم‌شده که تاکنون تنها قطعه چهارم آن

راه اندازی شده و به بهره برداری رسیده است. مسیر آزادراه از تقاطع غیر هم سطح با بزرگراه شهید همت و بزرگراه آزادگان شروع و در امتداد دره کن پس از گذشتن از حاشیه روستای سولقان به تدریج از منطقه کوهستانی توچال عبور کرده و سپس توسط تونل بلند تالون به طول ۴۹۰۰ متر این رشته کوه را قطع نموده و در دامنه های شمالی آن در منطقه دوآب شهرستانک قرار می گیرد. (اجرای این قسمت که طول تقریبی آن ۳۲ کیلومتر است، باعث می شود مسیر فعلی حدود ۶۰ کیلومتر کوتاه تر گردد). از آن پس، مسیر به موزات جاده قدیم کرج - چالوس امتداد می یابد و در دره سرهنگ وارد تونل البرز شده و در پل زنگوله خارج می شود، سپس با عبور از ارتفاعات البرز به موزات جاده موجود کرج - چالوس تا شهر چالوس ادامه یافته و در نهایت با یک تقاطع غیر هم سطح به کمربندی چالوس - تنکابن متصل می شود. تونل البرز در مسیر قطعه دوم این پروژه قرار دارد این قطعه از دوآب شهرستانک تا پل زنگوله را شامل می شود و ۲۵ کیلومتر طول دارد. تونل البرز که با ۶ هزار و ۳۸۷ متر طول، بزرگ ترین تونل این آزادراه محسوب می شود، در این قطعه قرار دارد (جنرال مکانیک، ۱۳۹۳).

در ادامه در شکل ۱-۳ (الف) محل تونل البرز واقع در منطقه (قطعه) دوم از پروژه چهار منطقه ای آزادراه تهران - شمال و در شکل (ب) موقعیت جاده ای بین شهری این تونل و در شکل (ج) نمایی از دهانه جنوبی تونل (البرز)، نمایش داده شده است.



ب) محل تقریبی تونل البرز با فلش بلندتر مشخص شده است.



الف) تونل البرز در منطقه ۲ پروژه آزادراه واقع شده است.



پ) نمایی از دهانه جنوبی تونل البرز (و تونل دسترسی)

شکل ۳: موقعیت جغرافیایی تونل البرز (جنرال مکانیک، ۱۳۹۳).

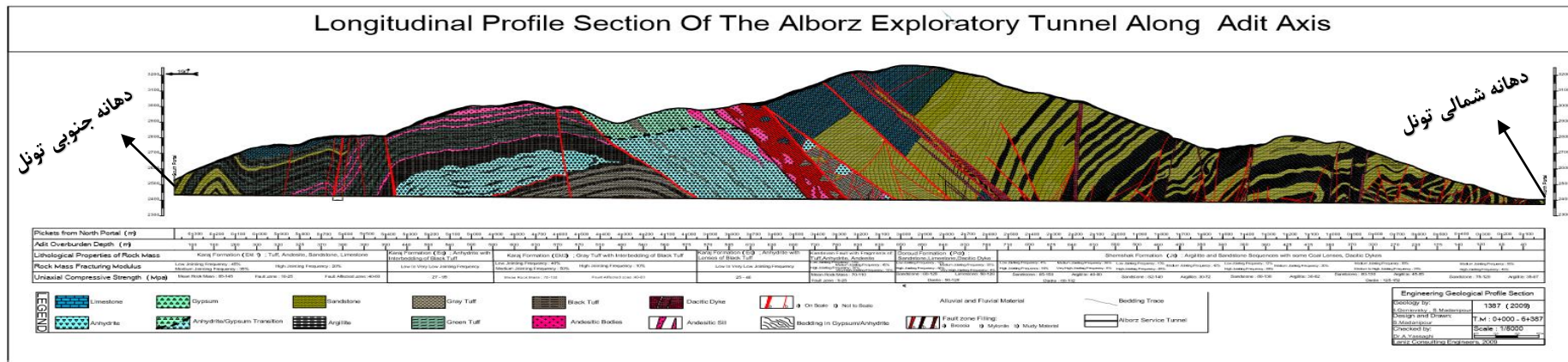
### ۱-۲-۳ وضعیت زمین‌شناسی منطقه

تونل البرز از لحاظ زمین‌شناسی در سازند شمشک و کرج قرار دارد. تونل اکتشافی تونل البرز

به وسیله TBM به قطر ۵/۵ متر و طولی معادل تونل البرز حفاری شده است. از آنجاکه طول تونل زیاد است، بنابراین حفاری از دو طرف تونل در حال انجام است که به دو دهانه شمالی و جنوبی منسوب است. این مطالعه بر روی دهانه جنوبی به طول ۳۸۸۷ متر انجام گرفته است (زیرا اطلاعات این دهانه

در دسترس بوده است). برداشت زمین‌شناسی - مهندسی تونل اکتشافی البرز از دهانه شمالی توسط زمین‌شناسان روسی و ایرانی انجام شده است. ضمن برداشت زمین‌شناسی، پارامترهای ذیل تعیین و ثبت شده‌اند: ۱- لیتولوژی سنگ‌ها ۲- نوع کنتاکت‌های موجود بین واحدهای مختلف سنگی ۳- وجود چین‌خوردگی و تخریب‌های تکتونیکی و پارامترهای مربوطه ۴- درجه درزه‌داری و پارامترهای مربوطه (عرض بازشدنگی درزه‌ها، نوع پرکننده، طول درزه، مشخصات سطح جداره درزه‌ها و غیره) ۵- مشخصات چینه‌بندی سنگ‌ها، گسل‌ها و درزه‌ها ۶- آبدهی و دبی آب زیرزمینی ۷- موارد نشت گاز ۸- درجه هوازدگی سنگ‌ها و سایر متغیرها.

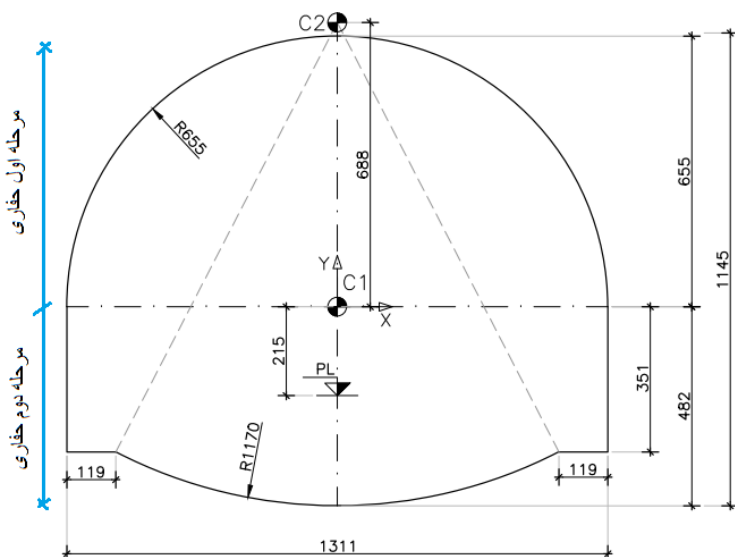
لازم به ذکر است که حفاری تونل اکتشافی البرز در بیش‌تر نواحی محدوده موردنبررسی پس از حفاری چال و گمانه پیشگام صورت گرفته است. غالباً چال‌های پیشگام افقی (بدون معزه گیری) به عمق ۲۵-۳۵ متر و بعضاً گمانه‌های پیشگام (همراه با معزه گیری) حفاری گردیده است. لیتولوژی مسیر تونل در دهانه شمالی عمدتاً از توف‌ها (سیاه، سبز، خاکستری)، آندزیت (سبز و خاکستری)، انیدریت، سنگ‌آهک، ماسه سنگ، آرژلیت، گابرو تشکیل شده است. مقاومت فشاری تک محوره تخمین زده شده برای این سنگ‌ها از ۲۰ تا ۱۲۰ مگاپاسکال متغیر است. طولانی‌ترین گسل در متراز ۵۳۳۹-۵۳۶۱ قرار دارد که از برش سیمانه شده تشکیل شده است و دبی آب ورودی به تونل از این گسل تقریباً زیاد است که شرایط را برای مچاله‌شوندگی سنگ‌های این مسیر مهیا می‌سازد.



شکل ۲-۳: پروفیل طولی از تونل اکتشافی تونل البرز در امتداد محور تونل (جنرال مکانیک، ۱۳۹۳).

## -۲-۲-۳ حفاری و سیستم نگهداری

حفاری تونل به روش آتشباری کنترل شده انجام می‌گیرد. تونل به شکل نعل اسپی هست که نیم دایره بالایی در مرحله اول حفاری شده و سیستم نگهداری اولیه نصب می‌گردد و پس از پایدارسازی این ناحیه، قسمت پایین تونل حفر شده و نگهداری نصب می‌شود. سیستم نگهداری تونل از <sup>۴</sup> تیپ<sup>۱</sup> تشکیل شده است که متناسب با وضعیت زمین‌شناسی مسیر تونل، یکی از این تیپ‌های نگهداری نصب می‌شود. به طور کلی سیستم نگهداری شامل راکبولتهاي <sup>۲</sup> ۴/۵ متری، فورپولینگ <sup>۳</sup>، مش فولادی، شاتکریت <sup>۴</sup> و لتیس گیردر <sup>۵</sup> می‌شود. ضخامت پوشش نهایی بتنی متغیر است و در مواردی به ۶۰ سانتیمتر نیز می‌رسد. در نواحی گسلی و توده‌سنگ ضعیف، عمل تحکیم چتری و تزریق انجام می‌شود. همچنین در محل‌هایی که آب حضور دارد، زهکشی انجام شده است. در شکل ۳-۳ یک مقطع عرضی از تونل همراه با ابعاد آن آورده شده است (جنرال مکانیک، ۱۳۹۳).



شکل ۳-۳: مقطع عرضی تونل (جنرال مکانیک، ۱۳۹۳).

<sup>۱</sup> Type

<sup>۲</sup> Rockbolts

<sup>۳</sup> Forepoling

<sup>۴</sup> Shotcrete

<sup>۵</sup> Lattice Girder

### ۳-۳- ارزیابی پتانسیل مچاله‌شوندگی در توده‌سنگ‌های مسیر تونل البرز

به منظور تعیین پارامترهای موردنیاز در روش‌های برآورد مچاله‌شوندگی مطالعه موردي، ابتدا نوع واحدهای سنگی در مسیر حفاری تونل مشخص شده و مقادیر کیفی توده‌سنگ‌های مسیر، ارتفاع روباره در توده‌سنگ‌های مختلف مسیر تونل، عرض دهانه تونل، مشخصات ژئومکانیکی سنگ بکر و توده‌سنگ‌ها استخراج شده و مقادیر پارامترهای موردنیاز برای روش‌های مختلف محاسبه شده است. و نتایج حاصله در جدول ۳-۲ برای ۳۳ ناحیه تفکیکی، که با توجه به ناحیه مورد مطالعه تعریف شده، واقع در مسیر تونل البرز ارائه شده است. سپس با استفاده از روش‌های مختلف تجربی، نیمه تجربی و تحلیلی-تئوریکی، که پیش‌تر توضیح داده شد، توده‌سنگ‌های مسیر تونل که مستعد پدیده مچاله‌شوندگی هستند، مشخص شده‌اند. آنگاه با توجه به نتایج بدست‌آمده، مقایسه‌ای بین روش‌های مورداستفاده انجام گرفته و رفتار واحدهای سنگی در هر ناحیه تفکیکی تحلیل شده است. در پایان نواحی تفکیکی که توسط بیش‌تر روش‌ها دارای رفتار مچاله‌شونده تشخیص داده شده‌اند با استفاده از روش‌های عددی مدل سازی شده تا جزیيات بیش‌تری از این پدیده بررسی شده و تأثیرات آن مورد بررسی قرار گیرد. در جدول ۱-۳ پارامترهای اولیه لازم برای ارزیابی پتانسیل مچاله‌شوندگی برای روش‌های تجربی، نیمه تجربی و تحلیلی-تئوریکی ارائه شده است. این پارامترها با توجه به روش‌های مذکور در فصل دوم دسته‌بندی شده‌اند.

در ادامه با توجه به جدول ۱-۳، پارامترهای موردنیاز برای هر روش محاسبه شده و در جداولی مجزا برای هر روش آورده شده‌اند.

جدول ۳-۱: پارامترهای موردنیاز جهت ارزیابی پتانسیل مچاله‌شوندگی در روش‌های تجربی، نیمه‌تحلیلی و تحلیلی

پارامترها		روش‌ها				
Q	شاخص کیفی توده‌سنگ	سینگ و همکاران	روش طبقه‌بندی توده‌سنگ	روش‌های تجربی		
$H_{Max}$	بیشترین روباره					
N	عدد توده‌سنگ					
$H_{Max}$	ارتفاع بیشترین روباره					
B	قطر تونل					
$\sigma_{cm}$	مقاومت تکمحوری توده‌سنگ	روش جتوا	روش آیدان	روش‌های نیمه‌تجربی		
$P_o$	تنش بر جا					
$\sigma_{ci}$	مقاومت تکمحوری ماده سنگ	روش آیدان				
$P_o$	تنش بر جا					
$\sigma_{cm}$	مقاومت تکمحوری توده‌سنگ	روش هوک و مارینوس				
E	مدول الاستیسیته توده‌سنگ					
$\sigma_{cm}$	مقاومت تکمحوری توده‌سنگ	روش بارلا	روش های تحلیلی - تئوریکی	-		
$P_o$	تنش بر جا					
$P_i$	فشار وارد (داخلی) بر نگهداری	روش ISRM				
$\sigma_{cm}$	مقاومت تکمحوری توده‌سنگ					
$P_o$	تنش بر جا					
$\sigma_\theta$	تنش مماسی حداکثر در جداره تونل					
$P_o$	تنش بر جا					

همان طور که ذکر گردید تونل البرز به طول ۶۳۸۷ متر است و به علت طویل بودن آن، حفاری تونل از دو طرف آن انجام می‌گیرد که به دو سمت‌های حفاری به دهانه جنوبی و دهانه شمالی مشهورند. نقطه صفر تونل از دهانه شمالی تعریف شده است. اطلاعات در دسترس برای این تحقیق مربوط به دهانه جنوبی و به طول ۳۸۸۷ متر است؛ یعنی از کیلومتر ۲۵۰۰ تا ۶۳۸۷. برای استفاده از روش‌های ارائه شده در جدول ۳-۱ این ۳۸۸۷ متر به ۳۳ ناحیه تفکیک شده است. این ۳۳ ناحیه با استفاده از روش‌های مذکور، از لحاظ پتانسیل مچاله‌شوندگی ارزیابی شده‌اند.

#### ۴-۳- تعیین نواحی مچاله‌شونده در مسیر تونل البرز

مبنای تقسیم‌بندی ناحیه ۲۵۰۰ تا ۶۳۸۷ و دسته‌بندی آن به ۳۴ ناحیه، بر اساس پارامترهای توده‌سنگ و تنש‌های سنگ بوده است. بنابراین کیفیت تحلیل مچاله‌شوندگی به حد زیادی به تخمین صحیح این متغیرهای ورودی بستگی دارد. به منظور تفکیک مسیر تونل بر اساس متغیرهای توده‌سنگ و تنش‌های سنگ، یک اولویت‌بندی در تقسیم‌بندی انجام شده که در این اولویت‌بندی ابتدا جنس سنگ‌های مسیر، سپس گسلی بودن مسیر و درنهایت میزان روباره مسیر مدنظر قرار داده شده است. برای تفکیک ناحیه تونل از لحاظ لیتوژئی و زمین‌شناسی، از دسته‌بندی سنگ‌های مسیر با توجه به مقاومت توده‌سنگ استفاده می‌شود. برای تأثیر متغیرهای دخیل در روش‌های ارزیابی مچاله‌شوندگی (تجربی، نیمه‌تجربی و تحلیلی-تئوریکی) از نسبت‌های وزنی هر یک از متراژهای تفکیک شده در سازند، استفاده شده است.

در جدول ۲-۳ سنگ‌های مسیر تونل البرز بر اساس لیتوژئی، مقاومت فشاری تک محوره سنگ و توده‌سنگ و ناحیه دسته‌بندی شده‌اند. این دسته‌بندی برای ۳۸۸۷ متر از تونل، موسوم به دهانه جنوبی، انجام گرفته است. در این جدول بخشی از این دسته‌بندی آورده شده است. دیگر نواحی تفکیکی در بخش پیوست پایان‌نامه آمده است.

جدول ۲-۳ : دسته‌بندی سنگ‌های مسیر با توجه به ارتباط لیتولوژی، مقاومت فشاری تکمحوره توده‌سنگ و ناحیه آن‌ها

شماره ناحیه	ناحیه از - تا	نسبت وزنی نواحی	لیتولوژی	مقاومت فشاری تکمحوری توده‌سنگ (MPa)	مقادیر فشاری تکمحوره سنگ‌ها (MPa)
۱۹	۳۴۰۰-۳۴۱۰	۰/۵۶۶	گابرو و توف	۵۱-۷۴	گسلی: ۲-۲۰، توف راهراه: ۱۰-۵، آنیدریت در نزدیکی ژپس: ۷-۱۱، آنیدریت ۷-۱۳، آنیدریت در مناطق محفوظ مانده: ۲۴-۴۷
	۳۴۱۰-۳۴۲۸	۰/۷۵	گابرو با لنزهای ژپسی (پهنه گسلی)	۱۵-۳۰	
	۳۴۲۸-۳۴۳۴	۰/۲۵	ژپس	۲۵-۳۷	
	۳۴۳۴-۳۵۰۰	۱	آنیدریت	۲۹-۳۵	
۲۰	۳۵۰۰-۳۵۵۰	۰/۵	آنیدریت با میان و لنزهای توف خاکستری	۳۶-۴۶	آنیدریت: ۲۰-۵۱ آنیدریت با گزنبولیت توف خاکستری: ۶۴
	۳۵۵۰-۳۵۷۵	۰/۲۵	آنیدریت با میان لایه و اگزینولیتهای توف خاکستری	۴۹-۶۰	
	۳۵۷۵-۳۶۰۰	۰/۲۵	آنیدریت	۴۶-۵۱	
	۳۶۰۰-۳۶۳۰	۰/۱۵	آنیدریت با میان لایه و اگزینولیتهای توف خاکستری	۳۵-۴۴	همان مقاومت فشاری تکمحوره توده سنگ است.
۲۲	۳۶۳۰-۳۶۴۹	۰/۰۹۵	آنیدریت با میان لایه و لنزهای توف خاکستری	۴۶-۵۴	
	۳۶۴۹-۳۷۰۰	۰/۲۵۵	آنیدریت	۳۱-۴۴	
	۳۷۰۰-۳۸۰۰	۰/۵	آنیدریت با میان لایه و لنزهای توف خاکستری	۳۵-۵۰	
	۳۸۰۰-۳۸۴۰	۰/۲۷۸	آنیدریت	۲۳-۲۸	
۲۳	۳۸۴۰-۳۹۰۰	۰/۴۱۷	آنیدریت با میان لایه و لنزهای توف خاکستری	۲۸-۴۰	
	۳۹۰۰-۳۹۴۴	۰/۳۰۵	آنیدریت با میان لایه و لنزهای توف خاکستری	۳۵-۴۶	آنیدریت: ۱۹-۴۹
	۳۹۴۴-۳۹۶۲	۰/۰۷	توف خاکستری با لایه‌بندی متوسط	۵۸-۷۱	توف خاکستری تیره تا مشکی: ۹۸-۹۸ توف سبز: ۸۰-۱۱۵
	۳۹۶۲-۴۰۰۰	۰/۱۴۸	توف خاکستری با رگه‌های توف سبز	۶۶-۸۹	
۲۴	۴۰۰۰-۴۰۱۱	۰/۰۴۳	توف سبز با میان لایه توف خاکستری	۷۰-۱۲۰	توف خاکستری تیره تا مشکی: ۹۸-۹۸ توف سبز: ۸۰-۱۱۵
	۴۰۱۱-۴۰۷۱	۰/۲۳۴	توف سبز با میان لایه توف خاکستری	۸۰-۱۰۰	
	۴۰۷۱-۴۱۰۰	۰/۱۱۳	توف خاکستری با میان لایه تواف مشکی	۷۳-۱۰۱	توف خاکستری با دانه‌بندی متوسط و درشت: ۸۰-۱۳۴ توف مشکی با دانه‌بندی بسیار ریز: ۱۴۶
	۴۱۰۰-۴۱۴۵	۰/۱۷۶	توف خاکستری (با دانه‌بندی متوسط و درشت) همراه با میان‌لایه‌های تواف مشکی (با دانه‌بندی بسیار ریز)	۹۳-۱۱۵	
۲۵	۴۱۴۵-۴۱۷۷	۰/۱۲۵	توف خاکستری با دانه‌بندی متوسط و درشت: ۸۰-۱۳۴ توف مشکی با دانه‌بندی بسیار ریز: ۱۴۶	۸۳-۹۹	
	۴۱۷۷-۴۲۰۰	۰/۱۰۵	توف خاکستری با دانه‌بندی بسیار ریز	۹۷-۱۱۸	

### ۳-۵- محاسبات روش‌های مختلف ارزیابی پتانسیل مچاله‌شوندگی

در این بخش کاربرد و محاسبات روش‌های تجربی، نیمه‌تجربی و تحلیلی-تئوریکی آمده است.

## روش‌های تجربی -۱-۵-۳

### روش سینگ و همکاران -۱-۵-۳

چنانچه در فصل دوم ذکر گردید، سینگ و همکارانش با جمع‌آوری داده از کیفیت و روباره توده‌سنگ، نموداری با یک خط متمایزکننده را رسم کردند تا موارد مچاله‌شونده را از غیر مچاله‌شونده مشخص کنند. با توجه به این نمودار تعداد ۲۳ ناحیه بالای خط  $Q^{1/3} = ۳۵۰$  واقع می‌شوند که این نشان از محافظه‌کارانه بودن این روش است.

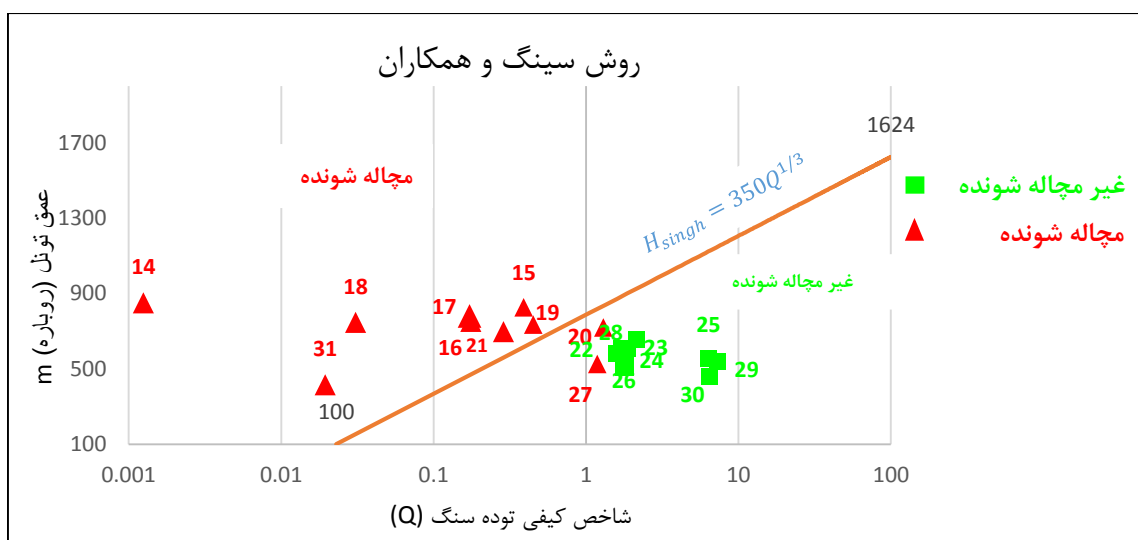
جدول ۳-۳: ارزیابی پتانسیل مچاله‌شوندگی با استفاده از روش سینگ

توصیف	$H_{singh}$	$H_{max}$ (m)	Q	توصیف زمین‌شناسی مهندسی	لیتوژوئی	ناحیه از کیلومتر از - تا	شماره ناحیه
م ش	۱۰/۲۲	۷۱۰	.۰/۰۶	Crushed zone	Porphyry dyke	۲۵۰۰-۲۵۱۳	۱
م ش	۳۸/۸۳	۷۲۷	.۰/۱۸	Porphyry dyke		۲۵۱۳-۲۵۳۶	۲
م ش	۱۸/۶۲	۷۴۵	.۰/۱۰	Argillite mylonite	Argillite mylonite	۲۵۳۶-۲۵۶۴	۳
م ش	۲۵/۴۹	۷۶۱	.۰/۱۳	Limestone	Limestone	۲۵۶۴-۲۵۸۱	۴
م ش	۲۸/۵۴	۷۸۸	.۰/۱۴			۲۵۸۱-۲۶۴۳	۵
م ش	۱۸/۹۶	۸۰۱	.۰/۱۰	Sandstone	Sandstone	۲۶۴۳-۲۷۰۰	۶
م ش	۲۰/۵۷	۸۱۸	.۰/۱۱			۲۷۰۰-۲۷۵۰	۷
م ش	۴۸/۸۸	۸۲۶	.۰/۲۲	Limestone & Sandstone	Limestone & Sandstone	۲۷۵۰-۲۷۶۰	۸
م ش	۲۲/۲۳	۸۳۰	.۰/۱۲	Fault zone	Limestone	۲۷۶۰-۲۷۷۲	۹
م ش	۴۴/۵۱	۸۳۵	.۰/۲۰	Sandstone	Sandstone	۲۷۷۲-۲۸۰۰	۱۰
م ش	۹۹/۱۱	۸۴۵	.۰/۳۷		Sandstone & black Argillite	۲۸۰۰-۲۹۰۰	۱۱
م ش	۲۹/۱۲	۸۵۰	.۰/۱۴		Sandstone & black Argillite	۲۹۰۰-۲۹۹۶	۱۲
م ش	۳۰/۹۴	۸۴۰	.۰/۱۵		Clay with Argillite & Sandstone	۲۹۹۶-۳۰۰۷	۱۳
مچاله‌شونده	.۰/۰۶	۸۵۰	.۰/۰۰۱	Faulted Zone	Breccia Cemented	۳۰۰۷-۳۰۱۵	۱۴
م ش	۱۰۳/۱	۸۲۵	.۰/۳۹	Gray	Gray & Green Tuff	۳۰۱۵-۳۲۴۹	۱۵
م ش	۳۵/۵	۷۸۰	.۰/۱۷	Crushed Tuff		۳۲۴۹-۳۳۵۵	۱۶
م ش	۳۶/۶	۷۵۰	.۰/۱۷۶	Andesite	Andesite	۳۳۵۵-۳۳۶۱	۱۷
م ش	۳۱/۸	۷۴۵	.۰/۰۳	Crushed Zone		۳۳۶۱-۳۳۸۲	۱۸
م ش	۱۲۴/۶	۷۳۳	.۰/۴۵	Andesite Basalt Gray & Green Tuff	Andesite Basalt Gray & Green Tuff	۳۳۸۲-۳۴۱۰	۱۹
م ش	۱۲۴/۶	۷۱۸	۱/۳	Andesite Gypsum	Andesite Gypsum	۳۴۱۰-۳۴۳۴	۲۰
م ش	۶۹/۲	۶۹۷	.۰/۲۸	Anyhdrite	Anyhdrite	۳۴۳۴-۳۵۰۰	۲۱
غیر م ش	۹۴۹/۹	۶۵۵	۲/۱۵	Andesite	Andesite	۳۵۰۰-۳۶۰۰	۲۲

غیر م ش	۷۹۸/۵	۶۰۷	۱/۸۸	Anyhdrite	Anhydrite	۳۶۰۰-۳۸۰۰	۲۳
غیر م ش	۶۳۴/۷	۵۷۹	۱/۵۸		Anhydrite Gray Tuff	۳۸۰۰-۳۹۴۴	۲۴
غیر م ش	۳۸۸۱/۴	۵۵۶	۶/۳۴	Gray & Green Tuff	Gray & Green Tuff	۳۹۴۴-۴۲۰۰	۲۵
غیر م ش	۷۵۲/۷	۵۱۰	۱/۸	Black Tuff	Black Tuff	۴۲۰۰-۴۳۰۰	۲۶
غیر م ش	۴۳۶/۸	۵۲۵	۱/۱۸	Green Tuff with Black Tuff	Green Tuff with Black Tuff	۴۳۰۰-۴۵۰۰	۲۷
غیر م ش	۷۱۱/۲	۶۰۵	۱/۷۲		Green Tuff with Black Tuff	۴۵۰۰-۴۹۴۸	۲۸
غیر م ش	۴۶۶۲/۵	۵۴۰	۷/۳۳	Anhydrite with Tuff Interbeddings	Anhydrite with Tuff Interbeddings	۴۹۴۸-۵۲۰۰	۲۹
غیر م ش	۳۹۶۲	۴۶۰	۶/۴۶		Anhydrite with Tuff Interbeddings	۵۲۰۰-۵۳۳۹	۳۰
م ش	۲/۰۸	۴۱۵	۰/۰۲	Faulted Zone	Breccia Cemented Anhydrite	۵۳۳۹-۵۳۶۱	۳۱
غ م ش	۷۱۱/۲	۶۰۵	۱/۷۲	Tuff	Tuff	۵۳۶۱-۵۷۴۶	۳۲
غ م ش	۴۶۶۲/۵	۵۴۰	۷/۳۳			۵۷۴۶-۶۰۰۰	۳۳
غ م ش	۳۹۶۲	۴۶۰	۵/۰۳			۶۰۰۰-۶۳۸۷	۳۴

جدول ۴-۳: راهنمای جدول ۷ روش سینگ

روباره مجاز	$H_{singh} = 350Q^{1/3}$
بیشترین روباره	$H_{max}$
$H_{max} \gg 350Q^{1/3}$	شرایط مچاله‌شوندگی
$H_{max} \ll 350Q^{1/3}$	شرایط غیر مچاله‌شوندگی



شکل ۴-۳: نمودار ارزیابی مچاله‌شوندگی سنگ‌های مسیر تونل البرز با روش سینگ

### روش گوئل و همکاران

با توجه به پارامترهای روباره، عدد توده‌سنگ ( $N$ ) و عرض دهانه تونل ( $B$ ) روابط ارائه شده توسط

گوئل و همکاران پتانسیل مچاله‌شوندگی محاسبه شده است. این روش درجه مچاله‌شوندگی را به سنگ غیرمچاله‌شونده، کم، متوسط و زیاد مچاله‌شونده تقسیم‌بندی می‌کند. نتایج ارزیابی پتانسیل مچاله‌شوندگی مسیر تونل به دست آمده از روش‌های گوئل و همکاران در جدول ۵-۳ آمده است.

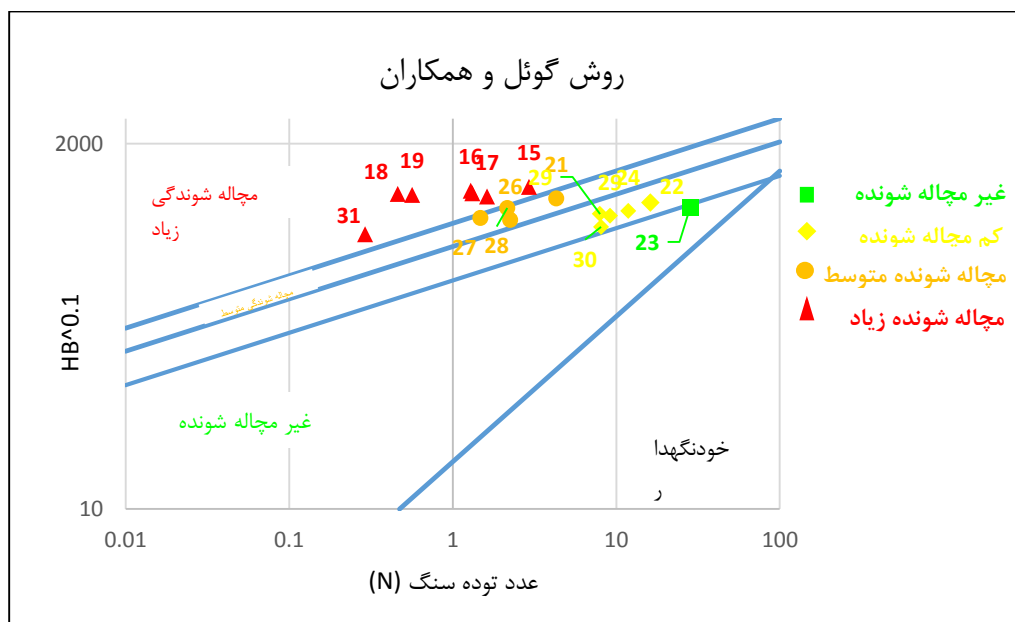
جدول ۵-۳: ارزیابی پتانسیل مچاله‌شوندگی با استفاده از روش گوئل و همکاران

توصیف	$H_{Goel}$	$H_{max}$ (m)	$N$	توصیف زمین‌شناسی مهندسی	لیتولوژی	ناحیه از - تا	شماره ناحیه
م ش	۲۱۲/۰۷	۷۱۰	۰/۹۹	Crushed zone	Porphyry dyke	۲۵۰۰-۲۵۱۳	۱
م ش	۲۲۶/۷۵	۷۲۷	۱/۳۸۲	Porphyry dyke		۲۵۱۳-۲۵۳۶	۲
م ش	۲۴۶/۹۳	۷۴۵	۱/۵۷	Argillite mylonite		۲۵۴۶-۲۵۶۴	۳
م ش	۲۱۲/۷۸	۷۶۱	۱	Limestone	Limestone	۲۵۶۴-۲۵۸۱	۴
م ش	۲۷۵/۲۲	۷۸۸	۲/۱۸			۲۵۸۱-۲۶۴۳	۵
م ش	۲۴۸/۱۲	۸۰۱	۱/۵۹	Sandstone		۲۶۴۳-۲۷۰۰	۶
م ش	۲۵۳/۳۰	۸۱۸	۱/۶۹		Sandstone	۲۷۰۰-۲۷۵۰	۷
م ش	۲۵۱/۰۱	۸۲۶	۱/۶۵	Limestone & Sandstone		۲۷۵۰-۲۷۶۰	۸
م ش	۲۰۵/۵۱۲۶	۸۳۰	۰/۹	Fault zone		۲۷۸۰-۲۷۷۲	۹
م ش	۲۴۵/۱۰۶۱	۸۳۵	۱/۵۳		Sandstone	۲۷۷۲-۲۸۰۰	۱۰
م ش	۳۰۰/۳۱۹۷	۸۴۵	۲/۸۴			۲۸۰۰-۲۹۰۰	۱۱
م ش	۲۲۰/۰۴۲۸	۸۵۰	۱/۱۰			۲۹۰۰-۲۹۹۶	۱۲
م ش	۲۷۸/۹۶۷۲	۸۴۰	۲/۲۷		Clay with Argellite & Sandstone	۲۹۹۶-۳۰۰۷	۱۳
مچاله‌شوندگی زیاد	۴۴/۹	۸۵۰	۰/۰۰۹	Faulted Zone		۳۰۰۷-۳۰۱۵	۱۴
م ش زیاد	۳۰۳/۳	۸۲۵	۲/۹۲	Gray	Gray & Green Tuff	۳۰۱۵-۳۲۴۹	۱۵
م ش زیاد	۲۳۱/۴	۷۸۰	۱/۲۹	Crushed Tuff		۳۲۴۹-۳۳۵۵	۱۶
م ش زیاد	۲۲۳/۲	۷۵۰	۱/۲۲	Andesite		۳۳۵۵-۳۳۶۱	۱۷
م ش زیاد	۱۶۴/۱	۷۴۵	۰/۴۶۲	Crushed Zone	Andesite	۳۳۶۱-۳۳۸۲	۱۸
م ش زیاد	۱۷۶/۱	۷۳۳	۰/۵۶۴	Andesite Basalt Gray & Green Tuff		۳۳۸۲-۳۴۱۰	۱۹
م ش زیاد	۲۴۹/۷	۷۱۸	۱/۶۲۵	Andesite Gypsum		۳۴۱۰-۳۴۳۴	۲۰
م ش متوسط	۳۴۴/۸	۶۹۷	۴/۳۱	Anyhdrite	Anyhdrite	۳۴۳۴-۳۵۰۰	۲۱
م ش کم	۵۳۲/۹	۶۵۵	۱۶/۱۶	Andesite	Andesite	۳۵۰۰-۳۶۰۰	۲۲
غیر م ش	۶۴۱/۱	۶۰۷	۲۸/۲۹		Anyhdrite	۳۶۰۰-۳۸۰۰	۲۳
م ش کم	۴۸۱/۱	۵۷۹	۱۱/۸۵			۳۸۰۰-۳۹۴۴	۲۴

م ش کم	۴۲۱/۸	۵۵۶	۷/۹۵	Gray & Green Tuff	Gray & Green Tuff	۳۹۴۴-۴۲۰۰	۲۵
م ش متوسط	۲۷۸/۱	۵۱۰	۲/۲۵	Black Tuff	Black Tuff	۴۲۰۰-۴۳۰۰	۲۶
م ش متوسط	۲۴۲/۲	۵۲۵	۱/۴۸	Green Tuff with Black Tuff	Green Tuff with Black Tuff	۴۳۰۰-۴۵۰۰	۲۷
م ش متوسط	۲۷۴/۱	۶۰۵	۲/۱۵			۴۵۰۰-۴۹۴۸	۲۸
م ش کم	۴۴۱/۹	۵۴۰	۹/۱۶۱	Anhydrite with Tuff Interbeddings	Anhydrite with Tuff Interbeddings	۴۹۴۸-۵۲۰۰	۲۹
م ش کم	۴۲۴/۱	۴۶۰	۸/۰۸۳			۵۲۰۰-۵۳۳۹	۳۰
م ش زیاد	۱۴۱/۶	۴۱۵	۰/۲۹۱	Faulted Zone	Breccia Cemented Anhydrite	۵۳۳۹-۵۳۶۱	۳۱
غیر م ش	۲۳۶/۱۵	۳۸۱	۱/۳۹	Tuff	Tuff	۵۳۶۱-۵۷۴۶	۳۲
غیر م ش	۲۹۷/۶	۳۲۴	۲/۳۱			۵۷۴۶-۶۰۰۰	۳۳
غیر م ش	۲۲۷/۱۶	۳۰۱	۱/۳۴			۶۰۰۰-۶۳۸۷	۳۴

جدول ۳-۶: راهنمای جدول ۵-۳ روشنگوئی و همکاران

$H_{Goel} = 275N^{1/33}B^{-1/1}$	روباره مجاز
$H_{max}(m)$	ضخامت روباره
$22.4N^{1/33}B^{-1/1} < H_{max} < 275N^{1/33}B^{-1/1}$	غیر مچاله شونده
$275N^{1/33}B^{-1/1} < H_{max} < 45.0N^{1/33}B^{-1/1}$	مچاله شوندگی کم
$45.0N^{1/33}B^{-1/1} < H_{max} < 63.0N^{1/33}B^{-1/1}$	مچاله شوندگی متوسط
$63.0N^{1/33}B^{-1/1} < H_{max}$	مچاله شوندگی زیاد



شکل ۳-۵: نمودار ارزیابی مچاله شوندگی با استفاده از روش گوئل و همکاران

## -۲-۵-۳ روشهای نیمه تجربی

### -۱-۲-۵-۳ روشهای جتوا و همکاران (۱۹۸۴)

چنانچه قبل‌اً نیز ذکر شد، مبنای روشن محاسبه نسبت مقاومت فشاری توده‌سنگ به تنش بر جای قائم روی توده‌سنگ  $\frac{\sigma_{cm}}{P_0}$  است. بر اساس روشهای جتوا و همکاران مقاومت فشاری توده‌سنگ و مقدار تنش روباره به دست آمده در طول مسیر تونل نسبت  $N_c$  رابطه روشن مذکور محاسبه شده است.

بر اساس این روشن نواحی تفکیکی ۱۴ تا ۲۰ به علت داشتن روباره زیاد و مقاومت توده‌سنگ پایین پتانسیل مچاله‌شوندگی بالایی دارند. همچنین ناحیه تفکیکی ۳۱ ناحیه گسلی بوده و دارای توده‌سنگ ضعیف و خرد شده است. متراژهای تفکیکی شماره ۲۶، ۲۷ و ۲۸ روباره زیاد دارند اما از مقاومت توده‌سنگ بهتری برخوردارند، بنابراین از نظر وضعیت مچاله‌شوندگی طبق این روشن متوسط ارزیابی می‌شوند.

جدول ۷-۳: ارزیابی پتانسیل مچاله‌شوندگی با استفاده از روشهای جتوا و همکاران

تصویف	$N_c$	$P_0$ (MPa)	$\sigma_{cm}$ (MPa)	تصویف زمین‌شناسی مهندسی	لیتلولوژی	ناحیه از - تا	شماره ناحیه
غیر م ش	۵/۷۹	۱۸/۴۵	۱۰۷	Crushed zone	Porphyry dyke	۲۵۰۰-۲۵۱۳	۱
غیر م ش	۶/۸۷	۱۸/۸۹	۱۳۰	Porphyry dyke		۲۵۱۳-۲۵۳۶	۲
غیر م ش	۳/۹۷	۱۹/۳۶	۷۷	Argillite mylonite	Argillite mylonite	۲۵۳۶-۲۵۶۴	۳
غیر م ش	۲/۹۳	۱۹/۷۸	۵۸	Limestone	Limestone	۲۵۶۴-۲۵۸۱	۴
غیر م ش	۳/۵۱	۲۰/۴۸	۷۲			۲۵۸۱-۲۶۴۳	۵
غیر م ش	۳/۳۱	۲۰/۸۲	۶۹	Sandstone	Sandstone	۲۶۴۳-۲۷۰۰	۶
غیر م ش	۴/۶۰	۲۱/۲۶	۹۸			۲۷۰۰-۲۷۵۰	۷
غیر م ش	۲/۸۸	۲۱/۴۷	۶۲	Limestone & Sandstone	Limestone & Sandstone	۲۷۵۰-۲۷۶۰	۸
کم م ش	۱/۶۲	۲۱/۵	۳۵	Fault zone	Limestone	۲۷۶۰-۲۷۷۲	۹
غیر م ش	۳/۰۴	۲۱/۷۰	۶۶	Sandstone	Sandstone	۲۷۷۲-۲۸۰۰	۱۰
غیر م ش	۳/۹۶	۲۱/۹۶	۸۷		Sandstone& black Argillite	۲۸۰۰-۲۹۰۰	۱۱
غیر م ش	۳/۸۹	۲۲/۰۹	۸۶		Gray & Green Tuff	۲۹۰۰-۲۹۹۶	۱۲
غیر م ش	۱/۸۷	۲۱/۸۳	۴۱		Clay with Argillite & Sandstone	۲۹۹۶-۳۰۰۷	۱۳
مچاله‌شوندگی زیاد	۱/۵۸	۲۲/۰۷	۳۵		Faulted Zone	Breccia Cemented	۳۰۰۷-۳۰۱۵

م ش زیاد	۲/۷۰	۲۱/۴۲	۵۸	Gray	Gray & Green Tuff	۳۰۱۵-۳۲۴۹	۱۵
م ش زیاد	۳/۵۵	۲۰/۲۵	۷۲	Crushed Tuff		۳۲۴۹-۳۳۵۵	۱۶
م ش زیاد	۲/۲۰	۱۹/۴۷	۴۳	Andesite	Andesite	۳۳۵۵-۳۳۶۱	۱۷
م ش زیاد	۳/۶۱	۱۹/۳۴	۷۰	Crushed Zone	Andesite	۳۳۶۱-۳۳۸۲	۱۸
م ش زیاد	۳/۵۱	۱۹/۰۳	۶۷	Andesite Basalt Gray & Green Tuff	Andesite Basalt Gray & Green Tuff	۳۳۸۲-۳۴۱۰	۱۹
م ش زیاد	۱/۲۸	۱۸/۶۴	۲۴	Andesite Gypsum	Andesite Gypsum	۳۴۱۰-۳۴۳۴	۲۰
م ش متوسط	۱/۷۶	۱۸/۱۰	۳۲	Anyhdrite	Anyhdrite	۳۴۳۴-۳۵۰۰	۲۱
م ش کم	۲/۸۱	۱۷/۰۱	۴۸	Andesite	Andesite	۳۵۰۰-۳۶۰۰	۲۲
بدون م ش	۲/۵۹	۱۵/۷۶	۴۱	Anyhdrite	Anhydrite	۳۶۰۰-۳۸۰۰	۲۳
م ش کم	۲/۱۹	۱۵/۰۳	۳۳		Anhydrite Gray Tuff	۳۸۰۰-۳۹۴۴	۲۴
م ش کم	۶/۲۹	۱۴/۴۳	۹۱		Gray & Green Tuff	۳۹۴۴-۴۲۰۰	۲۵
م ش متوسط	۷/۷۶	۱۳/۲۴	۱۰۳	Black Tuff	Black Tuff	۴۲۰۰-۴۳۰۰	۲۶
م ش متوسط	۷/۱۰	۱۳/۶۳	۹۷	Green Tuff with Black Tuff	Green Tuff with Black Tuff	۴۳۰۰-۴۵۰۰	۲۷
م ش متوسط	۶/۴۲	۱۵/۷۱	۱۰۱			۴۵۰۰-۴۹۴۸	۲۸
م ش کم	۵/۷۷	۱۴/۰۲	۸۱	Anhydrite with Tuff Interbeddings	Anhydrite with Tuff Interbeddings	۴۹۴۸-۵۲۰۰	۲۹
م ش کم	۵/۱۸	۱۱/۹۴	۶۲			۵۲۰۰-۵۳۳۹	۳۰
م ش زیاد	۰/۷۴	۱۰/۷۷	۸		Faulted Zone	Breccia Cemented Anhydrite	۵۳۳۹-۵۲۶۱
غیر م ش	۸/۷۸	۹/۹۰	۸۷	Tuff	Tuff	۵۳۶۱-۵۷۴۶	۳۲
غیر م ش	۱۱/۸۷	۸/۴۲	۱۰۰			۵۷۴۶-۶۰۰۰	۳۳
غیر م ش	۱۱/۳۳	۶/۹۴	۷۹			۶۰۰۰-۶۳۸۷	۳۴

جدول ۳-۸: راهنمای جدول ۷-۳ روش جتوا و همکاران

$N_c = \frac{\sigma_{cm}}{P_o} = \frac{\sigma_{cm}}{\gamma H}$	
< ۰/۴	مچاله‌شوندگی بسیار زیاد
۰/۴ - ۰/۸	مچاله‌شوندگی متوسط
۰/۸ - ۲	مچاله‌شوندگی کم
> ۲	بدون مچاله‌شوندگی

### روش آیدان و همکاران -۳-۵-۳

همان طور که در فصل دوم توضیح داده شده در این روش ابتدا با استفاده از مقاومت فشاری

تک محوری سنگ بکر که به وسیله آزمون های آزمایشگاهی تعیین شده اند، سطوح کرنش نرمال شده

برای هر متراز تفکیکی و همچنین روباره حداکثر محاسبه می شود. با به کار گیری روابط

مربوط به تنش-کرنش، و با استفاده از مقادیر مدول الاستیسیته و مقاومت فشاری توده سنگ موجود

در جدول ۲-۳، کرنش‌های مماسی و الاستیک در اطراف مسیر تونل البرز محاسبه و نسبت آن‌ها

$(\epsilon_{\theta}^a / \epsilon_{\theta}^e)$  تعیین شده است. پس بر اساس معیار ارائه شده توسط آیدان و همکاران، توده سنگ‌های

واقع در مسیر تونل مورد ارزیابی قرار گرفته‌اند و در جدول ۹-۳ ارزیابی پتانسیل مچاله‌شوندگی حاصل

از روش آیدان و همکاران برای مسیر تونل البرز آورده شده است.

جدول ۹-۳: ارزیابی پتانسیل مچاله‌شوندگی تونل البرز با استفاده از روش آیدان و همکاران

توصیف	$\epsilon_{\theta}^a / \epsilon_{\theta}^e$	$\epsilon_{\theta}^e$	$\epsilon_{\theta}^a$	$E_m$ (GPa)	$\sigma_{cm}$ (MPa)	$\eta_f$	$\eta_s$	$\eta_p$	$P_o$ (MPa)	$\sigma_{\theta}$ (MPa)	$\sigma_{ci}$ (MPa)	شماره ناحیه
خ م ش	۰/۳۴	۱۵/۶۲	۶/۹۵	۵/۳	۱۰۷	۱/۵۱	۱/۱۷	۱/۰۵	۱۸/۴۳	۳۶/۸۷	۴۲	۱
خ م ش	۰/۲۹	۷/۷۲	۵/۶۳	۶/۷	۱۳۰	۱/۳۳	۱/۰۶	۰/۹۹	۱۸/۸۸	۳۷/۷۶	۶۲	۲
خ م ش	۰/۵۰	۱۰/۱۴	۶/۹۰	۵/۶	۷۷	۱/۷۲	۱/۳۰	۱/۱۳	۱۹/۳۴	۳۸/۶۹	۲۸	۳
خ م ش	۰/۶۸	۷/۱۶	۵/۲۷	۷/۵	۵۸	۱/۳۱	۱/۰۵	۰/۹۸	۱۹/۷۶	۳۹/۵۲	۶۵	۴
خ م ش	۰/۵۶	۲۱/۸۷	۵/۴۵	۷/۵	۷۲	۱/۵۴	۱/۲۰	۱/۰۷۲	۲۰/۴۶	۴۰/۹۲	۳۹	۵
خ م ش	۰/۶۰	۱۰/۶۳	۵/۸۵	۷/۱	۶۹	۱/۷۸	۱/۳۴	۱/۱۵	۲۰/۸۰	۴۱/۶۰	۲۵	۶
خ م ش	۰/۴۳	۴/۲۸	۵/۶۶	۷/۵	۹۸	۱/۷۰	۱/۲۹	۱/۱۲	۲۱/۲۴	۴۲/۴۸	۲۹	۷
خ م ش	۰/۶۹	۱	۸/۰۹	۵/۳	۶۲	۱/۲۸	۱/۰۳	۰/۹۷	۲۱/۴۵	۴۲/۹۰	۷۰	۸
خیلی م ش	۱/۲۳	۰/۸۵	۱۳/۴	۳/۲	۳۵	۱/۲۰	۰/۹۸	۰/۹۳	۲۱/۵۵	۴۳/۱	۸۵	۹
خ م ش	۰/۶۵	۰/۸۲	۵/۱۶	۸/۴	۶۶	۱/۲۰	۰/۹۸	۰/۹۳	۲۱/۶۸	۴۳/۳	۸۵	۱۰
خ م ش	۰/۵۰	۰/۹۷	۵/۲۲	۸/۴	۸۷	۱/۲۶	۱/۰۲	۰/۹۶	۲۱/۹۴	۴۳/۸۸	۷۳	۱۱
خ م ش	۰/۵۱	۱۰/۱۱	۶/۲	۷/۱	۸۶	۱/۲۲	۱	۰/۹۴	۲۲/۰۷	۴۴/۱	۸۱	۱۲
م ش متوسط	۱/۰۶۴	۵/۷۲	۱۱/۷	۳/۷	۴۱	۱/۴۷	۱/۱۵	۱/۰۴	۲۱/۸۱	۴۳/۶۲	۴۵	۱۳
م ش خیلی زیاد	۱/۲۶	۱۵/۶۲	۱۹/۷۰	۲/۲۴	۳۵	۱/۶۰	۱/۲۳	۱/۰۹	۲۲/۰	۴۴/۱	۳۵	۱۴
غیر م ش	۰/۷۳	۷/۷۲	۵/۷۱	۷/۵	۵۸	۱/۱۴	۰/۹۵	۰/۹۱	۲۱/۴	۴۲/۸	۹۹	۱۵
غیر م ش	۰/۵۶	۱۰/۱۴	۵/۷۰	۷/۱	۷۲	۱/۳۱	۱/۰۵	۰/۹۸	۲۰/۲	۴۰/۵	۶۵	۱۶
غیر م ش	۰/۹۰	۷/۱۶	۶/۴۹	۶	۴۳	۱/۳۷	۱/۰۹	۱/۰۰	۱۹/۴	۳۸/۹	۵۶	۱۷
غیر م ش	۰/۵۵	۲۱/۸۷	۱۲/۰۹	۳/۲	۷۰	۱/۷۴	۱/۳۱	۱/۱۴	۱۹/۳	۳۸/۶	۲۷	۱۸
غیر م ش	۰/۵۶	۱۰/۶۳	۶/۰۴	۶/۳	۶۷	۱/۱۶	۰/۹۵	۰/۹۲	۱۹/۰۳	۳۸/۰	۹۶	۱۹
م ش متوسط	۱/۵۵	۴/۲۸	۶/۶۵	۵/۶	۲۴	۲/۳۲	۱/۶۴	۱/۳۳	۱۸/۶۴	۳۷/۲	۱۱	۲۰
م ش متوسط	۱/۱۳	۱	۱/۱۳	۳۲	۳۲	۱/۶۰	۱/۲۳	۱/۰۹	۱۸/۱	۳۶/۲	۳۵	۲۱
غیر م ش	۰/۷۰	۰/۸۵	۰/۶۰	۵۶	۴۸	۱/۵۰	۱/۱۷	۱/۰۵	۱۷/۰	۳۴/۰	۴۳	۲۲
غیر م ش	۰/۷۶	۰/۸۲	۰/۶۳	۵۰	۴۱	۱/۵۷	۱/۲۱	۱/۰۸	۱۵/۷	۳۱/۵	۳۷	۲۳
غیر م ش	۰/۹۱	۰/۹۷	۰/۸۸	۳۴	۳۳	۱/۴۸	۱/۱۶	۱/۰۵	۱۵/۰	۳۰/۰	۴۴	۲۴

غیر م ش	۰/۳۱	۱۰/۱۱	۳/۲۰	۹	۹۱	۱/۰۶	۰/۸۹	۰/۸۷	۱۴/۴	۲۸/۸	۱۲۷	۲۵
غیر م ش	۰/۲۵	۵/۷۲	۱/۴۷	۱۸	۱۰۳	۱/۱۳	۰/۹۴	۰/۹۰	۱۳/۲	۲۶/۴	۱۰۳	۲۶
غیر م ش	۰/۲۸	۲۴/۲۵	۶/۸۱	۴	۹۷	۱/۱۴	۰/۹۴	۰/۹۱	۱۳/۶	۲۷/۲	۱۰۱	۲۷
غیر م ش	۰/۳۱	۱۶/۸۳	۵/۲۳	۶	۱۰۱	۱/۱۳	۰/۹۴	۰/۹۰	۱۵/۷	۳۱/۴	۱۰۳	۲۸
غیر م ش	۰/۳۴	۱/۸۴	۰/۶۳	۴۴	۸۱	۱/۲۳	۱/۰۰	۰/۹۵	۱۴/۰	۲۸/۰	۷۹	۲۹
غیر م ش	۰/۳۸	۱/۶۳	۰/۶۲	۳۸	۶۲	۱/۲۳	۱/۰۰	۰/۹۵	۱۱/۹	۲۳/۸	۷۹	۳۰
م ش خیلی زیاد	۲/۶۹	۵	۱۳/۴۷	۱/۶	۸	۲/۵۷	۱/۷۸	۱/۴۰	۱۰/۷	۲۱/۵	۸	۳۱
غ م ش	۰/۲۲	۱۶/۸۳	۲/۶۳	۷/۵	۸۷	۱/۱۹	۰/۹۸	۰/۹۳	۹/۸۹	۱۹/۷۸	۸۷	۳۲
غ م ش	۰/۱۶	۱/۸۴	۲/۱۰	۸	۱۰۰	۱/۱۲	۰/۹۳	۰/۹۰	۸/۴۱	۱۶/۸۲	۱۰۵	۳۳
غیر م ش	۰/۳۱	۱۶/۸۳	۵/۲۳	۶	۱۰۱	۱/۱۳	۰/۹۴	۰/۹۰	۱۵/۷	۳۱/۴	۹۸	۳۴

جدول ۳-۱۰: راهنمای جدول ۳-۹ روش آیدان و همکاران

$\frac{\epsilon_{\theta}^a}{\epsilon_{\theta}^e} \leq 1$	NS	غیر مچاله‌شونده
$1 \leq \frac{\epsilon_{\theta}^a}{\epsilon_{\theta}^e} \leq \eta_p$	LS	مچاله‌شوندگی ضعیف
$\eta_p \leq \frac{\epsilon_{\theta}^a}{\epsilon_{\theta}^e} \leq \eta_s$	FS	مچاله‌شوندگی متوسط
$\eta_s \leq \frac{\epsilon_{\theta}^a}{\epsilon_{\theta}^e} \leq \eta_f$	HS	مچاله‌شوندگی زیاد
$\eta_f \leq \frac{\epsilon_{\theta}^a}{\epsilon_{\theta}^e}$	VHS	مچاله‌شوندگی خیلی زیاد

### روش هوک و مارینوس -۳-۵-۴

در این روش نیز همانند سایر روش‌های ارزیابی پتانسیل مچاله‌شوندگی با قرار دادن پارامترهای

به دست آمده از روابط موجود در این روش مقدار کرنش در دیوارهای تونل  $t_e$  بر حسب درصد برای هر

یک از نواحی محاسبه شده که با توجه به نمودار شکل ۳-۹ نواحی مستعد پدیده مچاله‌شوندگی

شناسایی شده‌اند.

جدول ۳-۱۱: ارزیابی پتانسیل مچاله‌شوندگی با استفاده از روش هوک و مارینوس

توصیف	$\varepsilon_{(p_t=o)}\%$	$P_o$ (MPa)	$\sigma_{cm}$ (MPa)	توصیف زمین‌شناسی مهندسی	لیتولوژی	متراژ از کیلومتراز - تا	شماره ناحیه	
غ م ش	۰/۰۵	۱۸/۴۵	۱۰۷	Crushed zone	Porphyry dyke	۲۵۰۰-۲۵۱۳	۱	
غ م ش	۰/۰۴	۱۸/۸۹	۱۳۰	Porphyry dyke		۲۵۱۳-۲۵۳۶	۲	
غ م ش	۰/۱۲	۱۹/۳	۷۷	Argillite mylonite	Argillite mylonite	۲۵۳۶-۲۵۶۴	۳	
غ م ش	۰/۲۳	۱۹/۷۸	۵۸	Limestone		۲۵۶۴-۲۵۸۱	۴	
غ م ش	۰/۱۶	۲۰/۴۸	۷۲			۲۵۸۱-۲۶۴۳	۵	

غ م ش	٠/١٨	٢٠/٨	٦٩	Sandstone	Sandstone	٢٦٤٣-٢٧٠٠	٦
غ م ش	٠/٠٩٣	٢١/٢٦	٩٨			٢٧٠٠-٢٧٥٠	٧
غ م ش	٠/٢٣	٢١/٤٧	٦٢	Limestone & Sandstone	Limestone & Sandstone	٢٧٥٠-٢٧٦٠	٨
غ م ش	٠/٧٥	٢١/٥٧	٣٥	Fault zone	Limestone	٢٧٦٠-٢٧٧٢	٩
غ م ش	٠/٢١	٢١/٧٠	٦٦	Sandstone	Sandstone	٢٧٧٢-٢٨٠٠	١٠
غ م ش	٠/١٢	٢١/٩٦	٨٧		Sandstone & black Argillite	٢٨٠٠-٢٩٠٠	١١
غ م ش	٠/١٣	٢٢/٠٩٧	٨٦		Gray & Green Tuff	٢٩٠٠-٢٩٩٦	١٢
غ م ش	٠/٥٦	٢١/٨٣	٤١		Clay with Argellite & Sandstone	٢٩٩٦-٣٠٠٧	١٣
غير م ش	٠/٧٩	٢٢/٠٧	٣٥	Faulted Zone	Breccia Cemented	٣٠٠٧-٣٠١٥	١٤
غير م ش	٠/٢٧	٢١/٤٢	٥٨	Gray & Green Tuff	Gray	٣٠١٥-٣٢٤٩	١٥
غير م ش	٠/١٥	٢٠/٢٥	٧٢		Crushed Tuff	٣٢٤٩-٣٢٥٥	١٦
غير م ش	٠/٤١	١٩/٤٧	٤٣		Andesite	٣٣٥٥-٣٣٦١	١٧
غير م ش	٠/١٥	١٩/٣٤	٧٠	Andesite	Crushed Zone	٣٣٦١-٣٣٨٢	١٨
غير م ش	٠/١٦	١٩/٠٣	٦٧		Andesite Basalt Gray & Green Tuff	٣٣٨٢-٣٤١٠	١٩
م ش كم	١/٢٠	١٨/٨٤	٢٤	Andesite Gypsum	Andesite Gypsum	٣٤١٠-٣٤٢٤	٢٠
غير م ش	٠/٦٣	١٨/١٠	٣٢	Anyhdrite	Anyhdrite	٣٤٣٤-٣٥٠٠	٢١
غير م ش	٠/٢٥	١٧/٠١	٤٨	Andesite	Andesite	٣٥٠٠-٣٦٠٠	٢٢
غير م ش	٠/٢٩	١٥/٧٦	٤١	Anyhdrite	Anhydrite	٣٦٠٠-٣٨٠٠	٢٣
غير م ش	٠/٤١	١٥/٠٣	٣٣		Anhydrite Gray Tuff	٣٨٠٠-٣٩٤٤	٢٤
غير م ش	٠/٠٥	١٤/٤٣	٩١	Gray & Green Tuff	Gray & Green Tuff	٣٩٤٤-٤٢٠٠	٢٥
غير م ش	٠/٠٣	١٣/٢٤	١٠٣	Black Tuff	Black Tuff	٤٢٠٠-٤٣٠٠	٢٦
غ م ش	٠/٠٤	١٣/٨٣	٩٧	Green Tuff with Black Tuff	Green Tuff with Black Tuff	٤٣٠٠-٤٥٠٠	٢٧
غير م ش	٠/٠٤	١٥/٧١	١٠١			٤٥٠٠-٤٩٤٨	٢٨
غير م ش	٠/٠٥	١٤/٠٢	٨١	Anhydrite with Tuff Interbeddings	Anhydrite with Tuff Interbeddings	٤٩٤٨-٥٢٠٠	٢٩
غير م ش	٠/٠٧	١١/٩٤	٦٢			٥٢٠٠-٥٣٣٩	٣٠
م ش شديد	٣/٦٢	١٠/٧٧	٨	Faulted Zone	Breccia Cemented Anhydrite	٥٣٣٩-٥٣٦١	٣١
غ م ش	٠/٠٢	٩/٩٠٤٦	٨٧	Tuff	Tuff	٥٣٦١-٥٧٤٦	٣٢
غ م ش	٠/٠٠١	٨/٤٢	١٠٠			٥٧٤٦-٦٠٠٠	٣٣
غ م ش	٠/٠٣	٧/٨٢	٨٩			٦٠٠٠-٦٣٨٧	٣٤

جدول ۱۲-۳: راهنمای جدول ۱۱-۳ روش هوک و مارینوس

$\epsilon \leq 1$	NS	مشکلات نگهداری کم
$1 \leq \epsilon \leq 2/5$	MS	مچاله‌شوندگی اندک
$2/5 \leq \epsilon \leq 5$	SS	مچاله‌شوندگی شدید
$5 \leq \epsilon \leq 10$	VSS	مچاله‌شوندگی خیلی شدید
$10 \leq \epsilon$	ES	مچاله‌شوندگی فوق العاده زیاد

همان طور که در فصل دوم بخش روش هوک و مارینوس اشاره شد، این روش نیازمند انجام آزمایش های پیشرفته بوده و پارامترهای زیادی برای ارزیابی این پدیده مورد نیاز است. بنابراین کاربرد گسترده‌ای نداشته و به همین دلیل نتایج این روش بدون انجام آزمایش‌های مربوطه تطابق مطمئنی با دیگر روش‌های مورد استفاده ندارد.

### روش تئوری-تحلیلی -۵-۵-۳

طبق آنچه قبلاً گفته شد، این روش‌ها به دو روش عمدۀ بارلا و روش ISRM تقسیم می‌شود که بر اساس روش‌های تحلیلی فرم بسته به دست آمده‌اند. با استفاده از پارامترهای معرفی شده در جدول ۱۳-۳ و معیارها و راهنمایی روابط موجود در جدول ۱۴-۳ به تحلیل و ارزیابی مچاله‌شوندگی به کمک این روش‌ها برای مسیر تونل البرز پرداخته شده است.

جدول ۱۳-۳: ارزیابی پتانسیل مچاله‌شوندگی با استفاده از روش‌های بارلا و ISRM

توصیف	ISRM $\sigma_\theta/\sigma_{cm}$	توصیف	بارلا $\sigma_{cm}/P_o$	$\sigma_\theta$ (MPa)	$P_o$ (MPa)	$\sigma_{cm}$ (MPa)	ناحیه از کیلومتر از - تا	شماره ناحیه
غ م ش	۰/۳۴	غ م ش	۵/۸۰	۳۶/۸۷۷۴	۱۸/۴۵	۱۰۷	۲۵۰۰-۲۵۱۳	۱
غ م ش	۰/۲۹	غ م ش	۶/۸۸	۳۷/۷۶۰۳۸	۱۸/۸۹	۱۳۰	۲۵۱۳-۲۵۳۶	۲
غ م ش	۰/۵۰	غ م ش	۳/۹۷	۳۸/۶۹۵۳	۱۹/۳	۷۷	۲۵۳۶-۲۵۶۴	۳
غ م ش	۰/۶۸	غ م ش	۲/۹۳	۳۹/۵۲۶۳۴	۱۹/۷۸	۵۸	۲۵۶۴-۲۵۸۱	۴
غ م ش	۰/۵۶	غ م ش	۳/۵۱	۴۰/۹۲۸۷۲	۲۰/۴۸	۷۲	۲۵۸۱-۲۶۴۳	۵
غ م ش	۰/۶۰	غ م ش	۳/۳۱	۴۱/۶۰۳۹۴	۲۰/۸	۶۹	۲۶۴۳-۲۷۰۰	۶
غ م ش	۰/۴۳	غ م ش	۴/۶۱	۴۲/۴۸۶۹۲	۲۱/۲۶	۹۸	۲۷۰۰-۲۷۵۰	۷
غ م ش	۰/۶۹	غ م ش	۲/۸۹۰	۴۲/۹۰۲۴۴	۲۱/۴۷	۶۲	۲۷۵۰-۲۷۶۰	۸
کم م ش	۱/۲۳	غ م ش	۱/۶۲	۴۳/۱۱۰۲	۲۱/۵۷	۳۵	۲۷۶۰-۲۷۷۲	۹
غ م ش	۰/۶۵	غ م ش	۳/۰۴۳	۴۳/۳۶۹۹	۲۱/۷۰	۶۶	۲۷۷۲-۲۸۰۰	۱۰

غ م ش	۰/۵۰	غ م ش	۲/۹۶	۴۳/۸۸۹۳	۲۱/۹۶	۸۷	۲۸۰۰-۲۹۰۰	۱۱
غ م ش	۰/۵۱	غ م ش	۲/۸۹	۴۴/۴۹	۲۲/۰۹۷	۸۶	۲۹۰۰-۲۹۹۶	۱۲
کم م ش	۱/۰۶	غ م ش	۱/۸۷	۴۳/۶۲۹۶	۲۱/۸۳	۴۱	۲۹۹۶-۳۰۰۷	۱۳
م ش کم	۱/۲۶	غیر م ش	۱/۵۸	۴۴/۱۴	۲۲/۰۷	۳۵	۳۰۰۷-۳۰۱۵	۱۴
غیر م ش	۰/۷۳	غیر م ش	۲/۷۰	۴۲/۸۵	۲۱/۴۲	۵۸	۳۰۱۵-۳۲۴۹	۱۵
غیر م ش	۰/۵۶	غیر م ش	۳/۵۵	۴۰/۵۱	۲۰/۲۵	۷۲	۳۲۴۹-۳۳۵۵	۱۶
غیر م ش	۰/۹۰	غیر م ش	۲/۲۰	۳۸/۹۵	۱۹/۴۷	۴۳	۳۲۵۵-۳۳۶۱	۱۷
غیر م ش	۰/۵۵	غیر م ش	۳/۶۱	۳۸/۸۹	۱۹/۳۴	۷۰	۳۳۶۱-۳۳۸۲	۱۸
غیر م ش	۰/۵۶	غیر م ش	۳/۵۱	۳۸/۰۷	۱۹/۰۳	۶۷	۳۳۸۲-۳۴۱۰	۱۹
م ش کم	۱/۵۵	غیر م ش	۱/۲۸	۳۷/۲۹	۱۸/۶۴	۲۴	۳۴۱۰-۳۴۳۴	۲۰
م ش کم	۱/۱۳	غیر م ش	۱/۷۶	۳۶/۲۰	۱۸/۱۰	۳۲	۳۴۳۴-۳۵۰۰	۲۱
غیر م ش	۰/۷۰	غیر م ش	۲/۸۲	۳۴/۰۲	۱۷/۰۱	۴۸	۳۵۰۰-۳۶۰۰	۲۲
غیر م ش	۰/۷۶	غیر م ش	۲/۶۰	۳۱/۰۲	۱۵/۷۶	۴۱	۳۶۰۰-۳۸۰۰	۲۳
غیر م ش	۰/۹۱	غیر م ش	۲/۱۹	۳۰/۰۷	۱۵/۰۳	۳۳	۳۸۰۰-۳۹۴۴	۲۴
غیر م ش	۰/۳۱	غیر م ش	۶/۳۰	۲۸/۸۷	۱۴/۴۳	۹۱	۳۹۴۴-۴۲۰۰	۲۵
غیر م ش	۰/۲۵	غیر م ش	۷/۷۷	۲۶/۴۸	۱۳/۲۴	۱۰۳	۴۲۰۰-۴۳۰۰	۲۶
غیر م ش	۰/۲۸	غیر م ش	۷/۱۱	۲۷/۲۶	۱۳/۶۳	۹۷	۴۳۰۰-۴۵۰۰	۲۷
غیر م ش	۰/۳۱	غیر م ش	۶/۴۲	۳۱/۴۲	۱۵/۷۱	۱۰۱	۴۵۰۰-۴۹۴۸	۲۸
غیر م ش	۰/۳۴	غیر م ش	۵/۷۷	۲۸/۰۴	۱۴/۰۲	۸۱	۴۹۴۸-۵۲۰۰	۲۹
غیر م ش	۰/۳۸	غیر م ش	۵/۱۸	۲۳/۸۹	۱۱/۹۴	۶۲	۵۲۰۰-۵۳۳۹	۳۰
م ش متوسط	۲/۶۹	م ش کم	۰/۷۴	۲۱/۵۵	۱۰/۷۷	۸	۵۳۳۹-۵۳۶۱	۳۱
غ م ش	۰/۲۲	غ م ش	۸/۷۹	۱۹/۷۸۹۱۴	۱۵/۷۱	۱۰۱	۵۳۶۱-۵۷۴۶	۳۲
غ م ش	۰/۱۶	غ م ش	۱۱/۸۸	۱۶/۸۲۸۵۶	۱۴/۰۲	۸۱	۵۷۴۶-۶۰۰۰	۳۳
غیر م ش	۰/۳۸	غیر م ش	۵/۱۷	۲۳/۸۴	۱۱/۹۴	۶۲	۶۰۰۰-۶۳۸۷	۳۴

جدول ۱۴-۳: راهنمای جدول ۱۳-۳ روش ISRM و بارلا

روش بارلا		ISRM روشن	
$\sigma_{cm}/P_o > 1$	بدون مچاله‌شوندگی	$\sigma_\theta/\sigma_{cm} < 1$	بدون مچاله‌شوندگی
$0.4 \leq \sigma_{cm}/P_o \leq 1$	مچاله‌شوندگی کم	$1 \leq \sigma_\theta/\sigma_{cm} \leq 2$	مچاله‌شوندگی کم
$0.2 \leq \sigma_{cm}/P_o \leq 0.4$	مچاله‌شوندگی متوسط	$2 \leq \sigma_\theta/\sigma_{cm} \leq 4$	مچاله‌شوندگی متوسط
$\sigma_{cm}/P_o \leq 0.2$	مچاله‌شوندگی زیاد	$4 \leq \sigma_\theta/\sigma_{cm}$	مچاله‌شوندگی زیاد

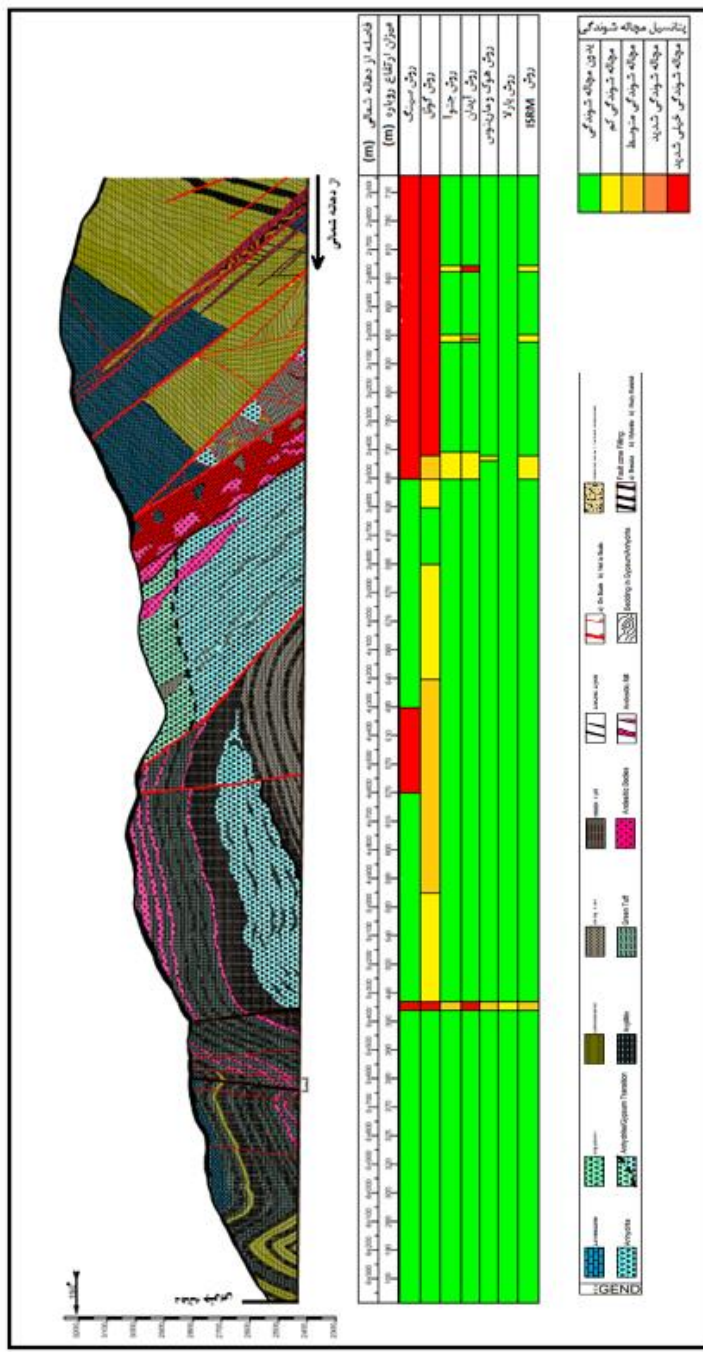
### ۶-۳- مقایسه روش‌ها و نتیجه‌گیری

بر اساس تحلیل‌های انجام شده در روش‌های مختلف ارزیابی پتانسیل مچاله‌شوندگی و مقایسه نتایج آن‌ها، که خلاصه آن در جدول ۱۵-۳ آمده است، می‌توان نتیجه‌گیری کرد که روش‌های نیمه‌تجربی و تحلیلی-تئوریکی نتایج معقول‌تری نسبت به روش‌های تجربی همچون سینگ و گوئل که تنها فاکتورهای کیفیت سنگ و روباره را در نظر می‌گیرند، ارائه می‌دهند. روش‌های تجربی تنها قادر به تشخیص پتانسیل مچاله‌شوندگی بوده درحالی که درجه آن را نمی‌توانند تعیین کنند. در میان این روش‌ها روش هوک و مارینوس کمترین انطباق را با بقیه روش‌ها داشته و اگرچه پارامتر کرنش تونل در روش هوک و مارینوس می‌تواند رفتار بهتری را نشان دهد، ولی با توجه به این که میزان همگرایی تونل قبل از حفاری آن نمی‌تواند به درستی و به طور دقیق تعیین شود و اعدادی که برای کرنش تونل توسط رابطه هوک و مارینوس به دست می‌آید چندان دقیق نیست و کمتر از واقعیت است. لذا استفاده از این روش‌ها تنها در صورتی پیشنهاد می‌گردد که پارامترهای لازم برای تحلیل عددی استخراج و یا آزمون‌های بر جا توانسته باشند میزان همگرایی تغییرشکل‌های حفره ایجاد شده در توده‌سنگ را مشخص کرده باشند.

جدول ۱۵-۳: مقایسه کلی و ارزیابی پتانسیل مچاله‌شوندگی توسط روش‌های مختلف

روش‌های ارزیابی							ناحیه از کیلومتر از -تا	شماره ناحیه		
تجربی		نیمه تجربی			تحلیلی تئوریکی					
سينگ	گوئل و همکاران	جتو و همکاران	آیدان و همکاران	هوک و مارینوس	بارلا	ISRM				
م ش	م ش زیاد	غیر م ش	غیر م ش	غیر م ش	غیر م ش	غیر م ش	۲۵۰۰-۲۵۱۳	۱		
م ش	م ش زیاد	غیر م ش	غیر م ش	غیر م ش	غیر م ش	غیر م ش	۲۵۱۳-۲۵۳۶	۲		
م ش	م ش زیاد	غیر م ش	غیر م ش	غیر م ش	غیر م ش	غیر م ش	۲۵۳۶-۲۵۶۴	۳		
م ش	م ش زیاد	غیر م ش	غیر م ش	غیر م ش	غیر م ش	غیر م ش	۲۵۶۴-۲۵۸۱	۴		
م ش	م ش زیاد	غیر م ش	غیر م ش	غیر م ش	غیر م ش	غیر م ش	۲۵۸۱-۲۶۴۳	۵		
م ش	م ش زیاد	غیر م ش	غیر م ش	غیر م ش	غیر م ش	غیر م ش	۲۶۴۳-۲۷۰۰	۶		
م ش	م ش زیاد	غیر م ش	غیر م ش	غیر م ش	غیر م ش	غیر م ش	۲۷۰۰-۲۷۵۰	۷		
م ش	م ش زیاد	غیر م ش	غیر م ش	غیر م ش	غیر م ش	غیر م ش	۲۷۵۰-۲۷۶۰	۸		
م ش	م ش زیاد	م ش کم	م ش خیلی زیاد	غیر م ش	غیر م ش	غیر م ش	۲۷۶۰-۲۷۷۲	۹		
م ش	م ش زیاد	غیر م ش	غیر م ش	غیر م ش	غیر م ش	غیر م ش	۲۷۷۲-۲۸۰۰	۱۰		

م ش	م ش زیاد	غیر م ش	غیر م ش	غیر م ش	غیر م ش	غیر م ش	غیر م ش	۲۸۰۰-۲۹۰۰	۱۱
م ش	م ش زیاد	غیر م ش	غیر م ش	غیر م ش	غیر م ش	غیر م ش	غیر م ش	۲۹۰۰-۲۹۹۶	۱۲
م ش	م ش زیاد	غیر م ش	م ش متوسط	غیر م ش	غیر م ش	غیر م ش	غیر م ش	۲۹۹۶-۳۰۰۷	۱۳
م ش	م ش زیاد	م ش بسیار زیاد	م ش زیاد	غیر م ش	غیر م ش	غیر م ش	م ش کم	۳۰۰۷-۳۰۱۵	۱۴
م ش	م ش زیاد	م ش بسیار زیاد	م ش بسیار زیاد	غیر م ش	غیر م ش	غیر م ش	غیر م ش	۳۰۱۵-۳۲۴۹	۱۵
م ش	م ش زیاد	م ش بسیار زیاد	م ش بسیار زیاد	غیر م ش	غیر م ش	غیر م ش	غیر م ش	۳۲۴۹-۳۳۵۵	۱۶
م ش	م ش زیاد	م ش بسیار زیاد	م ش بسیار زیاد	غیر م ش	غیر م ش	غیر م ش	غیر م ش	۳۳۵۵-۳۳۶۱	۱۷
م ش	م ش زیاد	م ش بسیار زیاد	م ش بسیار زیاد	غیر م ش	غیر م ش	غیر م ش	غیر م ش	۳۳۶۱-۳۳۸۲	۱۸
م ش	م ش زیاد	م ش بسیار زیاد	م ش بسیار زیاد	غیر م ش	غیر م ش	غیر م ش	غیر م ش	۳۳۸۲-۳۴۱۰	۱۹
م ش	م ش زیاد	م ش بسیار زیاد	م ش متوسط	م ش کم	م ش کم	م ش کم	م ش کم	۳۴۱۰-۳۴۳۴	۲۰
م ش	م ش متوسط	م ش متوسط	م ش متوسط	غیر م ش	غیر م ش	غیر م ش	م ش کم	۳۴۳۴-۳۵۰۰	۲۱
غیر م ش	م ش کم	م ش کم	غیر م ش	غیر م ش	غیر م ش	غیر م ش	غیر م ش	۳۵۰۰-۳۶۰۰	۲۲
غیر م ش	غیر م ش	غیر م ش	غیر م ش	غیر م ش	غیر م ش	غیر م ش	غیر م ش	۳۶۰۰-۳۸۰۰	۲۳
غیر م ش	م ش کم	م ش کم	غیر م ش	غیر م ش	غیر م ش	غیر م ش	غیر م ش	۳۸۰۰-۳۹۴۴	۲۴
م ش	م ش کم	م ش کم	غیر م ش	غیر م ش	غیر م ش	غیر م ش	غیر م ش	۳۹۴۴-۴۲۰۰	۲۵
غیر م ش	م ش متوسط	م ش متوسط	م ش متوسط	غیر م ش	غیر م ش	غیر م ش	غیر م ش	۴۲۰۰-۴۳۰۰	۲۶
م ش	م ش متوسط	م ش متوسط	م ش متوسط	غیر م ش	غیر م ش	غیر م ش	غیر م ش	۴۳۰۰-۴۵۰۰	۲۷
غیر م ش	م ش متوسط	م ش متوسط	م ش متوسط	غیر م ش	غیر م ش	غیر م ش	غیر م ش	۴۵۰۰-۴۹۴۸	۲۸
م ش	م ش کم	م ش کم	غیر م ش	غیر م ش	غیر م ش	غیر م ش	غیر م ش	۴۹۴۸-۵۲۰۰	۲۹
م ش	م ش کم	م ش کم	غیر م ش	غیر م ش	غیر م ش	غیر م ش	غیر م ش	۵۲۰۰-۵۳۳۹	۳۰
م ش	م ش زیاد	م ش بسیار زیاد	م ش خیلی زیاد	م ش شدید	م ش کم	م ش متوسط	م ش متوسط	۵۳۳۹-۵۳۶۱	۳۱
غیر م ش	غیر م ش	غیر م ش	غیر م ش	غیر م ش	غیر م ش	غیر م ش	غیر م ش	۵۳۶۱-۵۷۴۶	۳۲
غیر م ش	غیر م ش	غیر م ش	غیر م ش	غیر م ش	غیر م ش	غیر م ش	غیر م ش	۵۷۴۶-۶۰۰۰	۳۳
غیر م ش	غیر م ش	غیر م ش	غیر م ش	غیر م ش	غیر م ش	غیر م ش	غیر م ش	۶۰۰۰-۶۳۸۷	۳۴



شکل ۶-۳: پروفیل طولی از تونل البرز با تعیین مسیرهای مچاله‌شونده با توجه به روش‌های تجربی، نیمه‌تجربی و تحلیلی-تئوریکی

همان طور که از جدول ۱۵-۳ مشاهده می‌شود، ارزیابی و مقایسه کلی بین نتایج روش‌ها برای توده‌سنگ‌های واقع در مترازهای تفکیکی ۱۴ تا ۳۱ انجام گرفته است. بیشتر روش‌ها ۲۳ و ۲۴ و ۲۲ را قادر پتانسیل مچاله‌شوندگی ارزیابی کرده‌اند. و نواحی تفکیکی ۱۴، ۲۰ و ۳۱ (به علت زون شکسته و

توده‌سنگ ضعیف بودن این متراظه‌های تفکیکی) دارای پتانسیل مچاله‌شوندگی است و همچنین دو سازند ۲۰ و ۲۱ به علت دارا بودن روباره زیاد دارای پتانسیل مچاله‌شوندگی تشخیص داده شده‌اند.

در نواحی ۱۵، ۱۶، ۱۷، ۱۸ و ۱۹ مشاهده می‌شود که نتایج روش‌های سینگ، گوئل و جتوآ با روش‌های آیدان، هوک، بارلا و ISRM تفاوت زیادی دارند. سه روش سینگ، گوئل و جتوآ بر اساس کیفیت توده‌سنگ‌ها قضاوت می‌کنند که بنابراین با اختلاف کمی نتایج تقریباً مشابهی ارائه می‌دهند. اما روش‌های هوک، بارلا و ISRM بر مبنای مقدار تنفس روباره و مقاومت فشاری تک محوره توده‌سنگ‌ها قضاوت می‌کنند و به همین علت نتایج مشابه به هم را نتیجه می‌دهند. در نواحی ۱۵ تا ۱۹ کیفیت توده‌سنگ‌ها ضعیف می‌باشد و بنابراین مقادیر  $Q$  به دست آمده برای این مسیرها کم است اما مقادیر مقاومت فشاری تکمحوره در این نواحی بین ۵۰ تا ۷۰ مگاپاسکال به دست آمده است که در مقایسه با تنفس حاصل از روباره مقاومت بالای محسوب می‌شود و بنابراین روش‌های هوک و مارینوس، بارلا و ISRM که بر مبنای مقاومت فشاری توده‌سنگ‌ها قضاوت می‌کنند این نواحی را غیر مچاله‌شونده ارزیابی کرده‌اند. اما روش‌هایی که بر مبنای کیفیت توده‌سنگ استوارند این نواحی را مچاله‌شونده معرفی می‌کنند. محاسبه شاخص کیفیت توده‌سنگ ( $Q$ ) از دارای عدم قطعیت بالایی است و قضاوت برای به دست آوردن مقدار آن به پارامترهایی مانند زبری درزه‌ها، درجه هوازدگی درزه، جریان آب و ... وابسته است که به خودی خود، محاسبه این پارامترها دارای عدم قطعیت بالایی است و خطای زیادی دارند. بنابراین این روش‌های وابسته به کیفیت توده‌سنگ‌ها نیازمند دقت بسیار بالا در محاسبه شاخص است که معمولاً محقق شدن آن دشوار است. با توجه به این توضیحات روش‌های سینگ و گوئل  $Q$  نتایج غیر واقعی تری ارائه می‌دهند که علت تفاوت نتایج روش‌های مذکور در نواحی ۱۵ تا ۱۹ همین امر است.

لازم به ذکر است که طبق گزارش‌های موجود از تونل دسترسی که به وسیله دستگاه<sup>۱</sup> TBM حفاری گردیده است، این دستگاه به مدت ۱۲ روز در این متراث تفکیکی شماره ۱۴ گیر کرده است. که مطابق با پیش‌بینی‌های انجام گرفته این سازند به شدت مچاله‌شونده است.

درنتیجه سازندهای ۱۴، ۲۰، ۲۱ و ۳۱ از لحاظ مچاله‌شوندگی مورد تأیید همه روش‌ها می‌باشند. بنابراین لازم است تا این سازندها را با روش عددی مدل‌سازی کرده و به تجزیه و تحلیل نتایج آن‌ها بپردازیم. اما در انجام مدل‌سازی این مقاطع یا سازندها با محدودیت‌هایی مواجه هستیم. دو سازند ۱۴ و ۲۰ هنوز حفاری نشده‌اند و امکان نمونه‌برداری برای انجام آزمون‌های آزمایشگاهی روی آن‌ها وجود ندارد. ضمن اینکه هیچ مقطع مچاله‌شونده مشابهی هم در قسمت حفرشده و ابزارگذاری تونل برای ارزیابی و دسترسی به پارامترهای ورودی در مدل‌سازی عددی ما، وجود ندارد. در متراث تفکیکی شماره ۳۱ نیز طبق نظر شرکت مشاور ایتالیایی پروژه تونل البرز، به دلیل مچاله‌شونده بودن این متراث، اعمال تقویت نگهداری این سازند انجام شده و پوشش‌بتنی نهایی در این مقطع اجرا شده است. درنهایت این‌که تنها سازند موجود و در دسترس ناحیه تفکیکی شماره ۲۱ هست که در ماههای اخیر حفاری شده است.

---

<sup>۱</sup> Tunnel Boring Machine



## فصل چهارم

### آزمون آزمایشگاهی خرش

## ۱-۴- مقدمه

در این فصل از پایان‌نامه با توجه به ماهیت مچاله‌شوندگی که وابسته به خزش است، خزش در سنگ مورد بحث و بررسی قرار گرفته است. پس از شناسایی مسیرهای مچاله‌شونده در تونل البرز، با توجه به روش‌های مذکور در فصل سوم، برای مدل‌سازی عددی مقطع مچاله‌شونده در تونل نیاز است تا از مقطع مچاله‌شونده نمونه سنگ تهیه شود. پس از مراجعه به محل تونل البرز و تهیه نمونه‌سنگ از مقطع مچاله‌شونده، آزمایش خزش روی نمونه سنگ در آزمایشگاه مکانیک سنگ دانشگاه صنعتی امیرکبیر انجام گرفته است. با انجام این آزمایش، پارامترهای ورودی برای مدل رفتاری وابسته به زمان برگر-خزشی (که در فصل دوم شرح آن رفته است) به دست می‌آیند.

یکی از ویژگی‌های مهم سنگ‌های با مقاومت متوسط تا ضعیف، مانند سنگ‌های تبخیری (گچ، آنیدریت، هالیت) و زغال‌سنگ تغییر شکل تابع زمان آن‌ها است، که به آن خزش می‌گویند. خزش به عنوان تغییر شکل بدون شکست و بازگشت‌ناپذیر در طی زمان شناخته می‌شود. البته سنگ‌های سخت نیز در زمان‌های نسبتاً طولانی از خود رفتار خزش نشان می‌دهند. بنابراین یکی از نیازهای اساسی در طراحی مهندسی سازه‌های سنگی، مدل کردن صحیح کرنش بر حسب زمان است. موارد مختلفی از نشست سازه‌های سنگین، جابجایی پوشش بتنی در مخازن گاز و تونل‌های تحت‌فشار، ریزش سقف در تونل‌ها و مغارهای بزرگ سنگی، شکستن سیستم نگهداری در معادن و تونل‌ها و ... گزارش شده‌اند که دلیل اصلی آن‌ها رفتار خزشی سنگ‌ها بوده است. این تجربیات و نیز موفقیت‌آمیز بودن طراحی‌هایی که تأثیر زمان در محاسبات آن‌ها وارد شده است، نشان می‌دهد که زمان، عامل بسیار مهمی در پایداری سازه‌های سنگی بوده و به خصوص باید در مورد سازه‌های دائمی یا با عمر زیاد،

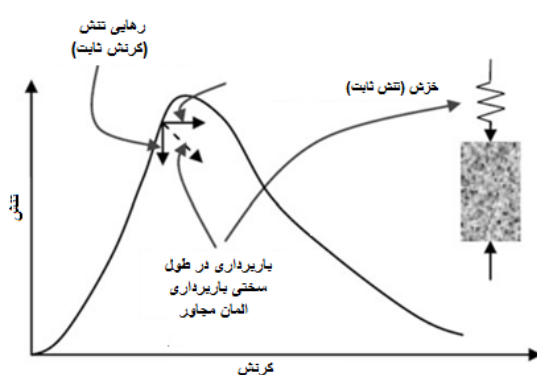
به عنوان یکی از مشخصه‌های اصلی طراحی مدنظر قرار گیرد. مسلم است که سنگ‌های مختلف تغییر شکل‌های متفاوتی از خود نشان می‌دهند. به این منظور آزمایش‌های صحرایی و آزمایشگاهی باید در بلندمدت و کوتاه‌مدت انجام شود و مشخصه‌های مختص هر سنگ به دست آید. بنابراین ارزیابی رفتار بلندمدت سنگ‌های تونل البرز که دارای روبارهای به مقدار ۸۵۰ متر و لیتولوژی با سنگ‌های مختلف الزاماً به نظر می‌رسد.

#### ۲-۴- تعریف خزش

تغییر شکل بازگشت‌ناپذیر در طول زمان بدون ایجاد شکستگی در سنگ و عمدتاً در سنگ‌های نرم مانند نمک و زغال‌سنگ و یا دیگر سنگ‌ها اتلاف می‌شود (Aydan, et al. ۱۹۹۳). یا به عبارتی دیگر، Hoek E, Marinos P, (پدیده خزش عبارت است از تغییر شکل ماده، تحت بار ثابت در طول زمان (۲۰۰۰).

#### ۳-۴- آزمایش خزش

خزش یکی از ظواهر رفتار وابسته به زمان در سنگ‌هاست. در شکل ۱-۴ با توجه به نمودار تنش-کرنش سه مورد از رفتارهای وابسته به زمان در سنگ نشان داده شده است. خزش، یعنی افزایش کرنش هنگامی که تنش ثابت نگه داشته شده است؛ رهایی تنش، یعنی کاهش تنش هنگامی که کرنش ثابت نگه داشته شده است.



شکل ۱-۴: مسیرهای تنش-کرنش در طی آزمایش برای ویژگی‌های وابسته به زمان سنگ‌ها (Z. T. Bieniawski, ۱۹۸۹).

آزمایش‌های خزش در سنگ‌های نرم از جمله توف، شیل، لیگنیت (زغال قهوه‌ای) و ماسه‌سنگ، سنگ‌های با سختی متوسط مانند گلسنگ، و سنگ نمک، و سنگ‌های سخت مانند گرانیت و آندزیت توسط محققین مختلفی انجام شده است. این آزمایش‌ها اغلب تحت شرایط بارگذاری فشاری انجام شده‌اند.

با استفاده از آزمون‌های خزش مدول تغییر شکل وابسته به زمان سنگ را به دست می‌آورند. سنگ‌ها کم‌تر از یک مقدار بارگذاری آستانه رفتار خزشی از خود نشان نمی‌دهند. رفتار خزشی عموماً به گام‌های اولیه، ثانویه و ثالثیه یا شتابی تقسیم‌بندی می‌شوند. خصوصیات خزشی سنگ‌ها برای دستیابی پایداری بلندمدت در سازه‌های مهندسی سنگ اهمیت دارند.

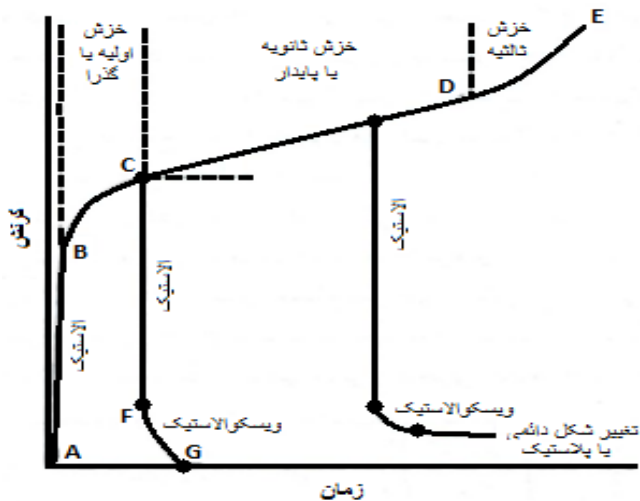
آزمایش‌های خزشی به سه دسته فشاری تکمحوره، فشاری سه محوره و کششی دسته‌بندی و دستگاه‌های آزمایش خزش به دو دسته نوع سگدست‌دار (Cantilever) و نوع کنترل-جابجایی/بارگذاری تقسیم می‌شوند [۲۸].

#### ۴-۳-۱- شرایط محیطی آزمایش

تغییرات دما روی نتایج حاصل از آزمایش خزش تأثیرگذار بوده و مقدار استاندارد برای آزمایش  $1 \pm 25$  درجه سانتیگراد است. رطوبت و درجه اشباع نیز تأثیرگذارند که بایستی طبق استاندارد در طول آزمایش ثابت نگه داشته شوند. شروع اتساع و ارتجاع در نمونه عموماً متناظر با ۴۰ تا ۶۰ درصد تنش، و انتشار ترک و ناپایداری ترک مربوط به زمانی است که سطح تنش اعمالی ۷۰ تا ۸۰ درصد مقاومت برای حالت تنش داده شده است. بنابراین، رفتار در زیر مقدار آستانه بایستی متناظر با رفتار ویسکوالاستیک باشد. مقدار خزش آستانه بایستی متناظر با پاسخ ویسکوالاستوپلاستیک باشد، و نباید امکان مشاهده خصوصیات ویسکوالاستیکی به صورت مستقیم از واکنش‌های اندازه‌گیری شده وجود داشته باشد (Ulusay R, ۲۰۱۵).

### -۲-۳-۴- رفتار سنگ در آزمایش خزش

برای بررسی این پدیده در سنگ‌ها، نمونه سنگی تحت بار ثابت قرار گرفته و تغییر شکل مشاهده شده در طول زمان اندازه‌گیری می‌شود. بار ثابت وارد بر نمونه، به صورت نسبتی از مقاومت نهایی آن نمونه انتخاب می‌شود. منحنی ایده‌آل رفتار سنگ‌ها در اثر پدیده خزش در شکل ۲-۴ نشان داده شده است.(Vutukuri V. S, Lama R. D, ۱۹۷۸)



شکل ۲-۴: منحنی نمادین خزش نمونه سنگی .(Vutukuri V. S, Lama R. D, ۱۹۷۸)

همان‌طور که دیده می‌شود، این منحنی از چهار بخش تشکیل شده است:

- کرنش آنی الاستیک (AB)
- کرنش اولیه و یا گذرا (BC)
- کرنش ثانویه یا پایدار خزش (CD)
- کرنش ثالثیه و یا خزش شتابدار (DE)

کرنش آنی الاستیک (AB) بلافاصله بعد از اعمال بار اتفاق افتاده و به دنبال آن خزش اولیه یا گذرا (BC) با نرخ کاهشی نسبت به زمان را خواهیم داشت. خزش اولیه یا گذرا را تغییر شکل الاستیک (CF) چنانچه تنش قبل از نقطه C برداشته شود، به دنبال آن یک بازگشت آنی (DE) تأخیری نیز می‌نامند.

و بازگشت تأخیری الاستیک (FG) روی خواهد داد. با ادامه بارگذاری و گذر از نقطه C، خرش ثانویه و یا خرش پایدار شروع می‌شود، که در آن نرخ کرنش ثابت است. اگر تنش از نمونه در هر نقطه‌ای بین بازه‌ی CD برداشته شود، تغییر شکل دائمی در سنگ باقی خواهد ماند. اگر تنش تا نقطه D برداشته نشود، نرخ کرنش افزایش می‌یابد و نمونه درنهایت می‌شکند. این قسمت از منحنی (DE) خرش ثالثیه نامیده می‌شود. این مرحله بهقدره کوتاه است که نمی‌توان از گسیختگی نمونه جلوگیری کرد. بسیاری از مطالعات انجام شده در مورد خرش روی دو مرحله اولیه و ثانویه صورت گرفته است. مرحله خرش ثالثیه از نظر طراحی اهمیت چندانی ندارد، زیرا زمانی رخ می‌دهد که سنگ به لحاظ ویژگی‌های مکانیکی از دامنه کارهای مفید مهندسی خارج شده است. عمدتاً مطالعات انجام گرفته در مورد خرش ثالثیه، بر روی صفحات گسل بوده است. قابل ذکر است که فقط در سطوح بالای تنش می‌توان هر سه مرحله خرش را مشاهده نمود (Vutukuri V. S, Lama R. D, ۱۹۷۸).

به‌طورکلی منحنی خرش را می‌توان با رابطه زیر نمایش داد:

$$\epsilon = \epsilon_e + \epsilon(t) + At + \epsilon_T(t) \quad 1-4$$

که در آن:

$\epsilon$  : کرنش کل

$\epsilon_e$  : کرنش الاستیک

$\epsilon(t)$  : تابع خرش گذرا

$At$  : تابع خطی از زمان که حالت پایدار را بیان می‌کند، ثابت A به شرایط بستگی دارد.

$\epsilon_T(t)$  : تابع خرش ثالثیه

#### ۴-۴-روش‌های مدل کردن رفتار خرشی سنگ

روش‌های مختلفی برای مدل کردن رفتار خرش سنگ‌ها ارائه شده است که به دو دسته عمده الف) روش‌های تجربی، ب) روش‌های رئولوژیکی، دسته‌بندی می‌شوند. در ادامه به توضیح این دو روش پرداخته شده است.

## روش‌های تجربی -۱-۴-۴

روش‌های تجربی در حالت کلی از مشاهده رابطه‌ی بین تنش-کرنش-زمان در آزمایش خزش به دست می‌آید، و پارامترها با استفاده از برآذش نمودار بر روی داده‌های آزمایشگاهی و یا صحرایی محاسبه می‌شوند. این مدل‌ها، اغلب برای همان نوع سنگ کاربرد دارد و برای سنگ‌های دیگر و یا شرایط متفاوت آزمایش ممکن است نتایج مطلوبی نداشته باشد.

در حالت کلی روابطی که برای خزش اولیه به کار می‌رود اغلب به دو دسته نمایی و توانی تقسیم می‌شوند:

- رابطه نمایی:

$$d\varepsilon/dt = A_1 \exp(-A_2 t) \quad 2-4$$

- رابطه توانی:

$$d\varepsilon/dt = B_1 t^{B_2} \quad 3-4$$

که در آن  $\varepsilon$  کرنش،  $t$  زمان و  $A_1$ ،  $A_2$  و  $B_1$  و  $B_2$  ثابت‌های رابطه هستند.  $A_2$  و  $B_2$  نرخ کاهشی، نرخ کرنش ( $d\varepsilon/dt$ ) را در  $t = 0$  تعیین می‌کنند. مقدار نرخ کرنش با گذشت زمان با توجه به مقادیر  $A_2$  و  $B_2$  کاهش می‌یابد. بنابراین  $A_2$  و  $B_2$  در هردو رابطه پارامترهای سخت‌شوندگی کرنش هستند (Vutukuri V. S, Lama R. D, ۱۹۷۸).

## روش‌های رئولوژیکی -۲-۴-۴

برای تشریح پدیده خزش در سنگ و سایر مواد، از مدل‌های رئولوژیکی استفاده می‌شود که شامل اجزای مکانیکی (فنر، میراکننده (یا پیستون)، لغزنده) است که به صورت سری یا موازی و یا ترکیبی به هم وصل می‌شوند. سه جزء اصلی تشکیل دهنده این مدل‌ها عبارت‌اند از:

۱- فنر کاملاً الاستیک که بیانگر تغییر شکل الاستیک است.

۲- میراکننده (یا پیستون) که بیانگر تغییر شکل ویسکوز است (مواد نیوتونی).

۳- لغزنه با نیروی اصطکاکی برابر با حد تسلیم که از حرکت لغزنه تحت نیروهای کمتر از حد تسلیم جلوگیری می‌کند و بیانگر رفتار پلاستیک سنگ است.

تاکنون مدل‌های رئولوژیکی زیادی برای توصیف رفتار خزشی سنگ و توده سنگ توسعه یافته‌اند.

این مدل‌ها به مدل‌های ویسکوالاستیک، پلاستیک، الاستیک-ویسکو-پلاستیک، الاستیک-ویسکو-پلاستیک-تخربی تقسیم می‌شوند.

#### ۴-۵- انواع آزمایش خزش

آزمایش‌های خزش با توجه به جهت و امتداد بارگذاری به دو دسته تک محوری (فشاری و کششی) و سه محوری تقسیم‌بندی می‌شوند.

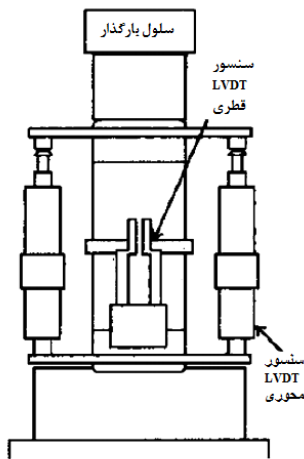
- آزمایش خزش فشاری تک محوره
- آزمایش خزش فشاری سه محوره
- آزمایش خزش برزیلی
- آزمایش پایش کرنش غیرقابل بازگشت

با توجه به روش مورد استفاده برای محاسبه و تخمین پارامترهای مدل ویسکوپلاستیک برگر-خزشی (CVISC) در این تحقیق، نیاز است تا از آزمایش خزش تک محوره فشاری استفاده شود (Goodman R. E, ۱۹۸۹)

#### ۴-۵-۱- آزمایش خزش فشاری تک محوره

در این روش ابتدا نمونه سنگ به اندازه استاندارد (نسبت طول به قطر، ۲ به ۱) تهیه می‌شود و تحت باری به اندازه  $64\%$  مقاومت فشاری تک محوره سنگ قرار می‌گیرد. مقدار جابجایی بایستی به صورت پیوسته یا متناوب (ثانیه‌ها، دقیقه‌ها، ساعت‌ها یا روزها با توجه به سطح تنفس اعمالی روی نمونه) یادداشت شود. مقدار بار مذکور بایستی در طی مدت ۲۰ ثانیه روی نمونه اعمال شود و پس از آن

این مقدار بار در حالت ثابت نگه داشته می‌شود. اگر نمونه در حالت اشباع تحت آزمایش قرار گیرد،  
بایستی نمونه در طول آزمایش درون دستگاه آزمایش مخصوص با محفظه آب قرار بگیرد (Ulusay R, ۲۰۱۴).



شکل ۳-۴: نمونه‌ای از دستگاه خزش تکمحوره (Ulusay R, ۲۰۱۴).

در اینجا باید تاکید شود که محققین مختلف از مدل‌های رئولوژیکی مختلفی و بنابراین تعاریف مختلفی برای ضریب ویسکوزیته استفاده کرده‌اند. به نظر می‌رسد که ضریب ویسکوزیته تعیین شده به وسیله آزمون‌های آزمایشگاهی از مقادیر اندازه‌گیری شده برجا بسیار کوچک‌ترند. در حل مسائل مهندسی، تنها وضع و حالت مقدار ضریب ویسکوزیته اهمیت دارد (Cristescu N, ۲۰۱۲).

#### آزمایش خزش فشاری سه‌محوره -۲-۵-۴

در این نوع آزمایش نیز همانند آزمایش تکمحوره بایستی نمونه در ابعاد استاندارد تهیه شود. جابجایی‌ها در جهات مختلف بایستی به صورت منظم یا متناوب یادداشت شوند. تنش محوری و محصورکننده بر روی نمونه بارگذاری می‌شود. هنگامی که تنش به مقدار مورد نظر رسید، ثابت نگه داشته می‌شود. اگر لازم به اجرای آزمایش نمونه در حالت اشباع آزمایش باشد، بایستی نمونه اشباع با یک لایه انعطاف‌پذیر یا پوشش داده شده با پلاستیک یا غشای سیلیکونی، پوشانده شود.

#### ۴-۶- تعیین ثابت‌های ویسکوالاستیکی با استفاده از آزمون‌های آزمایشگاهی

ثابت‌های ویسکوالاستیکی را از روش‌های آزمایشگاهی و بر جا می‌توان به دست آورد. ساده‌ترین روش برای ارزیابی ثابت‌های ویسکوالاستیک از طریق بارگذاری فشاری تک محوره روی نمونه‌های استوانه‌ای سنگ در طی بازه‌های زمانی بلندمدت است. برای این کار بایستی تنش، دما و رطوبت در مدت زمان آزمایش ثابت باشند، که ممکن است ساعت‌ها، هفته‌ها یا بیش‌تر به طول انجامد. بارگذاری ممکن است توسط بارهای مرده از طریق اهرم به صورت مستقیم روی نمونه یا از طریق اعمال فشار روغن اعمال گردد. دستگاه‌های فشار هیدرولیکی خودکنترل و فنرهای فشاری نیز می‌توانند به کار بروند.

کرنش محوری با زمان  $(t)_E$  در مدل برگر تحت اثر تنش محوری  $\sigma_1$  است:

$$\varepsilon_1(t) = \frac{2\sigma_1}{9K} + \frac{\sigma_1}{3G_2} + \frac{\sigma_1}{3G_1} - \frac{\sigma_1}{3G_1} e^{-(G_1 t / \eta_1)} + \frac{\sigma_1}{3\eta_1} t \quad 4-4$$

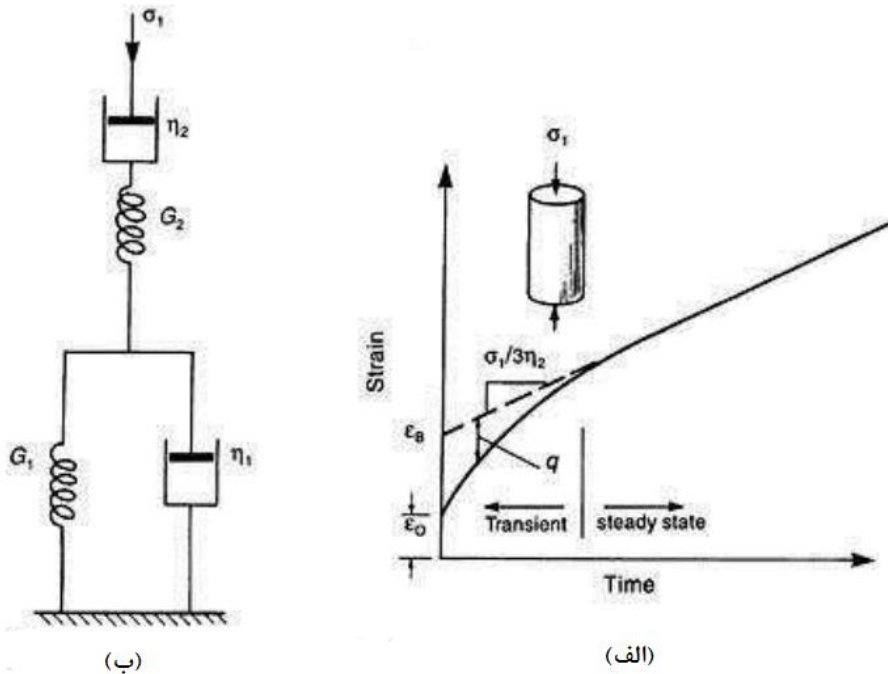
که در این رابطه  $K = E/[3(1 - 2\nu)]$  مدول بالک است، و فرض شده که به زمان وابسته نیست و  $\eta_1$ ،  $\eta_2$  و  $G_1$  و  $G_2$  ویژگی‌های سنگ هستند که در ادامه ارزیابی خواهند شد.

شکل ۴-۴ نموداری از  $\varepsilon_1$  بر حسب  $t$  مربوط به رابطه ۵-۴ است. در  $t = 0$ ، رابطه ۴-۴ به رابطه ۵-۴ تبدیل می‌شود، در حالی که کرنش در مقادیر  $t$  بزرگ در امتداد خط با معادله ۶-۴ می‌افتد و شیب خط این معادله برابر با  $\sigma_1 / 3\eta_2$  است.

$$\varepsilon_1 = \sigma_1 \left( \frac{2}{9K} + \frac{1}{3G_2} \right) \quad 5-4$$

$$\varepsilon_B = \sigma_1 \left( \frac{2}{9K} + \frac{1}{3G_2} + \frac{1}{3G_1} \right) \quad 6-4$$

در نمودار شکل ۴-۴ (الف)، بهترین ارزیابی از رفتار خزش سنگ، با استفاده از مدل‌های کلوین (فنر و پیستون به صورت سری) و ماکسول (فنر و پیستون به صورت موازی) آمده است که به عنوان مدل برگر شناخته شده است (Goodman R. E, ۱۹۸۹).



شکل ۴-۴: خرش در تنش فشاری نامحصور سنگ که به عنوان جسم برگر تحت تنش انحرافی و به عنوان جسم الاستیک تحت تنش هیدروستاتیک فشاری رفتار می‌کند. (الف) نمودار خرش برای مدل خرشی برگر ب) مدل فنر-پیستون (برگر)، برای ارزیابی رفتار خرش تحت بارگذاری فشاری تکمحوره (Goodman R. E, ۱۹۸۹).

$$\log q = \log \left( \frac{\sigma_1}{3G_1} \right) - \frac{G_1}{2.3\eta_1} t \quad 7-4$$

نمودار نیمه لگاریتمی  $\log q$  بر حسب  $t$  را قطع می‌کند و شیب  $G_1/2.3\eta_1$  و  $G_1$  و  $\eta_1$  را تعیین می‌کند. و  $G_2$  می‌تواند از رابطه زیر تعیین شود:

$$\frac{\sigma_1}{3G_2} = \varepsilon_B - \sigma_1 \left( \frac{1}{3G_1} + \frac{2}{9K} \right) \quad 8-4$$

که در آن  $G_1$  با افزایش تنش محوری کاهش می‌یابد.  $G_2$  و  $K$  اغلب مستقل از تنش می‌باشند.

ثابت‌های تغییر شکل پذیری خرشی معنی فیزیکی واقعی دارند:  $G_2$  مدول برشی الاستیک،  $G_1$  مقدار کاهش الاستیک و  $\eta_1$  سرعت کاهش الاستیسیته  $\eta_2$  جریان ویسکوزیته را توصیف می‌کند.

طبق نتایج حاصل از آزمایش روی نمونه سنگ، در آزمایش‌های با تنش فشاری کمتر از ۴۰٪ مقاومت فشاری تکمحوری نمونه، وا استگی زمانی وجود ندارد، و خرش ثانویه در تنش کمتر از ۶۰٪ مقاومت نمونه اهمیتی ندارد.  $G_1$  و پارامترهای ویسکوزیته برای تنش‌های اعمالی کمتر از ۴۰٪ بزرگ

هستند و با افزودن بار کوچک‌تر می‌شوند.  $G_2$  و K تقریباً به مقدار تنش وابسته نیستند (Cristescu ۱۹۹۹، N. D, Hunsche).

با توجه به توضیحات ارائه شده پیرامون آزمایش خزش تک محوره و روابط مربوط به محاسبه پارامترهای خزشی، نمونه سنگ اینیدریت از مقطع متراز مورد نظر تهیه شده و در آزمایشگاه مکانیک سنگ دانشگاه صنعتی امیرکبیر به انجام آزمایش‌های مربوطه پرداخته می‌شود. در ادامه آزمایش انجام آزمایش و محاسبات مربوط به آن آورده شده است.

#### ۴-۷-آزمایش خزش نمونه سنگ اینیدریت

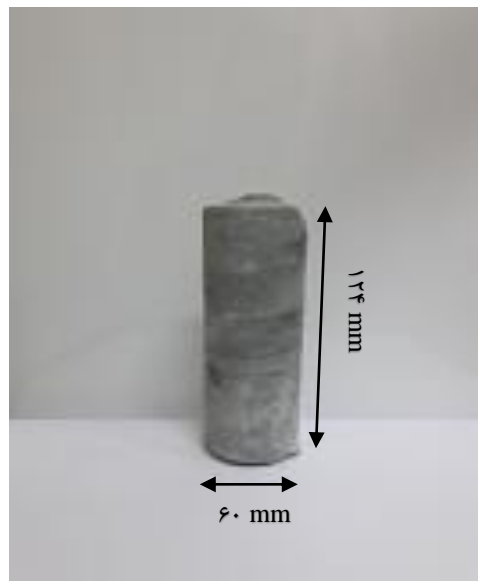
به منظور تهیه نمونه سنگ اینیدریت از مقطع مچاله‌شونده انتخابی، به محل تونل البرز مراجعه شده است. پس از انتخاب چند بلوک سنگ اینیدریت از دو موقعیت مختلف در حد فاصل متراز مچاله‌شونده ۳۵۰۰-۳۴۳۴، با استفاده از دستگاه مغزه‌گیر به تهیه نمونه‌های سنگ در ابعاد استاندارد (نسبت طول به قطر؛ ۲ به ۱) به طول ۱۲۴ mm و قطر ۶۰ mm اقدام شده است. نمونه‌های سنگی مغزه‌گیری شده جهت تسطیح سازی و انجام آزمایش‌های خزش و تعیین مقاومت فشاری تکمحوره، چسبندگی و زاویه اصطکاک داخلی به آزمایشگاه مکانیک سنگ دانشکده مهندسی معدن و متالورژی دانشگاه صنعتی امیرکبیر انتقال داده شد. یک نمونه از سنگ اینیدریت در شکل ۴-۵(الف) و مشخصات نمونه در جدول ۱-۴ آمده است.

جدول ۱-۴: مشخصات نمونه اینیدریت مورد آزمایش

نوع سنگ	مقاومت فشاری تکمحوره (MPa)	طول نمونه (mm)	قطر نمونه (mm)	مساحت مقطع نمونه (mm <sup>2</sup> )
انیدریت	۳۲	۱۲۴	۶۰	۲۸۲۷,۵



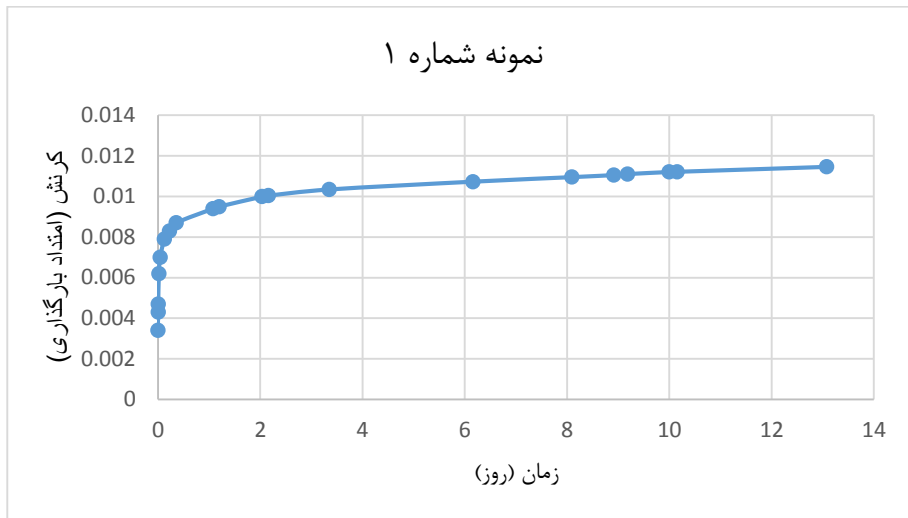
ب) دستگاه بارگذاری روی نمونه



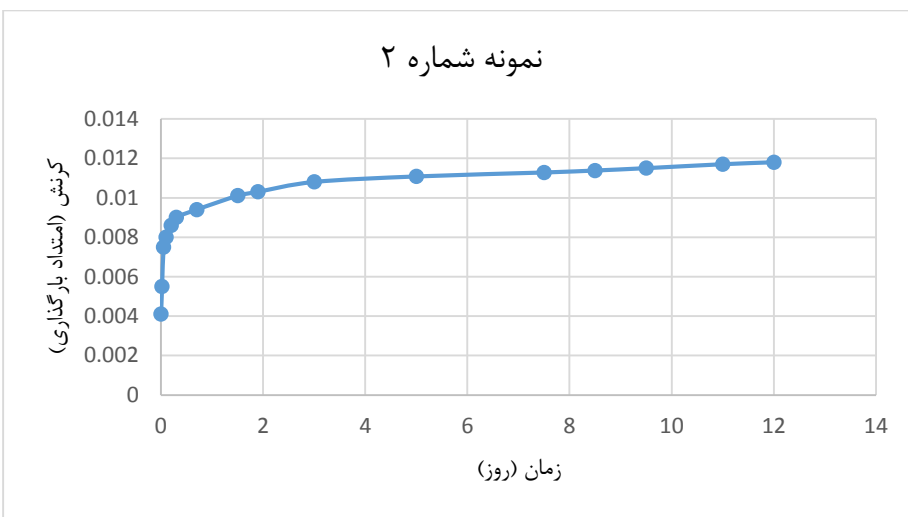
الف) نمونه آزمایش

شکل ۴-۵: نمونه سنگ اندیزیت در ابعاد ۱۲۴ mm \* ۶۰ mm

نمونه سنگ انتخابی اندیزیت تحت بارگذاری تقریباً ۶۴ درصد مقاومت فشاری تکمحوره سنگ یعنی معادل با ۲۰,۵ مگاپاسکال قرار گرفته است. مقدار بار اعمالی بایستی به حدی باشد که خزش در نمونه رخ دهد. داده های به دست آمده حاصل از انجام آزمایش خزش بر روی دو نمونه سنگ، به صورت نمودار خزش (کرنش-زمان) به ترتیب در شکل ۶-۴ و شکل ۷-۴ ارائه شده است. زمان انجام آزمایش تا رسیدن نمونه سنگ به مرحله خزش ثانویه و خطی شدن نمودار کرنش-زمان به طول انجامید، که مقدار آن برای نمونه شماره ۱ تقریباً ۱۳ روز و برای نمونه شماره ۱۲ روز بوده است. در شکل ۴(۵)(ب) تصویری از نمونه سنگ اندیزیت تحت بارگذاری فشاری تکمحوره درون دستگاه آزمایش خزش تکمحوره، آمده است.



شکل ۴-۶: نمودار کرنش-زمان نمونه شماره ۱



شکل ۴-۷: نمودار کرنش-زمان نمونه شماره ۲

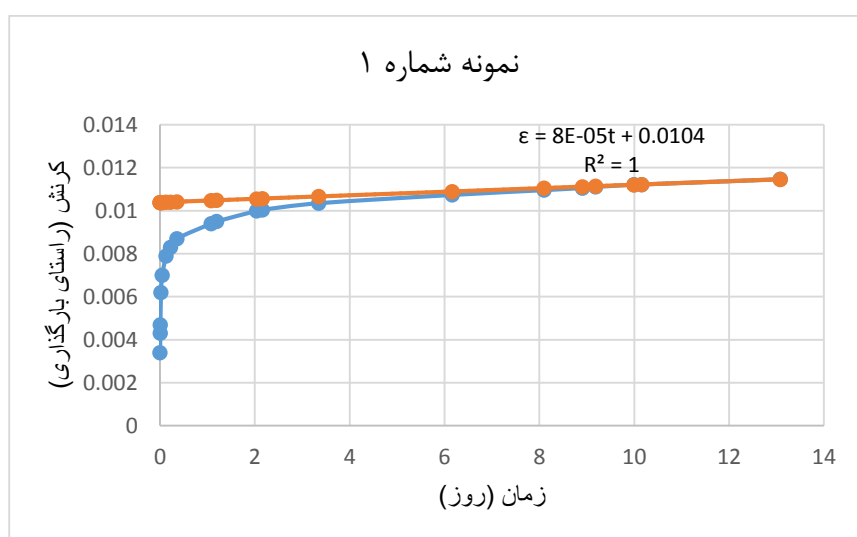
در ادامه با توجه به نمودارهای به دست آمده از این آزمایش خزش، پارامترهای ویسکوالاستیک برای نمونه‌ها محاسبه و تعیین شده است. با به دست آوردن پارامترهای خزش حاصل از دو نمونه، پارامترهای نمونه‌ای که دارای مقادیر بحرانی‌تر است برای مدل‌سازی انتخاب می‌شود.

#### ۸-۴-۱- محاسبات و تعیین ثابت‌های مدل برگر (مربوط به نمونه شماره ۱)

در این بخش، پارامترهای خزشی مربوط به رابطه برگر با توجه به روش ارائه شده توسط گودمن<sup>۱</sup> محاسبه و تعیین شده است.

#### ۸-۴-۲- تعیین خط مماس بر منحنی خزش ثانویه برای نمونه ۱

با توجه به خطی شدن نمودار کرنش - زمان در مرحله خزش ثانویه، خطی بر قسمت خطی این نمودار، با توجه به نمودار شکل ۸-۴، مماس می‌شود.



شکل ۸-۴: نمودار خط مماس بر قسمت خطی نمودار خزش نمونه ۱

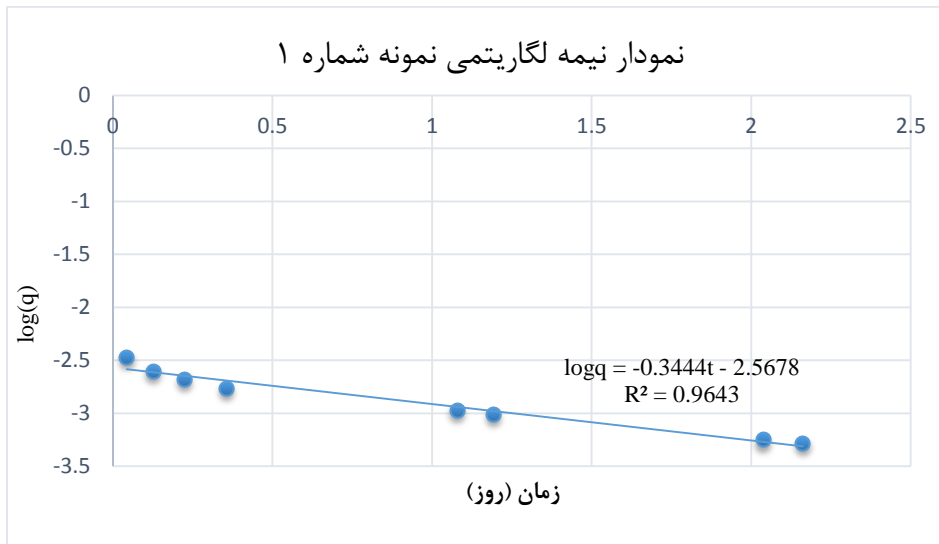
معادله خط مذکور به صورت زیر است:

$$\varepsilon = 8 \times 10^{-5} t + 0.0104 \quad ۹-۴$$

<sup>۱</sup> Goodman

## محاسبه فاصله (مثبت) بین منحنی خزش و خط مماس بر نمودار -۲-۸-۴

فاصله مذکور را  $q$  نامیده سپس از مقادیر  $q$  به دست آمده در زمان های اندازه گیری شده خزش، لگاریتم گرفته و این مقادیر (نقاط) بر حسب زمان رسم شده و خطی به این مقادیر (نقاط) برازش داده می شود.



شکل ۹-۴: نمودار نیمه لگاریتمی نمونه ۱

معادله خط برازش شده بر این نقاط، به صورت زیر با ضریب تعیین ۹۶٪ است:

$$\log q = -0.3444t - 2.5678 \quad 10-4$$

از معادله خط برازش شده بر داده های  $\log q$  بر حسب زمان و معادله ۷-۴ معادله ۱۰-۴ به دست

می آید:

$$\begin{aligned} \log q &= -0.3444t - 2.5678 \\ \log q &= \log\left(\frac{\sigma_1}{G_1}\right) - \frac{G_1}{2\eta_1} t \end{aligned} \Rightarrow \begin{cases} \log\left(\frac{\sigma_1}{G_1}\right) = -2.5678 \\ \frac{G_1}{2\eta_1} = 0.3444 \end{cases} \Rightarrow \begin{cases} G_1 = 2/531 \text{ GPa} \\ \eta_1 = 2/76105 \text{ GPa.s} \end{cases}$$

با توجه به عرض از مبدأ خط مماس بر منحنی خزش که از برازش بر قسمت خطی منحنی به دست

آمده و مدول بالک انیدریت، مقدار  $G_2$  را محاسبه می شود:

$$\varepsilon = 8 \times 10^{-5} t + 0.104 \quad \Rightarrow \quad \varepsilon_B = 0.104$$

$$K = \frac{E}{3(1-2\nu)} \quad \Rightarrow \quad K = 4/47 GPa$$

و با استفاده از رابطه ۴-۸:

$$\frac{20/5}{3G_2} = 0.0104 - 20/5 \left( \frac{1}{3 \times 2531} + \frac{1}{9 \times 4470} \right) \quad \Rightarrow \quad G_2 = 1/501 GPa$$

با مساوی قرار دادن شیب معادله خط ۱-۴ در قسمت خطی  $\sigma_1/3\eta_2$  و شیب معادله برازش شده

در قسمت خطی این نمودار مقدار  $\eta_2$  محاسبه می‌شود:

$$\frac{20/5}{3\eta_2} = 8 \times 10^{-5} \quad \Rightarrow \quad \eta_2 = 7/38e6 GPa.s$$

به همین ترتیب برای نمونه شماره ۲ نیز باقیستی خط مماس برازش بر نمودار خزش را رسم شده و روند محاسبات برای این منحنی حساب شود. پارامترهای ویسکوالاستیک محاسبه شده خزش برای دو نمونه مورد آزمایش محاسبه شده و در جدول ۴-۲ آمده است.

جدول ۴-۲: پارامترهای ویسکوالاستیک خزش برای دو نمونه مورد آزمایش سنگ انیدریت

$\eta_1$ (GPa.s)	$\eta_2$ (GPa.s)	$G_1$ (GPa)	$G_2$ (GPa)	$K$ (GPa)	$\sigma_{ci}$ (MPa)	انیدریت
۷/۳۸e6	۲/۷۶۱e5	۱/۵۰۱	۲/۵۳۱	۴/۴۷	۲۰/۵	نمونه ۱
۵/۳۶۷e6	۲/۰۳۴e5	۲/۲۲۰	۲/۷۴۱	۴/۴۷	۲۰/۵	نمونه ۲

$G_1$ : مدول برشی کلوین ( $G_k$ ),  $G_2$ : مدول برشی ماکسول ( $G_M$ ),  $\eta_1$ : مدول الاستیسیته کلوین ( $\eta_K$ ),  $\eta_2$ : مدول الاستیسیته ماکسول ( $\eta_M$ )

#### ۴-۹- صحبت سنجی رفتاری مدل‌سازی عددی

در این مرحله با توجه به پارامترهای ویسکوالاستیک به دست آمده از آزمایش‌ها به صحبت سنجی مدل‌سازی در نرم‌افزار FLAC پرداخته می‌شود. در جدول ۳-۴ پارامترهای ورودی مدل‌سازی آمده است.

جدول ۴-۳: پارامترهای مورد نیاز در مدل CVISC (Itasca, ۲۰۱۱)

Property	نمايه در FLAC	نمايه	خصوصيات
Elastic Bulk Modulus	b	k	مدول الاستيک بالك
Cohesion	C	c	چسبندگی
Mass Density	de	$\rho$	دانسيته
Dilation Angel	di	$\psi$	زاویه اتساع
Angel of Internal Friction	f	$\phi$	زاویه اصطکاک داخلی
Kelvin Shear Modulus	k-s	$G^k$	مدول برشی کلوین
Kelvin Viscosity	k-v	$\eta^k$	ویسکوزیته کلوین
Elastic Shear Modulus	sh	$G^M$	مدول برشی الاستيک
Tension limit	t	$\sigma_t$	حد کششی
Maxwell Viscosity	Vis	$\eta^M$	ویسکوزیته ماکسول

با توجه به پارامترهای موجود در جدول ۴-۳، بایستی پارامترهای مدول الاستيک بالک، چسبندگی، دانسيته، زاویه اتساع، زاویه اصطکاک داخلی و مقاومت کششی نمونه سنگ مورد آزمایش موجود باشد. مقادیر این پارامترها با انجام آزمایش‌های مربوطه به دست آمده است و مقادیرشان در جدول ۴-۴ آمده است.

جدول ۴-۴: پارامترهای مکمل (حاصل از انجام آزمایش‌های مربوطه) پارامترهای ویسکوالاستیکی، برای ورود به مدل CVISC در FLAC

$\Psi$	C	$\phi$	$\sigma_t$	$\sigma_{ci}$	$\gamma$	E	$\gamma$	پارامترها
۹/۲	۵	۵۱	۳/۵	۳۲	۰/۲۸	۵/۹	۲/۳	مقدار
درجه	MPa	درجه	MPa	MPa	-	GPa	$gr/cm^3$	واحد

با توجه به جداول ۳، ۴ و ۵ برای نمونه ۱ و ۲، جدول زیر به طور خلاصه پارامترهای محاسبه شده را آورده است:

جدول ۴-۵ : مقادیر پارامترهای ورودی به مدل FALC در CVISC برای هر دو نمونه ۱ و ۲ سنگ انیدریت

نمونه ۲	نمونه ۱	واحد	نمایه	خصوصیات
۴/۴۷	۴/۴۷	(GPa)	$k$	مدول الاستیک بالک
۵	۵	(MPa)	$c$	چسبندگی
۲/۳	۲/۳	$gr/cm^3$	$\rho$	دانسیته
۹/۲	۹/۲	درجه	$\Psi$	زاویه اتساع
۵۱	۵۱	درجه	$\phi$	زاویه اصطکاک داخلی
۲/۷۴۱	۲/۵۳۱	(GPa)	$G^k$	مدول برشی کلوین
۲/۰۳۴۵	۲/۷۶۱۵	(GPa.s)	$\eta^k$	ویسکوزیته کلوین
۲/۲۲۰	۱/۵۰۱	(GPa)	$G^M$	مدول برشی الاستیک
۳/۵	۲/۳	(MPa)	$\sigma_t$	حد کششی
۵/۳۶۷۵	۷/۳۸۵۶	(GPa.s)	$\eta^M$	ویسکوزیته ماکسول

پس از برآورد و جمعآوری پارامترهای ورودی مدل CVISC، به جایگذاری این مقادیر در مدل اقدام می‌شود. در ادامه نتایج حاصل از اجرای مدل با نتایج حاصل از آزمایش‌ها مقایسه خواهد شد.

#### ۱-۹-۴ - اجرای مدل سازی

#### ۱-۹-۴ - مقایسه کرنش‌های حاصل از مدل سازی و نتایج آزمایشگاهی

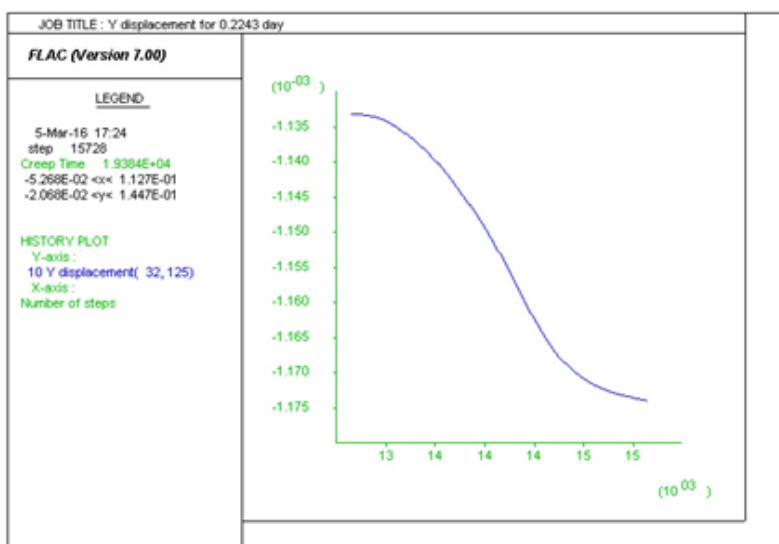
نمودارهای مربوط به جابجایی یک نقطه در بالای نمونه ۱ و ۲: بهمنظور مدل سازی نمونه سنگ انیدریت از نرم افزار FLAC2D<sup>۷.۰۰</sup> بهره گرفته شده است. برای ساخت نمونه به ابعاد  $12.4 \times 6 cm^2$  از مشبندی ساده با تراکم  $12.4 \times 6$  استفاده شده است. خصوصیات الاستیکی و ویسکوالاستیکی نمونه را اعمال می‌شود. از آنجاکه بارگذاری روی نمونه از بالای نمونه است، مرز پایین نمونه را در جهت  $y$  بسته شده و مقدار بار  $20,5$  مگاپاسکال را از مرز بالایی به نمونه اعمال می‌شود. ابتدا مدل را به صورت الاستیکی اجرا کرده تا به تعادل اولیه برسد. سپس با وارد کردن زمان موردنظر، مدل را به صورت خزشی اجرا می‌گردد. لازم است برای رسیدن به گام زمانی مناسب در مدل، مقادیر گام زمانی را تغییر داده تا به مقدار گام زمانی بهینه و مطلوب دست یافته شود.

با گرفتن تاریخچه جابجایی از یک نقطه در نمونه، مقدار جابجایی این نقطه در راستای Y نمونه یادداشت شده و با توجه به رابطه ۱۱-۴ مقدار کرنش در راستای Y نمونه محاسبه و مقدار کرنش حاصل با مقدار کرنش آزمایش مقایسه می‌شود تا مقدار خطای مدل‌سازی ارزیابی شود.

$$\epsilon = \frac{\Delta L}{L} \quad 11-4$$

$$\frac{\epsilon_{\text{آزمایش}} - \epsilon_{\text{مدل‌سازی}}}{\epsilon_{\text{آزمایش}}} \times 100 \quad 12-4$$

به عنوان مثال، نمونه شماره ۱ برای مدت زمان ۵/۴ ساعت صحت سنجی می‌شود.



شکل ۱۰-۴: نمودار جابجایی نقطه‌ای در نمونه شماره ۱ تحت بارگذاری در راستای y (بهمنظور محاسبه کرنش) در مدت زمان ۵/۴ ساعت تحت بارگذاری ۲۰,۵ Mpa

## ۲-۱-۹-۴ محاسبه میزان کرنش نمونه در راستای Y، و مقدار خطای نسبی مدل سازی

### عددی نمونه

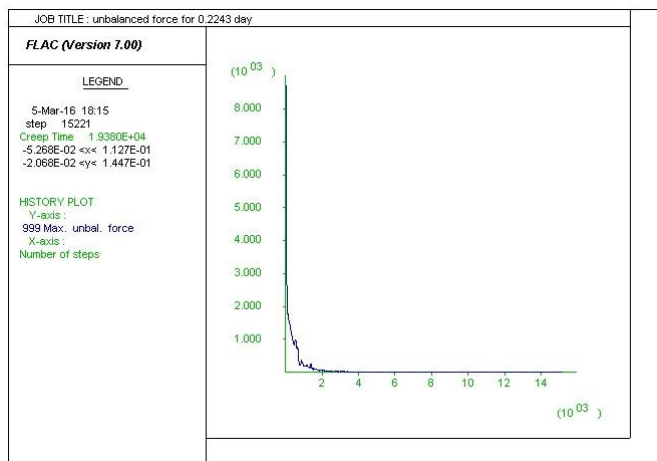
با توجه به روابط ۱۱-۴ و ۱۲-۴ و شکل ۱۰-۴ :

$$\epsilon = \frac{9/7 \times 10^{-4}}{1/24 \times 10^{-2}} = 0.0078 \text{ آزمایش}$$

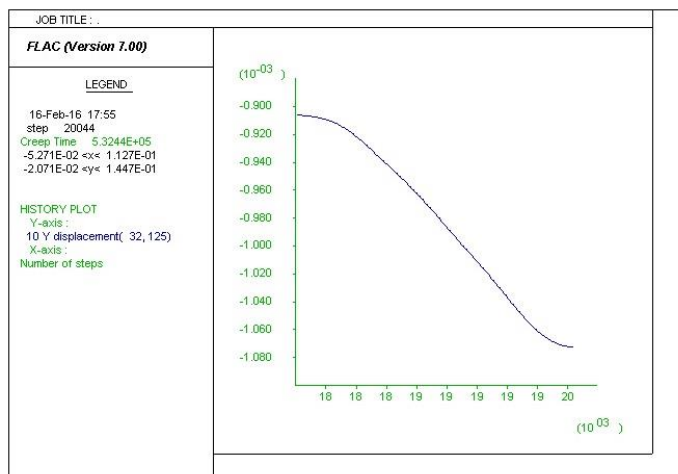
$$\text{درصد خطای نسبی} = \left( \frac{0.0083 - 0.0078}{0.0083} \right) \times 100 = 6\%.$$

بنابراین مقدار خطای نسبی مدل سازی نمونه ۱ برای مدت زمان ۴/۵ ساعت تحت بارگذاری ۲۰/۵ MPa در راستای Y نمونه، ۶/۴٪ است. به همین ترتیب مقادیر درصد خطای نسبی را برای نمونه ۱ و ۲ در مدت زمان‌های مختلف محاسبه و ارزیابی می‌شود.

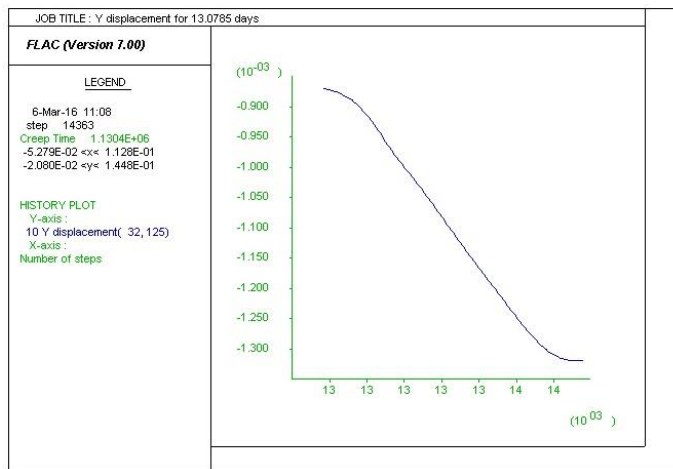
همانند محاسبات بالا، مقادیر کرنش و خطای نسبی مدل سازی را برای هر دو نمونه شماره ۱ و ۲ برای سه زمان مختلف خوانش، ارزیابی شده و نهایتاً نتایج در جدول ۶-۴ آورده می‌شود.



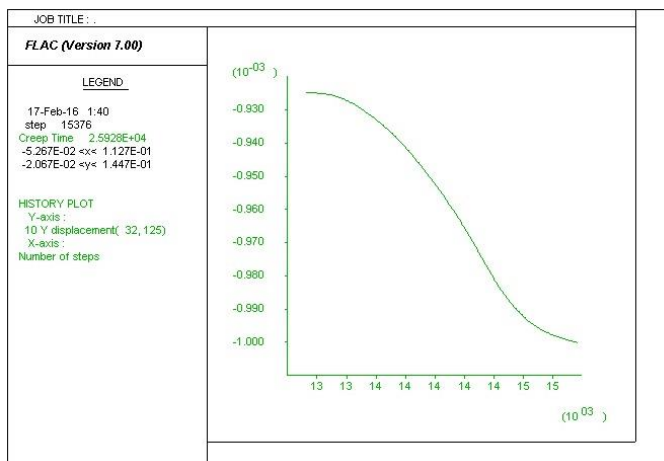
شکل ۱۱-۴: نمودار نیروهای نامتعادل کننده برای نمونه شماره ۱ در مدت زمان ۴/۵ ساعت تحت بار ۲۰/۵ MPa



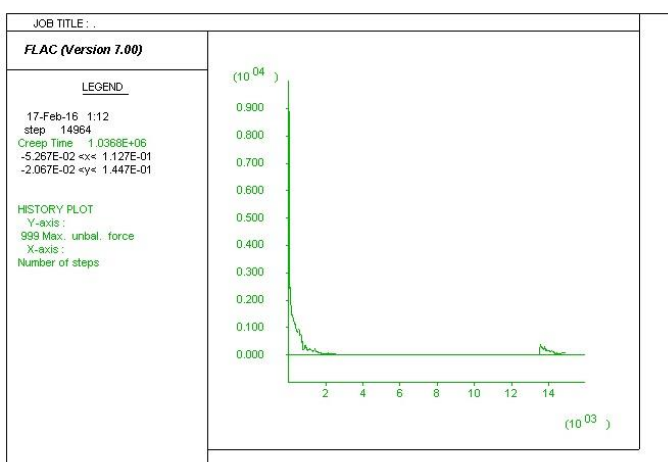
شکل ۱۲-۴: نمودار جابجایی نقطه‌ای در نمونه شماره ۱ تحت بارگذاری در راستای y (به منظور محاسبه کرنش) برای مدت زمان ۱۴۸ ساعت تحت بارگذاری ۲۰/۵ MPa



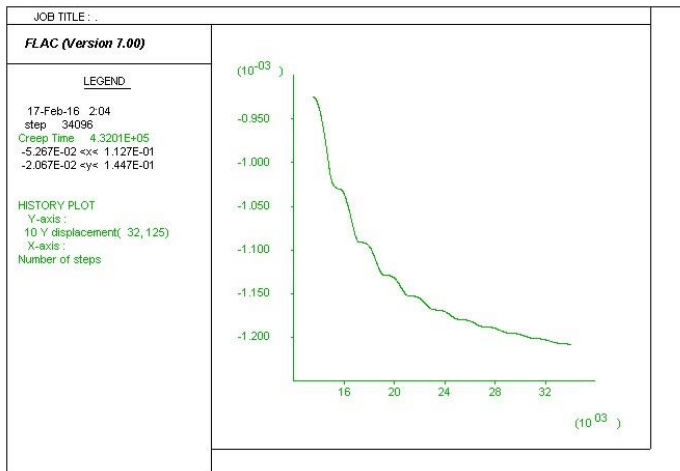
شکل ۱۳-۴: نمودار جابجایی نقطه‌ای در نمونه شماره ۱ تحت بارگذاری در راستای y (بهمنظور محاسبه کرنش) برای مدت زمان ۳۱۴ ساعت تحت بارگذاری ۲۰/۵MPa



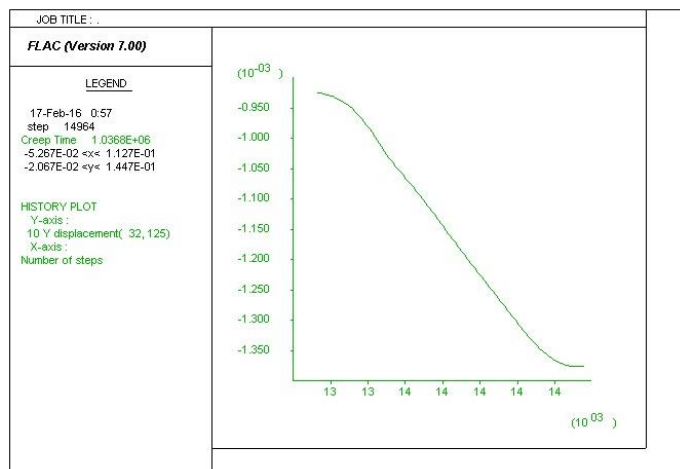
شکل ۱۴-۴: نمودار نقطه‌ای در نمونه شماره ۲ تحت بارگذاری در راستای y (بهمنظور محاسبه کرنش) برای ۲۰/۵MPa مدت زمان ۷/۲ ساعت تحت بارگذاری



شکل ۱۵-۴: نمودار نیروهای نامتعادل کننده برای نمونه شماره ۲ در مدت زمان ۷/۲ ساعت تحت بار ۲۰/۵MPa



شکل ۱۶-۴: نمودار نقطه‌ای در نمونه شماره ۲ تحت بارگذاری در راستای y (بهمنظور محاسبه کرنش) برای ۲۰/۵MPa مدت زمان ۱۲۰ ساعت تحت بارگذاری



شکل ۱۷-۴: نمودار نقطه‌ای در نمونه شماره ۲ تحت بارگذاری در راستای y (بهمنظور محاسبه کرنش) برای ۲۰/۵Mpa مدت زمان ۲۸۸ ساعت تحت بارگذاری

جدول ۶-۴: مقایسه کرنش‌های حاصله از مدل‌سازی و نتایج آزمایشگاهی

انیدریت	زمان (ساعت)	کرنش حاصل از مدل‌سازی	کرنش آزمایشگاهی	میزان خطا نسبی %
نمونه ۱	۵/۴	۰/۰۰۷۴۵	۰/۰۰۸۳	۱۰/۲
	۱۴۸	۰/۰۱۰۴۸۴	۰/۰۱۰۷۳۲	۲/۳
	۳۱۴	۰/۰۰۹۱۹۳	۰/۰۱۱۴۶	۸/۵
	۷/۲	۰/۰۰۸۰۶	۰/۰۰۹	۱۰/۴
نمونه ۲	۱۲۰	۰/۰۱۰۴۸۴	۰/۰۱۱۰۸	۵/۳
	۲۸۸	۰/۰۱۱۲۹	۰/۰۱۱۸	۴/۳

#### ۴-۱۰- نتیجه‌گیری

با انجام آزمایش خزش برای نمونه سنگ انیدریت، پارامترهای خزش به دست آورده می‌شود. این پارامترها برای انجام مدل‌سازی پدیده مچاله‌شوندگی در مقطع متراژ ۳۵۰۰-۳۴۳۴ مورد نیاز هستند.

پس از انجام آزمایش خزش تکمحوره، با استفاده از راهکار ارائه شده توسط گودمن، پارامترهای خزش نمونه سنگ انیدریت محاسبه و تعیین می‌شوند. مقادیر محاسبه شده این پارامترها در جدول ۴-۵ آمده است. با مدل‌سازی نمونه در مقیاس آزمایشگاهی، به تطابق‌پذیری آزمایش با مدل‌سازی پرداخته شده است. درنهایت نتایج این تطابق‌پذیری در جدول ۶-۴ آورده شده است.

در نهایت با مدل سازی با استفاده از پارامترهای خزش به دست آمده در این فصل، پارامترهایی که تاثیر بیشتری در ناپایداری تونل دارند، برای مدل‌سازی و ارزیابی تاثیر نیروهای وارد بر پوشش نهایی مورد استفاده قرار می‌گیرند. در فصل بعد به مدل‌سازی دو بعدی پدیده مچاله‌شوندگی سنگ انیدریت در تونل البرز، پرداخته خواهد شد.

## فصل پنجم

# مدل سازی عددی و مطالعه موردی تولی البرز

## ۱-۵- مقدمه

حفر فضاهای زیرزمینی نظیر تونل سبب بر هم خوردن وضعیت تنش‌ها در محیط اطراف تونل می‌شود که سبب ایجاد تغییر شکل در جدارهای تونل می‌گردد. در ارزیابی و تحلیل پتانسیل مچاله‌شوندگی سنگ‌های مسیر تونل، روش‌های عددی معمولاً هنگامی مورد استفاده قرار می‌گیرند که نسبت مقاومت فشاری تک محوره توده‌سنگ به تنش روباره کمتر از  $3/0$  باشد خصوصاً اگر این نسبت کمتر از  $15/0$  شود. دو روش عمدۀ در این گروه روش‌های مبتنی بر محیط‌های پیوسته و روش‌های مبتنی بر محیط ناپیوسته وجود دارد. در حالتی که بتوان رفتار توده‌سنگ را به یک محیط پیوسته تعمیم داد، از روش اجزا محدود (FEM) و یا روش تفاضل محدود (FDM) که در برنامه FLAC از کاررفته، استفاده می‌شود. در حالتی که رفتار محیط بلوكی است، رفتار محیط ناپیوسته در نظر گرفته شده و از روش المان‌های مجزا (DEM) که در برنامه UDEC به کار رفته است، استفاده می‌شود (Barla G, ۲۰۰۲).

باید به این نکته توجه داشت که این روش‌ها اگرچه برای تخمین اولیه پتانسیل پدیده مچاله‌شوندگی تا حدودی مناسب‌اند، اما با توجه به عدم قطعیت‌هایی که در مورد خصوصیات مقاومتی سنگ بکر و توده‌سنگ، تنش‌های برجا و تکتونیکی وجود دارد، تنها زمانی می‌توان ارزیابی دقیقی از این پدیده داشت که مشاهدات عینی اولیه و ابزار گذاری‌های لازم پس از حفاری، جهت پایش داده‌ها انجام گرفته باشد. در خلال عملیات حفاری مواجهه شدن با مناطق برشی و گسلی و هجوم آب به داخل

تونل از جمله عوارض افزایش پتانسیل این پدیده می باشد. اما با توجه به این که عملیات ابزارگذاری در تونل البرز به صورت ناقص انجام شده است؛ این ابزارگذاری های شامل ۷ ایستگاه همگرایی سنجی بوده که در سال ۹۱ و ۹۲ نصب شده اند این در حالی است که طبق گزارش ابزار دقیق، تاخیر در نصب همگرایی سنج ها باعث از دست رفتن ثبت بسیاری زیادی از جابجایی دیواره های تونل شده است. فاصله آخرین ایستگاه همگرایی سنج تا مقطع مورد مطالعه ۱۴۰۰ متر است، ضمن اینکه در هیچ یک از مقاطع مچاله شونده (بر اساس روش های پیش بینی کننده مچاله شوندگی) ابزارگذاری انجام نشده است. بنابراین نیاز به انجام آزمایش برای تعیین پارامترهای خزشی سنگ الزامی به نظر می رسد.

## ۲-۵- مروری بر روش های تحلیل عددی

با این روش مراحل حفاری- نگهداری و ترکیب آن ها با یکدیگر شامل پایدار سازی و پیش نگهدارنده را می توان مدل سازی کرد و همچنین تحلیل عددی برای پایداری تونل در طی ساخت نیز مناسب است. اکنون کدهای کامپیوتری بسیار قدر تمدن تری برای تحلیل تغییرات تونل توسعه پیدا کرده اند که در دسترس می باشند؛ بنابراین با این توسعه پیش بینی های قابل اعتمادی از رفتار تونل امکان پذیر شده است. با استفاده از این برنامه ها فهم صحیحی از پدیده های که در حال اتفاق افتادن است، به دست خواهد آمد. ضمن این که با استفاده از آن ها شرایط حفاری چند مرحله ای، تأثیر پیشروی جبهه کار، مدل شرایط سه بعدی و غیره قابل بررسی بوده در حالی که با راه حل های فرم بسته قابل حل نیستند (Barla, 1999G, Borgna S,).

## ۱-۲-۵- روش مبتنی بر محیط های پیوسته

با در نظر گرفتن محیط پیوسته، توده سنگ به عنوان یک محیط پیوسته با خصوصیات مقاومتی و دگر شکلی و اطلاعات ورودی مساوی در تمام جهات تعریف می شود. مدل های پیش رو قابل تعریف برای توده سنگ هستند: الاستیک، الاستو - پلاستیک، ویسکوالاستیک، الاستو - ویسکو - پلاستیک. در این حالت میدان جابجایی به طور پیوسته است که از تیوری الاستیسیته و کرنش های کوچک برای آنالیز

تنش‌ها و کرنش‌ها استفاده می‌کند. در روش پیوسته، روش‌های ناحیه‌ای<sup>۱</sup> مانند FEM و FDM استفاده می‌شود.

یکی از مزایای قابل توجه روش‌های عددی در تحلیل و طراحی تونل‌ها در شرایط سنگ مچاله‌شونده، به کارگیری مدل‌های بسیار پیچیده تنش-کرنش برای توده‌سنگ از قبیل رفتار کرنشی Singh نرم‌شونده و رفتار وابسته به زمان است که می‌توان با کمک مدل‌های FEM و FDM انجام داد (B, Goel R, ۲۰۰۶).

#### روش مبتنی بر محیط‌های ناپیوسته ۲-۲-۵

در توده‌سنگ‌های دارای ناپیوستگی و یا سنگ‌های ضعیف و خردشده که رفتاری مچاله‌شونده از خود نشان می‌دهند، به کارگیری روش‌های مبتنی بر محیط‌های ناپیوسته لازم است. در این روش میدان جابجایی به وسیله چرخش بلوک‌ها، لغزش و جدایی در درزه و شکاف به وجود می‌آید. در این حالت از تئوری کرنش‌های بزرگ و روابط غیرخطی برای آنالیز تنش‌ها و کرنش‌ها استفاده می‌شود. به‌طور کلی، نتایج به دست آمده به صورت موفقیت‌آمیزی قابل استفاده در طراحی عملی تونل هستند و قضاوت مهندسی همراه با تجربیات مفید برای تحلیل مسائل و مشکلات پیش آمده در تونل مناسب می‌باشند. در این روش‌ها می‌توان از کدهای مخصوص به محیط‌های دارای ناپیوستگی و درزه همچون DEC و UDEC<sup>۳</sup> برای شبیه‌سازی رفتار سنگ استفاده کرد.

#### ۳-۵- تحلیل عددی ناحیه مچاله‌شوندگی تونل البرز

سنگ‌های مسیر تونل البرز عمدتاً از توف‌های خاکستری و سیاه و آندزیت با مقاومت فشاری بالا و انیدریت با مقاومت تقریباً کم تشکیل شده‌اند. با توجه به این که پدیده مچاله‌شوندگی بیشتر در موارد مناطق ضعیف و خردشده و سنگ‌های با مقاومت کم اتفاق می‌افتد و همچنین با توجه به نتایج حاصل

---

<sup>۱</sup> Domain

از روش‌های تجربی و نیمه‌تجربی که در فصل سوم بیان شده است، برای تحلیل عددی مچاله‌شوندگی ناحیه اندیزیت‌دار مقطع ناحیه ۳۴۳۴ تا ۳۵۰۰ انتخاب شده است. بیشترین ضخامت روباره در تونل ۸۵۰ متر و در ناحیه انتخاب شده حدود ۷۰۰ متر است که دارای ارتفاع قابل توجهی بوده و پتانسیل پدیده مچاله‌شوندگی می‌تواند قابل تصور باشد. با توجه به خصوصیاتی که از توده‌سنگ‌های مسیر تونل در اعمق زیاد در دست است (با توجه به گزارش‌های زمین‌شناسی اندیزیت سنگ متراکم، دانه‌ریز و با لایه‌بندی متوسط است و درجه درزه‌داری آن خیلی کم است)، مناسب‌ترین گزینه برای مدل‌سازی عددی در این توده‌سنگ، روش عددی پیوسته است.

در جدول ۱-۵ برخی خواص مکانیکی و فیزیکی توده‌سنگ اندیزیت، که برای مدل‌سازی مورد نیاز می‌باشند، آورده شده است.

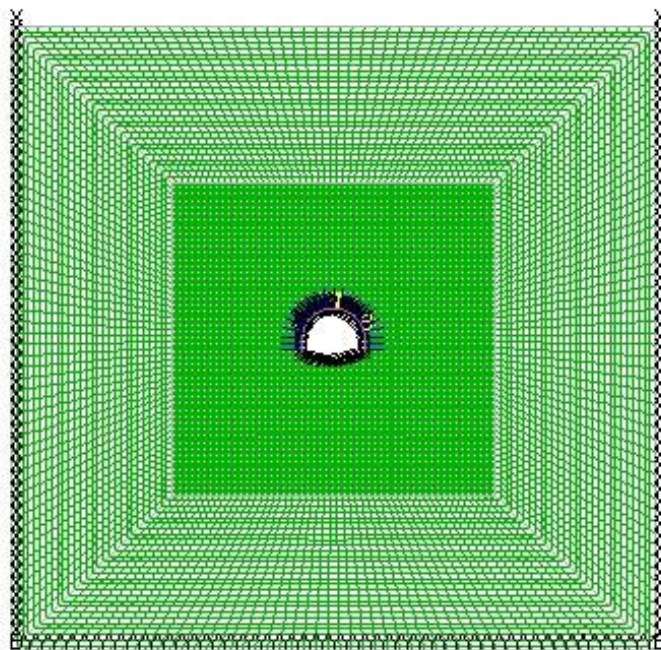
جدول ۱-۵: خواص فیزیکی و مکانیکی توده‌سنگ اندیزیت در متراز ۳۴۳۴-۳۵۰۰ (جنرال مکانیک، ۱۳۹۳).

ردیف	خواص فیزیکی و مکانیکی	واحد	کیفیت و/یا کیفیت
۱	چگالی یا دانسیته	$Kg/m^3$	۲/۶ تا ۲/۳
۲	مقاومت فشاری تک محوره	$MPa$	۳۵ تا ۲۹
۳	ضریب پواسون	-	۰/۲۶-۰/۲۸
۴	چسبندگی	$MPa$	۵
۵	زاویه اصطکاک داخلی	درجه	۵۱
۶	مدول تغییر شکل پذیری	$GPa$	۵/۹
۷	RQD	%	۱۰۰ تا ۹۵
۸	RMR	-	۶۷ تا ۶۶
۹	درجه هوازدگی	-	فاقد هوازدگی
۱۰	شرایط آب زیرزمینی	-	فاقد آبدهی

تحلیل و مدل‌سازی عددی پدیده مچاله‌شوندگی مسیر تونل البرز، با استفاده از نرم‌افزار FLAC انجام شده است. این نرم‌افزار، مبتنی بر روش عددی تفاضل محدود است.

همان طور که در فصل سوم مشاهده شد، توسط روش های ارزیابی پتانسیل مچاله شوندگی تجربی، نیمه تجربی و تحلیلی - تیوریکی سنگ های مستعد این پدیده شناسایی شدند. با توجه به محدودیت های موجود (شرح در انتهای فصل سوم داده شده است)، سازند متراز ۳۵۰۰-۳۴۳۴ جهت مدل سازی عددی انتخاب شده است. از این مقطع نمونه تهیه شده و آزمایش های لازم (خزش) برای به دست آوردن پارامترهای ورودی مدل سازی عددی، انجام گرفته است.

در شکل ۱-۵ نمای شماتیکی از مشبندی مدل دوبعدی ساخته شده پس از حفاری، نشان داده شده است.



شکل ۱-۵: نمای مشبندی و هندسه کلی مدل دوبعدی و تونل حفاری شده

بر اساس نتایج حاصل از انجام آزمایش خزش روی دو نمونه سنگ انیدریت و صحت سنجی مدل رفتاری، که در فصل قبل توضیح داده شده است، مدل سازی عددی برای زمان های مختلف عمر تونل، اجرا شده که در ادامه نتایج به دست آمده مورد بررسی قرار می گیرد.

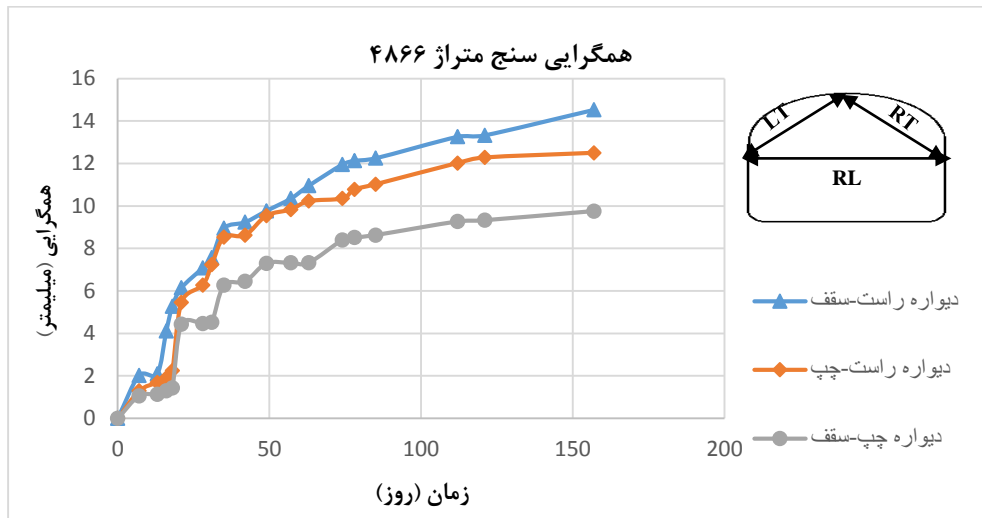
### تخمین نسبت تنش افقی به تنش قائم

نتایج حاصل از برآوردهای برجا بخشی از داده‌های ورودی یک پروژه مکانیک‌سنگ را به خود اختصاص می‌دهند و نقش مهمی در صحبت اجرای آن دارا هستند. تنش‌های برجا یا به صورت مستقیم اندازه‌گیری می‌شوند یا این که با استفاده از روابطی تخمین زده می‌شوند. تعیین مقدار تنش‌های برجا به صورت اندازه‌گیری مستقیم، آزمایش پر هزینه‌ای است. به این علت اغلب از روش‌های تخمینی استفاده می‌شود. تنش برجای افقی متوسط به روش‌های مختلفی شامل: روش ثقلی، روش استفاده از فرمول تجربی حاصل از اندازه‌گیری تنش، و مدل شئوری<sup>۱</sup> (۱۹۹۴) تخمین زده می‌شود (Hudson J., ۲۰۰۵).

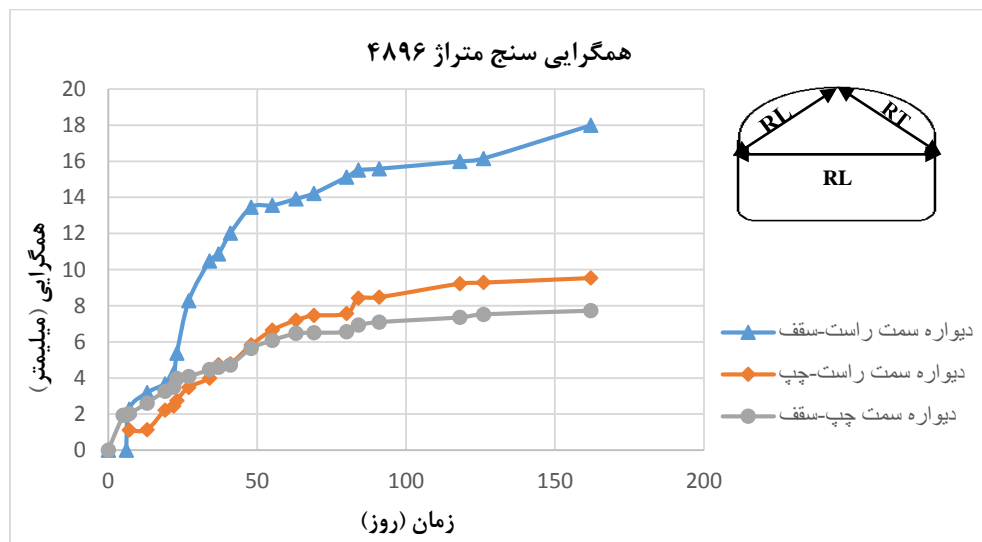
از آنجاکه اندازه‌گیری تنش برجا در منطقه انجام نشده است برای تخمین راستای تنش‌های برجا در تونل البرز از داده‌های ابزار دقیق نصب شده، کمک گرفته می‌شود. در این ارتباط در سه ایستگاه نصب شده همگرایی سنج که در نزدیک‌ترین فاصله با مقطع مدل‌سازی شده بوده است، جهت راستای تنش‌های حداکثری و حداقلی استفاده شده است. با توجه به نمودار شکل ۴-۵ تا شکل ۵ مشاهده می‌شود که همگرایی دیواره سمت راست و سقف به یکدیگر بیشتر از همگرایی دیواره چپ-راست و چپ-سقف می‌باشد. بنابراین می‌توان نتیجه گرفت تنش در راستای قائم از تنش در راستای افقی بیش‌تر است. برای بررسی و تایید تخمین کمی مقدار تنش افقی به تنش قائم ( $K$ ) حاصل از روابط پرکاربرد از نتایج ابزارگذاری همگرایی سنجی استفاده شده است. لازم به ذکر است مقطع ابزار گذاری در متراژهای ۴۸۶۶، ۴۹۱۲ و ۴۸۹۶ و در آبان سال ۱۳۹۲ نصب شده‌اند.

---

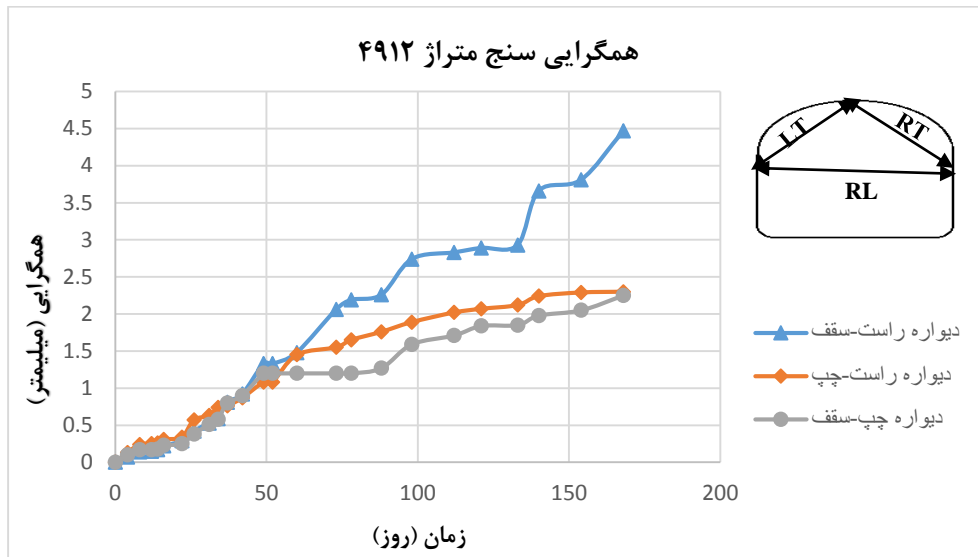
<sup>۱</sup> Sheorey



شکل ۲-۵: نمودار همگرایی در سه نقطه دیوارهای سمت چپ و راست و سقف تونل در متراژ ۴۸۶۶ (جنرال مکانیک ۱۳۹۳).



شکل ۵-۵: نمودار همگرایی در سه نقطه دیوارهای سمت چپ و راست و سقف تونل در متراژ ۴۸۹۶ (جنرال مکانیک ۱۳۹۳).



شکل ۴-۵: نمودار همنگایی در سه نقطه دیواره‌های سمت چپ و راست و سقف تونل در متراز ۴۹۱۲ (جنرال مکانیک ۱۳۹۳).

در جدول ۲-۵ سه رابطه پر کاربرد در تخمین مقدار نسبت تنش افقی به تنش قائم آمده است.

با توجه به رابطه هوک و براون<sup>۱</sup>، مقدار  $K$  بین  $\frac{1}{Z} + \frac{1}{5} < K < \frac{1}{Z} + \frac{1}{3}$  قرار می‌گیرد. همچنین دو رابطه ترزاقی<sup>۲</sup> و شئوری از جمله روابط پرکاربرد برای تخمین مقدار  $K$  هستند.

جدول ۲-۵: روابط پرکاربرد برای تخمین ضریب  $K$

مقدار ضریب $K$	فرمول	رابطه
$\frac{1}{37}$	$K = \frac{\nu}{1 - \nu}$	ترزاقی <sup>۳</sup>
$\frac{1}{443} - \frac{2}{64}$	$\frac{1}{Z} + \frac{1}{3} < K < \frac{1}{Z} + \frac{1}{5}$	هوک و براون <sup>۴</sup>
$\frac{1}{466}$	$K = \frac{1}{33} + \frac{9}{5} E_h \left( \frac{1}{100} + \frac{1}{Z} \right)$	شئوری <sup>۵</sup>

$E = 5/9 GPa, \nu = 1/27, z = 700 m$

<sup>۱</sup> Hoek & Brown ۱۹۸۰.

<sup>۲</sup> Terzaghi ۱۹۵۲

<sup>۳</sup> Terzaghi ۱۹۵۲

<sup>۴</sup> Hoek & Brown ۱۹۸۰.

<sup>۵</sup> Sheorey ۱۹۹۴

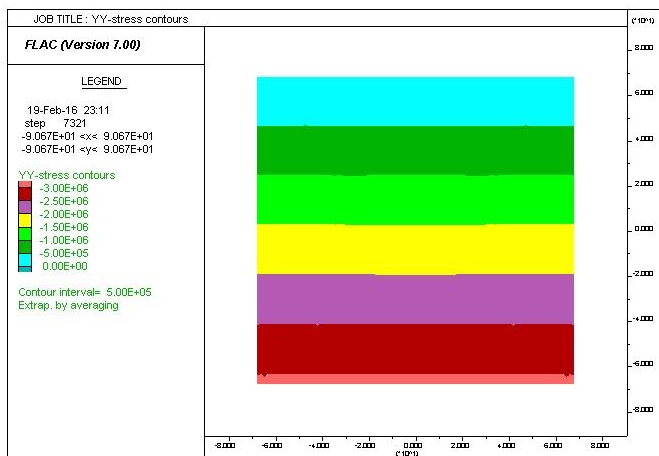
بنابراین میانگینی از روابط ترزاقی و شئوری و حداقل مقدار حاصل از رابطه هوک و براون به عنوان مقدار نسبت تنش افقی به قائم در نظر گرفته شده که برابر با  $0/426$  است.

### ۵-۳-۲- حل مدل و به تعادل رساندن آن قبل از حفاری

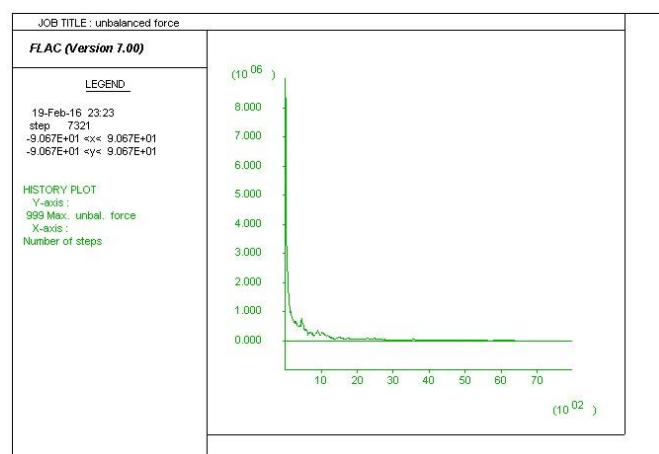
در مدل سازی عددی قبل از حفر تونل‌ها، مدل با توجه به خصوصیات ژئومکانیکی، شرایط مرزی و تنש‌های برجا، اجرا می‌شود. در این حالت مدل به تعادل اولیه رسیده و شرایط طبیعی زمین را دارا خواهد بود. لذا باید جابجایی‌ها در گره‌ها صفر شود تا شرایط موجود در طبیعت روی مدل اعمال گردد. شکل ۵-۵ مرزبندی تنش عمودی را قبل از حفر تونل، در شرایط طبیعی متعادل نشان می‌دهد.

### ۵-۳-۳- تعادل اولیه مدل مقطع تونل

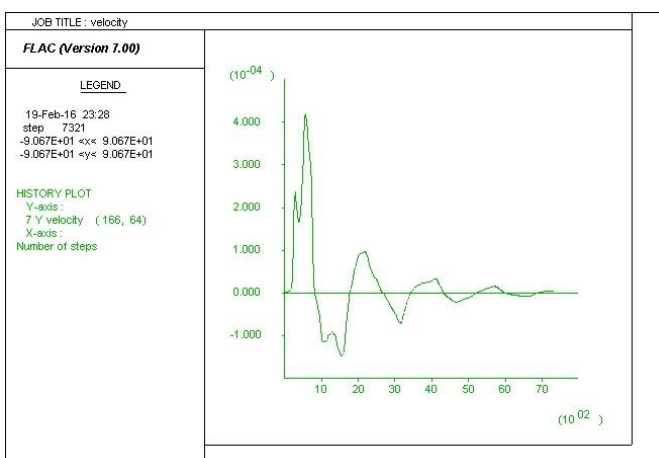
برای اطمینان از به تعادل رسیدن مدل باید تاریخچه نیروهای نامتعادل را کنترل کرد. در حالت تعادل، نسبت نیروهای نامتعادل باید کمتر از  $1/00$  بوده و تمایل نمودار به صفر باشد. همان‌طور که در شکل ۶-۵ مشاهده می‌شود، نمودار نیروهای نامتعادل کننده درنهایت به صفر میل کرده است. برای اطمینان از این که جریان پلاستیک در مدل رخ نداده است، باید جابجایی و سرعت گره‌ها را در مدل کنترل کرد. برای این کار از تاریخچه سرعت و تاریخچه جابجایی می‌توان بهره برد. در صورتی که مدل به تعادل میل نماید، باید سرعت گره‌ها را در مدل کنترل کرد. برای این کار از تاریخچه سرعت و تاریخچه جابجایی می‌توان بهره برد. در صورتی که مدل به تعادل میل نماید، باید سرعت در گره‌ها به صفر برسد و جابجایی‌ها ثابت شوند. از این‌رو شکل ۷-۵ و شکل ۸-۵ نشان می‌دهند که مدل در حال تعادل است.



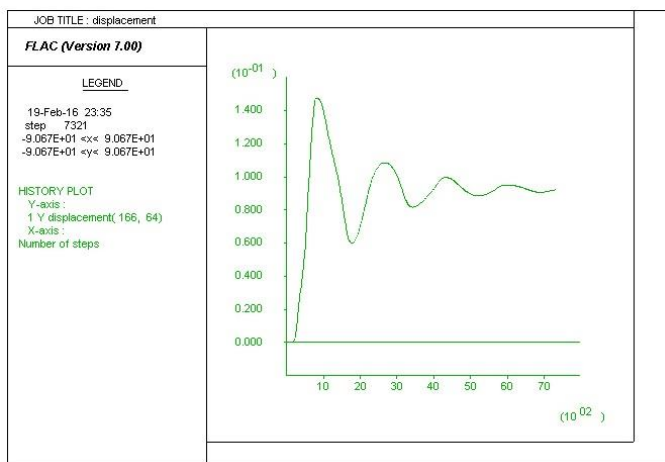
شکل ۵-۵: کنتورهای تنش قائم قبل از حفاری تونل



شکل ۶-۵: نمودار نیروهای نامتعادل گننده



شکل ۷-۵: نمودار تاریخچه سرعت گرهها



شکل ۸-۵ : نمودار تاریخچه جابجایی

### ۴-۳-۵ مراحل حفر و نصب سیستم نگهداری تونل

حفاری تونل به صورت دو مرحله‌ای اجرا می‌شود که در مرحله نخست قسمت تاپ تونل و مرحله دوم بخش بنج آن حفاری می‌شود. ترتیب حفاری و نصب سیستم نگهداری در جدول ۳-۵ آمده است. با توجه به این جدول بعد از اعمال تحکیم چتری در ناحیه سقف تونل، حفاری در قسمت نیمه بالایی تونل که به صورت نیم‌دایره‌ای است (با توجه به شکل ۳-۳) انجام شده است. سیستم نگهداری طراحی شده برای تونل البرز در مقطع موردنظر به دو صورت اولیه و نهایی تقسیم‌بندی می‌شود. در مراحل اولیه پس از حفاری از شاتکریت به ضخامت ۲۵ cm و همراه با لتیس‌گیردر با هندسه مثلثی و راک‌بولت‌های ۴/۵ متری استفاده شده است.

جدول ۳-۵: ترتیب نصب سیستم نگهداری در تونل (جنرال مکانیک، ۱۳۹۳).

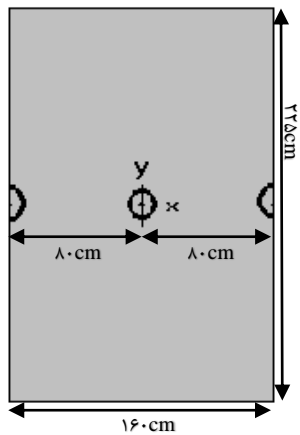
مشخصات	نوع نگهداری	شماره
L=۴ m, spacing=۸۰ cm	تحکیم چتری	۰
-	حفاری (با پیشروی ۱/۲۵m)	۱
۳ cm	شاتکریت (لایه اول)	۲
۶ mm, ۱۰mm*۱۰mm	مش فولادی	۳
Type ps ۹۵/۲*۲۰+۲۶, H=۱۴۱ mm	لتیس گیردر	۴
۱۷ cm	شاتکریت (لایه دوم)	۵
۶ mm, ۱۰mm*۱۰mm	مش فولادی	۶

۴/۵ m	میل مهار	۷
۵ cm	شاتکریت (لایه سوم)	۸
-	نصب آب بند	۹
۴۵ cm	پوشش بتنی نهایی	۱۰

با توجه به جدول ۳-۵ مرحله صفر (مرحله پیش از حفاری) انجام تحکیم به صورت چتری است که در ادامه نحوه تحکیم چتری در مدل سازی عددی به صورت دو بعدی آمده است.

### -۵-۳-۵ مقدار پارامترهای ناحیه تحکیم چتری شده

در سیستم نگهداری مورداستفاده برای تونل البرز در مقطع موردمطالعه، از تحکیم چتری استفاده شده است. قوانین کلی برای معادل سازی ناحیه تحکیم چتری در حالت دوبعدی وجود ندارد، بنابراین یک ناحیه معادل ساده برای این تحلیل استفاده شده است. در این روش از فرآیند میانگین های وزنی برای ارزیابی و تخمین مقاومت و تغییر شکل زون "سنگ تقویت شده" استفاده شده است. برای مثال، مقاومت ناحیه تحکیم شده، با ضرب کردن مقاومت هر مؤلفه (سنگ، فولاد و تزریق) در مساحت مقطع عرضی هر مؤلفه و سپس تقسیم مجموع این ها بر مساحت کل، به دست می آید (Hoek E, ۱۹۹۷). در این مورد، هنگامی که یک مقطع عرضی از ناحیه تحکیم چتری شده در بالای سقف تونل فرض می شود، عمق ناحیه چتری در این مقطع عرضی ۲,۲۵ متر است و مؤلفه یا المان سنگ با ۱ متر عرض و ۲,۲۵ متر عمق در نظر گرفته شده است. برای این ناحیه چتری شده بایستی پارامترهای مقاومتی را معادل سازی کرد. این پارامترها شامل مدول برشی، چسبندگی، مقاومت کششی و مدول بالک می باشند. لوله های چتری دارای قطر خارجی ۴۵ mm و قطر داخلی ۲۵ mm و فاصله داری ۸۰ cm می باشند. نمونه ای از مقطع معادل برای ناحیه چتری در شکل ۹-۵ آورده شده است.



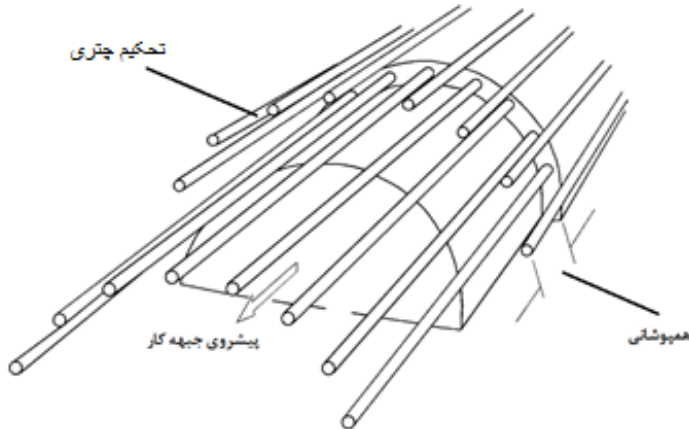
شکل ۹-۵: مقطع معادل برای ناحیه پیش تحکیم چتری (با عرض  $1/6\text{m}$  و طول  $2/25\text{m}$ )

به عنوان نمونه در جدول ۴-۵ یک نمونه از روش معادل‌سازی پارامترهای مقاومتی در ناحیه چتری شده برای پارامتر مدول بالک مقطع معادل آورده شده است.

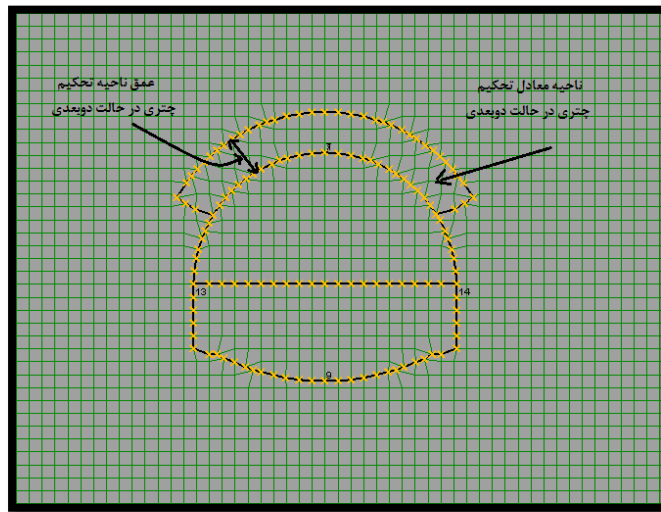
جدول ۴-۵: نمونه محاسبات ناحیه معادل پیش تحکیم چتری، برای مقاومت این ناحیه.

مدول بالک ( $K$ )			
$m \times K$ مساحت	مدول بالک (GPa)	$m^2$ مساحت	مؤلفه
۱۶/۱	۴/۴۷	۳/۶	سنگ
۰/۸	۱۶۰	۰/۰۰۵	فورپولینگ
۰/۰۵۵	۱۳/۸	۰/۰۰۴	ترزیق
۱۷	۱۷۸,۲۷	۳/۶۰۹	جمع
$K = \frac{17}{3/609} = 4/7 \text{ GPa}$			

در شکل ۱۰-۵ تصویری از ناحیه تحکیم چتری شده، در بالای سقف تونل، برای حالت معادل دو بعدی آورده شده است. از آن جا که تحکیم چتری دارای زاویه و طول است، نیازمند تحلیل سه‌بعدی است اما با توجه به محدودیت دو بعدی مدل‌سازی عددی، در این تحقیق، نیاز به معادل‌سازی ناحیه چتری در حالت دو بعدی بوده است.



شکل ۱۰-۵: شمایی از تونل سازی با تحکیم در سقف تونل با استفاده از تحکیم چتری (Hoek E, ۱۹۹۷)



شکل ۱۱-۵: نمایی از مقطع معادل ناحیه تحکیم چتری در بالای سقف تونل در مدل سازی دو بعدی عددی

به این ترتیب، مقادیر پارامترهای تأثیرگذار در مقاومت ناحیه تحکیم شده محاسبه می‌شوند. در

جدول ۵-۵ مقادیر پارامترهای معادل ناحیه تحکیم چتری شده نشان داده شده است.

جدول ۵-۵: پارامترهای زون معادل ناحیه تحکیم‌چتری شده

واحد	مقدار	نماد	پارامتر
$kg/lit$	۲۳۰۵	γ	چگالی
GPa	۴/۷	K	مدول بالک
GPa	۲/۳۶	G	مدول برشی
MPa	۵/۱	C	چسبندگی
درجه	۹/۲	ψ	زاویه اتساع
درجه	۵۱	φ	زاویه اصطکاک داخلی
MPa	۴/۱۵	$\sigma_t$	مقاومت کششی
GPa	۷/۵۷۸	$G_k$	مدول برشی کلوین
Pa.s	۷/۰۲۶E۱۴	$\eta_K$	ویسکوزیته کلوین
Pa.s	۸/۲۶۵ E۱۵	$\eta_M$	ویسکوزیته ماکسول

پس از تحکیم‌سازی سقف تونل با استفاده از روش تحکیم‌چتری، اقدام به حفر قسمت تاپ تونل می‌شود. مقادیر پارامترهای ویسکوزیته کلوین و ماکسول و مدول برشی کلوین برای مساحت تحکیم‌چتری شده برابر با مقادیر موجود برای توده‌سنگ قرار داده شده است.

### ۶-۳-۵ - حفر تونل و اعمال ترخیص تنفس مناسب

تونل البرز به صورت دو مرحله‌ای حفاری می‌شود، پس از حفر هر قسمت از تونل، مقدار آزادسازی تنفس در مدل عددی با توجه به گام حفاری  $1,25m$  و شعاع تونل  $6/5m$  برابر با  $49\%$  محاسبه شده است. در حفر تونل ابتدا نیمه بالایی تونل حفاری شده و سیستم نگهداری موقت آن نصب شده سپس نیمه پایینی تونل حفاری شده و نگهداری موقت آن نصب می‌شود. در نهایت پس از حفر تمام مقطع تونل پوشش‌نهایی بتنی تونل به صورت بتن‌ریزی درجا انجام شده است. بعد از حفر تونل مدل به تعادل رسانده می‌شود. به دلیل ناپایدار بودن فضای حفرشده، نگهداری اولیه برای تونل نصب می‌شود. در محدوده مورد مطالعه، انیدریت در قطعه سنگ نسبتاً نرم ( $20$  تا  $35$  مگاپاسکال) است، لیکن در توده الاستیک، مقاوم، کم درزه و پایدار است. با این حال با توجه به تیپ نگهداری انتخابی، نصب سیستم

نگهداری اولیه انجام می‌شود. ساکورایی<sup>۱</sup> با برقراری ارتباط بین نتایج آزمایشگاهی و داده‌های صحرایی، رابطه بین کرنش مجاز (بحرانی) و مقاومت فشاری و مدول یانگ، سه تراز هشدار خطر ارائه داده است. همانطور که مشاهده می‌شود، روابط ۱-۵، ۲-۵ و ۳-۵ به ترتیب نشان‌دهنده تراز هشدار خطر ۱ و ۲ و ۳ می‌باشند. برای تحلیل پایداری تونل‌ها، تراز هشدار خطر ۲ به عنوان مبنای طراحی پیشنهاد شده است.(Sakurai S, ۱۹۹۳)

$$\log \varepsilon_c = -0.25 \log E - 0.85 \quad \text{تراز هشدار خطر ۱} \quad 1-5$$

$$\log \varepsilon_c = -0.25 \log E - 1.22 \quad \text{تراز هشدار خطر ۲} \quad 2-5$$

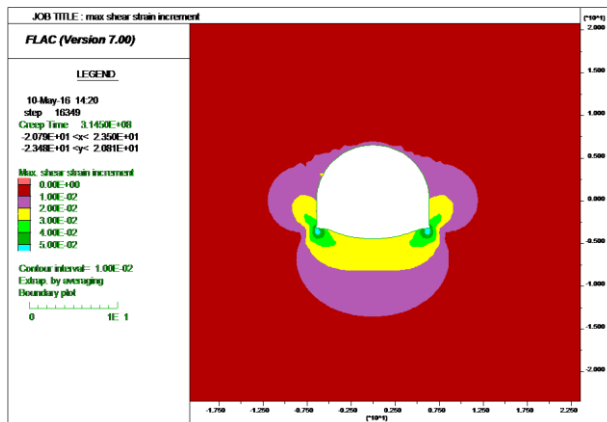
$$\log \varepsilon_c = -0.25 \log E - 1.59 \quad \text{تراز هشدار خطر ۳} \quad 3-5$$

$\varepsilon_c$ : کرنش بحرانی در حالت مقاومت فشاری تکمحوره بر حسب درصد  
 $E$ : مدول تغییر شکل‌پذیری ماده‌سنگ ( $kg/cm^2$ )

با حل معادله رابطه ۳-۵ مقدار کرنش بحرانی برای تونل البرز پس از حفر نیمه بالایی، برابر با  $3/00$  به دست می‌آید. این در حالی است که با توجه به مدل عددی پس از حفر تونل مقدار کرنش برشی حداقل به دست آمده برابر با  $5/00$  است. که این مقدار کرنش حاصل از مدل‌سازی، بیشتر از مقدار کرنش بحرانی مجاز با توجه به رابطه ساکورایی است که این امر نشان دهنده ناپایداری تونل پس از حفاری است. بنابراین تونل نیاز به نصب نگهداری اولیه دارد.

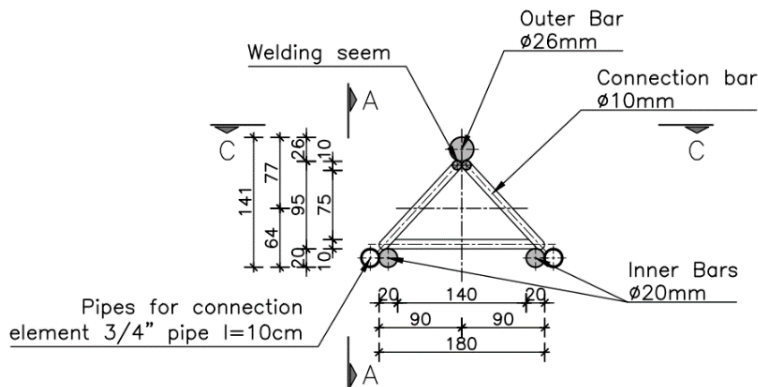
---

<sup>۱</sup> Sakurai (۱۹۹۳)



شکل ۱۲-۵: حداکثر کرنش برشی ایجاد شده در دیواره، پس از حفر تونل

پس از حفر در قسمت تاپ تونل لتیس گیردر به همراه شاتکریت با ضخامت ۱۷cm، برای این قسمت نصب و اجرا شده است. در شکل ۱۳-۵ یک مقطع عرضی از لتیس گیردر مورد استفاده در تونل آمده است.

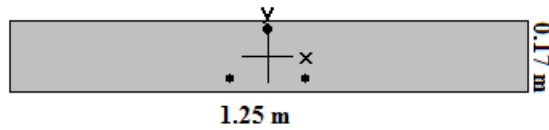


شکل ۱۳-۵: مقطع عرضی لتیس گیردر (جنral مکانیک، ۱۳۹۳).

برای مدل کردن لتیس گیردر در FLAC از المان میله<sup>۱</sup> استفاده شده است. برای معادل کردن لتیس گیردر و شاتکریت به صورت المان میله سه پارامتر ممان اینرسی<sup>۲</sup>، مدول یانگ و مساحت المان بیم مورد نیاز است. در شکل ۱۴-۵ یک مقطع معادل برای لتیس گیردر و شاتکریت آمده است. فاصله بین هر دو لتیس گیردر ۱/۲۵m بوده است که برای معادل کردن آن در المان میله به طول ۱/۲۵m استفاده شده است.

<sup>۱</sup> Beam

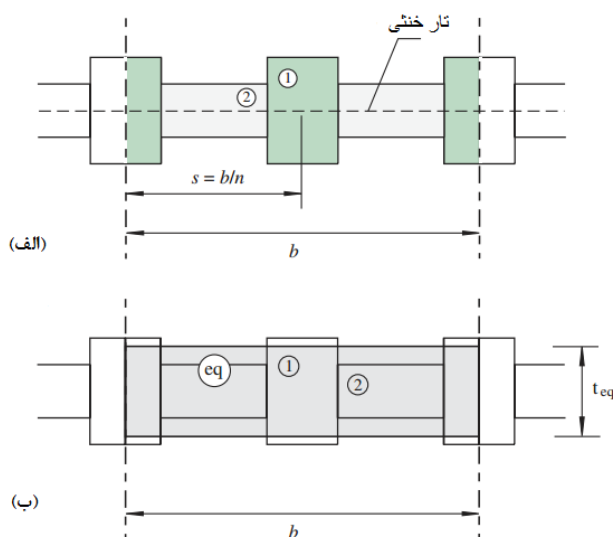
<sup>۲</sup> Moment of Interia



شکل ۱۴-۵: مقطع معادل برای لتیس‌گیردر و شاتکریت

برای به دست آوردن سه پارامتر ممان اینرسی، مدول یانگ و مساحت المان میله از معادلات حاکم در رویکرد "مقطع معادل" استفاده شود. رفتار لایه نگهدارنده تونل که مقطع مت Shank از دو ماده مختلف است (به عنوان مثال شاتکریت و لتیس‌گیردر) بر اساس تئوری ارجاعی پوسته‌ها و رفتار تیرهای منحنی به شکل ۱۵-۵ خواهد بود. این شکل نشان‌دهنده ترکیب دو ماده مختلف برای استفاده از این روش است. این مقطع نشان‌دهنده لایه نگهدارنده به عرض  $b$ ، شامل  $n$  واحد از ماده "۱" (به عنوان مثال لتیس‌گیردر) و  $n$  واحد از ماده "۲" (به عنوان مثال شاتکریت) می‌باشد. هر یک از واحدهای "۱" و "۲" با تعاریفی برای ضرایب فشار به ترتیب  $D_1$  و  $D_2$  و ضرایب انعطاف‌پذیری به ترتیب  $K_1$  و  $K_2$  نشان داده شده‌اند. در به دست آوردن این روابط از فرض تقارن نسبت به محور مشترک (محور خنثی مقطع) استفاده شده است (شکل ۱۵-۵) (Carranza-Torres C, Diederichs ۲۰۰۹).

(M, ۲۰۰۹)



شکل ۱۵-۵: (الف) نمایش شماتیک یک مقطع از لایه نگهدارنده شامل مواد مختلف ۱ و ۲، (ب) مقطع معادل برای لایه مركب (کامپوزیتی) (Carranza-Torres C, Diederichs M, ۲۰۰۹)

با توجه به شکل ۱۴-۵ و شکل ۱۵-۵ مقدار  $b$  برابر با  $1/25m$  و تعداد  $n$  برابر با ۱ است.

ضریب فشار D برای کرنش صفحه‌ای:

$$D = \frac{EA}{1 - \nu^2} \quad ۴-۵$$

و ضریب انعطاف‌پذیری در شرایط کرنش صفحه‌ای به صورت رابطه زیر است:

$$K = \frac{EI}{1 - \nu^2} \quad ۵-۵$$

که در دو رابطه بالا  $E$  مدول الاستیسیته،  $A$  مساحت سطح مقطع،  $I$  ممان اینرسی مقطع،  $\nu$  ضریب پواسون است.

مقطع مرکب در شکل ۱۵-۵ می‌تواند به عنوان مقطع معادل با عرض  $b$  و ضخامت  $t_{eq}$  در نظر گرفته شود. ضخامت  $t_{eq}$  با توجه به ضرایب  $D_1$ ،  $D_2$  و  $K_1$  و  $K_2$  از دو ماده مختلف به شرح زیر است:

$$t_{eq} = \sqrt{12 \frac{K_1 + K_2}{D_1 + D_2}} \quad ۶-۵$$

و همچنین مقدار  $E_{eq}$  برای این مقطع معادل برابر است با:

$$E_{eq} = \sqrt{12 \frac{K_1 + K_2}{D_1 + D_2}} \quad ۷-۵$$

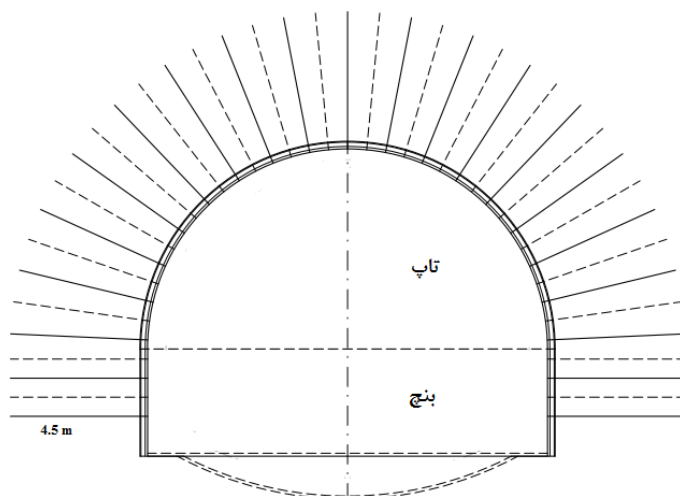
بر مبنای روش "مقطع معادل" مذکور، در جدول زیر نتایج محاسبات برای مقطع معادل لتیس‌گیردر و شاتکریت آورده شده است.

جدول ۶-۵: مقادیر پارامترهای مربوط به "مقطع معادل" لتیس‌گیردر و شاتکریت

واحد	مقدار		پارامتر
	لتیس‌گیردر (۲)	شاتکریت (۱)	
$GPa$	۲۰۰	۲۰	$E$
$m^{\gamma}$	$11 \times 10^{-3}$	$0/425$	$A$
-	$0/26$	$0/2$	$\nu$
$m^{\epsilon}$	$1/0.2 \times 10^{-3}$	$3.84 \times 10^{-6}$	$I$
-	$8/25 \times 10^5$	$2/71 \times 10^7$	$K$
-	$2/40.7 \times 10^7$	$8/85 \times 10^9$	$D$

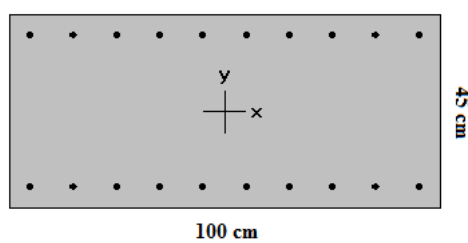
$cm$	۱۷	$t_{eq}$
$GPa$	۶۴	$E_{eq}$

پس از اعمال لتیس گیر در مدل سازی، ۵ cm دیگر شاتکریت پاشیده می شود و راک بولت های ۴/۵ متری با فاصله داری  $1/25m \times 1/25m$  استقرار می یابند.



شکل ۱۶-۵: نمای شماتیکی از استقرار راک بولت ها در جداره تونل (جنرال مکانیک، ۱۳۹۳).

در نهایت پس از حفر نیمه بالایی و پایینی تونل و نصب سیستم نگهداری موقت در این دو قسمت، نوبت به نصب پوشش بتنی نهایی تونل می رسد. پوشش نگهداری نهایی، به صورت بتن درجا اعمال می شود. ضخامت این پوشش  $45\text{ cm}$ ، که با میلگردهای فولادی به قطر  $18\text{ mm}$  مسلح شده است. در شکل ۱۷-۵ مقطعی از پوشش بتنی نهایی تونل البرز آمده است.



شکل ۱۷-۵: مقطع برشی عرضی از پوشش بتنی نهایی

برای مدل کردن پوشش‌بتنی نهایی در FLAC از المان پوشش<sup>۱</sup> استفاده شده است. با استفاده از روش "مقطع معادل" پارامترهای مورد نیاز برای المان لاینر، محاسبه شده است که در جدول ذیل نوع و مقادیر این پارامترها آمده است.

جدول ۷-۵: مقادیر پارامترهای مربوط به "مقطع معادل" پوشش‌بتنی نهایی

واحد	مقدار	علامت	پارامتر
$m^2$	۰/۵۲۹۲	A	مساحت سطح مقطع
$m^4$	۰/۰۱۵۲	I	ممان اینرسی
$m$	۰/۵۸۸	$t_{eq}$	ضخامت مقطع معادل
$GPa$	۳/۵۱	$E_{eq}$	مدول یانگ مقطع معادل
-	۰/۲	v	مدول پواسون

پس از نصب پوشش‌بتنی نهایی لازم، تاثیر المان‌های مربوط به شاتکریت و لتیس گیردر حذف می‌شود و مدل برای مدت زمان‌های ۱۰ تا ۱۰۰ سال، به صورت ۱۰ سال، اجرا می‌شود. یعنی پایداری پوشش‌بتنی نهایی تونل برای مدت زمان ۱۰۰ سال خزش توده سنگ دربرگیرنده تونل بررسی و ارزیابی می‌شود که در ادامه به این مطالب پرداخته شده است.

#### ۴-۵- تحلیل پایداری نگهداری اولیه و پوشش‌بتنی نهایی تحت اثر مچاله‌شوندگی ثانویه (مچاله‌شوندگی در اثر خزش)

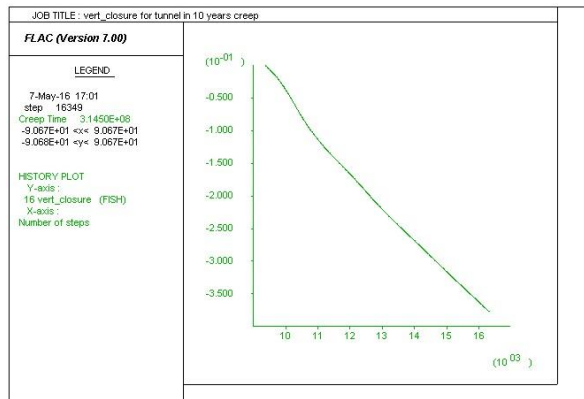
تحلیل پایداری پوشش‌بتنی نهایی تونل البرز برای عمر ۱۰۰ ساله تونل ارزیابی و بررسی شده است.

#### ۴-۱- تاثیر مچاله‌شوندگی در اثر خزش روی پایداری تونل در حالت بدون نگهدارندی اولیه و با نگهداری اولیه

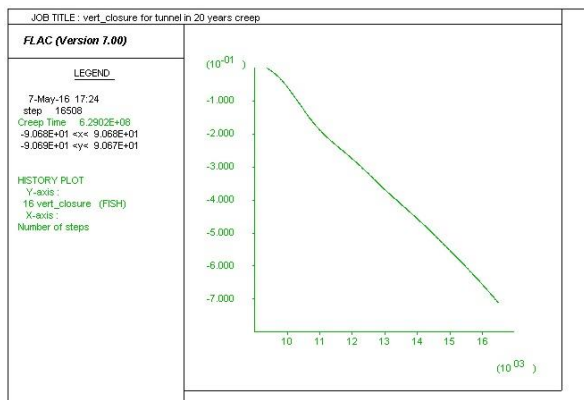
قبل از نصب پوشش‌بتنی نهایی تونل ضروری است که الزام نصب پوشش نگهدارنده برای تونل بررسی شود. به این منظور همگرایی دو نقطه در سقف و کف تونل نسبت به یکدیگر مورد ارزیابی قرار

<sup>۱</sup> Liner

گرفته است. در شکل ۱۸-۵ و شکل ۱۹-۵ مقدار همگرایی اندازه‌گیری شده برای این دو نقطه، در مدت زمان خرش ۱۰ و ۲۰ سال برای توده‌سنگ دربرگیرنده تونل، به ترتیب برابر با ۳۸cm و ۷۱cm بوده است. بدیهی است که این مقادیر جابجایی در دیوارهای تونل بسیار زیاد است.



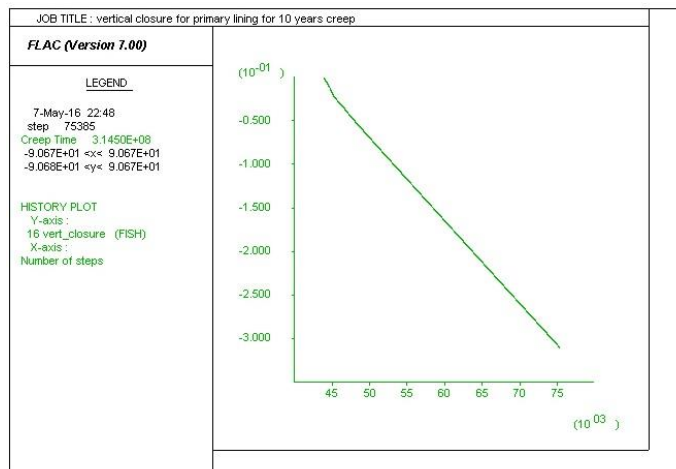
شکل ۱۸-۵: تغییرات مقادیر همگرایی فاصله بین سقف و کف تونل به یکدیگر در مدت زمان ۱۰ سال خرش توده‌سنگ دربرگیرنده تونل (پیش از نگهداری اولیه)



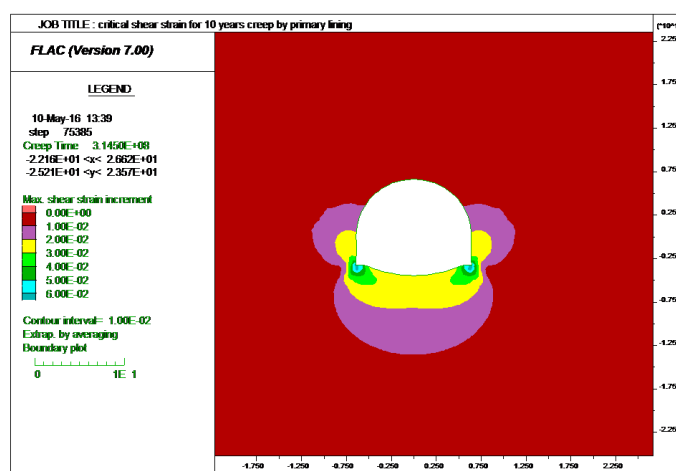
شکل ۱۹-۵: تغییرات مقادیر همگرایی فاصله مابین سقف و کف تونل به یکدیگر در مدت زمان ۲۰ سال خرش توده‌سنگ دربرگیرنده تونل (پیش از نگهداری اولیه)

با توجه به شکل ۱۸-۵ و شکل ۱۹-۵ مشاهده می‌شود که به دلیل طبیعت همگرایی پدیده مچاله‌شوندگی، با گذشت زمان، دو نقطه سقف و کف تونل به یکدیگر همگرا شده‌اند. بنابراین لازم است تا یک پوشش نگهدارنده با در نظر گرفتن پایداری بلند مدت، برای تونل طراحی شود. با نصب پوشش نگهداری اولیه برای تونل، مقادیر همگرایی نقاط سقف و کف تونل و همچنین کرنش بحرانی ایجاد

شده در دیواره تونل نمایش داده شده است. در شکل ۲۰-۵ مقدار همگرایی عمودی سقف و کف تونل ۳۱cm به دست آمده است.



شکل ۲۰-۵: همگرایی نقاط کف و سقف تونل برای مدت زمان ۱۰ سال خزش توده‌سنگ دربرگیرنده تونل با نگهداری اولیه



شکل ۲۱-۵: کرنش برشی ایجاد شده در تونل، برای مدت زمان ۱۰ سال خزش توده‌سنگ دربرگیرنده تونل برای نگهداری اولیه

طبق رابطه ۲-۵، رابطه ساکورایی، مقدار کرنش برشی مجاز برای تونل برابر با  $0.00^3$  بوده است. با

اجرای مدل برای مدت زمان ۱۰ سال، برای نگهداری اولیه، مقدار کرنش بحرانی ایجاد شده در دیواره تونل برابر با  $0.06^0$  به دست آمده است.

با توجه به توضیحات گفته شده، مشاهده شده است که نگهداری اولیه قادر به تحمل بارهای واردہ نبوده و لازم است تا نگهداری با مقاومت بیشتری برای طول زمان عمر تونل نصب شود. در ادامه به مبحث پایداری پوشش‌بتنی طراحی شده برای تونل البرز پرداخته شده است.

#### ۴-۵-۲-۱-۲ تحلیل پایداری نگهداری اولیه برای مدت زمان ۲ سال خزش تونل سنگ

##### دربرگیرنده تونل

پیش از نصب پوشش‌بتنی نهایی تونل، برای مدت زمان ۲ سال نگهداری اولیه برای نگهدارنده تونل استفاده شده است بنابراین بررسی پایداری نگهداری اولیه در این ۲ سال بررسی شده است. به منظور کنترل نیروها و گشتاور خمی ایجاد شده در مقطع پوشش اولیه از روش تنش مجاز استفاده شده است. با مدل‌سازی مقطع مورد نظر و اعمال نیروی محوری و گشتاور خمی (محاسبه شده توسط نرم‌افزار FLAC<sup>3D</sup>) در نرم‌افزار PCAcolumn، مقدار ضریب اطمینان را می‌توان برای مدت زمان پایداری مورد نظر، محاسبه نمود. در ادامه برای کنترل نیروهای برشی واردہ در پوشش از رابطه ۸-۵ استفاده شده است.

$V_n = V_c + V_s$  ۸-۵  
 در این رابطه  $V_n$  مقاومت برشی اسمی یک مقطع مسلح،  $V_c$  مقاومت برشی تأمین شده توسط بتن و  $V_s$  مقاومت برشی تأمین شده توسط لتیس گیردر می‌باشد که برای محاسبه مقاومت برشی بتن و لتیس گیردر می‌توان از رابطه‌های ۹-۵ و ۱۰-۵ استفاده کرد.

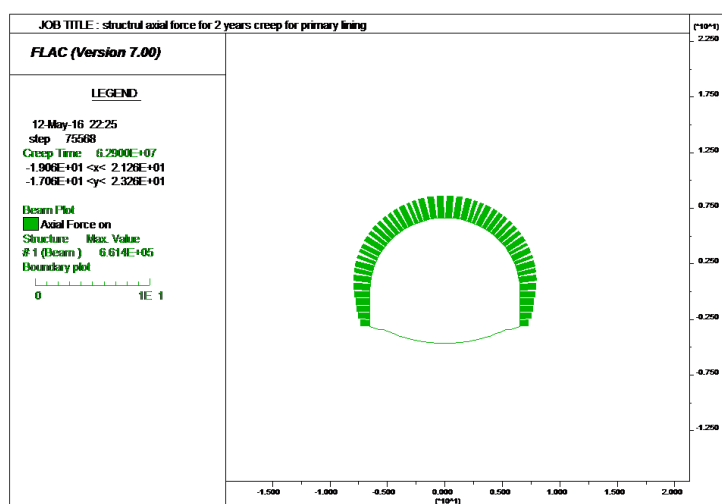
$$V_c = 0.45 \sqrt{f'_c} b_w d \quad \text{۹-۵}$$

$$V_s = 0.34 f_y A \quad \text{۱۰-۵}$$

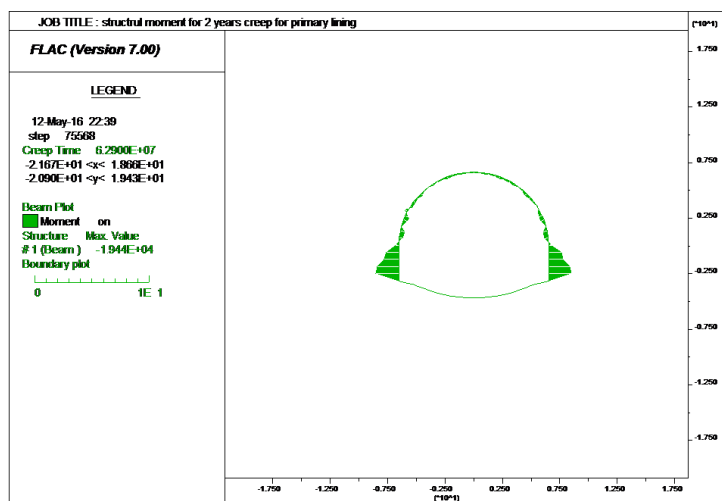
در رابطه ۹-۵  $f'_c$  مقاومت فشاری بتن و  $b_w$  و  $d$  به ترتیب عرض و ارتفاع مقطع تحت برش می‌باشند. در رابطه ۱۰-۵  $f_y$  و  $A$  به ترتیب مقاومت تسلیم فولاد و سطح مقطع تحت برش می‌باشند.

در شکل ۲۲-۵ و شکل ۲۳-۵ نمودار توزیع نیروهای محوری و گشتاور خمشی بر روی نگهداری اولیه آورده شده است. با توجه به مقدار حداکثری نیروهای محوری و ممان خمشی در سقف و پاطاق تونل، پایداری نگهداری

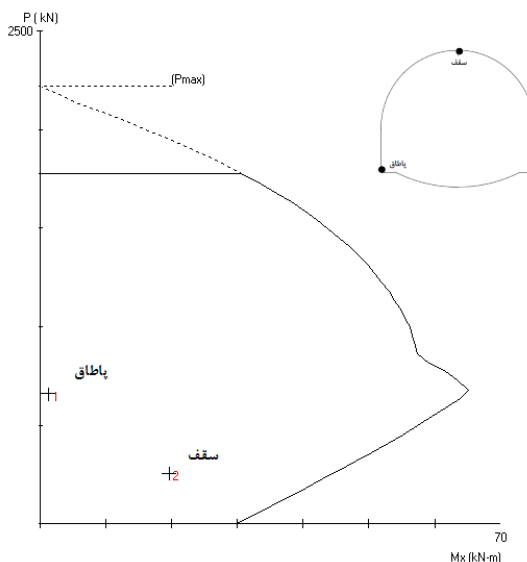
اولیه در برابر این نیروها با استفاده از نرم افزار PCAcolumn بررسی شده است و نتایج آن در شکل ۲۴-۵ آورده شده است. مطابق با شکل ۲۴-۵ نگهداری اولیه در برابر نیروهای محوری و ممان خمشی وارد بر آن در طی مدت زمان ۲ سال خزش توده سنگ دربرگیرنده تونل، پایدار است.



شکل ۲۲-۵: نمودار توزیع نیروی محوری روی نگهداری اولیه تحت اثر ۲ سال خزش توده سنگ دربرگیرنده تونل

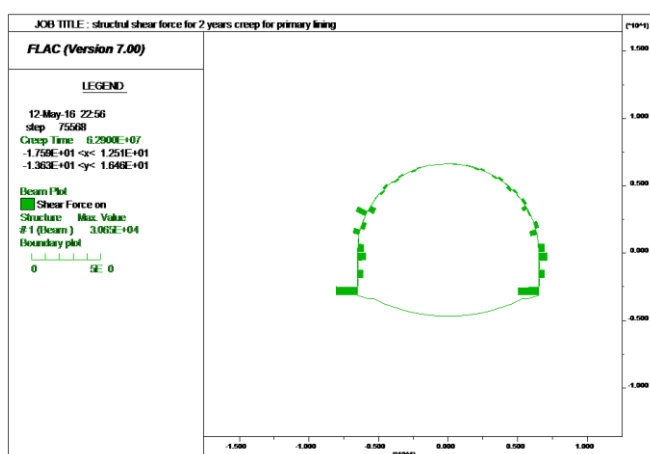


شکل ۲۳-۵: نمودار توزیع ممان خمشی روی نگهداری اولیه تحت اثر ۲ سال خزش توده سنگ دربرگیرنده تونل



شکل ۲۴-۵: کنترل نیروی محوری و ممان خمشی وارد بر نگهداری اولیه برای مدت زمان ۲ سال خزش تودهسنگ دربرگیرنده تونل

مطابق با شکل ۲۵-۵ ۲۵ حداکثر نیروی برشی وارد بر نگهداری اولیه در قسمت پاظاق تونل است که مقدار آن برابر با ۳۱KN بوده است.



شکل ۲۵-۵: نمودار توزیع نیروی برشی روی نگهداری اولیه تحت اثر ۲ سال خزش تودهسنگ دربرگیرنده تونل با توجه به رابطه ۸-۵ مقدار تنش برشی مجاز برای المان میله (با توجه به شکل ۱۴-۵) محاسبه شده است:

$$V_c = 0.45\sqrt{255} \times 100 \times 17 = 12.216 KN$$

$$V_s = 0.34 \times 4283 \times 11.6 = 16.892 KN$$

$$V_n = 12.216 + 16.892 = 29.111 KN$$

با توجه به محاسبات مربوط به ظرفیت باربری نیروی برشی نگهداری اولیه، مشاهده می شود که مقدار نیروی برشی وارد بر نگهداری اولیه در قسمت پاطاق (31KN) از مقدار نیروی برشی مجاز نگهداری اولیه (29KN) بیشتر است که سبب ناپایداری نگهداری اولیه خواهد شد. بنابراین لازم است تا در طراحی نگهداری اولیه تغییرات لازم برای افزایش عمر پایداری آن، انجام گیرد.

### ۳-۴-۵ تحلیل پایداری پوشش‌بتنی نهایی برای مدت زمان ۱۰۰ سال خزش توده‌سنگ

#### دربرگیرنده تونل

#### ۱-۳-۴-۵ نمودارهای ظرفیت باربری

برای تعیین ظرفیت باربری پوشش بتنی از نمودارهای خطی نیروی محوری- ممان خمشی، با توجه به "پوشش شکست" و مقادیر حداکثری نیروی محوری و ممان خمشی که پوشش بتنی برای پایداری نیاز دارد، استفاده می‌شود. به طور مشابه، نمودار نیروی محوری و نیروی برشی روی یک خط، همراه با یکدیگر، با توجه به پوشش شکست، در یک نمودار نیروی برشی- نیروی محوری ارائه شده‌اند. این دو نمودار نمودهایی رایج از نمودارهای ظرفیت باربری در مهندسی ساخت و طراحی بتن هستند. نمودارهای ظرفیت باربری روشی مفید برای تعیین نگهدارنده‌های تونل هستند، زیرا تعیین عملکرد پوشش بتنی را آسان می‌کنند، تا فهمیده شود که آیا شرایط تنش‌های موجود و اعمالی روی پوشش بتنی از حد مجاز تحمل پوشش بتنی بیشتر هستند یا خیر. چندین محقق در باب عملکرد این نمودارها برای طراحی نگهدارنده تونل در موارد خاصی بحث و بررسی انجام داده‌اند مانند کایسر<sup>۱</sup> و

<sup>۱</sup> Kaiser (۱۹۸۵)

ساور<sup>۱</sup> [۳۵]. در ادامه روابط مربوط به محاسبات ظرفیت تحمل و اندرکنش ممان خمثی-نیروی محوری و نیروی برشی-نیروی محوری ارائه شده‌اند.

در جدول ۸-۵ مشخصات مصالح پوشش بتنی در جا مورد استفاده در تونل البرز آمده است.

جدول ۸-۵: مشخصات مصالح پوشش بتنی نهایی (جنرال مکانیک، ۱۳۹۳).

مشخصه	علامت	مقدار	واحد
مقاومت اسمی بتن	$f_{ck}$	۵۰	$MN/m^3$
مقاومت کششی بتن	$f_{ct}$	۳/۵	$MN/m^3$
وزن مخصوص بتن	$Y_c$	۲۳۰۰	$kg/m^3$
مدول الاستیسیته بتن	$E_c$	۳/۵۸۵	$kg/cm^3$
مدول الاستیسیته فولاد	$E_s$	۲۶۶	$kg/cm^3$
قطر میلگرد	$\varphi$	۱۸	$mm$
مقاومت تسلیم فولاد	$f_y$	۴۰۰	$kg/cm^3$

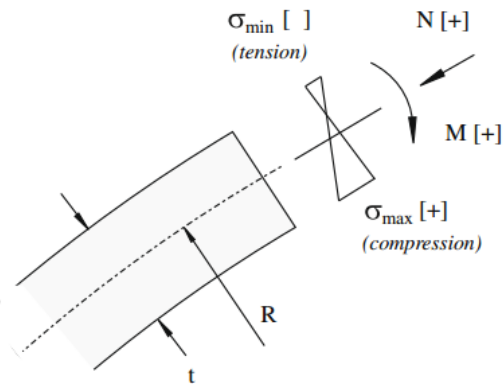
### ۴-۳-۲-۵ ظرفیت تحمل و اندرکنش ممان خمثی-نیروی محوری

با توجه به شکل ۲۶-۵ تصویری از یک مقطع پوشش بتنی مشاهده می‌شود که نیروی محوری  $N$  و ممان خمثی  $M$  نمایش داده شده است، و تنש‌های محوری حداکثری و حداقلی را نتیجه می‌دهند،  $\sigma_{min}$  و  $\sigma_{max}$ ، که با توجه به نیروهای وارد بر المان پوشش بتنی، به صورت زیر محاسبه می‌شوند:

$$\sigma_{min}^{max} = \frac{N}{A} \pm \frac{M}{I} t / 2 \quad ۱۱-۵$$

در این رابطه  $A$  مساحت و  $I$  ممان اینرسی مقطع و  $t/2$  نصف ضخامت پوشش بتنی است.

<sup>۱</sup> Sauer (۱۹۹۴)



شکل ۲۶-۵: نمونه مقطعی از پوشش‌بتنی (نمایش نیروی محوری و گشتاور خمثی) [۳۵]

فرض می‌شود که پوشش‌بتنی قادر به تحمل حداکثر تنش فشاری  $\sigma_c$  و حداکثر تنش کششی  $\sigma_t$  است. ضریب ایمنی  $FS$  برای این‌که در کشش یا فشارش گسیخته شود به صورت زیر است:

$$FS = \frac{\sigma_c}{\sigma_{max}} = \frac{\sigma_t}{\sigma_{min}} \quad ۱۲-۵$$

روابط ۱۱-۵ و ۱۲-۵ برای برقراری ارتباط میان نیروی محوری  $N$  و ممان خمثی  $M$  که همراه با یک ضریب ایمنی مشخص باشند، برای شکست فشارشی و شکست کششی باهم ترکیب می‌شوند. برای مثال محدوده مقدار نیروی محوری  $N$  برای شکست فشاری به این صورت است:

$$N = -\frac{|M|At}{2I} + \frac{\sigma_c A}{FS} \quad ۱۳-۵$$

در این رابطه  $N$  نیروی محوری،  $M$  ممان خمثی،  $A$  مساحت سطح مقطع معادل از پوشش‌بتنی نهايی،  $t$  ضخامت معادل پوشش‌بتنی نهايی،  $I$  ممان اينرسى مقطع معادل،  $\sigma_c$  مقاومت فشاری پوشش‌بتنی و  $FS$  ضریب ایمنی لحاظ شده است. به طور مشابه با توجه به  $\sigma_{min}$  در رابطه ۱۲-۵ محدوده مقدار نیروی محوری  $N$  همراه با شکست کششی به این صورت است:

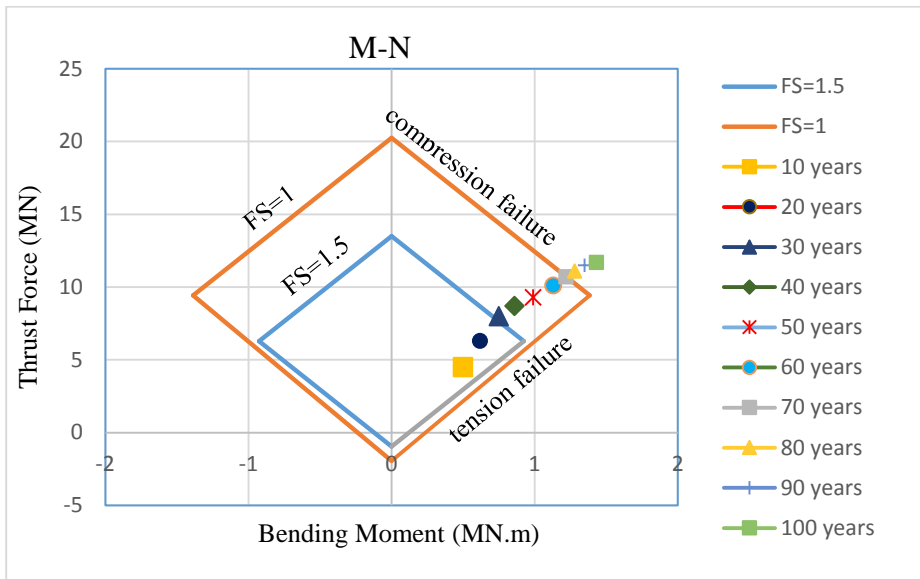
$$N = \frac{|M|At}{2I} + \frac{\sigma_t A}{FS} \quad ۱۴-۵$$

در این رابطه  $\sigma_t$  مقاومت کششی پوشش‌بتنی نهایی است. با مساوی قرار دادن دو رابطه ۱۳-۵ و ۱۴-۵، مقادیر ممان خمثی بحرانی  $M_{cr}$  همراه با مقادیر ضریب ایمنی  $FS$  برای دو حالت شکست کششی و فشارشی به صورت هم‌زمان به دست می‌آید:

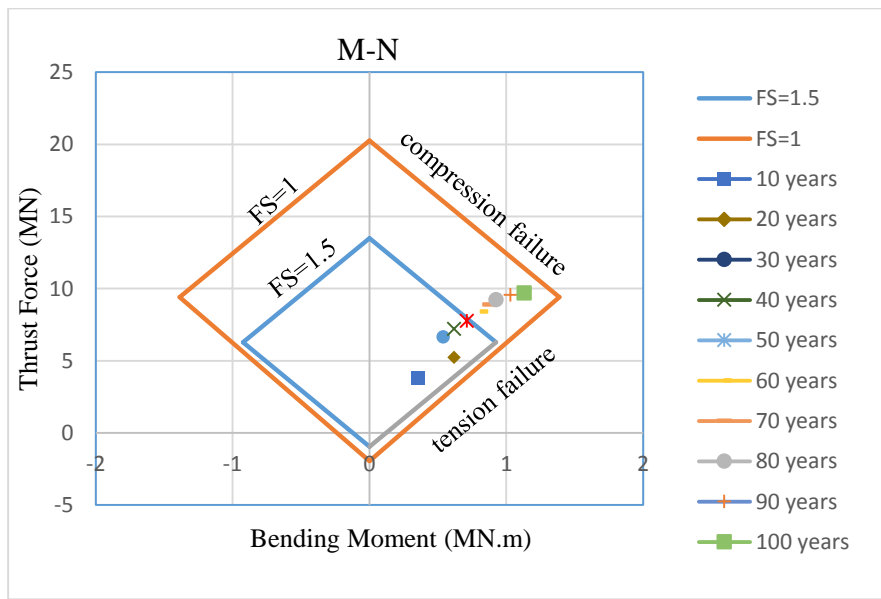
$$M_{cr} = \pm \frac{I}{t} \frac{\sigma_c - \sigma_t}{FS} \quad 15-5$$

مجموعه روابط ۱۳-۵ تا ۱۶-۵ در یک نمودار اندرکنش به نام نیروی محوری-ممان خمثی آورده می‌شوند. محور افقی این نمودار ممان خمثی و محور قائم آن نیروی محوری را نشان می‌دهد.

با توجه به روابط ۳-۵، ۴-۵ و ۵-۶ و نیروهای محوری و ممان خمثی که از زمین به پوشش‌بتنی نهایی وارد می‌شوند، نمودار اندرکنش نیروی محوری-ممان خمثی برای مدت زمان ۱۰۰ سال از عمر پوشش‌بتنی تونل البرز ترسیم می‌شود که نمودار شکل ۲۷-۵ حاصل ترسیم این روابط برای بازه زمانی ۱۰۰ ساله است. مدل عددی ساخته شده در FLAC برای مقطع مورد مطالعه، به صورت ۱۰ سال ۱۰ سال اجرا می‌شود. به این صورت که مدت زمان عمر پوشش‌بتنی با توجه به گام زمانی خزش مناسب، به مدل اعمال می‌شود. گام زمانی خزش مناسب برای هر بازه زمانی از عمر پوشش‌بتنی، با اجراهای مکرر مدل عددی برای همان بازه زمانی به دست می‌آید. با توجه به این که دو نمونه از دو متراز مختلف در مقطع مورد مطالعه، مورد آزمایش قرار گرفته است، بنابراین تنها داده‌های ورودی مربوط به نمونه‌ای آورده شده است که نیروهای بیشتری به پوشش‌بتنی نهایی وارد می‌کند، که با توجه به اجرای مدل برای هر پارامترهای ورودی حاصل از هر دو نمونه، پارامترهای ورودی نمونه شماره ۲ نیروهای بیشتری را به پوشش بتی وارد می‌آورند. نمودار اندرکنش نیروی محوری-ممان خمثی برای پوشش‌بتنی نهایی در مدل عددی با پارامترهای ورودی نمونه شماره ۲، برای دو مقطع از پوشش‌بتنی در پاطاق و کف تونل به ترتیب به صورت شکل ۲۷-۵ و شکل ۲۸-۵ است.



شکل ۲۷-۵: نمودار اندرکنش نیروی محوری-ممان خمشی برای نیروهای وارد بر پوشش بتنی نهایی در مدت زمان ۱۰۰ سال (پاطاق تونل).

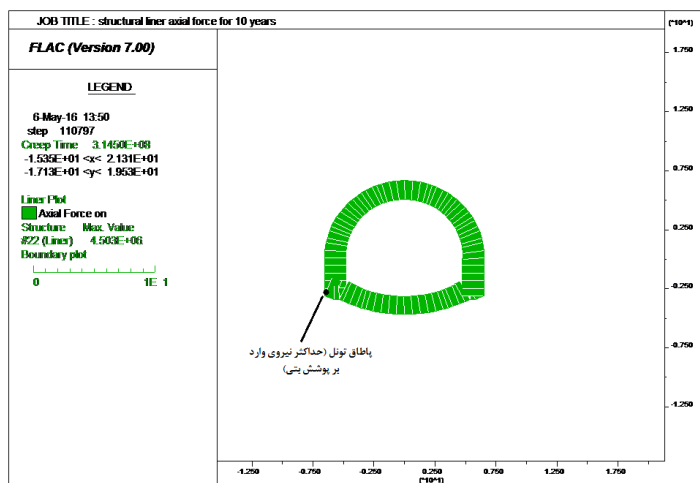


شکل ۲۸-۵: نمودار اندرکنش نیروی محوری-ممان خمشی برای نیروهای وارد بر پوشش بتنی نهایی در مدت زمان ۱۰۰ سال (کف تونل).

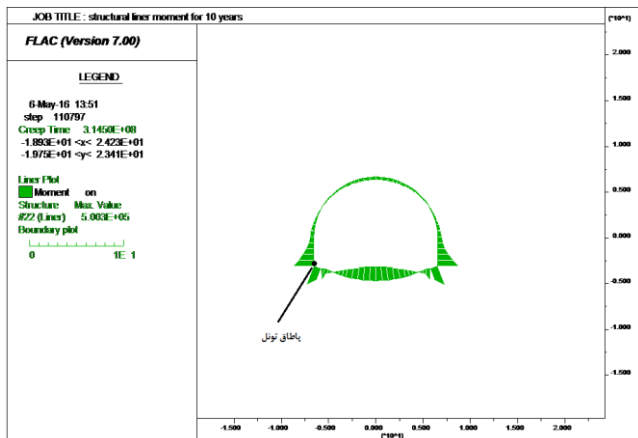
طبق نمودار شکل ۲۷-۵ بین سال های ۶۰ تا ۷۰، مقدار ممان خمشی ایجاد شده در پوشش بتنی از حد مجاز فراتر رفته و پایداری آن در قسمت پاطاق تونل از لحاظ گشتاور خمشی ایجاد شده در پوشش بتنی دچار مشکل خواهد شد. در شکل ۲۸-۵ نیز نمودار نیروی محوری-ممان خمشی در

قسمت کف تونل آورده شده است. با وجهه به این نمودار، نیروهای محوری و ممان خمشی ایجاد شده در پوشش‌بتنی در کف تونل، از حد ضریب ایمنی ۱ کمتر نمی‌شوند.

شكل متفاوت لوزی‌ها در نمودارهای ارائه شده برای اندرکنش نیروی محوری-ممان خمشی، به دلیل مقادیر متفاوت حاصل از روابط ۱۳-۵ و ۱۴-۵ است. برای مثال اگر یک نقطه بالای مرز مربوط به ضریب ایمنی  $FS = 1/5$  بیافتد، طبق رابطه ۲-۵ به این معناست که اندرکنش ممان خمشی و نیروی محوری در یک نقطه خاص از پوشش‌بتنی یک تنفس حداکثری روی کمان پوشش‌بتنی را سبب می‌شود که ۱/۵ برابر کوچک‌تر از تنفس فشاری  $\sigma_c$  پوشش‌بتنی است. به صورت مشابه اگر نقطه در زیر مرز پایینی بیافتد به این معناست که مقاومت کششی پوشش‌بتنی کم‌تر از نیروهای وارد به پوشش‌بتنی است. لازم به ذکر است که بازه تغییرات مجاز با استفاده از رابطه ۶-۵ به دست می‌آید. در شکل ۲۹-۵(الف و ب) و شکل ۳۰-۵(الف و ب) نمودارهای توزیع ممان خمشی و نیروی محوری روی دیواره تونل برای ۱۰ و ۹۰ سال خزش سنگ دربرگیرنده تونل آورده شده است. این نمودارها با توجه به شکل ۲۹-۵ و شکل ۳۰-۵ به ترتیب برای دو قسمت پاطاق و کف تونل برای مدت زمان‌های خزش ۱۰ و ۹۰ سال آورده شده‌اند.

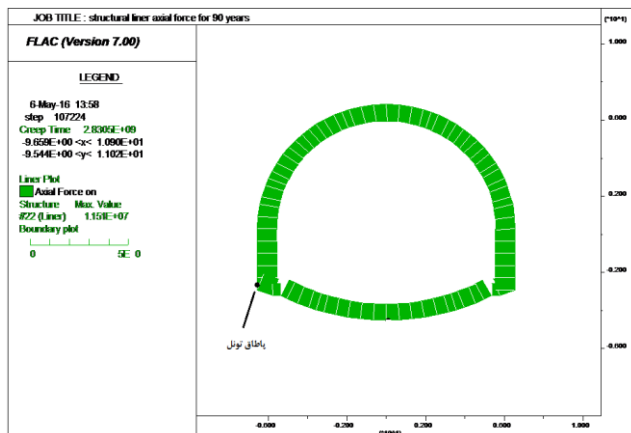


الف) نمودار توزیع نیروی محوری بر روی پوشش‌بتنی نهایی در اثر خزش توده‌سنگ دربرگیرنده تونل به مدت زمان ۱۰ سال در قسمت پاطاق تونل.

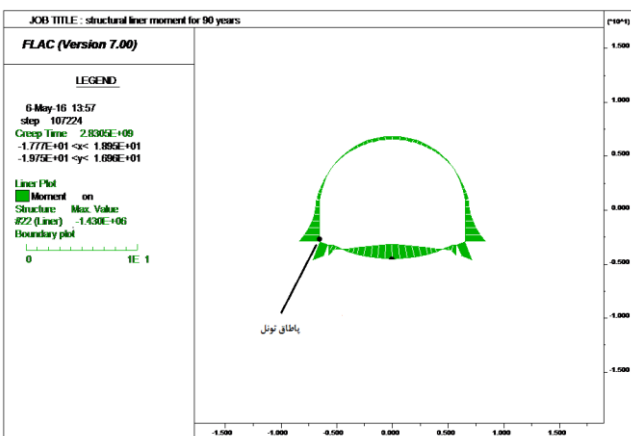


شکل ۲۹-۵: نمودار توزیع نیروهای ممان خمشی و محوری بر روی پوشش بتنی نهایی تونل ناشی از نیروهای ایجاد شده در اثر ۱۰ سال خزش توده سنگ دربرگیرنده تونل (الف- نیروی محوری، ب- گشتاور خمشی)

ب) نمودار توزیع نیروی ممان خمشی بر روی پوشش بتنی نهایی در اثر خزش توده سنگ دربرگیرنده تونل به مدت زمان ۱۰ سال در قسمت پاطاق تونل.



الف) نمودار توزیع نیروی ممان خمشی بر روی پوشش بتنی نهایی در اثر خزش توده سنگ دربرگیرنده تونل به مدت زمان ۹۰ سال قسمت پاطاق تونل.



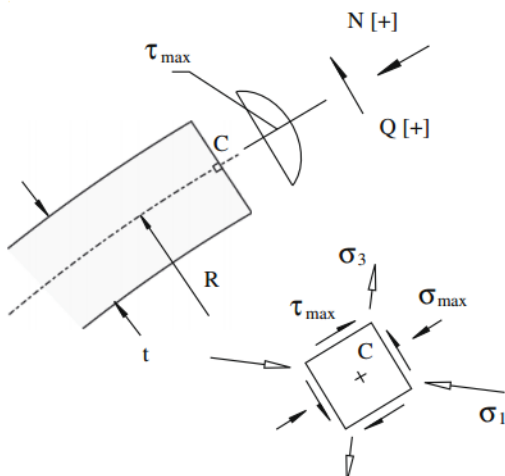
ب) نمودار توزیع نیروی محوری بر روی پوشش بتنی نهایی در اثر خزش توده سنگ دربرگیرنده تونل به مدت زمان ۹۰ سال برای قسمت پاطاق تونل.

شکل ۳۰-۵: نمودار توزیع نیروهای ممان خمشی و محوری بر روی پوشش بتنی نهایی تونل ناشی از نیروهای ایجاد شده در اثر ۹۰ سال خزش توده سنگ دربرگیرنده تونل.

در طراحی نگهداری تونل، معمولاً ضریب ایمنی را برای شکسته شدن پوشش بتنی  $FS = 1/5$  لحاظ می‌کنند. به همین دلیل با توجه به نمودار شکل ۲۷-۵ طراحی لحاظ شده برای پوشش بتنی نهایی تونل البرز نیازمند بازنگری است.

### -۵-۴-۳-۳- ظرفیت تحمل و اندرکنش ممان خمشی-نیروی برشی

در این بخش نمودارهای اندرکنش نیروی برشی-محوری مورد بحث قرار گرفته است. در شکل ۳۱-۵ مقطعی از پوشش‌بتنی تحت اثر نیروی محوری  $N$  و نیروی برشی  $Q$  همراه با توزیع (سهموی) تنش‌های برشی در امتداد طول مقطع، ناشی از نیروی برشی، نمایش داده شده است.



شکل ۳-۵: نمونه مقطعی از پوشش‌بتنی (نمایش نیروی برشی و گشتاور خمی) [۳۵]

با توجه به شکل ۳۱-۵ حداکثر تنش برشی  $\tau_{max}$  در تار خنثی از کمانی از جزء پوشش بتنی به صورت اطلاع ذهنی بیان می‌شود:

$$\tau_{max} = \frac{\gamma Q}{\gamma A} \quad 18-\Delta$$

نیروی محوری N در شکل ۳۱-۵ تنیش نرمال با مقدار  $\sigma_{max}$  را ایجاد می‌کند:

$$\sigma_{max} = \frac{N}{A} \quad 17-5$$

در روابط ۱۶-۵ و ۱۷-۵،  $A$  مساحت مقطع پوشش‌بتنی است.

با توجه به این که حالت تنش برای نقطه  $C$  واقع بر روی تار خنثی کمان (شکل ۳۱-۵) داده شده و به وسیله تنش‌های  $\sigma_{max}$  و  $\tau_{max}$  در روابط ۱۶-۵ و ۱۷-۵ تعریف شده‌اند، تنش‌های اصلی کوچک‌تر و بزرگ‌تر  $\sigma_1$  و  $\sigma_3$  در این نقطه را به صورت ترکیبی می‌توان نمایش داد:

$$\sigma_{1,3} = \frac{\sigma_{max}}{2} \pm \sqrt{\left(\frac{\sigma_{max}}{2}\right)^2 + \tau_{max}^2} \quad 18-5$$

مقاومت فشاری ماده سازنده پوشش‌بتنی  $\sigma_c$  و مقاومت کششی  $\sigma_t$  فرض شده‌اند. بنابراین ضریب ایمنی  $FS$  برای پوشش‌بتنی در جهت نامشخص از کمان (شکل ۳۱-۵) برای گسیختگی در حالت فشارش یا کشش را می‌توان به صورت زیر تعریف کرد:

$$FS = \frac{\sigma_c}{\sigma_1} = \frac{\sigma_t}{\sigma_3} \quad 19-5$$

روابط ۵-۶ و ۹-۵ با هم ترکیب می‌شوند تا رابطه‌ای میان نیروی محوری  $N$  و نیروی برشی  $Q$  که همراه با مقدار ضریب ایمنی  $FS$  مشخصی باشد، هم برای گسیختگی در کشش و هم فشارش، به دست آورده شود.

برای مثال، با توجه به  $\sigma_1$  در رابطه ۸-۵، همراه با تعریف ضریب ایمنی در رابطه ۹-۵، محدودیت مقدار نیروی محوری  $N$  همراه با گسیختگی در حالت فشارش، داریم:

$$N = \frac{\sigma_c A}{FS} - \frac{9}{4} \frac{Q^2 FS}{\sigma_c A} \quad 20-5$$

به طور مشابه، با توجه به  $\sigma_3$  در رابطه ۸-۵، محدوده مقدار نیروی محوری  $N$  همراه با گسیختگی در کشش، داریم:

$$N = \frac{\sigma_t A}{FS} - \frac{1}{4} \frac{Q^2 FS}{\sigma_t A} \quad 21-5$$

مقادیر بحرانی نیروی برشی  $Q_{cr}$  همراه با مقدار مشخص ضریب ایمنی  $FS$  برای دو حالت

گسیختگی در کشش و فشارش به طور همزمان به این ترتیب است:

$$Q_{cr} = \pm \frac{A}{FS} \sqrt{-\frac{4}{9} \sigma_c \sigma_t} \quad 22-5$$

توجه شود که  $\sigma_t$  در رابطه ۱۲-۵ منفی است.

با استفاده از روابط ۱۰-۵ تا ۱۲-۵ نمودار تنش برشی-نیروی محوری، برای لاینینگ مورد استفاده

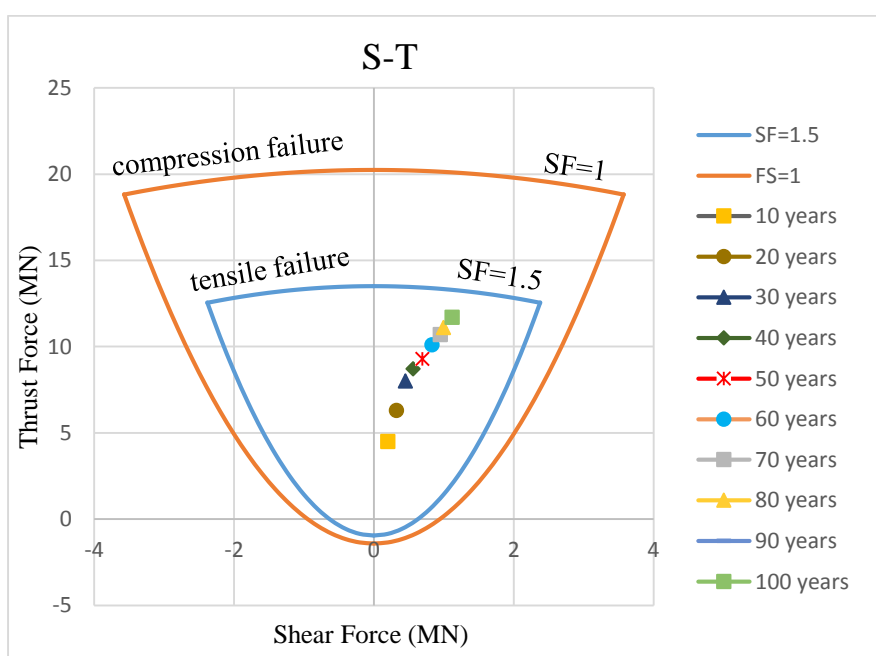
در تونل البرز تحت اثر نیروهای ایجادشده در طی مدت زمان ۱۰۰ سال مورد ارزیابی قرار گرفته است.

به همان ترتیبی که برای ترسیم و ارزیابی نمودار اندرکنش نیروی محوری-گشتاور خمشی توضیح داده

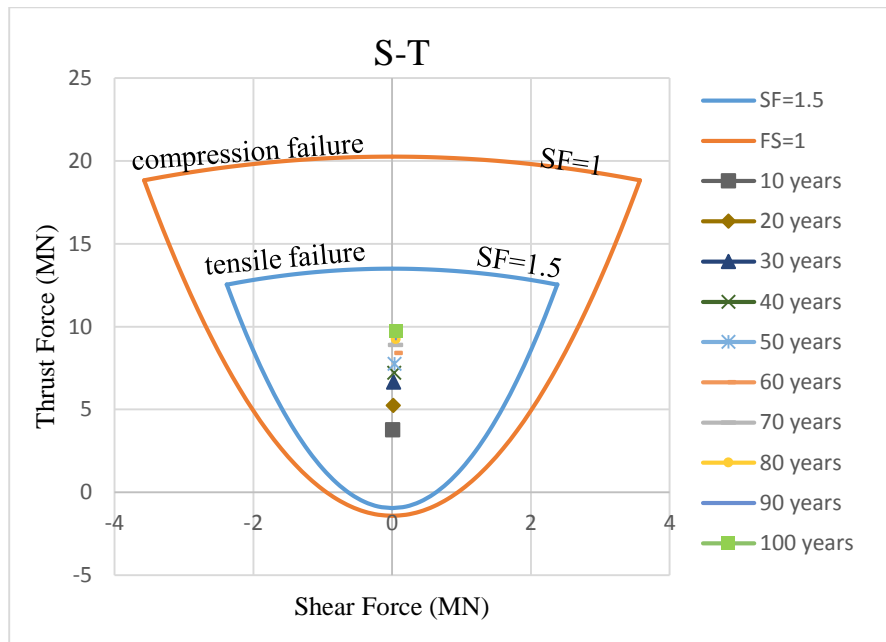
شد، برای ترسیم و ارزیابی نمودار اندرکنش نیروی برشی-گشتاور خمشی پوشش بتنی تونل البرز، با

توجه به پارامترهای حاصل از نمونه شماره ۲، در دو قسمت پاطاق و کف تونل، برای مدت زمان های

۱۰ و ۹۰ سال خزش سنگ در برگیرنده تونل، تحلیل شده است.

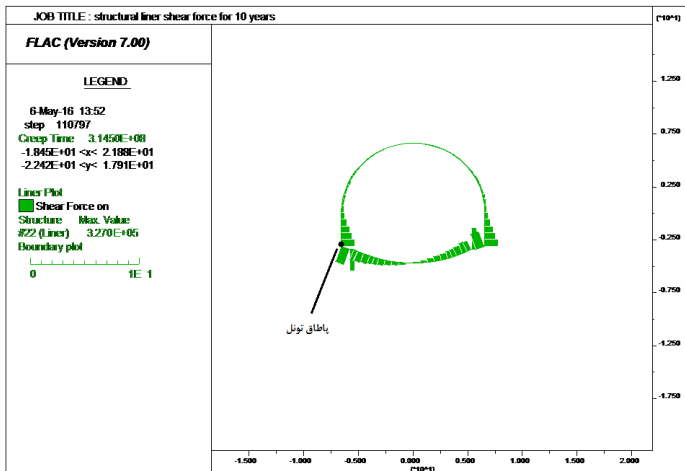


شکل ۳۲-۵: نمودار اندرکنش نیروی برشی- ممان خمشی برای نیروهای وارد بر پوشش‌بتنی نهایی در مدت زمان ۱۰۰ سال (قسمت پاطق تونل).

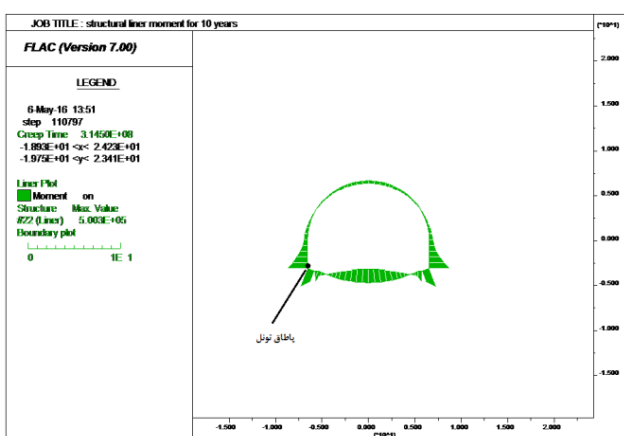


شکل ۳۳-۵: نمودار اندرکنش نیروی برشی- ممان خمشی برای نیروهای وارد بر پوشش‌بتنی نهایی در مدت زمان ۱۰۰ سال (قسمت کف تونل).

با مشاهده نمودارهای شکل ۳۲-۵ مشاهده می‌شود که نیروهای برشی القایی در پوشش‌بتنی، بسیار کم بوده و از این لحاظ مشکلی را برای پوشش‌بتنی طی بازه‌های زمانی مورد نظر، ایجاد نمی‌کند. نمودارهای توزیع نیروی برشی و نیروی محوری روی دیواره تونل در شکل ۳۴-۵ و شکل ۳۵-۵ به ترتیب برای سال‌های ۹۰ و ۱۰ از خزش توده‌سنگ دربرگیرنده تونل آمده است.

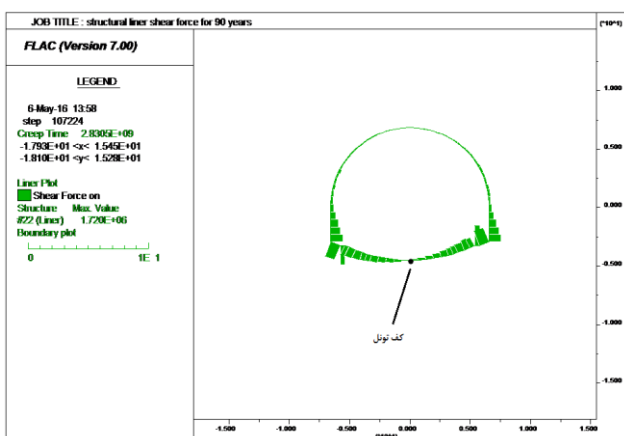


الف) نمودار توزیع نیروی برشی بر روی پوشش بتنی نهایی در اثر خزش توده سنگ دربرگیرنده تونل به مدت زمان ۱۰ سال در قسمت پاطاق تونل.

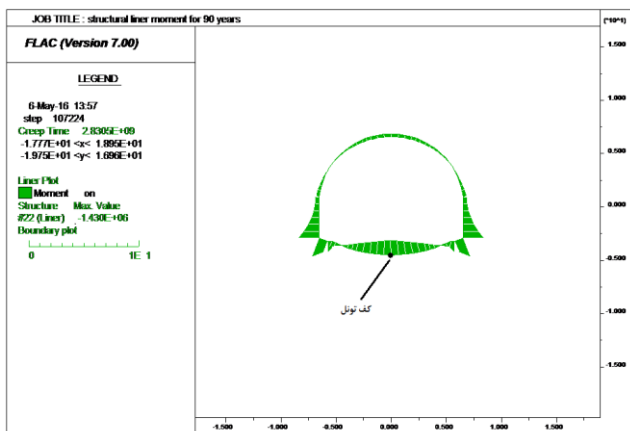


ب) نمودار توزیع نیروی محوری بر روی پوشش بتنی نهایی در اثر خزش توده سنگ دربرگیرنده تونل به مدت زمان ۱۰ سال در قسمت پاطاق تونل.

شکل ۳۴-۵: نمودار توزیع نیروی برشی و نیروی محوری بر روی پوشش بتنی نهایی تونل ناشی از نیروهای ایجاد شده در اثر سال خزش توده سنگ دربرگیرنده تونل (در قسمت پاطاق تونل).



الف) نمودار توزیع نیروی برشی بر روی پوشش بتنی نهایی در اثر خزش توده سنگ دربرگیرنده تونل به مدت زمان ۹۰ سال در قسمت کف تونل.

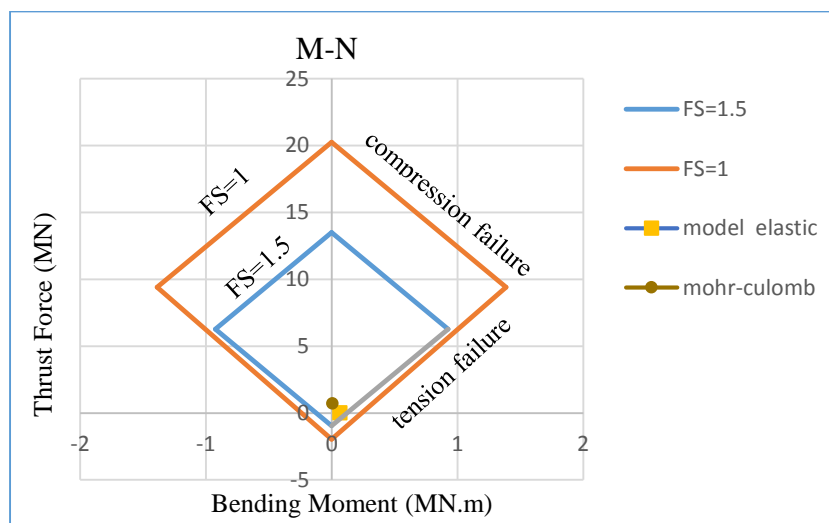


شکل ۳۵-۵: نمودار توزیع نیروهای نیروی برشی و نیروی محوری بر روی پوشش‌بتنی نهایی در اثر خزش توده سنگ دربرگیرنده تونل به مدت زمان ۹۰ در قسمت کف تونل.

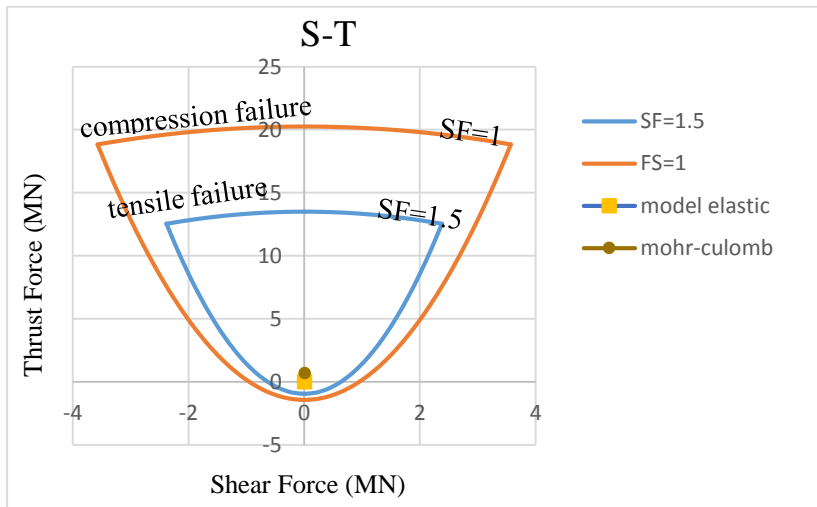
ب) نمودار توزیع نیروی محوری بر روی پوشش‌بتنی نهایی در اثر خزش توده سنگ دربرگیرنده تونل به مدت زمان ۹۰ در قسمت کف تونل.

#### ۴-۳-۴-۵- اعمال مدل الاستیک و مورکولمب

نیروهای وارد بر پوشش‌بتنی نهایی با استفاده از مدل‌های الاستیک و مورکولمب نیز بررسی می‌شود. در شکل ۳۶-۵ و شکل ۳۷-۵ به ترتیب نمودارهای اندرکنش نیروی محوری-گشتاور خمثی و نیروی برشی-گشتاور خمثی، برای دو مدل الاستیکی و مورکولمب برای محیط تونل استفاده شده است. مدل‌سازی با این دو مدل رفتاری به منظور مقایسه بین مدل‌های رفتاری وابسته به زمان با مدل‌های رفتاری مستقل از زمان، انجام شده است که نتیجه این مقایسه در ادامه آورده شده است.



شکل ۳۶-۵: نمودار اندرکنش نیروی محوری-ممان خمثی برای نیروهای وارد بر پوشش‌بتنی نهایی برای مدل‌های الاستیک و مورکولمب.



شکل ۳۷-۵: نمودار اندرکنش نیروی برشی- ممان خمشی برای نیروهای وارد بر پوشش‌بتنی نهایی برای مدل‌های الاستیک و مورکولمب.

با اعمال مدل الاستیک مشاهده می‌شود که نیروهای وارد بر پوشش‌بتنی از نیروهایی که در مدت زمان کمتر از ۱۰ سال، به پوشش‌بتنی وارد می‌شوند کمتر است و در حالت مدل مورکولمب نیروهای وارد بر پوشش‌بتنی نهایی بتنی مقادیر کمی دارند و مشکلی در ناپایداری پوشش‌بتنی ایجاد نمی‌کنند، که می‌توان نتیجه گرفت مدل‌هایی که وابستگی به زمان ندارند، برای تحلیل‌های وابسته به زمان نامناسب هستند.

#### ۵-۵- نتیجه‌گیری

در فصل حاضر به بررسی مدل‌سازی عددی تونل البرز با استفاده از نرم‌افزار FLAC2D پرداخته شده است. پس از اعمال شرایط اولیه و حفر تونل به نصب سیستم نگهداری موقت اقدام سپس پوشش‌بتنی نهایی نصب و نهایتاً نگهداری موقت حذف شده است. برای ارزیابی پایداری پوشش‌بتنی نهایی در طی زمان، از مدل خزشی CVISC استفاده می‌شود.

پایداری پوشش‌بتنی نهایی از لحاظ نیروهای وارد بر آن مورد ارزیابی قرار گرفته است. با توجه به پارامترهای حاصل از انجام آزمایش روی دو نمونه از دو ناحیه مختلف در مقطع مورد مطالعه، که شرح آن در فصل چهارم داده شده است، دو بار مدل‌سازی با دو ورودی متفاوت انجام شده است. مدت زمان

در نظرگرفته شده برای پایداری پوشش‌بتنی تونل البرز ۱۰۰ سال است. در مدل‌سازی با پارامترهای ورودی حاصل از نمونه ۲، گشتاور خمی ایجادشده در پوشش‌بتنی بین سال‌های ۶۰ تا ۷۰، از ضریب ایمنی ۱ کمتر می‌شود و پوشش‌بتنی از لحاظ پایداری دچار مشکل می‌شود. مقادیر نیروی برشی و محوری القایی در پوشش‌بتنی مشکلی را برای پایداری آن ایجاد نمی‌کنند.

برای درک تفاوت و اهمیت بین مدل‌سازی وابسته به زمان و مدل‌سازی غیر وابسته به زمان، رفتار محیط تونل به صورت مدل الاستیک و مدل مورکولمب فرض شده است. درنتیجه مشاهده شده است که در حالت مدل الاستیک مقادیر نیروهای وارد بر پوشش‌بتنی مشابه رفتار وابسته به زمان برای مدت‌زمان کمتر از ۱۰ سال است. و در حالت مدل مورکولمب نیروهای وارد بر پوشش‌بتنی کم و قابل اطمینان هستند. با توجه به نتایج حاصل از این دو مدل، و مقایسه با مدل رفتاری وابسته به زمان، اهمیت مدل‌سازی وابسته به زمان مشخص می‌شود.

## فصل ششم

نتیجہ کسیری و پیشہ داد

## ۱-۶ مقدمه

در این تحقیق سنگ‌های مسیر تونل البرز از لحاظ پتانسیل مچاله‌شوندگی مورد ارزیابی قرار گرفته است. این عمل با استفاده از روش‌های تجربی، نیمه‌تجربی، تحلیلی صورت گرفت. ابتدا با استفاده از این روش‌ها زون‌های دارای پتانسیل مچاله‌شوندگی، درجه و میزان شدت مچاله‌شوندگی آن‌ها مشخص شده است. سپس با توجه به محدود بودن ایستگاه‌های ابزاربندی در مقاطع مچاله‌شونده، از یکی از زون‌های مستعد مچاله‌شوندگی، نمونه‌های سنگ برای آزمون‌های آزمایشگاهی تهیه شده است.

برای تحلیل عددی پدیده مچاله‌شوندگی از نرم‌افزار تفاضل محدود FLAC2D استفاده شده است. و با توجه به ماهیت وابسته به زمان این پدیده، یکی از مدل‌های خزشی که برای تحلیل‌های مچاله‌شوندگی استفاده می‌گردد، به کار می‌رود. برای اعمال پارامترهای ورودی این مدل خزشی، نیاز به ۱۰ پارامتر ورودی می‌باشد. از میان این ۱۰ پارامتر، ۴ پارامتر آن، پارامترهای خزشی هستند که بایستی از روش‌های آزمایشگاهی با انجام آزمایش خزش بر روی نمونه سنگ موردنظر، به دست آیند.

پس از به دست آوردن این پارامترها، نیاز بوده است تا مدل‌رفتاری مورد استفاده در FLAC با آزمایش انجام شده صحت سنجی شوند. با مدل‌سازی نمونه‌های آزمایشگاهی در FLAC، صحت سنجی با مقادیر خطای کمتر از ۱۰٪ انجام گرفته است که در کارهای مهندسی این میزان خطای قابل قبول هستند. با اطمینان از صحت تطابق این مدل‌رفتاری با آزمایش انجام شده، به مدل‌سازی مقطع مچاله‌شونده پرداخته شده است. با توجه به اهمیت بعد زمان در بحث پایداری تونل و پوشش‌بتنی نهایی تونل، مدل عددی برای مدت‌زمان ۱۰۰ سال، اجرا شده است. نتایج نیروهای وارد بر

پوشش‌بتنی به صورت نیروهای محوری، برشی و ممان خمشی وارد بر آن در طی مدت این ۱۰۰ سال، در نمودارهای ظرفیت باربری محور-ممان خمشی و برشی-گشتاور خمشی مورد ارزیابی قرار گرفته‌اند.

## ۶-۲-نتیجه‌گیری

با توجه به بررسی‌های صورت گرفته در انجام این تحقیق می‌توان به نتایج زیر اشاره کرد:

۱- نتایج تحلیل‌ها نشان داده‌اند که برای ارزیابی پتانسیل مچاله‌شوندگی سنگ‌های مسیر تونل، روش‌های تجربی، نیمه تجربی و تحلیلی تطابق نسبتاً خوبی با هم دارند. که می‌توان از آن‌ها برای انتخاب مقطع مناسب برای تحلیل عددی استفاده کرد.

۲- برای مدل‌سازی تغییر شکل‌های وابسته به زمان در تونل‌ها و بررسی پدیده مچاله‌شوندگی باید از مدل‌های رفتاری وابسته به زمان استفاده شود. مدل ویسکوپلاستیک برگر-خرشی یکی از کامل‌ترین مدل‌های رفتاری وابسته به زمان موجود در این زمینه است که نتایج تحلیل‌ها به خوبی نشان داده که این مدل رفتاری قادر است تغییر شکل‌های وابسته به زمان توده‌سنگ را با دقت بالایی شبیه‌سازی کند.

۳- به منظور استفاده از مدل ویسکوپلاستیک برگر-خرشی باید چهار پارامتر خرزشی موجود در این مدل به دست آورده شود. یکی از روش‌های مناسب و پرکاربرد و کم‌هزینه استفاده از تحلیل برگشتی در ایستگاه‌های مچاله‌شونده است. اما با توجه به ناکافی بودن تعداد این ایستگاه‌ها و اطلاعات آن‌ها، از روش آزمایشگاهی برای به دست آوردن این پارامترها استفاده شده است.

آزمایش خرزش روی دو نمونه سنگ از دو مقطع مختلف، در حدفاصل محدوده ۳۴۳۴ تا ۳۵۰۰، انجام گرفته و مقادیر این چهار پارامتر برای این دو نمونه سنگ محاسبه شده است.

۴- با اعمال پارامترهای به دست آمده از این دو نمونه، دو مدل‌سازی با ورودی‌های مختلف انجام گرفته که پارامترهای حاصل از نمونه دوم، نیروهای بحرانی تری را به پوشش‌بتنی نهایی وارد می‌آورند. در تحلیل نتایج حاصل از پارامترهای ورودی نمونه ۲، پوشش‌بتنی بین سال‌های

۶۰ تا ۷۰ در اثر افزایش ممان خمشی دچار ناپایداری فشاری می‌شود.

۵- همچنین برای مقایسه رفتار وابسته به زمان با رفتار مستقل از زمان در سنگ‌های مچاله‌شونده، یکبار مدل‌سازی با مدل رفتاری الاستیک و یکبار با مدل رفتاری مورکولمب انجام گرفته که در حالت الاستیک نیروهای وارد بر پوشش‌بتنی تقریباً معادل نیروهای وارد بر آن در حالت وابسته به زمان، برای مدت‌زمان کمتر از ۱۰ سال بوده و برای مدل مورکولمب نیروهای وارد بر پوشش‌بتنی بسیار کم و قابل اطمینان به‌دست‌آمده‌اند. درنتیجه با توجه به محدودیت مدل‌های رفتاری مستقل از زمان، اهمیت مدل‌سازی با رفتار وابسته به زمان مشخص می‌شود.

### ۶-۳-پیشنهادها

- ۱- با توجه به این که رفتار وابسته به زمان برای سنگ‌های مسیر تونل البرز محتمل است، بنابراین پیشنهاد می‌شود مطالعات مربوط به رفتار وابسته به زمان برای سنگ‌های مسیر تونل، بیش‌تر انجام شود.
- ۲- با به‌کارگیری ابزارگذاری مناسب به موقع و رفتارنگاری در این طرح می‌توان در نواحی و زون‌های مچاله‌شونده، به انجام آنالیز برگشتی پرداخت، و مدل‌سازی و ارزیابی مچاله‌شوندگی در این مقاطع یا زون‌ها به این روش که نسبتاً قابل قبول و کم‌هزینه است، انجام گیرد.
- ۳- انجام آزمایش خزش بر روی نواحی دارای پتانسیل مچاله‌شوندگی بالا با تهیه نمونه از این مقاطع.
- ۴- مطالعات مربوط به اصلاح و بهینه‌سازی نگهداری پوشش‌بتنی تونل مناسب با گام‌های حفاری.
- ۵- با توجه به هندسه پوشش‌بتنی تونل، برای ارزیابی دقیق‌تر از رفتار پوشش‌بتنی در برابر نیروهای وارد بر آن، پیشنهاد می‌شود از نرم‌افزارهای سازه‌ای مانند ANSYS و آباکوس برای رفتار سازه‌ای استفاده شود.

## منابع

- حسین نژاد ا.م، ۱۳۸۹، پایان نامه کارشناسی ارشد، تحلیل پایداری تونل‌ها در زمین‌های مچاله‌شونده به کمک نرم‌افزار FLAC2D، مطالعه موردی تونل بابلک، دانشکده فنی مهندسی، دانشگاه تربیت مدرس.
- شرکت مهندسی جنرال مکانیک، مهندسین مشاور لانیز، (۱۳۹۳)، گزارش‌های زمین‌شناسی مهندسی و هندسی تونل البرز، تهران، ایران.
- صالحی، ا، ۱۳۸۹، "پایان نامه کارشناسی ارشد، تحلیل رفتار مچاله‌شوندگی توده‌سنگ تونل دشت ذهاب"، دانشکده مهندسی معدن و متالورژی، دانشگاه یزد.
- ملایی م، ۱۳۸۵، پایان نامه کارشناسی ارشد، بررسی و ارزیابی مچاله‌شوندگی و همگرایی تونل انتقال آب نوسود و تأثیر آن بر عملکرد TBM، دانشکده مهندسی معدن، دانشگاه تهران.

- Aydan Ö., Akagi T., Kawamoto T. (۱۹۹۳), “**The squeezing potential of rock around tunnels: theory and prediction**”, Rock Mechanics and Rock Engineering”, ۲, pp. ۱۳۷-۱۶۲.
- Bahadur B. C. (۲۰۱۲), M.Sc. thesis, “Evaluation on the squeezing phenomenon at the headrace tunnel of Cameliya hydroelectric project”, Department of Geology and Mineral Resources Engineering, Norwegian University of Science and Technology (NTNU).
- Barla G. (۲۰۰۲) “**Tunnelling under squeezing rock conditions**” Department of Structural and Geotechnical Engineering, Politecnico di Torino, pp. ۹۸.
- Barla G. (۱۹۹۵), “Squeezing rocks in tunnels”, ISRM News Journal, ۳/۴, pp. ۴۴-۴۹.
- Barla G. and Borgna S. (۱۹۹۹), “Squeezing behaviour of tunnels: a phenomenological approach”, **Gallerie**, ۵۸, pp. ۳۹-۶۰.
- Barla. G, Bonini. M, Debernardi. D, (۲۰۰۸), “time dependent deformations in squeezing tunnels”, international association for computer methods and advances in geomechanics (**IACMAG**), Goa, India.
- Bieniawski Z. T., (۱۹۸۹), “**engineering rock mass clasifications**”, a Wiley-Interscience publication, Canada. pp. ۲۵۱.
- Bonini. M, Barla. G, (۲۰۱۲), The Saint Martin La Porte access adit (Lyon–Turin Base Tunnel) revisited, **Tunnelling and Underground Space Technology**.
- Cristescu N. D, Hunsche U, (۱۹۹۹), “**time effects in rock mechanics**”, vol. ۳۱,

No. २. pp. ३३८.

- Cristescu N, (२०१२), “**Rock Rheology**”, Springer Netherlands, Volume ७, Kluwer Academic Publishers. pp. ३०८.
- Carranza-Torres C, Diederichs M, (२००९), “Mechanical analysis of circular liners with particular reference to composite supports. For example, liners consisting of shotcrete and steel sets”, **Tunnelling and Underground Space Technology** २४, pp. ८०६-८३२.
- Dube, A. K, Singh. B, (१९८९), “study of squeezing pressure phenomenon in a tunnel-१”, **Tunneling and Underground Space Technology**, vol. १, No. १, pp. ३८-३९.
- Goel R. K. (२०००), “tunneling in squeezing ground conditions”, **Central Mining Research Institute**, India.
- Goodman, R. E. (१९८९). ”**Rock Mechanics**”. John Wiley & Sons, New York. USA. pp. ८८।.
- Hoek E, (१९९९), "Numerical Modelling for Shallow Tunnels in Weak Rock", Available from Rocscience Inc., ३१ Balsam Avenue, Toronto, Ontario, Canada  
**MFE TBΔ.**
- Hoek E. (२००१), “big tunnels in bad rock २००० Terzaghi lecture” , **ASCE Journal of Geotechnical and Geoenvironmental Engineering**, Vol. १२७, No. १. pp ७२६-७४०.
- Hoek E. and Marinos P, (२०००), ”Predicting tunnel squeezing problems in weak heterogeneous rock masses”, **Tunnels and Tunnelling International**, pp. ५८-८१: part one; pp. ३३-३६: part two.
- Hudson A. J, P.Harrison.J, (१९९७), “**Engineering Rock Mechanics**”, Elsevier Science Ltd. pp. ४८८.
- Hudson J.A ,(२००८), “**Engineering properties of rocks**”, Vol ५, Lexington MA, USA, pp. २९०.
- ITASCA Inc. (२०११) - FLAC ,”**Fast Lagrangian Analysis of Continua**”. Ver. ७, User’s manual.
- Jethwa J.L., Singh B and Singh B. (१९८५), “Estimation of ultimate rock pressure for tunnel linings under squeezing rock conditions – a new approach”. **Design and Performance of Underground Excavations**, ISRM Symposium, Cambridge, E.T. Brown and J.A.Hudson eds., pp. २३१-२३८.

- Khoshboresh A.R (٢٠١٣), M.Sc. “A study of deformation of tunnels excavated in fractured rocks”, Laval university, Quebec, Canada.
- Panthi K, (٢٠١٣), “predicting tunnel squeezing: a discussion based on twi tunnel projects”, **Hydro Nepal Journal**.
- Sakurai S. (١٩٩٣), “Direct strain evaluation technique in construction of underground opening”, in proc. ٢٢ U.S.SYMP.ROCK MECH Boston.MA (Edited by H.H.Einstein), pp. ٢٧٨-٢٨٢.
- Sherestha G L. (٢٠٠٥), PhD. Thesis, “Stress induced problems in Himalayan tunnels with special reference to squeezing”, chapter ٢ , Norwegian University of Science and Technology.
- Singh B., Jethwa J.L., Dube A.K., Singh B. (١٩٩٢), “Correlation between observed support pressure and rock mass quality”, **Tunnelling and Underground Space Technology**, ٧, pp. ٥٩- ٧٤.
- Singh B, Goel R, (٢٠٠٦), “tunneling in weak rocks”, volume ٨, Elsevier Ltd, San Diego, USA, pp. ٤٨٩.
- Terzaghi K. (١٩٤٦) “**Rock defects and loads in tunnel supports**” Rock tunneling with steel supports R.V. Proctor and T.L. White eds., The Commercial Shearing and Stamping Co., Youngstown, Ohio, pp. ١٧-٩٩.
- Vutukuri V. S, Lama R. D. “Handbook on Mechanical Properties of Rocks”, Vol. III by (١٩٧٨, Hardcover)
- Ulusay R, (٢٠١٥), “**The ISRM suggested methods for rock characterization testing and monitoring: ٢٠٠٧-٢٠١٤**”, Springer international publishing Switzerland, pp. ٢٩٣.

## پیوست

در جدول ۱-۷ دهانه شمالی تونل البرز (متراژ ۶۳۸۷-۲۵۰۰) با توجه به نوع سنگ و مقاومت هر یک از سنگ‌های مسیر، دسته‌بندی و تفکیک شده‌اند.

جدول ۱-۰۷: تقسیم‌بندی لیتولوژی با متراژ

شماره ناحیه	کیلومترار - تا	متراژ از	نسبت وزنی متراژها	لیتولوژی	مقادیم فشاری تکمحوره سنگها	مقادیم فشاری تکمحوری توبدسنگ‌ها
۱	۲۵۰۰-۲۵۰۶	۰/۴۶۱	دایک پرفیری با گزنولیت آرژلیت‌ها	۷۰-۱۴۳	پرفیر (دایک) در مناطق محفوظ مانده: ۱۱۶-۱۷۶	
	۲۵۰۶-۲۵۱۳	۰/۵۳۸	دایک پرفیری در زون خردشده	۷۰-۱۴۳	پرفیر (دایک) در مناطق تخریب‌های تکتونیکی: ۴۱-۹۶	
	۲۵۱۳-۲۵۱۷	۰/۱۷۴	دایک پرفیری	۹۶-۱۲۸		
	۲۵۱۷-۲۵۲۴	۰/۳۰۴	دایک پرفیری در زون تکتونیکی	۹۶-۱۲۸		
	۲۵۲۴-۲۵۳۶	۰/۵۲۲	دایک پرفیری	۱۱۶-۱۷۶		
	۲۵۳۶-۲۵۴۲		آرژلیت، میلونیت	۵۴-۹۰	آرژلیت کوارتز ده: ۷۰-۹۰	
۲	۲۵۴۲-۲۵۶۱	۰/۶۷۸	آرژلیت کوارتز ده	۷۰-۹۰	آرژلیت در مناطق تخریب‌های تکتونیکی: ۵۴-۷۰	
	۲۵۶۱-۲۵۶۴	۰/۱۰۷	دایک پرفیری، میلونیت	۵۴-۹۰		
	۲۵۶۴-۲۵۸۱	۱	سنگ‌آهک یکپارچه	۲۶-۹۴	سنگ‌آهک: ۶۰-۷۰	
	۲۵۸۱-۲۶۰۰	۰/۳۰۶	سنگ‌آهک، دایک پرفیری	۶۰-۸۶		
۳	۲۶۰۰-۲۶۱۴	۰/۲۲۶	سنگ‌آهک	۶۰-۸۰	سنگ‌آهک: ۵۰-۶۰	
	۲۶۱۴-۲۶۴۳	۰/۴۶۸		۵۸-۸۵		
۴	۲۶۴۳-۲۶۶۹	۰/۴۵۶	ماسه‌سنگ	۶۵-۸۵	ماسه‌سنگ: ۸۰-۹۰	
	۲۶۶۹-۲۶۹۵	۰/۴۵۶	ماسه‌سنگ و دایک داسیتی	۵۰-۶۰		
	۲۶۹۵-۲۷۰۰	۰/۰۸۸	ماسه‌سنگ	۸۷-۱۲۵		
	۲۷۰۰-۲۷۱۶	۰/۳۲	ماسه‌سنگ، سنگ‌آهک، دایک داسیت	۷۵-۱۰۰		
۵	۲۷۱۶-۲۷۳۰	۰/۲۸	ماسه‌سنگ خاکستری دانه‌ریز	۱۰۰-۱۲۰	ماسه‌سنگ خاکستری و خاکستری تیره: ۶۴-۱۳۶	
	۲۷۳۰-۲۷۵۰	۰/۴		۸۷-۱۰۸		
	۲۷۵۰-۲۷۶۰	۱	سنگ‌آهک و ماسه‌سنگ	۴۵-۸۰		
۶	۲۷۶۰-۲۷۷۲	۱	زون گسلی در ماسه‌سنگ	<۴۰	آرژلیت‌های نازک: ۶۲-۸۴	
	۲۷۷۲-۲۷۸۹	۰/۶۰۷	ماسه‌سنگ با میان‌لایه‌های آلوریتی	۵۲-۷۴	سنگ‌آهک: ۸۰-۹۵	
۷	۲۷۸۹-۲۸۰۰	۰/۳۹۳		۵۷-۸۲	دایک داسیتی: ۵۰-۱۱۰	
	۲۷۰۰-۲۷۱۶	۰/۱۶	ماسه‌سنگ‌های خاکستری مایل به سبز با میان‌لایه‌های آرژلیت‌های سیاه	۹۰-۱۰۶	ماسه‌سنگ‌ها: ۹۰-۱۲۳	
۱۱	۲۸۱۶-۲۸۳۲	۰/۱۶		۷۰-۹۰		
	۲۸۳۲-۲۸۵۰	۰/۱۸		۵۹-۸۶		
	۲۸۵۰-۲۸۷۲	۰/۲۲		۸۵-۱۱۰		
	۲۸۷۲-۲۸۸۳	۰/۱۱		۹۵-۱۱۲		
	۲۸۸۳-۲۹۰۰	۰/۱۷		۷۵-۹۲		
	۲۹۰۰-۲۹۳۰	۰/۳۱۲	ماسه‌سنگ‌ها و توف‌های آرژلیتی	۶۷-۹۶		
۱۲						

۶۸	توفهای ماسهسنگی:	۷۰-۱۰۶		۰/۲۰۹	۲۹۳۰-۲۹۵۰	۱۳
	۹۰-۱۲۳	۶۵-۷۷	ماسهسنگها	۰/۱۷۷	۲۹۵۰-۲۹۶۷	
	-۹۴ توفهای سیاه، توفیت‌ها :	۶۰-۷۰	زون گسلی	۰/۰۴۲	۲۹۶۷-۲۹۷۱	
	۹۷-۱۲۵	ماسهسنگها	۰/۱۹۸	۲۹۷۱-۲۹۹۰		
	۶۵-۸۵ ماسهسنگ‌ها با میان‌لایه‌های آرژلیتی و رسی	۶۵-۸۵	۰/۰۶۲	۲۹۹۰-۲۹۹۶		
	۳۰-۴۰ آرژلیت‌ها و رس	۳۰-۴۰	۰/۰۶۱	۲۹۹۶-۳۰۰۰		
	۴۰-۵۰ ماسهسنگ، رس	۴۰-۵۰	۰/۱۰۶	۳۰۰۰-۳۰۰۷		
۳۰-۴۰	برش با سیمانته رسی	۳۰-۴۰	۱	۳۰۰۷-۳۰۱۵	۱۴	
۱۵	ماسهسنگ خاکستری در زون تاثیر گسل:	<۳۰	قلوهسنگ، خردهسنگ و رس سیمانته نشده (حفره کارستی)	۰/۱۲۱	۳۰۱۵-۳۰۲۳	۱۵
	۴۶-۸۵ آنیدریت:	۵۳-۶۷	آنیدریت، ژیپس	۰/۵۹۱	۳۰۲۳-۳۰۶۲	
	۱۱۶-۱۳۵ آندزیت:	۱۱۶-۱۳۵	آندریت	۰/۱۰۷	۳۰۶۲-۳۰۸۲	
	توف، توف ماسهسنگی:	۸۳-۱۰۴	توف، توف ماسهسنگی	۰/۰۹۶	۳۰۸۲-۳۱۰۰	
	توف خاکستری با لایه‌بندی یکپارچه:	۸۳-۱۰۴	توف خاکستری و توف ماسهسنگی	۰/۰۶۹	۳۱۰۰-۳۱۱۳	
	۸۵-۱۲۷	۸۳-۱۰۴	توف آندزیتی خاکستری و خاکستری مایل به سبز	۰/۰۷۵	۳۱۱۳-۳۱۲۷	
	توف خاکستری با لایه‌بندی متوسط:	۸۵-۹۷	۰/۱۰۷	۳۱۲۷-۳۱۴۷		
۱۶	۷۰-۸۲ توف سبز و خاکستری مایل به سبز:	۷۸-۸۹	توف، توف آندزیتی و دایک داسیتی	۰/۱۳۹	۳۱۴۷-۳۱۷۳	۱۶
	۷۵-۱۰۵ توف آندزیتی:	۷۰-۸۰	توف خاکستری یکپارچه	۰/۰۸	۳۱۷۳-۳۱۸۸	
	۸۳-۱۱۱ توف ماسهسنگی:	۹۲-۱۱۱	توف خاکستری و خاکستری مایل به سبز	۰/۰۶۴	۳۱۸۸-۳۲۰۰	
	۸۵-۹۶ داسیت:	۹۰-۱۱۰	تناوب توف‌ها خاکستری و سبز	۰/۰۲۸	۳۲۰۰-۳۲۰۵	
	۷۴-۱۲۰ توف سبز واقع در پهنه گسلی:	۸۷-۱۰۷	تناوب توف‌های خاکستری و سبز	۰/۱۱۸	۳۲۰۵-۳۲۲۷	
	۳۱-۵۰	۹۱-۱۰۸		۰/۱۱۸	۳۲۲۷-۳۲۴۹	
۱۷	توف خاکستری محفوظ مانده:	۳۶-۷۲	زون تکتونیکی توف‌های خردشده و مچاله شده	۰/۱۹۸	۳۲۴۹-۳۲۷۰	۱۷
	۸۵-۱۰۶	۶۰-۸۰		۰/۲۸۳	۳۲۷۰-۳۳۰۰	
	توف خاکستری واقع در پهنه گسلی:	۶۰-۸۱		۰/۲۵۴	۳۳۰۰-۳۳۲۷	
	۹۹-۱۱۲ توف خاکستری محفوظ مانده:	۸۲-۹۹	تناوب توف‌های خاکستری و سبز	۰/۲۶۴	۳۳۲۷-۳۳۵۵	
	۲۶-۵۸ آنیدریت:	۶۰-۷۰	آندریت بازالتی یکپارچه و کلریت شده	۱	۳۳۵۵-۳۳۶۱	
	۶۷-۸۶					
	۴۰-۵۵ خردشگی:					

توف خاکستری مایل به سبز محفوظ مانده: ۱۲۱-۹۱	۳۱-۵۴	زون تکتونیکی آندزیت بازالتی خردشده و کلریته شده	۱	۳۳۶۱-۳۳۸۲	۱۸
توف خاکستری مایل به سبز واقع در زون خردشگی: ۴۹-۳۵	۶۵-۷۵	آندزیت بازالتی با کربنولیت‌های توف خاکستری	۰/۶۴۳	۳۳۸۲-۳۴۰۰	۱۹
آنیدریت: ۲۵-۴۷، آندزیت بازالتی محفوظ مانده: ۶۰-۱۱۲ آندریت بازالتی به شدت کلریته شده: ۱۱-۴۳	۵۱-۷۴	گابرو و توف	۰/۵۵۶	۳۴۰۰-۳۴۱۰	
گابرو در مناطق محفوظ مانده: ۷۳-۶۰، گابرو در پهنه گسلی: ۲-۲۰، توف راه راه: ۷-۱۱، ژیپس: ۱۱-۰۵ آنیدریت در نزدیکی پهنه گسلی: ۷-۱۳، آنیدریت در مناطق محفوظ مانده: ۲۴-۴۷	۱۵-۳۰	گابرو با لنزهای ژیپسی (پهنه گسلی)	۰/۷۵	۳۴۱۰-۳۴۲۸	۲۰
	۲۵-۳۷	ژیپس	۰/۲۵	۳۴۲۸-۳۴۳۴	
	۲۹-۳۵	آنیدریت	۱	۳۴۳۴-۳۵۰۰	۲۱
	۳۶-۴۶		۰/۵	۳۵۰۰-۳۵۵۰	
آنیدریت: ۲۰-۵۱ آنیدریت با گزنویلیت توف خاکستری: ۶۴	۴۹-۶۰	آنیدریت با میان و لنزهای توف خاکستری	۰/۲۵	۳۵۵۰-۳۵۷۵	۲۲
	۴۶-۵۱	آنیدریت	۰/۲۵	۳۵۷۵-۳۶۰۰	
	۳۵-۴۴		۰/۱۵	۳۶۰۰-۳۶۳۰	
همان مقاومت توده سنگ است.	۴۶-۵۴	آنیدریت با میان لایه و اگزینولیت‌های توف خاکستری	۰/۰۹۵	۳۶۳۰-۳۶۴۹	۲۳
	۳۱-۴۴		۰/۲۵۵	۳۶۴۹-۳۷۰۰	
	۳۵-۵۰		۰/۵	۳۷۰۰-۳۸۰۰	
آنیدریت: ۲۰-۴۵	۲۳-۲۸	آنیدریت	۰/۲۷۸	۳۸۰۰-۳۸۴۰	
	۲۸-۴۰		۰/۴۱۷	۳۸۴۰-۳۹۰۰	۲۴
آنیدریت: ۱۹-۴۹	۳۵-۴۶		۰/۳۰۵	۳۹۰۰-۳۹۴۴	
توف خاکستری تیره تا مشکی: ۵۱-۹۸	۵۸-۷۱		۰/۰۷	۳۹۴۴-۳۹۶۲	
توف سبز: ۸۰-۱۱۵	۶۶-۸۹	آنیدریت با میان لایه و لنزهای توف خاکستری	۰/۱۴۸	۳۹۶۲-۴۰۰۰	
۷۰-۹۰	۷۰-۱۲۰		۰/۰۴۳	۴۰۰۰-۴۰۱۱	
۷۵-۱۰۵	۸۰-۱۰۰		۰/۲۳۴	۴۰۱۱-۴۰۷۱	
۷۳-۱۰۴	۷۳-۱۰۱		۰/۱۱۳	۴۰۷۱-۴۱۰۰	
توف خاکستری با دانه‌بندی متوسط و درشت: ۸۰-۱۳۴	۹۳-۱۱۵	توف خاکستری (با دانه‌بندی متوسط و درشت) همراه با	۰/۱۷۶	۴۱۰۰-۴۱۴۵	
توف مشکی با دانه‌بندی بسیار ریز: ۶۰-۱۴۶	۸۳-۹۹		۰/۱۲۵	۴۱۴۵-۴۱۷۷	
توف خاکستری با دانه‌بندی متوسط و درشت: ۹۰-۱۵۴	۹۷-۱۱۸		۰/۱۰۵	۴۱۷۷-۴۲۰۰	
توف مشکی با دانه‌بندی بسیار ریز: ۸۸-۱۱۶	۹۷-۱۱۶	میان لایه‌های توف مشکی (با دانه‌بندی بسیار ریز)	۰/۴۳	۴۲۰۰-۴۲۴۳	
	۱۱۱-۱۳۵		۰/۲۴	۴۲۴۳-۴۲۶۷	
	۱۱۴-۱۲۹		۰/۲۳	۴۲۶۷-۴۳۰۰	۲۶

۱۰۵-۱۱۰	۱۰۵-۱۱۵	توف خاکستری با میان لایه توف مشکی	۰/۱۶۵	۴۳۰۰-۴۳۲۳	۲۷
۸۰-۱۲۰	۸۰-۱۲۰		۰/۱۳۵	۴۳۲۳-۴۳۶۰	
۸۰-۱۱۵	۸۰-۱۱۵		۰/۲	۴۳۶۰-۴۴۰۰	
توف خاکستری در مناطق محفوظ مانده: ۸۰-۱۲۰	۸۷-۱۲۱	توف خاکستری (با دانه‌بندی متوسط و درشت) همراه با میان لایه‌های توف مشکی (با دانه‌بندی سیار ریز)	۰/۱۱۵	۴۴۰۰-۴۴۲۳	
توف خاکستری در ناحیه تاثیر درزه‌های تکتونیکی: ۴۵-۵۰	۸۰-۹۰		۰/۰۹۵	۴۴۲۳-۴۴۴۲	
توف مشکی در مناطق محفوظ مانده: ۹۰-۱۱۰	۸۲-۱۰۴		۰/۲۳	۴۴۴۲-۴۴۸۸	
توف مشکی در ناحیه تاثیر درزه‌های تکتونیکی: ۳۸-۴۵	۷۴-۹۴		۰/۰۶	۴۴۸۸-۴۵۰۰	
توف خاکستری در مناطق محفوظ مانده: ۸۵-۱۲۰	۹۴-۱۱۷		۰/۰۵۳	۴۵۰۰-۴۵۲۴	
توف خاکستری در ناحیه تاثیر درزه‌های تکتونیکی: ۲۸-۶۳	۹۲-۱۰۲		۰/۰۳	۴۵۲۴-۴۵۴۸	
توف مشکی در مناطق محفوظ مانده: ۷۰-۱۲۵	۹۰-۱۱۶	توف خاکستری با میان لایه‌های توف مشکی	۰/۱۱۶	۴۵۴۸-۴۶۰۰	۲۸
توف مشکی در ناحیه تاثیر درزه‌های تکتونیکی: ۵۰-۶۰	۸۰-۱۰۰		۰/۰۶۲	۴۶۰۰-۴۶۲۸	
توف مشکی در ناحیه تاثیر درزه‌های تکتونیکی: ۲۷-۵۰	۹۵-۱۱۵		۰/۱۲	۴۶۲۸-۴۶۸۲	
انیدریت در مناطق محفوظ مانده: ۴۰-۶۰	۸۰-۱۱۵		۰/۰۴	۴۶۸۲-۴۷۰۰	
انیدریت در مناطق محفوظ مانده: ۴۰-۶۰	۷۳-۹۲		۰/۰۷۸	۴۷۰۰-۴۷۰۸	
انیدریت در مناطق محفوظ مانده: ۴۰-۶۰	۸۰-۱۰۳		۰/۰۴	۴۷۰۸-۴۷۲۶	
انیدریت در مناطق محفوظ مانده: ۴۰-۶۰	۱۰۵-۱۲۳		۰/۰۴	۴۷۲۶-۴۷۴۴	
انیدریت در مناطق محفوظ مانده: ۴۰-۶۰	۷۶-۱۰۶		۰/۱۲۵	۴۷۴۴-۴۸۰۰	
توف خاکستری در مناطق محفوظ مانده: ۸۰-۱۲۰	۷۹-۱۰۳	توف مشکی با میان لایه‌های توف خاکستری	۰/۱۰۳	۴۸۰۰-۴۸۴۶	
توف مشکی در مناطق محفوظ مانده: ۷۰-۱۲۱	۷۴-۸۶	توف مشکی	۰/۰۴	۴۸۴۶-۴۸۶۴	
توف مشکی در نواحی تاثیر درزه‌های تکتونیکی: ۲۷-۵۰	۶۱-۹۱	توف مشکی و انذیت	۰/۰۳۶	۴۸۶۴-۴۸۸۰	
انیدریت در مناطق محفوظ مانده: ۴۰-۶۰	۶۵-۹۱	توف مشکی، برش و انیدریت	۰/۰۴۵	۴۸۸۰-۴۹۰۰	
انذیت در مناطق محفوظ مانده: ۸۳-۹۹					
انذیت در نواحی تاثیر درزه‌های تکتونیکی: ۴۰-۵۰					
برش: ۴۰-۷۵					
توف مشکی در مناطق محفوظ مانده: ۷۰-۱۲۱	۵۹-۸۷	توفسنگ مشکی، برش و انیدریت	۰/۱۰۷	۴۹۰۰-۴۹۴۸	
توف مشکی در نواحی تاثیر درزه‌های تکتونیکی: ۵۰-۶۰					

برش سیمانه شده با صالح کوارتر- کلسیتی: ۵۰-۶۰- انیدریت: ۴۷-۸۰	۶۲-۸۹	انیدریت با میان لایه های توف سنگ مشکی	۰/۲۰۶	۴۹۴۸-۵۰۰۰	۲۹
انیدریت محفوظ مانده: ۴۶-۷۷- توف مشکی محفوظ مانده: ۸۰-۱۱۷	۷۳-۹۲	انیدریت با میان لایه و لنزهای توف سنگ	۰/۳۹۷	۵۰۰۰-۵۱۰۰	۳۰
	۷۳-۹۲		۰/۳۹۷	۵۱۰۰-۵۲۰۰	
	۵۷-۷۴		۰/۷۱۹	۵۲۰۰-۵۳۰۰	
انیدریت محفوظ مانده: ۲۵-۵۳- توف مشکی محفوظ مانده: ۶۲-۱۲۸- برش از ناحیه گسلی: ۴-۱۱	۳۷-۶۸	انیدریت با میان لایه های توف مشکی	۰/۲۸۱	۵۳۰۰-۵۳۳۹	۳۱
	۵-۱۰	پهنه گسلی: گل، خردہ سنگ قلوه سنگ، برش	۱	۵۳۳۹-۵۳۶۱	
	۶۳-۷۵	توف مشکی با دانه بندی بسیار ریز	۰/۰۱۸	۵۳۶۱-۵۳۶۸	
	۷۷-۱۱۳		۰/۰۸۲	۵۳۶۸-۵۴۰۰	
توف مشکی محفوظ مانده: ۸۳-۱۳۲- توف مشکی در ناحیه تاثیر: ۴۸-۶۲- توف سبز محفوظ مانده: ۶۶-۸۴- توف سبز در ناحیه تاثیر: ۲۴-۴۱	۷۰-۱۱۰	توف مشکی	۰/۰۶۷	۵۴۰۰-۵۴۲۶	۳۲
	۷۳-۱۱۵	توف مشکی با میان لایه های توف سبز	۰/۱۳۱	۵۴۲۶-۵۴۷۷	
	۶۹-۸۴	توف سبز با میان لایه های توف مشکی	۰/۰۵۹	۵۴۷۷-۵۵۰۰	
توف خاکستری مایل به سبز محفوظ مانده: ۷۴-۱۵۸- توف خاکستری مایل به سبز در ناحیه تاثیر: ۴۸-۵۴- توف مشکی محفوظ مانده: ۹۲-۱۳۱- توف مشکی در ناحیه تاثیر: ۳۰-۴۵	۶۷-۱۰۷	توف خاکستری مایل به سبز با میان لایه های توف مشکی	۰/۲۱۳	۵۵۰۰-۵۵۸۳	۳۳
	۶۵-۸۵		۰/۰۳۱	۵۵۸۳-۵۵۹۵	
	۳۰-۴۵	گسل بین لایه ای برش، میلونیت، گل گسلی	۰/۰۱۳	۵۵۹۵-۵۶۰۰	
	۸۸-۱۱۱	توف خاکستری مایل به سبز با میان لایه های توف مشکی	۰/۰۶۷	۵۶۰۰-۵۶۲۶	
توف خاکستری مایل به سبز محفوظ مانده: ۷۴-۱۵۸- توف خاکستری مایل به سبز در ناحیه تاثیر: ۴۲-۶۰- توف مشکی محفوظ مانده: ۷۱-۱۱۹- توف مشکی در ناحیه تاثیر گسلی: ۳۵-۴۵	۴۰-۵۰	پهنه گسلی (برش، میلونیت)	۰/۰۲	۵۶۲۶-۵۶۳۴	۳۳
	۱۰۶-۱۲۷	توف خاکستری مایل به سبز با میان لایه های توف مشکی	۰/۰۹۲	۵۶۳۴-۵۶۷۰	
	۶۰-۷۰	گسل و زون تاثیر گسلی در توف سنگ	۰/۰۲	۵۶۷۰-۵۶۷۸	
	۶۵-۹۰	توف خاکستری مایل به سبز با میان لایه های توف مشکی	۰/۰۵۶	۵۶۷۸-۵۷۰۰	
	۹۱-۱۰۸		۰/۰۵۹	۵۷۲۳-۵۷۴۶	
	۷۷-۱۰۴	توف خاکستری مایل به سبز با میان لایه های توف مشکی و سیل های انژیتی	۰/۲۱۶	۵۷۴۶-۵۸۰۰	
	۷۰-۹۵		۰/۲۴۸	۵۸۰۰-۵۸۶۲	

	۵۲-۶۳	پهنه گسلی و ناحیه تاثیر گسلی	۰/۰۴	۵۸۶۲-۵۸۷۲	
	۸۴-۱۰۸	توف خاکستری مایل به سبز با میان لایه های توف مشکی	۰/۱۱۲	۵۸۷۲-۵۹۰۰	
	۸۶-۱۲۵		۰/۱۴	۵۹۰۰-۵۹۳۵	
	۵۳-۷۲		۰/۲۱۲	۵۹۰۰-۵۹۴۷	
	۸۳-۱۰۹		۰/۲۱۲	۵۹۴۷-۶۰۰۰	
	۱۱۶-۸۵		۱	۶۰۰۰-۶۳۸۷	

## **Abstract**

Because of high overburden and presence of weak rockmasses in way of Alborz tunnelling, there will be risk of squeezing phenomenon. In this study by using empirical, semi-empirical and analytical methods squeezing potential of rock masses of Alborz tunnel have been investigated. Results are classified to form of loss, low, medium, heavy and very high squeeze. Area of the tunnel that most methods have been recognize squeeze, chosen for numerical modeling. Since rockmass squeezing has time dependent behavior, so according to the software's ability FLAC to numerical modeling and analysis of this phenomenon, the software is used. Viscoplastic Burger-Creep model (CVISC) has capability to modeling squeezing phenomenon. Area ۳۴۳۴-۳۵۰۰ is the area that most of these methods can detect its squeezing potential. The size of a standard sample is prepared from this area. Under uniaxial creep testing, creep parameters of rock achieved. The numerical modeling of rock samples, testing up to ۱۰٪ relative error percentage is calculated. Using the results of testing, the cross section of the tunnel will be modeled. Since rockmass squeezing is a time dependent behavior, stability of the final lining for long-time will be assessed. As a result of this assessment, at worst case, stress of thrust-bending moment cause instability in the twentieth year of life of final lining. Due to the low tensile strength of concrete lining, this instability is created.

**Keywords:** Alborz tunnel, squeezing, FLAC<sup>®</sup>D, CVISC, convergence, creep



**Shahrood University of Technology**

**Faculty of Mining, Petroleum and Geophysics Engineering**

**Master of Science in mining Rock Mechanic Engineering**

## **Investigation of squeezing potential and assessment of its impact in Alborz tunnel stability**

*Majid Mirzaei Abdolyosefi*

**Supervsior:**

*Dr. Sh.Zare*

*Dr. M.Nikkhah*

**Advisor:**

*S. A. Taleghan*

June ۲۰۱۶